



Prof.* Dr. med. Enrico Edinger

*Honorary professor at the Medical Institute of Traditional and Nontraditional Medicine
(Dnepropetrovsk, Ukraine)

Mitglied der „ Medizinischen wissenschaftlichen Gesellschaft Odessa an der Europäischen
Akademie der Wissenschaften der Ukraine“

Facharzt für Neurologie und Psychiatrie, Psychotherapie

Tätigkeitsschwerpunkte: Energie- und Raumfahrtmedizin, Psychoneuroimmunologie,
Hypnose, Sexualmedizin, Akupunktur, Regulationsmedizin

- Lösung der Impfnutzenwirkungen
durch biochemische und
biophysikalische Systeme –



VOM WELTRAUM
IN DIE
MEDIZINISCHE
PRAXIS

KONTAKT

Internationale Akademie für
Regulationsmedizin und
Bewusstseinsforschung
Am Flughafen 76/3 D- 88046
Friedrichshafen am Bodensee
www.inakarb.de

www.inakarb.de



Inhaltsverzeichnis

1. **Vorstellung Inakarb**
2. Einige Impfnebenwirkungen
3. Shedding durch Geimpfte
4. Statistik des Todes
5. (Un-) Wirksamkeit der Impfstoffe
- 6.1.1 **Hauptmechanismen bei der Abwehr von Impfstoff -Nebenwirkungen und Spike Protein**
- 6.1.2 physikalischer Aspekt
- 6.1.3 Darpa Geel
- 6.1.4 Kationische Peptide
- 6.1.5 Grafenoxid
- 6.1.6 Grafenoxid und 5 G
7. Zeitgitterkristalle der Haut , des Auges , des Darmes
8. ELEKTROSMOG
- 8.1. Glutathion der Retter
9. Kosmische Frequenzen Steuern unser Leben
- 9.1 Burkhard Heim Schalenmodell, Gesamtsteuerung des Menschen
- 9.2 **Zirkadiane und andere zeitliche biologische Rhythmen Wa und die vernichtende Wirkung von Elektrosmoke**
10. DIE VERHEERENDEN Zusammenhänge zwischen 5 G und Covid
11. **Lösung biophysikalischer Probleme**
- 11.1 Reduktion der Signalstärke von 5 G
- 11.2 Quantenstein und Familie
- 11.3 Sedona Magnetfeldmatte

Inhaltsverzeichnis

12. Der Brany
- 12.1 der Light Pen
13. Die verjüngende und heilende Wirkung von Ferninfrarotlicht
14. Die Kolganovkugel
15. **Der biochemische Aspekt oder die gewaltig schädliche Rolle des Spike-Proteins**
- 15.1 'The Corona Effect' and 'Spike Protein Effect'
- 15.2 Das tödliche Spike Protein u Lösungen dagegen
- 15.3 **Das Spike – Protein ein Biowaffe?**
16. Luteolin gegen Long Covid im Gehirn
17. Die gewaltige Rolle von Bioflavonoiden, vor allem Apigenin
18. Methylen- Blau gegen Spike Proteine
19. Parasiten in den Impfungen und in Chemtrails Prevotella, Trypanosoma Cruzy , Hydra Vularis u.a.
20. Ivermectin Als Blockade des S -Protein und seinen Siegeszug in Indien
21. WUNDERSAME TIAMATTECHNOLOGIE
- 22 **Der mental-psychisch – geistige Aspekt der Impfung**
- 22.1 Charons komplexe Relativitätstheorie
- 22.2 Steuerung der Genetik, Gariaev
- 22.3 Die unglaubliche Energie- und Informationswirkung des Wassers
- 22.4 Der Kosyrevspiegel
- 22.5 Hologrammwasser zur Lebensverlängerung
- 22.6 Das Biotron . Alle korrigierendes Genom der Pflanzen
- 22.7 Seelenanteile zurückholen
23. Physikallische Schutzmassnahemn gegen Impfn Nebenwirkungen und Elektrosmog

1. Vorstellung INAKRB, Internationale Akademie für Regulationsmedizin und Bewusstseinsstörung

Roger Bacon (1214-1294), englischer Franziskaner):

„Es gibt vier große Hindernisse auf dem Weg zur Wahrheit:

- das Beispiel kläglicher und unwürdiger Autoritäten
- die Meinung des Unkundigen
- die Macht der Gewohnheit und
- das Verbergen der eigenen Unwissenheit durch vorgetäuschte Weisheit“.

Erkenntnisse und Wissen aus der Raumfahrtmedizin

Von der Prävention, Leistungssteigerung und
Gesundheit unter höchster Belastung bis zur
Verjüngung und neuer Bewusstseinsentwicklung



Ulf Merbold und Kosmonaut Valery Polyakov bei Experimenten auf der Mir im Oktober 1994. Bild ESA

**Nach 437 Tagen im All,
zurück auf der Erde:
Der Astronaut Valery Polyakov
verlässt im Handstand
die Raumkapsel –
und um 22,3 Prozent
verjüngt dank verschiedener
Verfahren der
Raumfahrtmedizin***

* gemessen an der DNA der Mundschleimhaut



437 Tage - Waleri Poljakow
379 Tage - Sergei Awdejew
365 Tage - Wladimir Titow/
Mussa Manarow
340 Tage - Scott Kelly/Michail
Kornijenko
326 Tage - Juri Romanenko
311 Tage Sergei Krikaljow
289 Tage - Peggy Whitson
240 Tage - Waleri Poljakow

Behandlungsfelder der Raumfahrtmedizin

5 Risiken bestimmen die Behandlungsfelder der Raumfahrtmedizin

- Hohe Strahlenbelastung der Astronauten
- Todesangst/Burn-Out
- Der Zusammenbruch des Immunsystems
- Entmineralisierung der Knochen
- Rasante Alterung der biologischen Systeme



Gründungsväter der INAKARB

- **Prof. Dr. Roman Baevsky**

Leitender wissenschaftlicher Mitarbeiter des Instituts für medizinisch-biologische Probleme

- **Prof. Dr. Vladimir Zagriadski**

Stellvertretender Leiter der Internationalen Interakademischen Vereinigung Moskau

- **Prof. Dr. Karl Hecht**

Lehrstuhl für Neurophysiologie und Biorhythmusforschung, Regulations- und Schlafforschung an der Berliner Charité

- **Prof. Dr. Alexander Trofimov**

Leiter des Labors für Helioklima-Pathologie der Russischen Akademie der Wissenschaften

- **Prof. Dr. Dr. Winfried Banzer**

Dekan des Fachbereichs Psychologie und Sportwissenschaften an der Goethe Universität

- **Prof. Dr. Dr. Enrico Edinger**

Mitbegründer und medizinisch-wissenschaftlicher Leiter der INAKARB



Kooperationspartner



AG Zürich, Switzerland



Институт
медико-
биологических
проблем Москва

Edgar D.
Mitchell,
ScD, Apollo
14, 31.
Januar 1971



Internationale
Interakademische
Vereinigung, Moskau



San Antonio Road, Petaluma, USA



Internationale Akademie
für Regulationsmedizin u.
Bewusstseinsforschung,
INAKARB

European center of cosmobiophysik
and prevention medicin
Rolandseck/Novosibirsk



Днепропетровский
медицинский институт
традиционной и
нетрадиционной
медицины

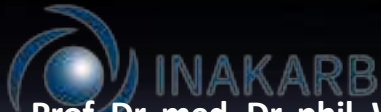
Technische Universität Berlin



ISRICA
international Scientific Research
Institute of Cosmic
Anthropoecology, Scientific Center
of Clinical and Experimental
Medicine,
SB RAMS, Novosibirsk, Russia



Kooperationspartner



- **Prof. Dr. med. Dr. phil. W. Banzer**, Leiter der Abt. Sportmedizin, Institut für Sportwissenschaften, Johann-Wolfgang-Goethe Universität, Frankfurt am Main
- **Prof. Dr. med. Roman M. Baevsky**, Staatsforschungsinstitut der russischen Föderation, Zentrum für biologisch medizinische Probleme, Moskau
- **Dr. med. Michael Kucera**, Facharzt für innere Medizin, mitochondriale Medizin, Heart Rate Variability Analyses
- **Prof. Dr. Dieter Bimberg**, TU Berlin, Institut für Festkörperphysik, wissenschaftlicher Berater der Russischen Föderation und der Bundesregierung, Beauftragter des europäischen Wissenschaftsrates
- **Dr. Andrea von Knoop**, Delegierte der deutschen Wirtschaft in der russischen Föderation
- **Prof. Dr. med. Vladimir A. Zagriadski**, Raumfahrtmediziner, Entwickler von Prognos, Stellv. Leiter der internationalen Interakademischen Vereinigung, Moskau
- **Prof. Dr. J.J. Hurtek**, Quantenkohärenz und Bewusstseinsforschung, Sprecher der Weltklimakonferenz Südafrika
- **Prof. Dr. Bruce Lipton**, Zellbiologe und Quantenforscher, Visiting Professor of Anatomy, University of Puerto Rico, San Juan, PR
- **Prof. Dr. med. Karl Hecht**, Lehrstuhl für Neurophysiologie und Biorhythmusforschung, Regulations- und Schlafforschung, Charité Berlin
- **Prof. Dr. Dr. Kai Börner**, Orthopäde, Manuelle Medizin/Chirotherapie, Sportmedizin, Naturheilverfahren, Kinesiologie, Grimma KB Institut für Lebensenergie
- **Prof. Dr. Vladimir Nesterov und Prof. V. But** Institut für angewandte Psychophysik, Entwickler des Genregulatorischen Systems Oberon und weiterer Folgesysteme
- **Prof. Dr. Alexander Vasilewitsch Trofimov**, Entwickler des Kosmobiotrons, Int. Institut für Kosmische Anthropolöologie, Novosibirsk, Russland
- **Prof. Maria N. Kondrashova**, Institut für Biophysik und Sportmedizin, Mitochondrien-Forscherin, Moskau
- **Prof. Dr. sc. med. Vladimir L. Goliakov**, Kardiologe, Forschung mit PERTH, Int. Interakademische Vereinigung, Moskau, Akademie der Wissenschaften, St. Petersburg, Entdecker der Hyperraumkommunikation der DNA
- **Prof. Dr. Pjotr Gariaev**, russische Molekularbiologe und Biophysiker,

VOM WELTRAUM
IN DIE
MEDIZINISCHE
PRAXIS



I. Woher kommen die Verfahren Und wer ist hier beteiligt?

Prof. Karl Hecht

Dr. med. Dr. med. habil. Professor
für Neurophysiologie und
emeritierter Professor für
experimentelle und klinische
pathologische Physiologie

Prof. Dr. Ewgenij Bersenew

- Leiter des Labors für vegetative Regulation des Herzkreislaufsystems und des innovativen Zentrums für kosmische Medizin auf Basis des Institutes für mediko-biologische Probleme der Akademie der Wissenschaften Russlands, Moskau
- Kandidat der biologischen Wissenschaften Kooperation mit Kremlklinik





Das Mars 500 Projekt

Simulation einer Mission zum Mars über 520 Tage, durchgeführt durch die russische Weltraumagentur Roskosmos und die europäische ESA. Als einziges europäisches Institut erhielt die INAKARB in Zusammenarbeit mit der sportmedizinischen Fakultät der Goethe-Universität Frankfurt am Main die Zulassung für den Bereich Psychosomatik.



Und auch bei der längsten Gesamtzeit im Weltraum zeigt sich die Dominanz der russischen Raumfahrt. Dieser Erfolg ist vor allem mit einer Person verbunden: Prof. Dr. Roman Baevsky – Bis heute gilt er als Pionier in der Raumfahrtmedizin.

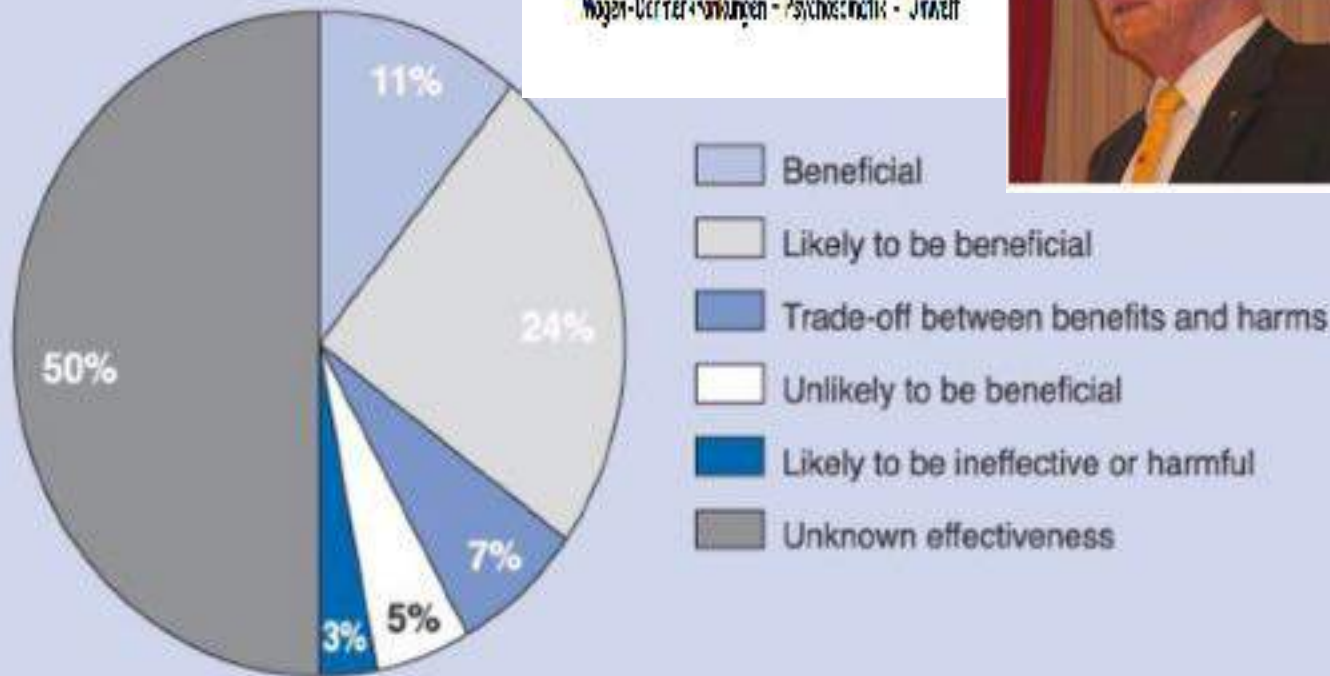
VOM WELTRAUM
IN DIE
MEDIZINISCHE
PRAXIS



Rechercheantwort unten: WIE WISSENSCHAFTLICH IST DIE SCHULMEDIZIN?

1. Die laufende evidenzbasierte Studie von Clinical Evidence, eine Initiative von The BMJ, hat die Wirksamkeit von 3.000 gängigen Interventionen untersucht. Nur 11% der medizinischen Behandlungen erwiesen sich auf wissenschaftlichem Basis als heilsam.¹⁷

Prof. Dr. med. habil. Detlev S.S. Thilo-Körner und Sozietät
Irrere Medizin - Angiologie - Hämostaseologie - Neurothrombosen
Wagen-Unfälle - Psychosomatik - Umwelt



Effectiveness of 3000 treatments as reported in randomised controlled trials selected by Clinical Evidence. This does **not** indicate how often treatments are used in healthcare settings or their effectiveness in individual patients.

Freitag, 11.11.16

Deutsche Ärzteblatt 10/2002 - Seite 3

Quelle: <https://www.aerzteblatt.de/archiv/33941/Gesundheitssystem-In-der-Fortschrittsfaele>

der Betreuer, nämlich Betreuungen überflüssig zu machen, fast nichts spürt.

11. Der Wettbewerb zwingt zur Erschließung neuer Märkte. Das Ziel muss die Umwandlung aller Gesunden in Kranke sein, also in Menschen, die sich möglichst lebenslang sowohl chemisch-physikalisch als auch psychisch für von Experten therapeutisch, rehabilitativ und präventiv manipulierungsbedürftig halten, um „gesund leben“ zu können.

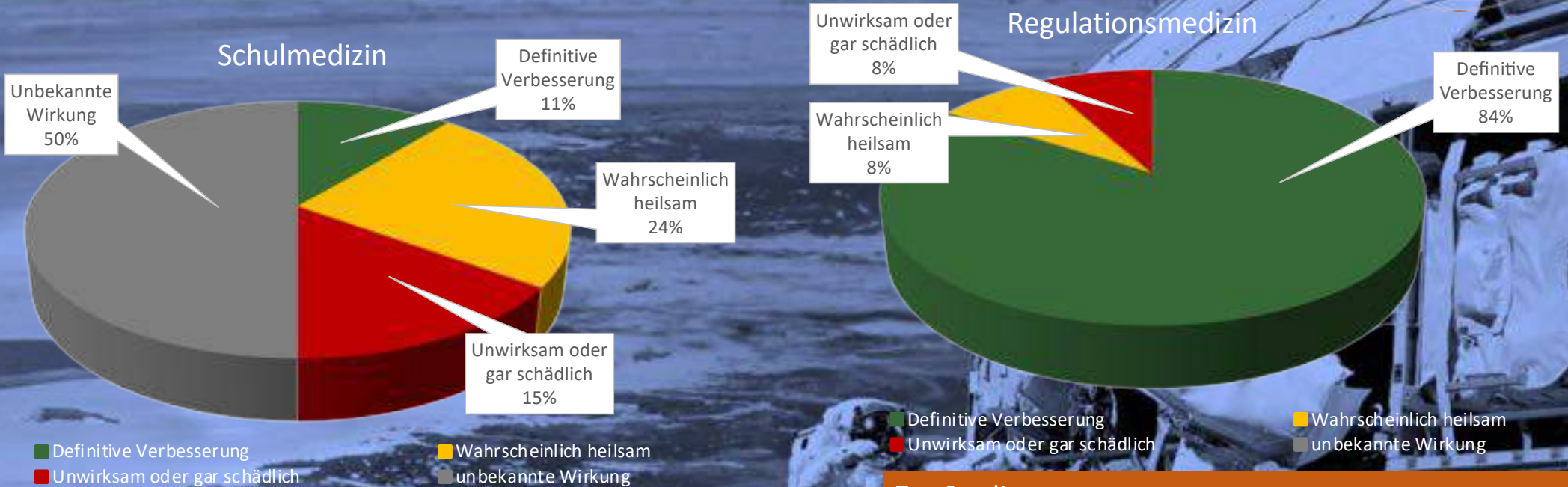
Das gelingt im Bereich der körperlichen Erkrankungen schon recht gut, im Bereich der psychischen Störungen aber soviel zum Hippokratischen EidgDem Textauszug kanadischer Intellektuellen

12

3 Kommentare

Vergleichsstudie: Behandlungserfolge aller ICD-10 Erkrankungen

VOM WELTRAUM
IN DIE
MEDIZINISCHE
PRAXIS



Zur Studie:

Prof. Dr. Detlev G. S. Thilo-Körner

Wirkungsuntersuchung von 3.000 gängigen Interventionen, undefinierbar lange

Behandlungszeiten, Verbesserung ca **11 %**

Zur Studie:

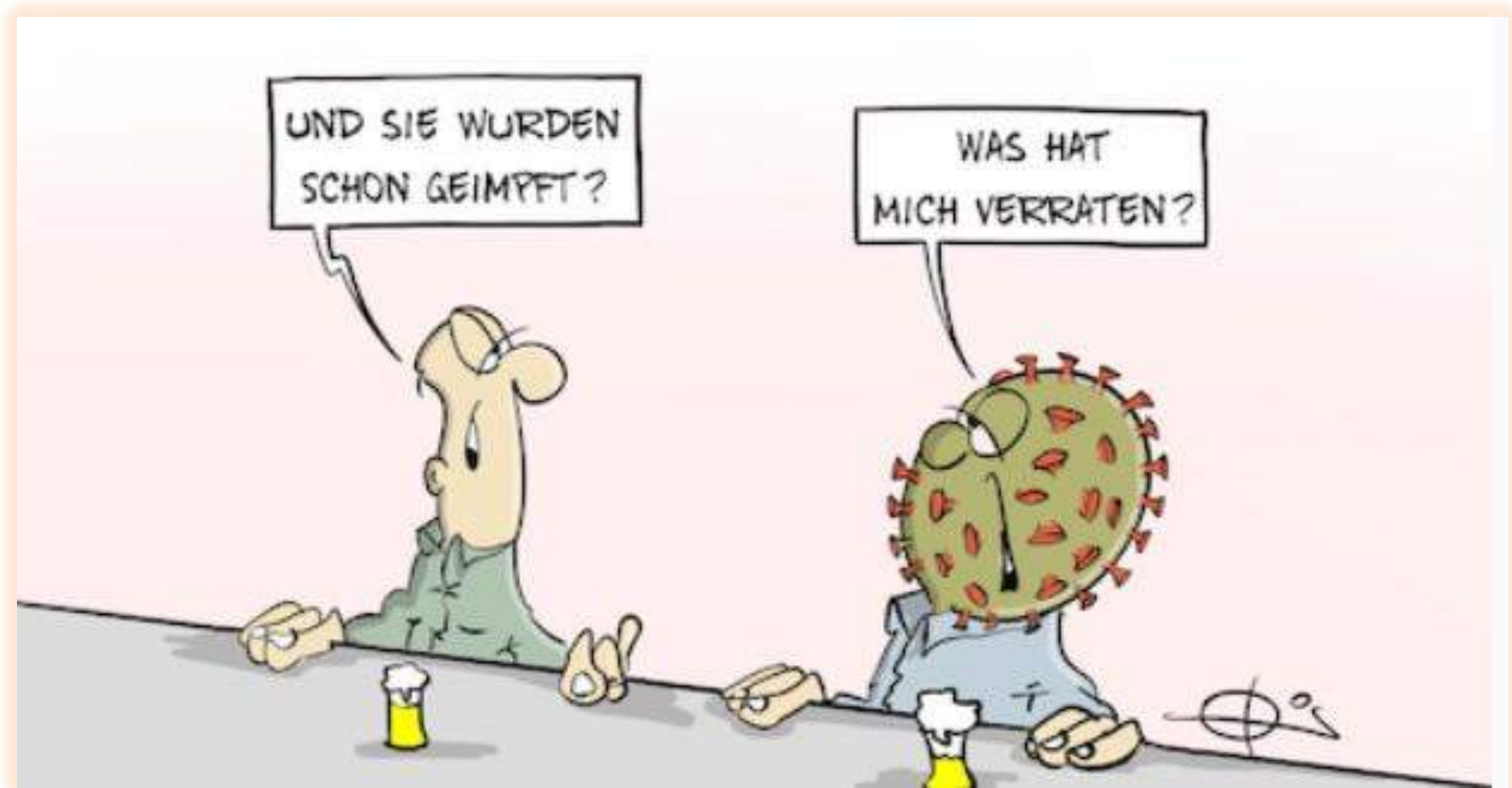
INAKARB und Kooperationspartner/Prof. Dr. Dr. Enrico Edinger

2003-2012 mit 60.930 Diagnosen

Wirkungsuntersuchung nach 10 Wochen Therapie

verbesserung aller ICD10 s um ca **84 %**

2. EINIGE IMPFNEBENWIRKUNGEN



Pathologie-Konferenz

Todesursache nach COVID-19-Impfung

20.09.2021, Reutlingen

Prof. Dr. Arne Burkhardt / Reutlingen

- Prof. Dr. Walter Lang / Hannover

www.pathologie-konferenz.de

kontakt@pathologie-konferenz.de

Institut Prof. Dr. Arne Burkhardt, Obere Wässere 3-7, 72764 Reutlingen

Turbokrebs

20-FACHER ANSTIEG VON KREBS BEI "GEIMPFTEN"

① Dr. Ryan Cole aus Idaho/USA, ist ein zertifizierter Pathologe und Inhaber & Betreiber eines Diagnostiklabors. Er berichtet, dass er bei "geimpften" Patienten einen massiven Anstieg verschiedener Autoimmunerkrankungen und Krebserkrankungen feststellt.

Den Pathologen **Prof. Arne Burkhardt** und **Prof. Walter Lang** ist es mit ihrem Team gelungen, das **Impf-Spike-Protein** in den Gefäßen einer 4 Monate nach der „Impfung“ verstorbenen Person, bei der Gefäßläsionen und auch eine impfinduzierte Myokarditis vorlagen, sicher nachzuweisen. Der Nachweis ist gelungen durch einen für das Spike-Protein spezifischen **Antikörper mittels konventioneller Immunhistochemie auf den Gewebeschnitten.**

Vermutete Corona-Impfnebenwirkungen mit potentieller Todesfolge

- Autoimmunphänomene („self-to-self attack“)
- Verminderung der Immunkapazität
- Beeinflussung des Krebswachstums
- Gefäßschaden „Endothelitis“, Vaskulitis, Perivaskulitis
- Erythrozyten-„Verklumpung“

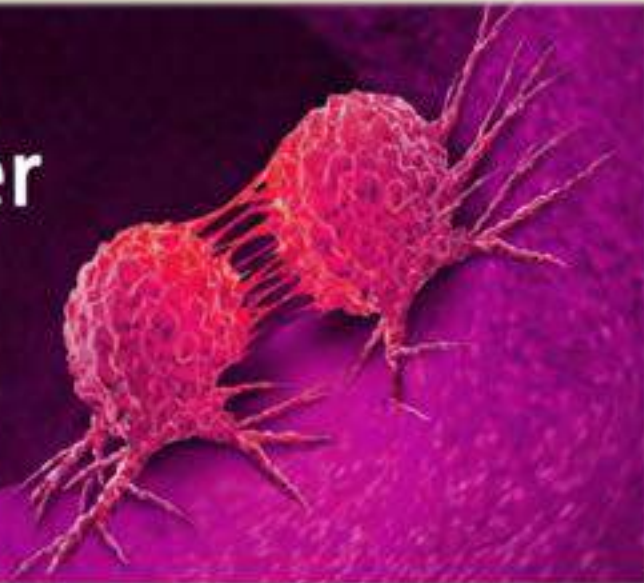
Lymphozyten-Amok

- Überschüssige Immunreaktion mit Gefahr von Autoimmun-Erkrankungen („self-to-self attack“)
- Hyperplasie und Aktivierung ~~der lymphatischen Organe~~ (Lymphknoten, Milz) - Pseudolymphome
- Infiltration und Lymphfollikel-Bildungen in nicht-lymphatischen Organen u.U. mit Destruktion (Leber, Lunge, Schilddrüse, Speicheldrüse)
- „Depletion“, d.h. Entspeicherung der lymphatischen Organe, mit Verminderung der „externen“ Immunkapazität

Lymphocyte - Amok

Lymphocyte-predominant tissue destruction („inflammation“) with immanent prolonged auto-immun disease

Cancer



Die DMED-Datenbank zeigt, dass die Krebsrate nach der Einführung der COVID-Impfstoffe um das Dreifache gestiegen ist. Siehe ACT OF WAR: Dank COVID-Impfstoffen hat sich die Krebsrate des Militärs mehr als verdreifacht

Im Gespräch mit Ryan Cole glaubt er, dass dies in erster Linie auf die Beschleunigung bestehender Krebserkrankungen (von denen die Menschen bereits wissen, dass sie sie haben, oder von kürzlich aufgetretenen Krebserkrankungen, von denen die Menschen nie wussten, dass sie dort waren) zurückzuführen ist, anstatt neue Fälle von Krebs zu schaffen.

Sehen Sie sich dieses Video an, um mehr Einblick zu erhalten:

Menü **Bild** TV-Sender **UNSER MITTELEUROPA**
MIT VEREINTEN KRÄFTEN FÜR EIN EUROPA DER VATERLÄNDER

BIONTECH-GRÜNDER MACHT HOFFNUNG
Unser Corona-Held kann bald gegen Krebs impfen
Prof. Uğur Şahin (56) erklärt zum Weltkrebstag seine Zukunft der Therapien

Start - Anmelden Freitag

Nach Covid-19-Impfzwang: Massiver Krebsanstieg unter Soldaten der US-Armee!
02.02.2022



Foto: MICHELE SANTUSSI/REUTERS

Von: **SIMONE DAY**
04.02.2022 - 20:02 Uhr

Knapp 60 000 Menschen in Deutschland erkranken jährlich an Darmkrebs. Für vier von zehn Kranken ist die Krankheit nach der Behandlung nicht besiegt, denn bei ihnen kommt der Krebs nach wenigen Jahren zurück. Oft anders und schlimmer als zuvor.

„Ich kann Ihnen von Rechtsanwalt Thomas Renz mitteilen, dass die Zahl der Krebsdiagnosen im DMED-System des Militärs von einem 5-Jahres-Durchschnitt (2016–2020) von 38 700 pro Jahr auf 114 645 in den ersten 11 Monaten des Jahres 2021 gestiegen ist. Dabei handelt es sich um eine überwiegend junge Betroffenengruppe.“

00:38  WASHINGTON, D.C.



Diese sind nicht zugelassen, und etwas vorzuschreiben, das noch in der Erprobungsphase ist

CORONA: SPIKE PROTEINE AKTIVIEREN NEOPLASTISCHES GEWEBE!

Dr. Cole aus Idaho/USA, ist ein zertifizierter Pathologe und Inhaber & Betreiber eines Diagnostiklabors. Dr. Parks hat einen Doktor in Zell- und Molekularbiologie;

Die Spike Proteine gehen nicht einfach aus dem Körper! - Sie setzen sich an Schwachstellen des Gewebes fest und katalysieren eine Gewebemutation zu neoplastischem Gewebe, - sprich: Krebs. Aus diesem Grund steigen die Krebsraten nach der Impfung, wie das beim US Militär bereits nachgewiesen wurde und jetzt wird auch verständlich, warum BionTech letztes Jahr schon an neuen mRNA "Impfungen" gegen Krebs arbeitet! - Man züchtet sich die Patienten! - Ein Verbrechen, gegen das unser Recht keine Gesetze hat!!! <https://t.me/coronawahrheit>

Turbokrebs

20-FACHER ANSTIEG VON KREBS BEI "GEIMPFTEN"

🕒 Dr. Ryan Cole aus Idaho/USA, ist ein zertifizierter Pathologe und Inhaber & Betreiber eines Diagnostiklabors. Er berichtet, dass er bei "geimpften" Patienten einen massiven Anstieg verschiedenen Autoimmunerkrankungen und Krebserkrankungen feststellt.

Spike –Proteine setzen an Supressorgen an , die unser Genom vor Krebs schützen. Z.B. am **P53 und das BRACA Gen** und aktivieren die Metastasen- und Tumorbildung!! durch Mutationsveränderung dieser schützenden Gene

Anm.

- **5G** löst offenbar nicht nur Tumorbildung aus sondern eine bisher nicht bekannte **Micrometastasierung über körpereigene Exosomen!**
- Die durch Strahlung bedingte **UNTERDRUECKUNG von p53** führt zu einer unge-wöhnlich hohen Rate strahleninduzierter Exosomenfreisetzung und **Metastasierung!**



Erfassen von Impfnebenwirkungen mit Todesfolge

- „Totenschein“-Angaben ohne verpflichtende Angabe zum Impfstatus sind wertlos
- Betroffene und Angehörige schweigen aus Betroffenheit
- Behandelnde Ärzte und involvierte Staatsanwälte sind nicht motiviert
- Obduktionen in rechtsmedizinischen Instituten ohne routinemäßige Histologie-Untersuchung sind methodisch a priori ungeeignet
- Obduktionen in Pathologischen Instituten werden teilweise verweigert, oft fehlt die Kenntnis „neuer“ Krankheitsmuster

Eine fachübergreifende Obduktion und Auswertung durch Rechtsmediziner und Pathologen mit obligater histologischer Untersuchung aller Organe und Läsionen ist für diese Fragestellung der einzig vertretbare Weg;

Heidelberger Modell

Fazit

- Wer sich impfen lassen will, muss eben auch die Konsequenzen tragen
- Unsere Aufgabe ist die Aufklärung über Risiken und Nebenwirkungen
- „Dass dies mit Verstand geschah, ist der Pathologe da“



DAS ZITAT

»Wer sich nicht impfen lassen will, muss eben die Konsequenzen tragen«

Der ehemalige Präsident des Bundesverfassungsgerichts, Andreas Obkühle, hält mehr Freiheiten für Ceimpfte und Genesene für angemessen.

CORONA GESUNDHEIT

Umfrage zeigt tatsächliches Ausmaß der Impf-Nebenwirkungen in Deutschland

19. Januar 2022



60% Nebenwirkungen durch Covid
IMPFUNG

Umfrage zeigt tatsächliches Ausmaß der Impf-Nebenwirkungen in Deutschland

Auch dieses Beispiel zeigt (<https://report24.news/umfrage-zeigt-tatsaechliches-ausmass-der-impf-nebenwirkungen-in-deutschland/>), dass die Regierung dreiste Lügen verbreitet:

"45 Prozent der Befragten erklärten, nach der Impfung schwache, 15 Prozent starke Nebenwirkungen gehabt zu haben. Hochgerechnet auf die 57,60 Millionen Geimpften wären das 8,64 Millionen starke Impfnebenwirkungen – eine unerhörte Zahl. Nur 40 Prozent gaben an, keinerlei Erfahrung mit Nebenwirkungen gemacht zu haben.

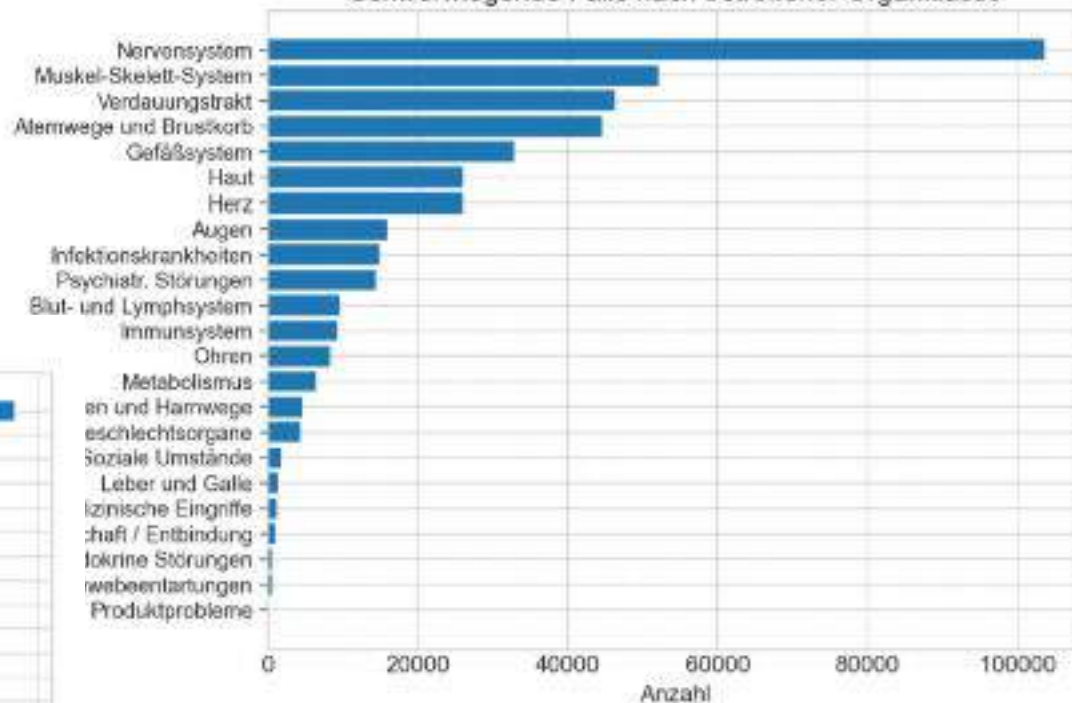
Das von Politik und den meisten Medien verbreitete Narrativ, dass es kaum je schwere Nebenwirkungen bei den Impfstoffen gäbe, ist damit widerlegt (...)."

Die Wahrheit lässt sich nicht mehr unterdrücken. Und diese fliegt den Politikaspen bald heftig um die Ohren.

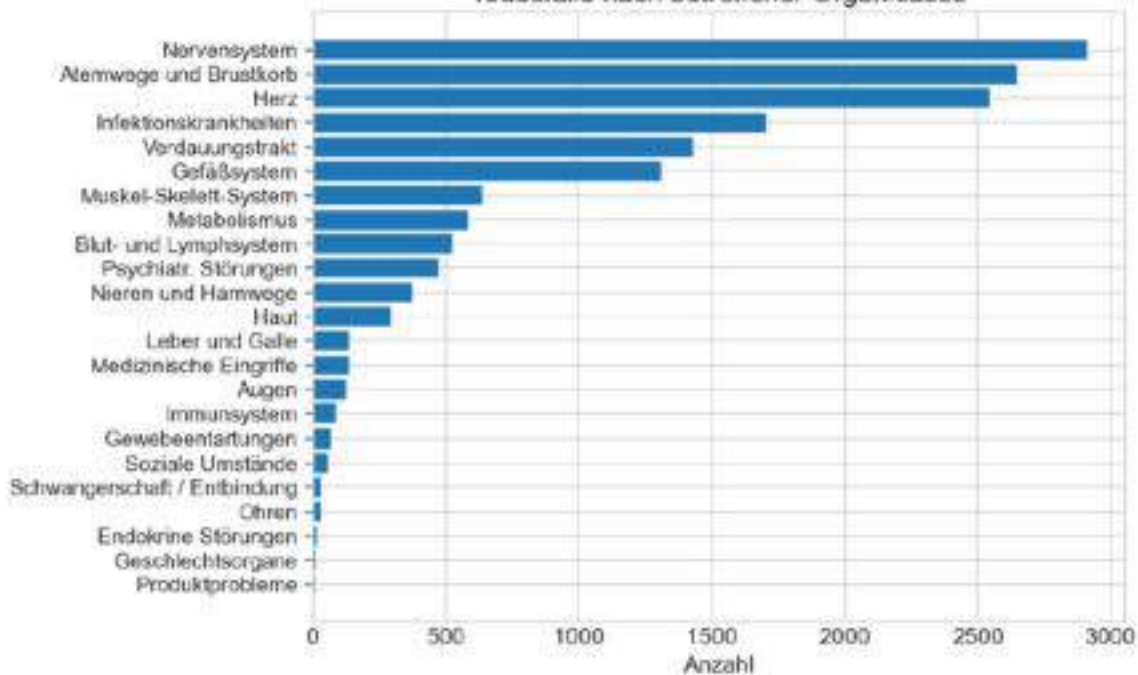
weitere kostenlose News & Hintergründe täglich
👉 <https://t.me/DanielPrinzOffiziell>

Schwerwiegende Fälle nach betroffener Organklasse

Schwerwiegende Fälle nach betroffener Organklasse

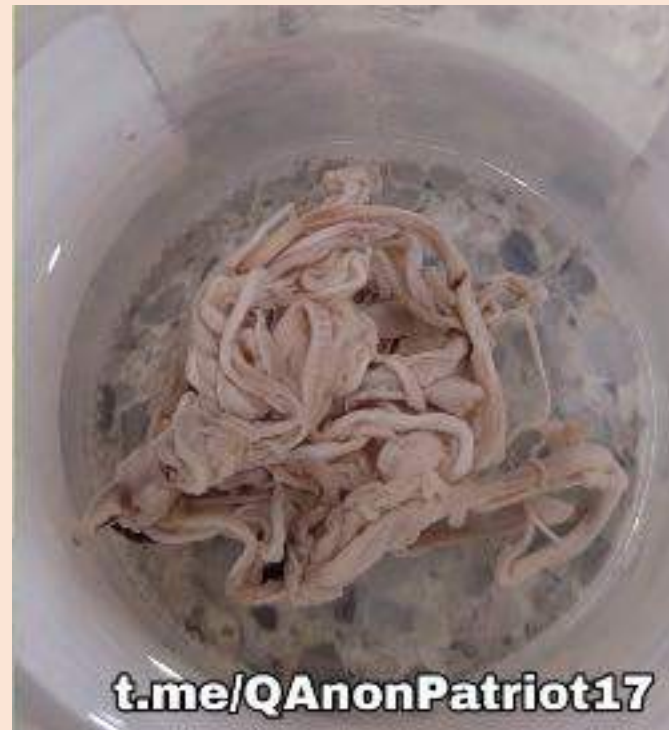


Todesfälle nach betroffener Organklasse





!! Seltsame weiße Fasern mit geronnenem Blut werden aus den Venen oder Adern eines Impfpfers gezogen
Dann sagte er zu Thomas: Schau auf meine Hände.....
08. Feb. 2022



Exklusives Foto:
Nachdem er das Blut und die **blutigen Gerinnsel** von einer Person ab gespült hatte, bei der er diese **weißen Gerinnsel aus beiden Beinen, beiden Armen und beiden Halsschlagadern** entnommen hatte - von EINER PERSON -, zeigte mir der zertifizierte Einbalsamierer Richard Hirschman, wie diese Dinge aus der Nähe aussehen.

Exosomen sind Vesikel in Nanogröße, die bioaktive **Ladungen wie Lipide, Wachstumsfaktoren und deren Rezeptoren, Proteasen, Signalmoleküle, mRNA und nicht-kodierende RNA** abgeben können, die von einer Zelle (Ursprung) an Empfängerzellen freigesetzt werden.

Von **Krebs stammende Exosomen sind wichtige Akteure bei der Bildung der Tumormikroumgebung**, indem sie

- (a) das Entweichen von Tumorzellen aus der Immunitätsprüfung ermöglichen und die Entzündungsreaktion verstärken,
- (b) die Differenzierung von Fibroblasten und mesenchymalen Zellen in Myofibroblasten beeinflussen,
- (c) das Angiogen auslösen und
- (d) **Verstärkung der metastatischen Entwicklung des Tumors durch Förderung der Transformation von Epithel zu Mesenchym und durch Vorbereitung der Tumornische an der neuen anatomischen Stelle**. Daher Verständnis der Exosomen-vermittelten Signalübertragung zwischen Tumor und ihrer Mikroumgebung,
- (e) Die Identifizierung von Faktoren, die eine solche Kommunikation beeinflussen, scheint für eine bessere Diagnose und Behandlung von malignen Erkrankungen beim Menschen von entscheidender Bedeutung zu sein.
- (f) Leider ist die Rolle **der ionisierenden Strahlung als modulierender Faktor** der Exosomensekretion noch wenig bekannt. Die Auswirkungen von Strahlung auf die Exosomen-vermittelte Signalübertragung wurden in sehr wenigen Fällen untersucht/*n-vitro*- Modelle.
- (g) Die verfügbaren Berichte zeigten jedoch, **dass die Strahlung die Zusammensetzung und Sekretionsrate der aus Spenderzellen freigesetzten Exosomen sowie die Funktionen der Empfängerzellen, die Exosomen aus bestrahlten Zellen erhalten, beeinflusste**. Daher zeigten diese frühen Beobachtungen deutlich die Bedeutung der beschriebenen Phänomene für Mechanismen, die an der Reaktion von Krebszellen auf ionisierende Strahlung beteiligt sind, auch im Zusammenhang mit der Krebsbestrahlung.

Protein Expr Lett. 2016 Jul; 23 (7): 656-663.
Online veröffentlicht 2016 Jul.
DOI: 10.21747/0928000523060100427105130

PMCID: PMC5029112
PMID: 2717741

Der Einfluss ionisierender Strahlung auf die Zusammensetzung, Sekretion und interzelluläre Kommunikation von Exosomen

Karol Jelecek,¹ Ewa Bielek,¹ und Monika Potrzebka,^{1,*}

Anm.

- **5G** löst offenbar nicht nur Tumorbildung aus sondern eine bisher nicht bekannte **Micrometastasierung über körpereigene Exosomen!**
- Die durch Strahlung bedingte **UNTERDRUECKUNG von p53** führt zu einer unge-wöhnlich hohen Rate strahleninduzierter Exosomenfreisetzung und **Metastasierung!**



LUC MONTAGNIER, NOBELPREISTRÄGER FÜR VIROLOGIE, IST IM ALTER VON 89 JAHREN GESTORBEN.

In einer Rede in Luxemburg sagte er letzten Monat über das Impfprogramm:

Es ist eine massive Kampagne mit Marketingregeln, um Produkte zu verkaufen und durchzusetzen, **die töten**. Zum Glück nicht die ganze Welt, sondern ältere und jetzt auch jüngere Menschen, Sportler und sogar Kinder.

Diese **Impfstoffe sind Gifte**. Sie sind keine echten Impfstoffe. Die mRNA lässt zu, dass ihre Botschaft unkontrolliert im ganzen Körper übertragen wird. Niemand kann für jeden von uns sagen, wohin diese Botschaften gehen werden. Dies ist also eine schreckliche Unbekannte.

💔 Mit viel Respekt und Liebe, mein herzliches Beileid an seine Familie und an alle, die ihn kannten. Ein sehr bewunderter und mutiger Mann 💔

<https://www.francesoir.fr/societe-sante/french-professor-luc-montagnier-passed-away-89>

Das Prinz Telegramm

The Montaine. "For those of you who have taken the third dose, go and take a test for AIDS. The result may surprise you. Then sue your government. "..

Show original · Rate translation



Würden Geimpfte HIV-positiv getestet werden?

WARNING – The Main-Stream-Media is preparing the Public for an incoming AIDS-Outbreak.

The Covid-19-Injections are causing „**VAIDS**“ (**Vaccine acquired Immunodeficiency Syndrome**).

Just in time for the new release of an experimental mRNA HIV “Vaccine” becoming available to the Public soon.

“Fast-spreading HIV-Variant doubles Rate of Immune-System-Decline”

<https://news.un.org/en/story/2022/02/1111372>

“Highly virulent HIV variant found circulating in Europe”

<https://www.nature.com/articles/d41586-022-00317-x>

UN News (<https://news.un.org/en/story/2022/02/1111372>)

Fast-spreading HIV variant doubles rate of immune system decline

Newly published research from the Netherlands has revealed the existence of a more transmissible and damaging variant of HIV, the Joint United Nations Programme on HIV/AIDS (UNAIDS) said on Monday.



Die Medikamente von Pfizer, Moderna, Astrazeneca und Janssen sind **KEINE** "Impfstoffe", sondern **komplexe Graphenoxid-Nanopartikelaggregate** aus unterschiedlichen Nanoelementen, die an **genetisch veränderte Nukleinsäuren von mRNA aus tierischen oder Verozellen und abgetriebenen menschlichen fetalen Zellen gebunden sind**, wie oben betrachtet und beschrieben.

Wieder einmal sind die Inhaltsstoffe in diesen sogenannten Impfstoffen **hochmagnetotoxisch, zytotoxisch und genotoxisch für pflanzen-, insekten-, vogel-, tierische und menschliche Zellmembranen und ihre Genetik, die bereits zu schweren Verletzungen** (geschätzt auf über 500 Millionen) und/oder zum Tod (geschätzt auf über 35 Millionen) geführt hat. [17] [18] bis [55][73][82][83]

Raster- und Transmissionselektronenmikroskopie zeigt Graphenoxid in CoV-19-Impfstoffen

Aktualisiert: vor 3 Stunden

5. Februar 2021, Aktualisiert am 1. Oktober 2021

Autor: Robert O Young CPC, MSc, DSc, PhD, Naturheilpraktiker
www.drrobertyoung.com

15. Revision

Koch vs Rivers	
Koch (1884)	Rivers (1937)
1. The microorganism found in the ill but not the healthy	1. Isolation of virus from diseased host
2. The microorganism must be isolated from a diseased organism and grown in pure culture.	2. Cultivation of virus in host cells
3. Produce same disease in host	3. Proof of filterability
4. Re-isolation of microorganism	4. Produce same disease in host
	5. Re-isolation of virus
	6. Detection of a specific immune response to virus

Die sogenannten "Experten" oder "medizinischen Savants" sagen IHNEN, dass CoV-2 - 19-Impfstoffe der EINZIGE Weg sind, die Ausbreitung von CoV-19 zu stoppen... auch wenn es KEINE BEWEISE für seine Existenz gibt und KEINE BEWEISE dafür, dass es sich ausbreitet, wie es durch die wissenschaftliche Methode von Koch oder Rivers postuliert wird! [54] **Dass sie effektiv sind** - obwohl Millionen von "doppelt geprübelten" Menschen krank werden, sich theoretisch einem **NICHT EXISTIERENDEN VIRUS namens CoV-19 aussetzen und sterben**. [55] NICHT durch eine Phantomvireninfektion, sondern durch die **ANGST** oder falsche Beweise, die real erscheinen, und den **toxischen Säuregehalten von reduziertem Graphenoxid**, das über die **genetisch veränderte mRNA** an bestimmte Ziele des menschlichen Körpers abgegeben wird, was zu **pathologischer Blutgerinnung, Sauerstoffmangel, Hyperkapnie, Hypoxie und dann zum Tod durch Ersticken** führt. [56] [57] [58] [83] [86]

🔥 Der Covid-Horror geht weiter: Geimpfte sind Überträger - Bestätigung durch Pfizer. PDF ist [hier zu finden](#). Seite 67,68,69...

👁️ 18.5K edited 08:20

PF
Pfizer



Der mRNA-Pionier **Luigi Warren** bestätigt, dass die bei COVID relevanten Spike-Proteine ausscheiden und verbreiten (to shed):

Für diejenigen, die es nicht wissen: **Luigi Warren ist der derzeitige Präsident und CEO von Cellular Reprogramming**, Inc, einem Biotechnologieunternehmen mit Sitz in Kalifornien. Vor allem aber ist Luigi Warren bekannt für seine Arbeit mit Derrick Rossi, dem Mitbegründer des berühmten Biotechnologieunternehmens Moderna.

Im Jahr 2010 beschrieben Luigi und Derrick gemeinsam als Erste die **mRNA-basierte Reprogrammierung** in einer bahnbrechenden Arbeit in Cell Stem Cell mit dem Titel Highly efficient reprogramming to pluripotency and directed differentiation of human cells with synthetic modified mRNA. Die Arbeit wurde von der Zeitschrift Science als einer der zehn größten wissenschaftlichen Durchbrüche des Jahres 2010 und vom TIME Magazine als einer der zehn größten medizinischen Durchbrüche des Jahres bezeichnet.

3. Shedding durch Geimpfte

Nachfolgend einige Beispiele für **Umweltexposition: (Kontakt mit Geimpften)** während der Schwangerschaft: PF-07302048 (BNT162 RNA-basierte COVID-19-Impfstoffe) Protokoll C4591001 Seite 68

- Ein männliches Familienmitglied oder ein Gesundheitsdienstleister, der mit der Studienintervention durch Inhalation oder Hautkontakt ausgesetzt war... soll gemeldet werden....

Insgesamt steht fest:

1. Es gibt die bislang vielfach geleugneten einwilligungslosen indirekten "Impfungen".
2. Die Übertragung des genetisch erzeugten Selbstangriffs auf das eigene Immunsystem kann nicht ausgeschlossen werden.
2. Man sollte **dringend Abstand zu Geimpften halten!**

Gewusst: [Impfung Nebenwirkungen, Wierwobal:](#)

„Kinder können an Spike-Protein von Geimpften sterben“ Beunruhigende Studie

Seligmanns Daten zeigen einen Anstieg der Sterblichkeit in den Wochen nach der Impfung in Europa.

Nebenwirkungen beginnen drei bis vier Wochen nach der Impfung

„Insbesondere Kinder entwickeln unerwünschte Impfreaktionen“, schreibt Seligmann. Besonders beunruhigend sei, dass die **unerwünschten Wirkungen mit der Zeit zunehmen scheinen**. Dies schließt aber nicht aus, dass Impfstoff-Shedding auch **ungeimpfte** Erwachsene jedes Alters betrifft.

Ein trauriges Beispiel ist der Tod eines fünf Monate alten Babys in den USA, das innerhalb von zwei Tagen starb, nachdem die Mutter ihre Impfung mit dem Pfizer-Vakzin erhalten hatte. Die Mutter wurde am 17. März geimpft, tags darauf lief das Baby rot an, bekam Fieber, weigerte sich zu essen und hörte nicht auf zu weinen. Im Krankenhaus fanden die Ärzte einen hohen Anteil an Enzymen in der Leber – ein Zeichen für eine Vergiftung.

Das Baby starb innerhalb von zwei Tagen. Laut des Meldesystems für Verdachtsfälle unerwünschter Wirkungen von Impfstoffen in den USA (VAERS) gab es für dessen Tod keinen anderen Grund als die indirekte Wirkung der Impfung, nachzulesen im [VAERS-System](#) unter der Ereignisnummer 1166062-1.

Der mRNA-Pionier Luigi Warren bestätigt, dass die bei COVID relevanten Spike-Proteine ausscheiden und verbreiten (to shed):

Geimpfte werden Superspreeder

In einem weiteren Warren-Tweet vom 26. Mai 2021, der hier noch existiert, aber auch als Screenshot vorliegt, heißt es: **Übrigens ist eine glaubwürdigere Idee als die „Impfstoff-induzierte Spike-Ausscheidung, die bei Unbeteiligten Krankheiten verursacht“, dass einige Impfstoffempfänger, aufgrund von Lymphozytopenie (Mangel an weißen Blutkörperchen), ADE (infektionsverstärkende Antikörper, die eine Ausbreitung und Vermehrung des Virus begünstigen) oder der Tatsache, dass die Impfstoffe nur eine Untergruppe viraler Antigene exprimieren (in Erscheinung treten der genetischen Information eines Gens bzw. DNA-Abschnitts), vorübergehend zu Virus-Superspreadern werden.**

Diskussionen zur „Impfstoff-Ausschüttung“ (vaccine shedding): Ich glaube, mit der Ausschüttungs-Idee meint man, dass Geimpfte das Spike-Protein absondern, nicht das Virus. Und es ist sicherlich wahr, dass mit mRNA geimpfte Personen das Protein absondern. Allerdings in derart geringen Mengen, die FAST sicher, bei anderen keine Erkrankung/Unwohlsein auslösen können. Als Twitter den Eintrag löschte, schrieb Warren: ich habe gerade

JG

„Bei den **unter 15-Jährigen**, die nicht geimpft sind, beginnen die unerwünschten Wirkungen **drei bis vier Wochen nach der Impfung** und nehmen allmählich bis zum Ende des untersuchten Zeitraums, **also 20 Wochen nach der Impfung**, zu“, beobachtete Seligmann. Auf der Ebene der Gesamtpopulation der Kinder unter 15 Jahren in den 22 untersuchten Ländern führe die Impfung von **einem Prozent der Erwachsenen** zu einem Anstieg der durchschnittlichen wöchentlichen Todesrate ungeimpfter Kinder um **acht Prozent**.

Mangels adäquater Analysen – bei den Kindern seien die Sterberaten sehr gering – blieben impfstoffbedingte Erhöhungen der Todesfälle weitgehend unbemerkt, gibt der Wissenschaftler zu bedenken.

Eine wöchentliche Steigerung der Impfung um **zwei Prozent** bedeute **58 zusätzliche Todesfälle unter 60 Millionen Kindern** unter 15 Jahren. Extrapoliere man diesen Effekt auf eine hundertprozentige Durchimpfung, würde dies fünf Tote unter 100.000 Kindern aufgrund von indirekten Nebenwirkungen der Impfungen bedeuten.

Übertragung des S-Proteins von Geimpften auf Ungeimpfte !

Es wurde still und heimlich auch vom Gesundheitsministerium über die **Hintertür § 21IFSG geändert**. Dieser besagt:

„Bei einer auf Grund dieses Gesetzes angeordneten oder einer von der obersten Landesgesundheitsbehörde öffentlich empfohlenen Schutzimpfung oder einer Impfung nach § 17a Absatz 2 des Soldatengesetzes dürfen **Impfstoffe verwendet werden, die Mikroorganismen enthalten, welche von den Geimpften ausgeschieden und von anderen Personen aufgenommen werden können**. Das Grundrecht der körperlichen Unversehrtheit (Artikel 2 Abs. 2 Satz 1 Grundgesetz) wird insoweit eingeschränkt.“

Im Klartext gesetzlich angeordnete **Körperverletzung**, da jetzt bereits erkennbar ist, dass alle

Geimpften zu Spike – Protein Ausscheidern in hohem Ausmaß werden und vor allem alle Nicht-geimpften im hohen Maße damit infizieren und gegen ihren Willen impfen. <https://alschner-klartext.de/2021/05/31/spike-protein-in-der-muttermilch-ist-toxisch/>

So berichtet **Prof. Dr. Byram Bridle**, er ist Virologe und Immunologe an der kanadischen Universität of Guelph, dass die mit **Biontech Geimpften über den ganzen Körper Spike Proteine herstellen und ausscheiden würden**.

Diese gehen in das **Abwasser** an alle möglichen Oberflächen, die angefasst wurden. Sie gehen aber auch in die **Muttermilch**. Die Untersuchungen bezogen auf die Muttermilch haben ergeben, dass die Spike **Proteine so toxisch sind, das diese bei den Babies schwere Schäden** anrichten. Das Spike Protein sei ein pathogenes Protein. Es sei ein Toxin.

Wie eingangs dargestellt, gibt es die Technologie, die sich **GenDrive** nennt.

Die automatische Vervielfältigung des Spike Proteins ab der Impfung wird also bei jedem Geimpften zum sicheren Tod führen. Es ist nur eine Frage der Zeit, wann die Organschäden groß genug sind.

- Das Spike Protein kann sich aber mit GenDrive Sequenzen versehen **in jeden anderen Körper gelangen und aufgenommen auch dort repliziert werden und verursacht zeitversetzt die gleichen Schäden**.
- Es ist deshalb **ab einer bestimmten Quote an Geimpften** nur eine Frage der Zeit, dass **jeder Mensch zu einem Spike Protein – Hersteller wird** – diese ausscheidet und andere damit infiziert.

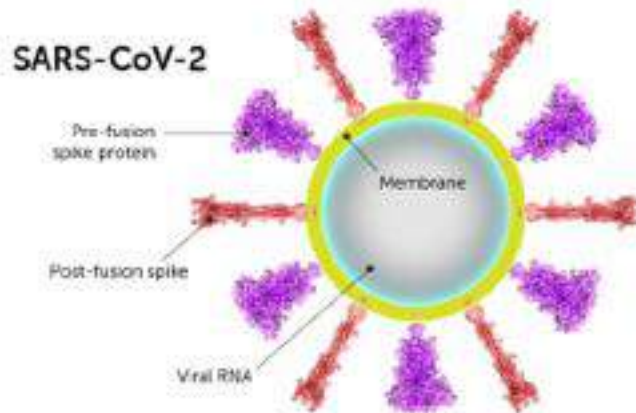
Paragraph 21 IFSG legt nahe, dass **Jens Spahn die Wirkweise kennt**, weshalb es wegen **des Dominoeffekts auf Nichtgeimpfte der Einführung dieses Paragraphen für alle RNA Impfstoffe bedurfte**.

Trifft die Aussage zu, ist es nur eine Frage der Zeit, bis die Erdbevölkerung weitestgehend ausgelöscht ist.

II. Körperverletzung mit Todesfolge für alle, die den sog. Impfstoff von Biontech verimpften

Spike Protein 101: A Primer from Dr. Larry Palevsky

Übertragung des S-Proteins von Geimpften auf Ungeimpfte !



Und jetzt sehen wir, dass Frauen, die sich in der Nähe von anderen befinden, denen injiziert wurde, die gleiche Erfahrung machen, was den Verdacht aufkommen lassen muss, dass nicht nur diese Messenger-RNA den Körper dazu bringt, kontinuierlich Spike-Protein zu produzieren, sondern auch **dieses Spike-Protein wird wahrscheinlich aus dem Atem, dem Speichel, der Haut und wer weiß, wo sonst im Körper es vergossen wird.** Und **dieses wird auf Nichtinjizierte uebertragen !**

Und so liefert diese Messenger-RNA-Technologie, wie sie genannt wird, also die Impfung, die genetischen Anweisungen für die Herstellung des Spike-Proteins. Und das Problem ist, dass noch nie eine Studie durchgeführt wurde, um die Sicherheit zu testen. Es wurde jedoch auch keine Studie durchgeführt, um zu testen, ob wir die Produktion dieses Spike-Proteins einschalten und jemals ausschalten.

Es wurde gezeigt, dass **Spike-Protein** in der natürlich vorkommenden SARS-COV2-Virusinfektion **Gehirnentzündungen und neurologische Schäden, Herzinfarkte, Lungenerkrankungen, Lebererkrankungen, Nierenerkrankungen und die Interaktion mit dem männlichen und weiblichen Fortpflanzungssystem sowie die Beeinflussung des Blutes verursacht Bindung an Sauerstoff und Blutgerinnung.** Und so wissen wir, dass die natürliche Krankheit von SARS-COV2 aufgrund der Wirkung des Spike-Proteins Menschen mit all diesen Arten von systemischen Erkrankungen krank macht. Und **jetzt nehmen wir die genetischen Anweisungen für dieses Spike-Protein** und bitten unseren Körper, **mehr aus diesem Spike-Protein herzustellen.** Indem wir mehr aus diesem Spike-Protein herstellen, erzeugen wir im Wesentlichen die **Symptome und die Krankheit von Covid 19,** indem wir Menschen das Potenzial geben, **Hirnschäden und neurologische Schäden, Lungenerkrankungen, Lebererkrankungen, zu erleiden. Nierenerkrankungen, Herzinfarkte, Schlaganfälle, Blutgerinnungsprobleme und Beeinträchtigungen des männlichen und weiblichen Fortpflanzungssystems.** Und es gibt keine Studie, die zeigt, ob wir, wenn der Körper mit der Herstellung dieses synthetischen Spike-Proteins beginnt, jemals die Produktion dieses Spike-Proteins abschalten oder nicht. Und so ist bekannt, dass Spike-Protein das menschliche Gewebe ziemlich schädigt.

Hey lovely , I just wanted to let you know I've not been well & im sure it's down to vaccinated people shedding

I've had a rash & blood infection levels of over 200 ! Also I've had horrendous painful menstrual problems which I had to have a scan & I have a enlarged uterus & ovarian cyst

Never ever suffered with anything like this before

Like

Comment

Like

Comment



Like

Comment

This woman has suffered from horrific and unexplained symptoms after close contact with vaccinated individuals. These include a full body rash, blood infection levels over 200, horrific menstrual pains, an enlarged uterus and ovarian cysts.

Subscribe: t.me/cvinjuriesanddeaths



https://media.tghn.org/medialibrary/2020/11/C4591001_Clinical_Protocol_Nov2020_Pfizer_BioNTech.pdf

🔥 Der Covid-Horror geht weiter: Geimpfte sind Überträger - Bestätigung durch Pfizer. PDF ist hier zu finden. Seite 67,68,69...
18:5K · edited 08:20

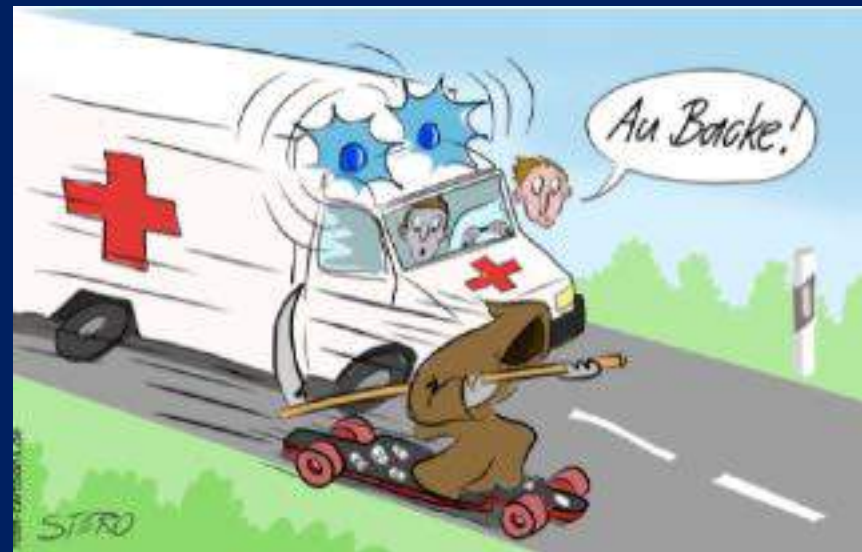
Dr. Christiane Northrup spricht über die Ausscheidung und Übertragung von Coronavirus-Impfstoffen

Im Interview mit **Mike Adams** sprach die Bestsellerautorin der New York Times, Dr. Christiane Northrup, über Tausende von Fällen von Frauen mit **Menstruationsstörungen und Blutungen bei Mädchen**, nachdem sie Zeit in Gesellschaft von Menschen verbracht hatten, denen Coronavirus (COVID-19)-Impfstoffe injiziert wurden. Sie erwähnte dann, dass ein **Pfizer-Dokument für Studienteilnehmer während der Entwicklung seines mRNA-Impfstoffs besagte**, dass **sieben Wochen** nach Erhalt der Impfung kein Mann jemanden schwängern und keine Frau schwanger werden sollte, um Hautkontakt oder Kontakt mit sexuellen Flüssigkeiten zu vermeiden.

Laut Northrup deutet diese Aussage auf Seite 67 des Pfizer-Dokuments darauf hin, dass große Pharmaunternehmen etwas über die Gefahren wussten, wenn Impfstoffkomponenten von geimpften Personen abgegeben werden – ein Prozess, der als Impfstoffausscheidung bekannt ist.

Northrup sprach auch über die zunehmende Zahl von Autisten im Land und die Gehirnwäsche, die von Ärzten durchgeführt wird, um die Gedanken der Eltern so zu konditionieren, dass sie, wenn ihre Kinder nach der Impfung verletzt werden, alles andere als den Impfstoff verantwortlich machen.

5. Statistik des Todes



How many people have been killed?



Rochelle Walensky, CDC



Steve Kirsch, Philanthropist

Both people are telling the truth!

But the CDC statement is **very misleading** because they don't believe that you can determine causation from VAERS + lack of autopsies.

Der Informatiker und Unternehmer Steve Kirsch hat als externer Berater der FDA ein Modell zu Abschätzung der Impfstofftoxizität vorgestellt.

Durch den Vergleich der VAERS-Daten mit einer prospektiven Kohortenstudie zur Untersuchung der Häufigkeit von **anaphylaktischen Schocks** nach der Impfung schätzt Kirsch, dass die VAERS-Datenbank

Nebenwirkungen um den **Faktor 41** unterschätzt. Er nennt dies **under-reporting factor (URF)**.

Kirsch verwendet noch andere Verfahren, um den URF zu schätzen, beispielsweise die Inzidenz von **Myokarditis nach der Impfung, von der jeder tausendste (1.000.) Impfling betroffen ist,**

laut VAERS hingegen **nur 70-mal weniger.**

Vielmehr werden die Todesfälle nach der SARS-CoV-2-Impfung systematisch viel zu selten berichtet,

Er nutzt dann drei Verfahren, um die Anzahl der Impftoten in den USA aus den VAERS-Daten zu schätzen. Bei der ersten Methode subtrahiert er von den zum Zeitpunkt seiner Analyse gemeldeten Todesfällen die Basisrate, die sich immer in der VAERS-Datenbank findet, und multipliziert diese sicherheitshalber mit dem Faktor 2, um zu berücksichtigen, dass in diesem Jahr aufgrund der beispiellosen Impfkampagne mehr alte Menschen geimpft wurden, die sowieso gestorben wären.

Bei der zweiten Methode verwendet er die Analyse von **Mclachlan**, die davon ausgeht, dass über **80 Prozent der VAERS-gemeldeten Toten tatsächlich an der Impfung gestorben** sind.

Schließlich verwendet er noch Schätzungen von Pathologen VON REUTLINEGEN, wobei er damit rechnet, dass 60 Prozent der gemeldeten Toten an der Impfung gestorben sind.

Auf diese Weise errechnet er für die USA bis Ende August

2021 etwa 150.000 bis 200.000 Tote durch die Impfung. Er validiert diese Zahlen durch Vergleiche mit zahlreichen anderen Schätzungen hier, hier, hier und hier von Giradot, die alle ähnliche Zahlen ergeben, wenn man sie auf die Anzahl der Impflinge in den USA extrapoliert.

Aus den statistischen Erhebungen und vergleichen mit vorliegenden Studien ergeben sich nach Kirsch folgende Daten:

- 400 bis 800 Toten auf 1 Million Impflinge, also **1 Toter auf 1.250 bis 2.500 Geimpfte**. (Bei klassischen Impfstoffen rechnet man mit **einem Toten auf 5 Millionen Impflinge**)
- SARS- CoV-2 Impfstoffe sind also **2.000- bis 4.000-mal toxischer** als klassische Impfstoffe.
- zwei Gruppen von Todesarten: Erstens die **akute Letalität durch SARS-CoV-2-Impf-SPIKE-induzierte Autoimmunvaskulitis, tödliche Gerinnungsstörungen und anaphylaktischen Schock**. Und zweitens auch die etwas später einsetzende Letalität durch
- **Autoimmunreaktionen gegen die eigenen Organe**, die zu **Herzversagen, Myokardinfarkt, Lungeninfarkt oder Multiorganversagen** führen und jüngst von den Pathologen in Reutlingen beschrieben wurden.

Aus den Zahlen von Kirsch kann man folgern, dass sich für Deutschland mit 63 Millionen voll Geimpften bisher **30.000 bis 50.000 Impftote** ergeben könnten.

Tabelle 2: Anzahl und Melderate der gemeldeten Todesfälle für die einzelnen COVID-19-Impfstoffe

Impfstoff	Todesfälle	Melderate für Todesfälle pro 1.000 Impfungen
Comirnaty	1.427	0,02
Spikevax	80	0,01
Vaxzevria	307	0,02
COVID-19 Vaccine Janssen	52	0,02
Unbekannter Impfstoff	53	
Gesamt	1.919	0,02

NEWS / Inland
Coronavirus: Impfen

29.01.2021



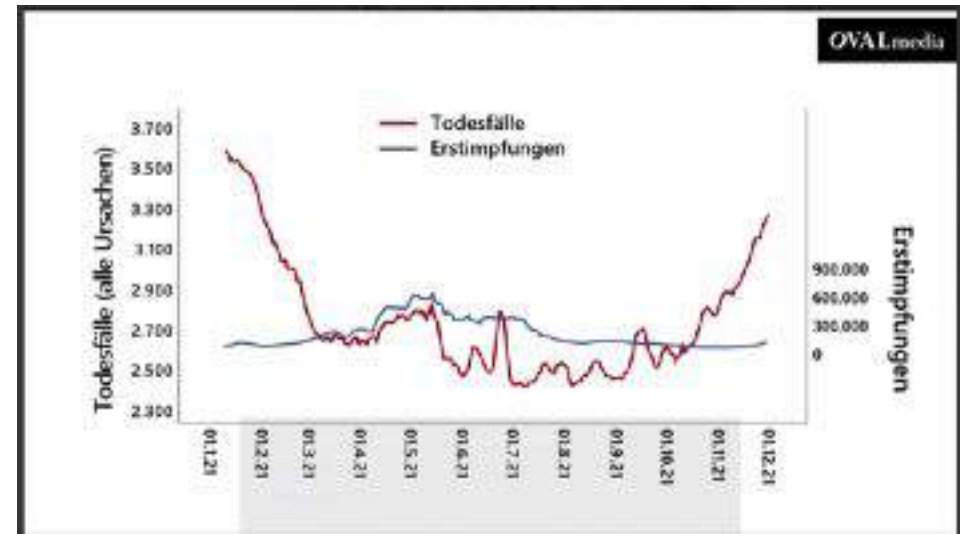
Paul-Ehrlich-Institut: Kein Zusammenhang zwischen Corona-Impfung und Todesfällen



In vielen Fällen Personen mit Vorerkrankung betroffen



98 % Zusammenhang zwischen Covid-Impfungen und Übersterblichkeit



Korrelationskoeffizient

$$r = 0.98$$

98 % Zusammenhang zwischen Covid-Impfungen und Übersterblichkeit

>>> RKI-Pressestelle 20.12.2021, 11:18 >>>

Sehr geehrter Herr Kuhbandner,
vielen Dank für Ihren Hinweis. Die Exzess-Mortalität wird vom Statistischen Bundesamt ausgewertet und erläutert (www.destatis.de). Das RKI und auch die STIKO haben keine Kapazität, Auswertungen oder Vermutungen Einzelner zu sichten und zu bewerten, ich bitte um Verständnis.

Mit freundlichen Grüßen
Im Auftrag
Susanne Glasmacher
Pressesprecherin

Robert Koch-Institut
Nordufer 20
13353 Berlin

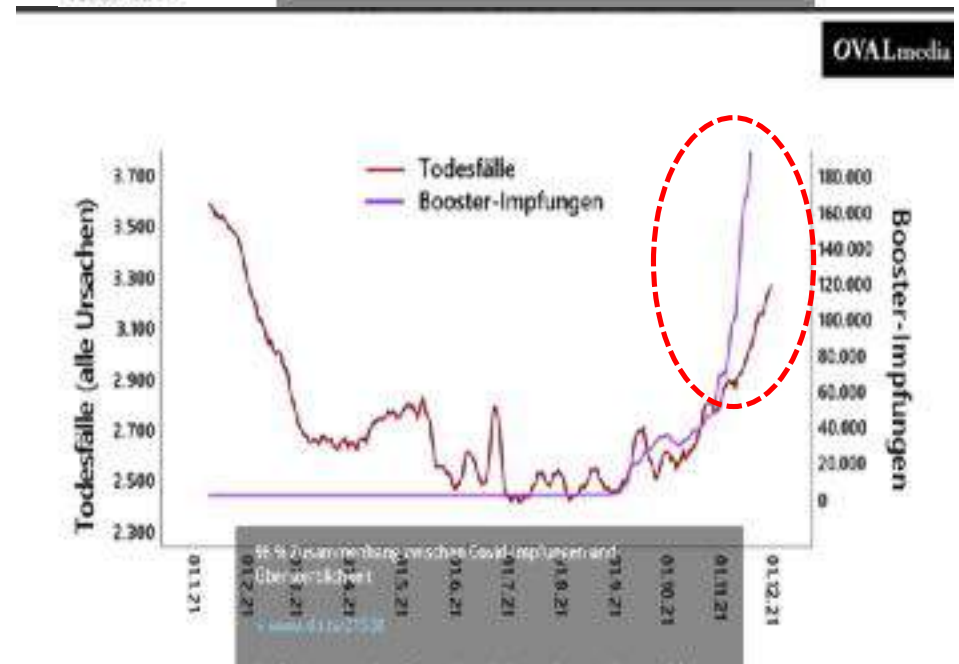


Table 16: Number of confirmed COVID-19 related deaths by vaccination status at time of test and age-standardised mortality rate per 100,000, 25 December 2021 to 21 January 2022

NEUE Daten aus Schottland, Stand 6. Februar 2022

Week	Unvaccinated			1 Dose		
	No. of deaths	Population	Age Standardised Mortality Rate per 100,000 with 95% confidence intervals	No. of deaths	Population	Age Standardised Mortality Rate per 100,000 with 95% confidence intervals
25 December - 31 December 2021	9	1,561,422	5.61 (0.72 - 10.49)	1	347,495	0.36 (0.00 - 1.06)
01 January - 07 January 2022	12	1,551,317	7.57 (2.36 - 12.77)	3	340,089	7.43 (0.00 - 16.30)
08 January - 14 January 2022	17	1,542,754	10.93 (4.29 - 17.56)	3	338,750	4.80 (0.00 - 11.16)
15 January - 21 January 2022	18	1,538,662	7.30 (2.91 - 11.69)	6	318,638	12.11 (1.58 - 22.64)
Week	2 Doses			Booster or 3 Doses		
	No. of deaths	Population	Age Standardised Mortality Rate per 100,000 with 95% confidence intervals	No. of deaths	Population	Age Standardised Mortality Rate per 100,000 with 95% confidence intervals
25 December - 31 December 2021	21	1,525,220	7.15 (3.87 - 10.43)	9	2,429,705	0.21 (0.07 - 0.34)
01 January - 07 January 2022	26	1,123,613	12.02 (7.22 - 16.81)	21	2,847,545	0.46 (0.26 - 0.65)
08 January - 14 January 2022	34	997,775	14.36 (9.14 - 19.57)	72	2,982,049	1.52 (1.16 - 1.87)
15 January - 21 January 2022	30	933,147	15.49 (9.75 - 21.23)	77	3,070,209	1.60 (1.24 - 1.96)

Data in this table should not be used as a measure of vaccine effectiveness due to unaccounted for biases and risk factors in different populations. For more information, please see the [interpretation of data](#) and [Vaccine effectiveness summary](#) sections above.



Marche blanche
Genève, le 29 janvier 2022

n-tv

Neue Empfehlung der Siko: Impfung für alle ab fünf Jahren
Kinder ab fünf Jahren können sich schon seit Wochen gegen das
Coronavirus impfen lassen. Jetzt hat die Sächsische
Impfkommission ihre Empfehlung angepasst - und rät zum Pils ...



Kinder:

-> 20.410 Fälle (+605)

-> **109 Todesfälle (+6)**

-> 8.236 schwerwiegende Nebenwirkungen (+276)

👉 EMA-Datenbank liefert irrsinnige Zahlen zu Impfschäden



"Aktueller Datenstand der Impfschäden in der EudraVigilance-Datenbank

Seit dem Beginn der COVID-19-Impfkampagne wurden folgende Schäden an die Datenbank gemeldet. Der Datenstand dieser Zahlen ist der **17.1.22 (Rohdaten)**. In Klammern ist der Zuwachs zum Datenstand vom 10.1.22 angezeigt.

Insgesamt:

- > 1.387.759 Fälle (+33.259)
- > 21.251 Todesfälle (+279)
- > 397.681 schwerwiegende Nebenwirkungen (+11.281)

Kinder:

- > 20.410 Fälle (+605)
- > **109 Todesfälle (+6)**
- > 8.236 schwerwiegende Nebenwirkungen (+276)

Tabelle 2: Anzahl und Melderate der gemeldeten Todesfälle für die einzelnen COVID-19-Impfstoffe

Impfstoff	Todesfälle	Melderate für Todesfälle pro 1.000 Impfungen
Comirnaty	1.427	0,02
Spikavax	80	0,01
Vaxzevria	307	0,02
COVID-19 Vaccine Janssen	52	0,02
Unbekannter Impfstoff	53	
Gesamt	1.919	0,02

◆ !! ☀️ 21.000
Todesfälle und fast
1,4 Millionen Nebenwirkungen

Das sind nur ca
2 %
der gemeldeten
,Fälle



Viel zu früh wieder zu uns unserer Mitte gezogen
In einem Plötzlichen Schicksal um 22:00 Uhr am

Paul Seiffert

1.1.1988 - 11.11.2021

Ludwig, am 5. Januar 2022

In Liebe und tiefer Dankbarkeit
Seine Ehefrau Judith Seiffert mit Tochter Nika
Seine Mutter Sabine Wolf
Sein Vater Felix Seiffert mit Hausfrau Marilou
Seine Schwester Beate Seiffert
In einem allen Angehörigen und Freunde

Die Beisetzung fand im privaten Familiengrab auf dem
Friedhof St. Michaels statt.

05:55

➡ Häufig weitergeleitet

Das ist Paul, mein Sohn. Er ist gestern Abend um 22:00 Uhr zuhause im Bett gestorben. Paul war 33 Jahre alt und kerngesund. Vorgestern hat er seine Dritte Impfung gegen Corona bekommen. Er war voll überzeugt dass das eine gute Sache ist. Einen Tag nach dem Boostern ist er jetzt tot. Ich bitte Euch alle inständig. Bitte macht Euch sehr ernsthaft Gefanken, wie Ihr mit Eirem Körper und Eurer Gesundheit umgeht. Es ist einfach so bitter. In Liebe, Euer Félix Paul hinterlässt seine junge Ehefrau und seine 2 Monate alte Tochter

05:5

➡ Häufig weitergeleitet

Die haben über den Anwsit eine Obduktion erwirkt. Die Polizei hätte nichts gemacht.

Eindeutig bewiesen. Lungenembolie nach Boostet 🤔🤔🤔

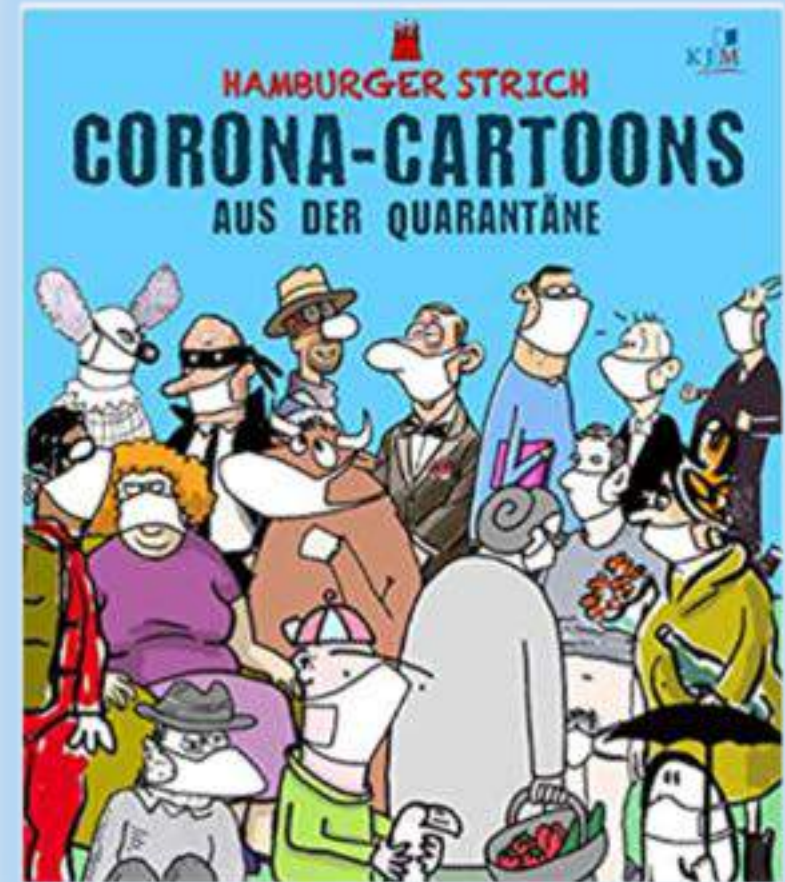
Post von Enrico Etlinger

05:5

What do you say
to the victims?



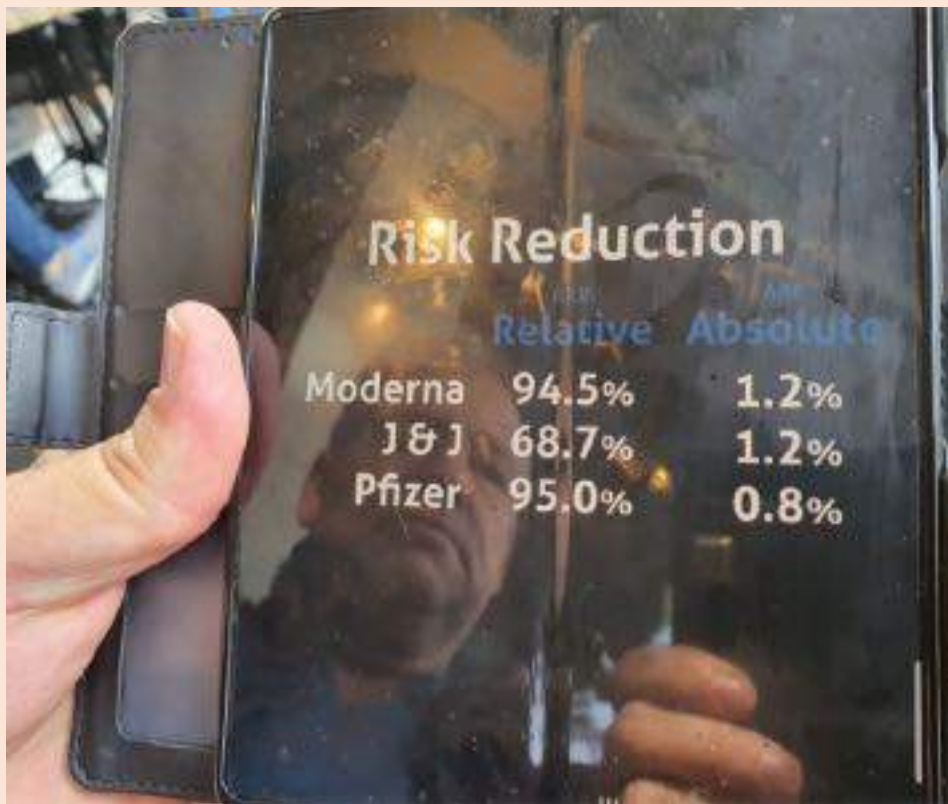
5. Die (Unwirksamkeit) - der IMPFUNG



COVID-19 vaccine efficacy and effectiveness—the elephant (not) in the room

Piero D'Avolio · Elis Torreggiani · Michel Vailliant

Open Access · Published: April 20, 2021 · DOI: [https://doi.org/10.1016/S2666-5247\(21\)00069-0](https://doi.org/10.1016/S2666-5247(21)00069-0)



3. Wirksamkeit der Impfstoffe

Aus the Lancet, April 2021

Although the RRR considers only participants who could benefit from the vaccine, the absolute risk reduction (ARR), which is the difference between attack rates with and without a vaccine, considers the whole population. ARR tend to be ignored because they give a much less impressive effect size than RRRs: 1.3% for the AstraZeneca–Oxford, 1.2% for the Moderna–NIH, 1.2% for the J&J, 0.93% for the Gamaleya, and 0.84% for the Pfizer–BioNTech vaccines.

Obwohl die RRR nur Teilnehmer berücksichtigt die von dem Impfstoff profitieren könnten, ist **die absolute Risikoreduktion** (ARR), die den Unterschied zwischen mit und ohne Impfstoff, berücksichtigt die gesamte Bevölkerung. ARR werden in der **Regel ignoriert, weil sie eine viel weniger beeindruckende Effektgröße** ergeben als RRRs:

1,3% für die AstraZeneca-Oxford-Studie,
1,2 % für die Moderna-NIH-Studie,
1,2% für den J&J-Impfstoff,
0,93% für den Gamaleya-Impfstoff und
0,84% für den(die Impfstoffe von Pfizer-BioNTech.

Der antigene Minimalismus von SARS-CoV-2 ist mit einem Anstieg der COVID-19-Community-Übertragung und Impfstoff-Durchbruchinfektionen verbunden

AJ Venkatakrishnan, Praveen Anand, Patrick Lenehan, Pritha Ghosh, Rohit Suratekar, Abhishek Siroha, Dibyendu Roy Chowdhury, John C. O'Horo, Joseph D. Yao, Bobbi S. Pritt, Andrew Norgan, Ryan T. Verletzt, Andrew D. Badley, John D. Halamka, Venky Soundararajan

doi: <https://doi.org/10.1101/2021.05.23.21257668>

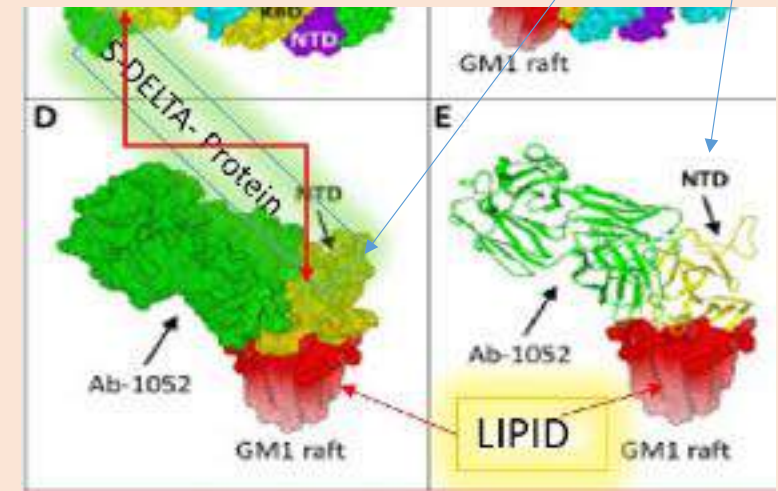
[Preprint.] Hier haben wir systematisch über 1,3 Millionen SARS-CoV-2-Genome aus 178 Ländern analysiert und eine vollständige Genom-Virussequenzierung von **53 COVID-19-Patienten** durchgeführt, darunter **20 Impfstoff-Durchbruchinfektionen**. Wir identifizierten 116 Spike-Protein-Mutationen. **Deletionen in der N-terminalen Domäne des Spike-Proteins (NTD)** sind für diese „Surge-assoziierten Mutationen“ stark angereichert (Odds Ratio = 18,2, 95% CI: 7,53–48,7; $p=1,465 \times 10^{-18}$).

Insgesamt deuten das **wachsende Repertoire an Deletionen der N-terminalen Domäne des Spike-Proteins** während der Pandemie und ihre Assoziation mit **Fallanstiegen und Impfstoffdurchbruchinfektionen** auf **antigenen Minimalismus** als aufkommende evolutionäre Strategie für SARS-CoV-2 hin, um Immunreaktionen zu umgehen.

Kommentar zu diesem Preprint

Der Antigene Minimalismus von SARS-CoV-2 ist mit einem Anstieg der COVID-19-Community-Übertragung und Impfstoffdurchbruchinfektionen verbunden

N-terminale Domain der D-Spikeproteine NTD



Infection-enhancing anti-SARS-CoV-2 antibodies recognize both the original Wuhan/D614G strain and Delta variants. A potential risk for mass vaccination?

Nouara Yahi • Henri Chahinian • Jacques Fantini

Published: August 09, 2021 • DOI: <https://doi.org/10.1186/s12916-021-02000-0>

Der Antigene Minimalismus von SARS-CoV-2 ist mit einem Anstieg der COVID-19-Community-Übertragung und Impfstoffdurchbruchinfektionen verbunden

Bei symptomatischen Covid-19 wurden infektionsfördernde Antikörper (ADE) nachgewiesen. = antigener Minimalismus

- Antikörperabhängige Verstärkung (ADE) ist ein potenzielles Problem für Impfstoffe.
- Verstärkende Antikörper erkennen sowohl den Wuhan-Stamm als auch Delta-Varianten.
- ADE von Delta-Varianten ist ein potenzielles Risiko für aktuelle Impfstoffe.
- Impfstoffformulierungen ohne ADE-Epitop werden vorgeschlagen.

14 Delta Variante vor allem bei Geimpften
oder der antigene Minimalismus

Bei **der Delta-Variante** haben **neutralisierende Antikörper jedoch eine verringerte Affinität** zum **Spike**-Protein, während **erleichternde Antikörper (ADE)** **eine auffallend erhöhte Affinität** aufweisen.

Daher kann **ADE ein Problem für Menschen sein, die Impfstoffe erhalten, die auf der ursprünglichen Wuhan-Stamm-Spike-Sequenz (entweder mRNA oder virale Vektoren) basieren**. Unter diesen Umständen sollten Impfstoffe der zweiten Generation mit Spike-Proteinformulierungen, denen strukturell konservierte ADE-bezogene Epitope fehlen, in Betracht gezogen werden.

Wuhan/D614G

Bei
Ungeimpften

neutralization



Delta variants

Bei Geimpften!!

neutralization



DELTA

Da unsere Daten zeigen, dass Delta-Varianten besonders gut von **infektionsfördernden Antikörpern (ADE)** erkannt werden, die auf die **NTD (N-terminale Domain der D-Spikeproteine)** abzielen, sollte die Möglichkeit von ADE weiter untersucht werden, da sie ein **potenzielles Risiko für eine Massenimpfung während der aktuellen Delta-Varianten-Pandemie** darstellen kann.

In dieser Hinsicht sind Impfstoffe der zweiten Generation mit Spike-Proteinformulierungen, denen **strukturell konservierte ADE-bezogene Epitope fehlen**, sollten in Betracht gezogen werden.

Abb. 1 **Infektionserhöhende Antikörper erkennen die NTD (N-TERMINALE Domain des S-Spikeproteins) von Delta-Varianten.** A. Molekulares Modell des Delta B.1.617.1

Spike-Trimers, gesehen von der Wirtszelloberfläche (Ketten A, B und C in Cyan, Gelb bzw. Violett), wobei NTD und RBD jeder Kette angegeben sind. Der **Antikörper 1052 ist grün.**

B. Spike-Trimer mit der B-Untereinheit, die an ein Lipid-Raft gebunden ist (mit 6 **Gangliosid-GM1-Molekülen**).

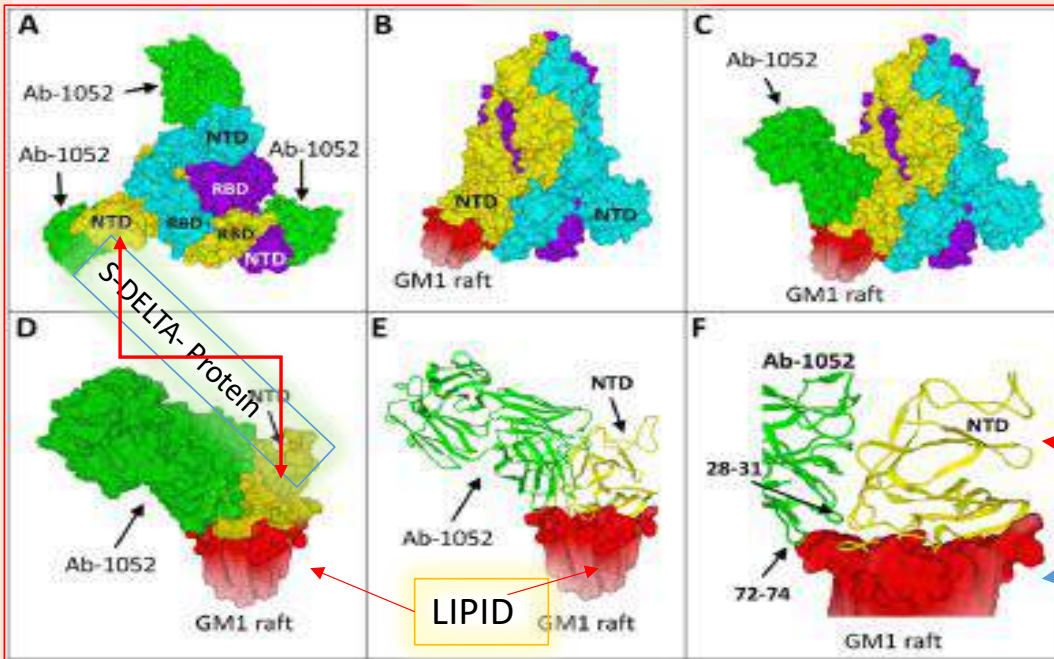
C. Trimolekularer [Spike-Antikörper-Raft]-Komplex.

D. Konzentrieren Sie sich auf den **NTD-Antikörper-Komplex**, der an das **Lipid-Raft** gebunden ist.

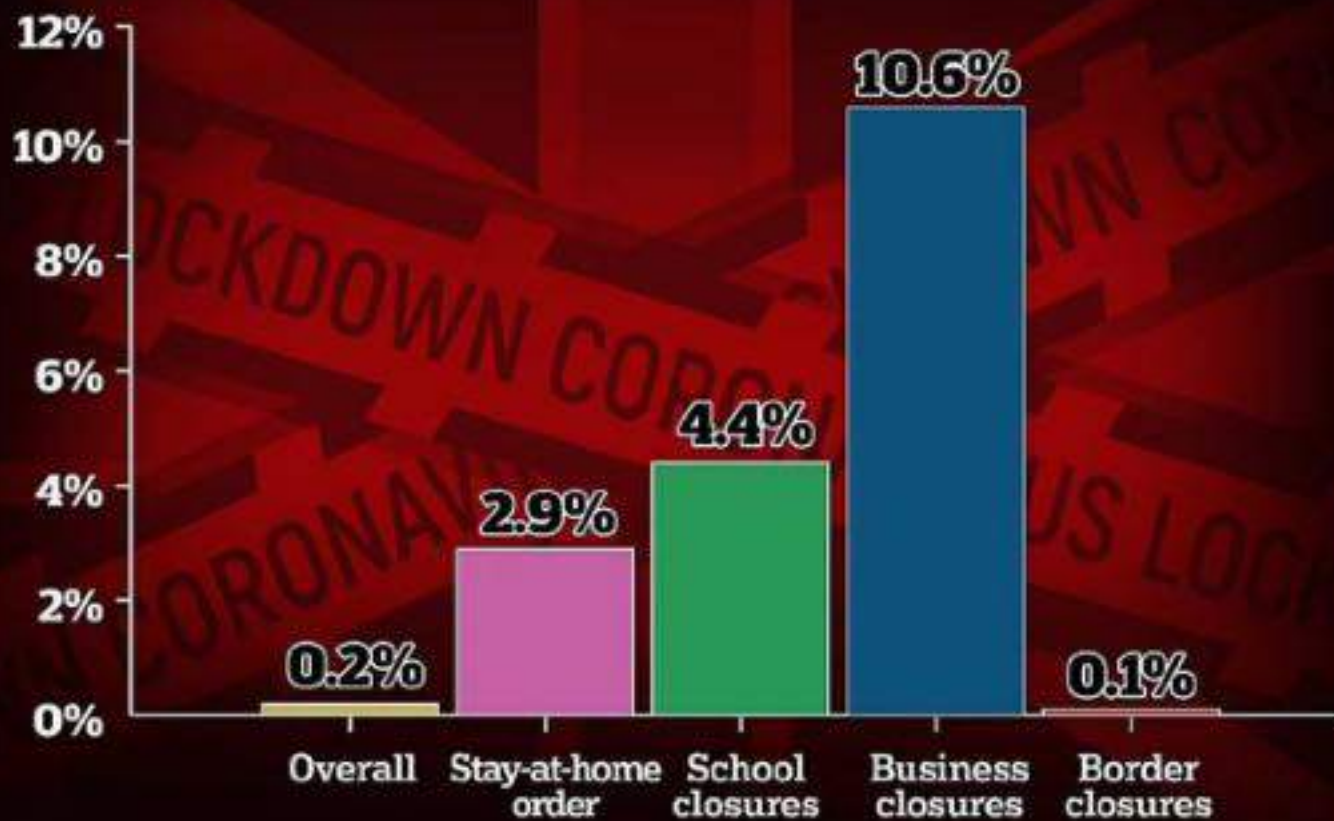
E. Sekundärstrukturen **des NTD (gelb)** und des **Antikörpers (grün)**, die an **Lipid-Raft-Ganglioside** gebunden sind.

F. Der **Antikörper 1052** klemmt die NTD und den Rand des Lipid-Rafts.

Durch das **Abklemmen der NTD und des Lipid-Rafts** verstärkt der Antikörper die **Anheftung des Spike-Proteins an die Zelloberfläche** und erleichtert so die **Konformationsänderung der RBD**, die der nächste Schritt des Virusinfektionsprozesses ist



BY HOW MUCH (%) DID LOCKDOWNS REDUCE COVID DEATHS?



6.1.1 Hauptmechanismen bei der Abwehr von Impfstoff - Nebenwirkungen und Spike Protein

- I. Physikalischer Aspekt
- II. biochemischer Aspekt
- III. Seelisch – psychisch
mentaler Aspekt



6.1.2 Physikalischer Aspekt

ein Mechanismus ist dass die **Millimeterwellen Frequenzen von 5G** nach Möglichkeit durch bestimmte physikalische Systeme so umgeformt oder transformiert bzw gedämpft werden können, dass sie **im Körper keine Resonanz mehr erfahren**.

Insbesondere von aussen eingebrachte Nanosysteme (Wasser, Lebensmittel, Chemtrials, 5G und Elektrokoporation) Systeme reagieren durch Magnetische, Elektrische und Thermografische Induktion von innen und aussen, dies sind v.a. **Impfadjvantien** in Form von meist **Nanobots** wie das

- **DARPA-GEL** in Verbindung mit Lithium
- **DIE Kationischen Peptide (Teil des PEGs, polyethylenglykols)**
- V.a.: das **GRAFENOXID** das nach Aussagen des spanischen Portals „Quinta columna“ mehr als 94% der Adjuvantien im Impfstoff ausmachen soll, sowohl ueber UVA (340nm) als auch über 5 G angesteuert werden kann

Nanobots , Lithium und

6.1.3 DARPA- Gel:

Hergestellt über ein von DARPA-Gates, finanziertes Silicon Valley-Unternehmen, scheint für den kommenden **COVID-Impfstoff** vorgesehen zu sein. Das US-Verteidigungsministerium und die Bill and Melinda Gates Foundation haben in Zusammenarbeit mit **Profusa**, einem Unternehmen aus dem Silicon Valley, eine **Nanotechnologie aus Hydrogel** (ähnlich einer weichen Kontaktlinse) entwickelt, das mithilfe der Haut injiziert und unter die Haut implantiert werden kann, ein Impfstoff als Abgabesystem. Dieser Sensor (oder genauer gesagt ein Biosensor), der kleiner als ein Reiskorn ist, würde effektiv mit dem Körper verschmelzen. Als ein **Stück Nanotechnologie würde es sich mit dem drahtlosen Netzwerk (dem 5G gesteuerten IoT oder Internet der Dinge) verbinden und sowohl Informationen über Sie und Ihren Körper an Behörden senden als auch Informationen empfangen**. Dieser eine Artikel von Defense One wurde bereits im März 2020 berichtet, dass der Biosensor auf dem richtigen Weg sei, um Anfang 2021 die FDA-Zulassung zu erhalten. Dies ist ungefähr zu der Zeit, als uns mitgeteilt wurde, dass wir mit der Einführung des COVID-Impfstoffs rechnen sollen .

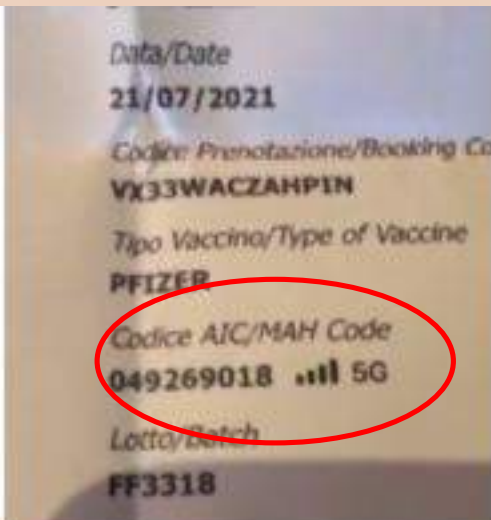
**COVID-19
sensor**



<https://www.businessinsider.com/military-sensor-skin-covid-darpa-19-2021-4>

Diese kleinen und weichen Sensoren wurden entwickelt, um die Körperchemie über Monate bis Jahre hinweg zu verfolgen, wenn sie unter die Haut eingeführt werden. Insider/Profusa

- Der winzige Sensor, der von DARPA unterstützt wurde, kann unter die Haut injiziert werden.
- Es überwacht ständig, ob der Körper krank ist und kann das Signal an einen Sensor weitergeben.
- Es erkennt COVID-19-Infektionen ein bis zwei Tage vor dem Auftreten von Symptomen, so die Hersteller.



Magnetfelder bauen mit Hydrogel und supraleitenden Grafen-Nanopartikel eine von außen steuerbare Hardware via im Nervenzellbereich auf !!

3te Impfung
Bekommst dann ein 5G Netzwerk Code...!!! 😊



DNA-Hydrogel-unterstützte Biosensorik

Sima Khajouei¹, Hadi Raban², Ali Ebrahimi¹

Zugehörigkeiten: + erweitern

PMID: 31739981 PMC-ID: PMC7094116 DOI: 10.1016/j.csb.2019.102660

1. LUCIFERASE & HYDROGEL!!

Bei **Luciferase** (<https://t.me/GrapheneAgenda/278>) handelt es sich um ein "**Nahinfrarot-Biolumineszenz-Enzym**", das die **Quantum-Dot-Impfung** (<https://t.me/GrapheneAgenda/279>) über eine spezielle App für Mobilgeräte das z.B. den **digitalen Lichtcode, Abdruck oder Muster** lesbar macht. Es befindet sich unter der Haut und man kann es nicht sehen.

BARCODE

Bill Gates will die Kontrolle. Sein neues implantierbares Impfstoff-Identifikationssystem, das Human Implantable Quantum Dot Microneedle Vaccination Delivery System (<https://t.me/GrapheneAgenda/285>), ist ein Beweis dafür. **Quantum Dots werden auch aus Graphen hergestellt** (<https://t.me/GrapheneAgenda/178>) (<https://t.me/GrapheneAgenda/178>), genauso wie das von DARPA (<https://healthfeedback.org/claimreview/darpa-developed-a-hydrogel-sensor-which-monitors-blood-for-infections-at-early-stages-not-a-microchip-for-covid-19-identification-or-location-tracker/>) erfundene **Hydrogel** (<https://t.me/GrapheneAgenda/363>) von Profusa (<https://profusa.com/injectable-body-sensors-take-personal-chemistry-to-a-cell-phone-closer-to-reality/>).

2. Darpa Hydrogel

DNA-Hydrogele als besondere Mitglieder der **DNA-Nanotechnologie** haben aufgrund ihrer ausreichenden Stabilität, Biokompatibilität, biologischen Abbaubarkeit und einstellbaren Multifunktionalität entscheidende Voraussetzungen für die Entwicklung innovativer Gele geschaffen.

Dank dieser Eigenschaften sind DNA-Hydrogele für verschiedene Anwendungen in den Bereichen Arzneimittelabgabe, Gewebezüchtung, Sensoren und Krebstherapie geeignet.

In jüngster Zeit haben DNA-basierte Materialien bei der Erforschung intelligenter Hydrogele, deren Eigenschaften sich als **Reaktion auf chemische oder physikalische Stimuli verändern können**, große Beachtung gefunden.

Mit anderen Worten, diese Gele können bei Anwendung verschiedener Auslöser **schaltbare Gel-zu-Sol- oder Sol-zu-Gel-Übergänge** durchlaufen. Darüber hinaus können verschiedene funktionelle Motive wie i-Motiv-Strukturen, Antisense-DNAs, DNA-Enzyme und Aptamere in das Polymernetzwerk eingefügt werden, um dem Komplex eine **molekulare Erkennungsfähigkeit** zu verleihen.

Eines der weiteren großen Probleme stellen die **Nanobots**, die ebenfalls den Impfstoffen verbunden sind, dar. Diese haben eine Größe von ca. **10 exp-9** also zu klein sie einfach entfernen zu können, setzen sich nach japanischen Studien in jedes Organ hinein, und werden aktiviert indem sie **Eisen** aus roten Blutkörperchen und anderen Zellen entfernen.

- Angeschaltet werden können Sie von außen über **Quantencomputer, Satelliten Handys WLAN** usw. Über **Silizium und Lithium** können Sie quasi in den **Synapsenspalt** d. h. via Bluetooth u. WLAN usw. in unsere Nerven eingebaut gesteuert werden

Hier betroffen sind auch das in den

- **Teststäbchen,**
- **der FFP2 Maske**
- **der Impfung**

verabreichte **DARPA Gel**, dass der Lage ist **90° kristalline Strukturen zu bilden**, sobald **Nasensekret Schleim Dämpfe Blut o. ä.** Ihnen in Verbindung kommt. Die

Teststäbchen der PCR Tests beispielsweise, sind so gearbeitet, dass sie an den Enden **Partikel haben die die Schleimhaut der Nase auf ritzen und dann mittels ihrer 90° Strukturen Elektromagnetische Felder entwickeln die zum stärksten elektromagnetischen Feld des Körpers Nämlich der Zirbeldrüse wandern und diese dort zerstören!**

Analyse von Teststäbchen aus Oberflächentests in der Slowakischen Republik - Bestätigung des Genozids

<https://docplayer.org/211030666-Analyse-von-teststaebchen-aus-oberflaechentests-in-der-slowakischen-republik-bestaetigung-des-genozids.html>



Abbildung 1 und 2 - Nylon-Hohlfasern am gebrochenen Ende der Teststüpfen.

Abbildung 3: Zum Vergleich ein Bild einer klassischen Watte unter dem Mikroskop.

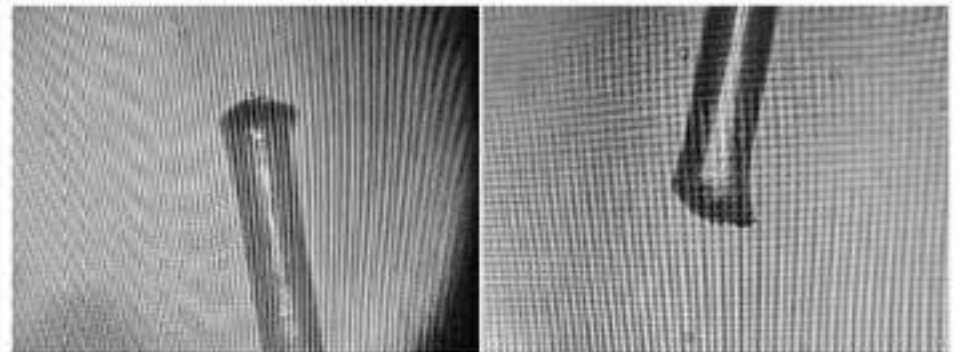


Abbildung 4 und 5 Gebrochene Enden - ihre Aufgabe ist es, das Epithel (Oberflächenschicht) auf der Schleimhaut zu stören, wodurch auch ihr Bruch und anschließendes Auslaugen des Fasergehalts - Darpa Hydrogel und Lithium. Die Gewinde sind patentiert (von Darpa).

Abbildung 16 in 15. Med. Kontakt des Darpa Hydrogels mit organischer Flüssigkeit wie Joghurt, Speiseöl, Ketchup, saurem Milcheis, weinigen Mandeln, milchige, Gulaschsuppe, in kaltem, kochendem Wasser, in kaltem Wasser, wachsende Kristalle bilden.

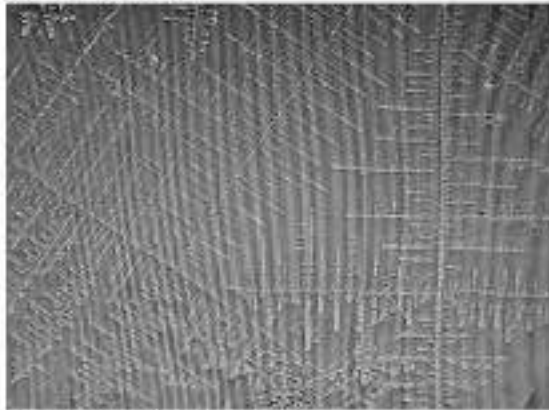


Abbildung 17: Ergebnis der Kristallisation nach 24 Stunden.



Abbildung 17 3D. Darpa Hydrogel Kristalle. Dazu kam der menschliche Speichel mit Antikörpern auf der linken und dann auf der rechten Seite Ivermectin, siehe Abbildungen 18 und 19.



Abbildung 14. Darpa Hydrogel Kristalle wuchsen unter dem Mikroskop in Richtung des Magnetfeldes. Im menschlichen Nasopharynx nach Tapfern wuchsen in Richtung der Zirbeldrüse. Die Zirbeldrüse erzeugt ein lokal stärkeres Magnetfeld als die äußere magnetische Feld der Erde.

Darpa Hydrogel (Referenz) ist eine künstliche Substanz, die einen Konverter zwischen elektromagnetischem Signal und lebender Zelle, Gewebe und Organ erzeugt. Konvertiert ein elektromagnetisches Signal von einem Sender in ein Signal, das eine lebende Zelle versteht und responds. (siehe Foto von Käfer - Darpa Hydrogel wurde in diese Nervenstrukturen injiziert und war über ein Radio steuerbar).



Darpa
[darpa.mil](https://www.darpa.mil)

Die Defense Advanced Research Projects Agency ist eine Forschungs- und Entwicklungsagentur des US-Verteidigungsministeriums, die für die Entwicklung neuer Technologien für den Einsatz durch das Militär zuständig ist. Ursprünglich bekannt als Advanced Research Projects Agency, wurde die Agentur am 7. Februar 1958 von Präsident Dwight D. Eisenhower, Vereinigte Staaten von Amerika (USA)

Links

1) <https://www.copan.com>

2) <https://www.darpa.mil/work-with-us/covid-19> LINKS

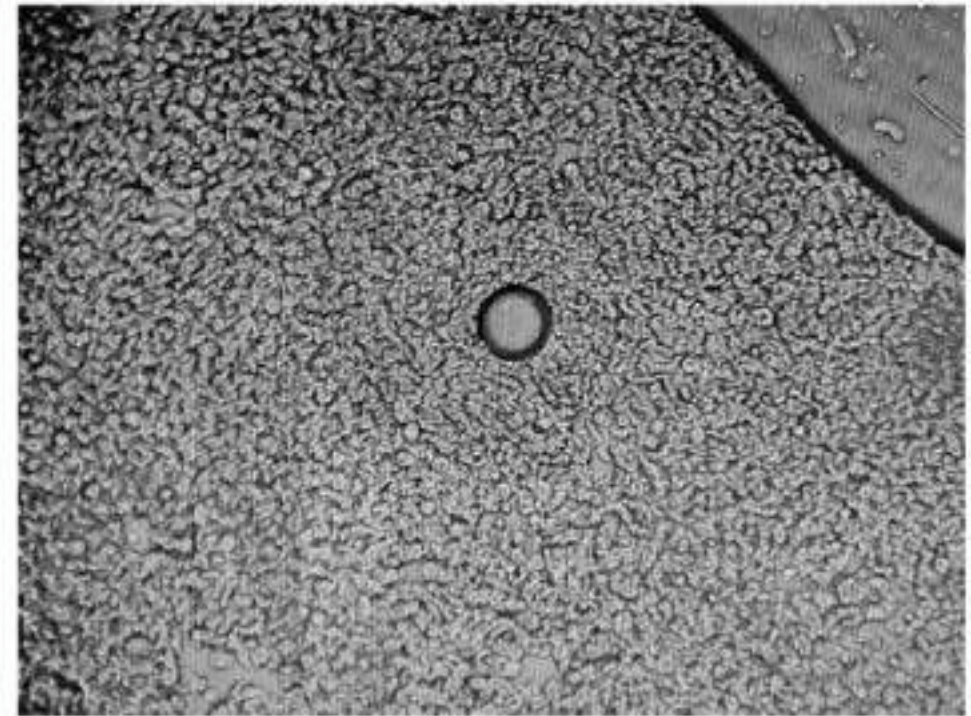
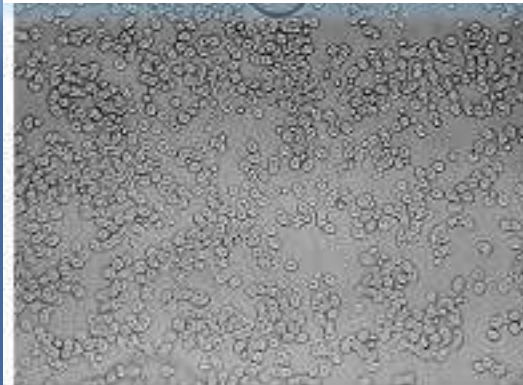


Abbildung 21. Die Zugabe von Darpa Hydrogel aus der Teststange führte zu einem totalen Massaker an roten Blutkörperchen.



normale rote
Blutkörperchen



DARPA-Gel in Impfstoffen,
Masken und PCR-Stäbchen
für unser System
pathologische 90 Grad
Winkel!



Pathologische 90 Grad Winkel mit
der Erzeugung von Entzündungen
und Tumoren



Blutkristallisat

einer Frau mit Brustkrebs



Der Raumharmonisierer, der
starke 30/60 Grad – Winkel im
Umreis vn 12 m aufbaut

Zellbiologie äußert sich ausführlich zum BioNTech-Impfstoff



Dies ist eine grobe Zusammenfassung der Ausführung von Dr. Vanessa Schmidt-Krüger.

6.1.4 Die geimpften Lipid.
Nanopartikel enthalten

Kationische Peptide

- erheblichen **Leberzellschädigung**, das sie **vacuolisieren** also in die **Apoptose** gehen. Normalerweise versucht die Leber diese Toxine zu entgiften jedoch ist die Masse das kationische Lipid es einfach zu hoch, zunächst versucht die kaum zu entgiften Gifte in einen Bereich der Zelle zu verschieben um die Zelle zu retten, jedoch die Masse der Toxine ist zu hoch. Diese vacuolisierten Zellen haben eigentlich keine Entgiftungsfunktion mehr **weshalb Leberzellen selbst Selbstmord** begehen. Transaminasenerhöhung als Zeichen der Leberzerstörung! Cave Tod bei Lebervorschädigung
- Reduktion der **Erythrozyten, des HB** und **Hämatokrit**, der **Reticulozyten** durch ROS
- Gerade **kationische Peptide** sind seit vielen Jahren als hochtoxisch bekannt und als DNA-zerstörend! **Interferon I** ausgeschüttet **Cytokine!** **Autoimmunität** zu aktivieren gegen körpereigene Bestandteile, da das Immunsystem im Sinne einer Fehlantwort, da zu viel Gewebe abgestorben ist reagiert.
- Wirken toxisch, indem sie durch ihre **positive Ladung** **Brüche in der DNA** verursachen,
- sind verantwortlich für **die allergischen Reaktionen bis zum anaphylaktischen Schock, der tödlich enden kann**
- können die **Blut-Hirnschranke überwinden** u. zerstören die Astrogliazellen des **zentralen Nervensystems**, diese sind u.a. am Austausch von Nährstoffen und Stoffwechselprodukten zwischen den Nervenzellen und dem Blut beteiligt, Folge: kann z.B. die **Schädigung des Fazialisnerves sein mit Gesichtslähmung bis zu 6 Monaten, Blindheit, MS, Schlaganfälle** ,. **Entzündungen des Nervus Ischiadicus**, perineural etc.
- Sklerosierung des Gewebes im gesamten Körper, nicht nur an der Einstichstelle mit **fibrotischem Umbau des Bindegewebes** mit nachfolgender **Nekrotisierung** und **Funktionsverlust** des Gewebes statt, va also der Muskelfasern (Myofaserdegeneration).
- zerstört die Zellmembranen und produziert extreme **Mengen an Sauerstoffradikalen**, zudem erzeugt es eine verheerende Immunantwort D. h. die Zelle ist so stark geschädigt, dass sie in die **Apoptose** geht oder sich eine **Tumorzelle** umwandelt!
- **Bekannt ist das veränderte Zellen von Geimpften ausgeschieden werden können**, es gibt jedoch keine genauen Untersuchungen es gibt auch keine Umweltverträglichkeitsuntersuchungen.
- **veränderten Blutbildern** zum Beispiel ein Anstieg von **71 % des Alpha-2-Macroglobulins** durch die entsprechende Immunantwort mit **Entzündungsaktivität**, ein Anstieg des **Alpha -1-acetglycoprotein**, das typischerweise auftritt bei **besonders starken Entzündungen im Gewebe**
- **Anstieg von Fibrinogen** als Marke für die Entzündung der Blutgefäße und eine **Veränderung der Blutgerinnung** - Da bei diesen Prozessen die **Blutgefäßwand erodiert wird** Fibrinogen zur Kompensation zur Abdichtung der Blutgefäße gebildet. **Fibrinogen geht aber auch mit einer verstärkten Blutgerinnungsneigung Thrombosen Embolien** usw. einher **Anstieg der D-Dimere . teilweise Sinusvenenthrombosen**.

Dr. Vanessa Schmidt-Krüger erläutert die Toxizität der **Lipid Nanopartikel** und die Tatsache, dass anders als es das Bundesministerium für Gesundheit darstellt eine **Änderung der gesamten DNA des menschlichen Körpers eher wahrscheinlich als unwahr-scheinlich ist.**

- Gemäß dem **beigefügten Datenblatt des Herstellers der Lipid-Nanopartikel für Moderna** sind deren Stoffe **nur für Forschungszwecke** geeignet und **dürfen nicht beim Menschen oder in der Tiermedizin eingesetzt werden.**

Er soll gemäß den Warnhinweisen des Herstellers folgende Eigenschaften aufweisen (siehe Anhang):

- Steht im Verdacht, **Krebs** zu verursachen.
- Steht im Verdacht, die **Fruchtbarkeit oder das ungeborene Kind zu schädigen.**
- Verursacht bei längerer oder wiederholter Exposition **Schäden am zentralen Nervensystem, den Nieren, der Leber und dem Atmungssystem.**
- **Sehr giftig für Wasserorganismen** mit lang anhaltender Wirkung.
- Gesundheitsschädlich beim **Verschlucken.**
- Verursacht **Hautreizungen.**
- Verursacht schwere **Augenreizung.**
- Schädlich für **Wasserorganismen.**

I. Nach der Mitteilung des **Herstellers Biontech**, soll die Lipidhülle mit **der die RNA in jede Körperzelle eindringen soll** aus folgendem Fetten bestehen:

((4-hydroxybutyl)azanediyl)bis(hexan-6,1-diyl)bis(2-hexyldecanoat), 2-[(Polyethylenglykol)-2000]-N,N-ditetradecylacetamide, 1,2-Distearoyl-sn-glycero-3-Phosphocholin, und Cholesterin)

Die von der **EMA** (Juni 2021) bis heute bereits aufgenommenen über **191.000 Körper-verletzungsfälle und über 5.000 Tote europaweit**, deren Dunkelziffer noch viel höher sein dürfte, da die meisten Todesfälle nicht als Impfschaden erkannt werden zeichnen ein klares Bild, dass die **Lipid-Nanopartikel, die Biontech verwendet nicht minder gefährlich sind**, da ihre Wirkweise analog zum Stoff SM 102 wirkt.



II. Ein zweites Problem, welches die Chemiker beschäftigt, sind die in dem Impfstoff verwendeten, **„nicht für die Humanmedizin zugelassene Komponenten“**. Dies betreffe „die für die Bildung der Lipid-Nanopartikel eingesetzten Komponenten **ALC-0159 und ALC 0315**“, welche **„nicht direkt zur Anwendung am oder im menschlichen Körper zugelassen“** seien. Im Sicherheitsdatenblatt zu ALC-0315 sei beschrieben, „dass ALC-0315, sowohl Augen als auch Haut oder Schleimhaut“ reize.

Tuesday, July 13, 2021

Graphene nanoparticles targeting siRNA delivery to the brain

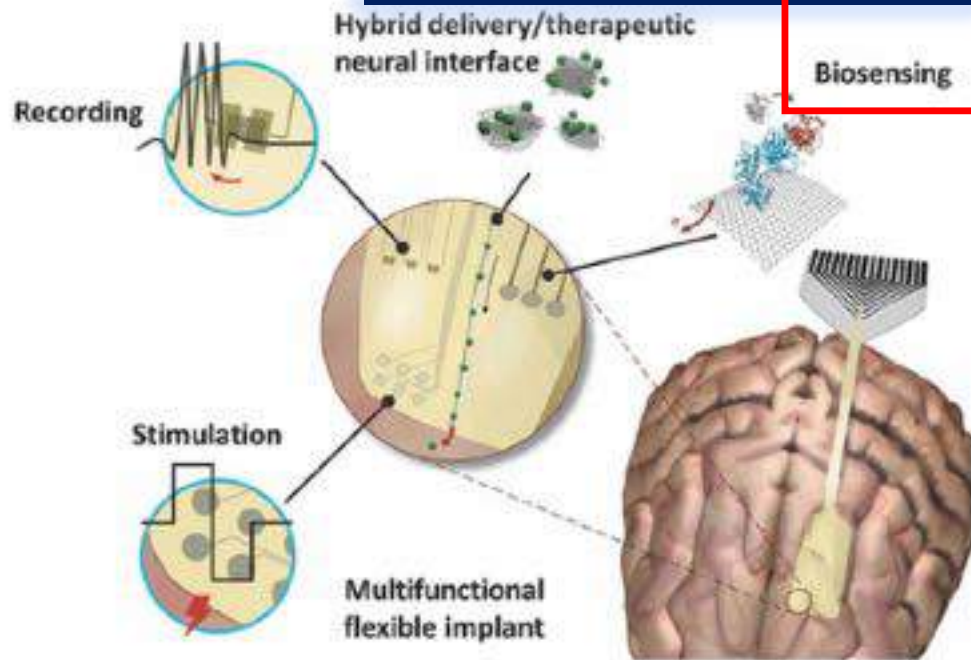
Reference

Jon, J., Kwon, E.J., Kang, J., Skalski, M., Anglin, E.J., Mann, A.P., ... and Sailor, M.J. (2016). Porous silicon - graphene oxide core - shell nanoparticles for targeted delivery of siRNA to the injured brain. *Nanoscale Horizons*, 1 (5), pp. 407-414. <https://doi.org/10.1039/C6NH00082G>

Wechselwirkung von Graphenoxid mit Gehirnzellen

@GrapheneAgenda • October 25, 2021

Einbringung KATIONISCHER PEPTIDE U GRAFEN IN IMPFSTOFF (PEGylierung)



Fakten:

1. Die Autoren kommen zu dem Schluss, dass die in ihrem Gehirnzellenexperiment verwendeten größeren **Graphenoxidflocken** eindeutig zytotoxisch und schädlich waren.

2. Eine weitere wichtige Aussage ist, dass bis heute (2016) die Reaktion von Gliazellen auf Graphenoxid "GO" noch nicht untersucht wurde, was bedeutet, dass es sich um einen sehr neuen, experimentellen Forschungszweig handelt.

3. Die an **Gehirnzellkulturen** durchgeführten Experimente zeigten offensichtliche Probleme mit dem **Zelltod**, was Bedenken hinsichtlich der Sicherheit und **Nanotoxizität** des Materials aufkommen ließ.

In der Tat wird Folgendes berichtet: "Eine **6-tägige Exposition der Kulturen** gegenüber gleichen Mengen an **dispergiertem GO** führte zu einem **eindeutigen Verlust von Hippocampus-Zellen, sowohl von Glia als auch von Neuronen**, was eine weitere Bewertung der Wechselwirkungen zwischen Membran und Schale erschwerte." In der Tat haben andere Forscher (Mendonça, MCP; Soares, ES; de Jesus, MB; Ceragioli, HJ; Batista, A.G.; Nyúl-Tóth, Á. Da Cruz-Hofling, MA 2016) kommen zu demselben Schluss, auch wenn das **GO mit einer Schutzschicht aus Polyethylenglykol, auch bekannt als PEG (Polyethylenglykol überzogen ist**, und verweisen auf Folgendes:

"**Die PEGylierung von Nanomaterialien und Therapeutika** gilt derzeit als einer der vielversprechendsten Ansätze, um die Toxizität zu verringern und günstige pharmakokinetische Ergebnisse zu erzielen. Allerdings wurden bei **verschiedenen Zelltypen, die mit PEGylierten Nanopartikeln behandelt wurden, schädliche Wirkungen und Todesfälle** beobachtet mit PEGylierten Nanopartikeln, hauptsächlich durch die Induktion von **oxidativem Stress**, beobachtet. was die Ergebnisse des vorliegenden Versuchsplans bestätigte".

4. Die Forscher stellten fest, dass die **Fähigkeit, Gehirnzellen zu schädigen!!!**, im Bereich der Neuropharmakologie genutzt werden könnte, wenn es darum geht, die **synoptische Kapazität des Gehirns zu reduzieren oder zu modulieren**. Dies ist auf die Eigenschaft von GO zurückzuführen, **Glutamat zu regulieren**, das ein Neurotransmitter, der für die Regulierung der synoptischen Aktivität des Gehirns notwendig ist.

Da die **kationischen Lipide** sofort wirken beginnen auch die Nebenwirkungen sofort nach der Impfung. Der geimpfte Mensch kann eigentlich nur dann überleben, wenn er es schafft die kationischen Lipide zu beseitigen, was bei Vorerkrankungen eigentlich kaum möglich ist, und dies müsste eigentlich 4-5 Monate dauern, bei der ersten Impfung!

Lösung:

Das gewaltigste Problem der kationischen Lipide stellt die **wahnsinnige Bildung von Sauerstoff u. Stickstoffradikalen** da. Daher benötigt man zur Gegenwirkung Stoffe, die einen hohen **ORAC Wert** haben, (**ORAC** steht für "**Oxygen Radical Absorbance Capacity**", also die Fähigkeit, Sauerstoffradikale abzufangen.) Der **Wert** gibt an, wie viele freie Radikale pro Gramm Saft oder Frucht neutralisiert werden können, also einen Wert der die Anzahl der minusgeladenen Teilchen des Wirkstoffes angibt um radikale also Teilchen bei denen diese Minusladungen fehlen sogenannte Radikale, ausgleichen zu können. Eine der stärksten Produkte diesbezüglich sind folgende Stoffe:

- **Apigenin** (ORAC 30.000) 2-0-1 und **Luteolin** sowie **Quercetin**
- **Astaxantin** (6500 mal stärker als Vitamin C) 2-0- 0
- **Tiamat TXT** Technologie Produkt 3, **Reis bzw. Erbsenprotein** mit Zusatzstoffen, ORAC-Wert 90.000) ein Sachtet morgens und abends
- **Tiamat TXT** Technologie Produkt 4, **Lupinenproteinen mit Zusätzen**, (ORAC-Wert 100.000) , ein Sachtet morgens und abends
- „**Alpha -H**“ stimuliert den Citratzyclus der Mitochondrien
- **Melatonin** ist einzigartig in der Lage die durch E-smog 1000 fach aktivierten Ca kanal - Vaporinkanäle zu blocken u damit den durch Inflammasome bedingten **Cytokinstorm** zusammen mit **Arginin** zu unterdrücken sowie die innere Mitochondrienmembran vor Zerriss zu schützen
- **NAC und Gluthathion und Methylenblau** verhindern das Andocken des Spike -Proteins an den ACE. 2 - Rezeptor
- **Terpene** und deren Mischungen, höchste je gemessene ORAC-Werte von mehr als **10 Millionen**, ca. zwei Schnapsgläschen täglich



Quercetin-Glutathion.

Quercetin mit Glutathion zeigte ebenfalls Synergie. Auch hier stieg die beobachtete Synergie mit dem Glutathion-Gehalt, nahm bis zum Verhältnis 1:16 zu und nahm dann ab.

Das allgemeine Ausmaß der Synergie war weniger beträchtlich als im Fall der **Taxifolin-Glutathion** Kombinationen mit einem Maximalwert, der mit **51 %** etwa halb so groß war (siehe Tabelle 3, Abbildung S5b).

Rutin-Glutathion. Die Kombinationen von Rutin mit Glutathion zeigten eine signifikante Synergie die im Allgemeinen **nicht vom Verhältnis der Komponenten** abhing. Das Ausmaß des Mischungseffekts war bei allen untersuchten Verhältnissen war fast gleich und betrug im Durchschnitt **68 ±11%**

Vitair S.O.E



Die Forschung der letzten Jahrzehnte konnte zeigen, dass der Körper Sauerstoff an Zellmembranen, in Zellen und Zellorganellen in den **Singulett-Zustand** anregt und somit erst den Transport durch Membranen und das Bilden von Verbindungen mit anderen chemischen Elementen ermöglicht.

6.1.5 GRAFENOXID

[Qu et al., ACS Nano, 2013 Jul 23;7(7):5732-45]



Graphene oxide suggested to trigger programmed necrosis in macrophages through engagement of Toll-like receptors

Lösung und Therapie

Interaktionen von Graphenoxid mit **angeborenen Immunzellen**;
Biodegradation von **Neutrophilen und Inflammasom-Aktivierung** (produzieren Zytokinstorm und **ARDS**, lebensgefährliches Atemnotsyndrom)

Prof. Dr. Bengt Fadeel, Forschungsgruppenleiter, Nanosafety & Nanomedicine Laboratory, Division of Molecular Toxicology, Institute of Environmental Medicine, Karolinska Institutet, Stockholm, (S)

Hochdosierte ROS und RNOS- Fänger:

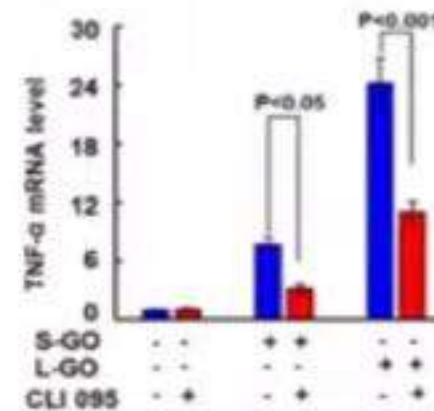
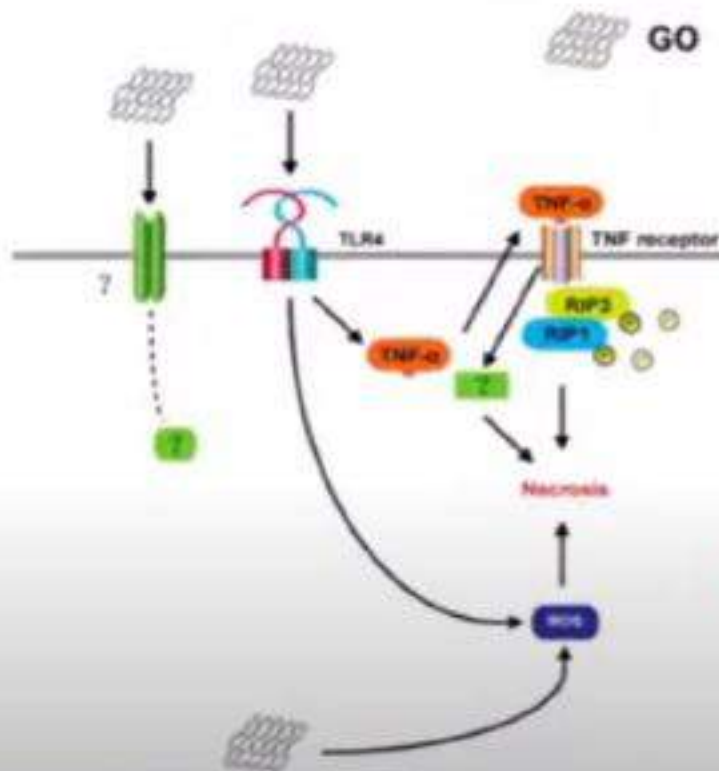
- Alpha H
- Terpenmischungen
- **Tiamat produkt II.III u. IV** mit Apigenin, Lupinen- und Erbsenprotein, biologischem Acerola und Arginin, Astaxanthin, Apigenin
- N- Acetyl- Cystein (NAC) mit **Gluthathion** und Zink
- **Melatonin** und Vit C

Bioflavonoide wie :

- **Apigenin, Quercetin, Cranberry, Rutin**
Vit A mit **DHA**

24. Immunogenität Toxizität und Sicherheit von Nanopartikeln

Graphene oxide suggested to trigger programmed necrosis in macrophages through engagement of Toll-like receptors



- The lateral dimensions of GO are important for pro-inflammatory responses [Ma et al., ACS Nano. 2015 Oct 27;9(10):10498-515].

www.orwell.city



RICARDO DELGADO BIOESTADÍSTICO

Jose L. Sevillano

But when we check Google cache, which is this tool that the elite also use, we find out that the publication was made last night.

UMNA TV. PAYPAL: www.paypal.com/paypalme/laquintacolumna

La Quinta Columna kommentiert das mysteriöse Patent, das versucht, die Verwendung von Graphenoxid als Trägerstoff in Impfstoffen zu normalisieren

Expedido por	Fecha	25/07/21
CS. FÍSICA	Firma	
Elaborado por	Fecha	
Pablo Campa Madrid	Firma	
Director del Departamento de Física	Fecha	
Unidad de Ingeniería de Materiales	Firma	
Escuela Superior de Ingeniería	Firma	
Universidad de Almería	Firma	

DETECCIÓN DE OXIDO DE GRAFENO EN SUSPENSIÓN ACUOSA (COMIRNATY™ (RD1))

ESTUDIO OBSERVACIONAL EN MICROSCOPIA ÓPTICA Y ELECTRÓNICA

Informe provisional (I)

28 de Junio de 2021



Prof. Dr. Pablo Campa Madrid

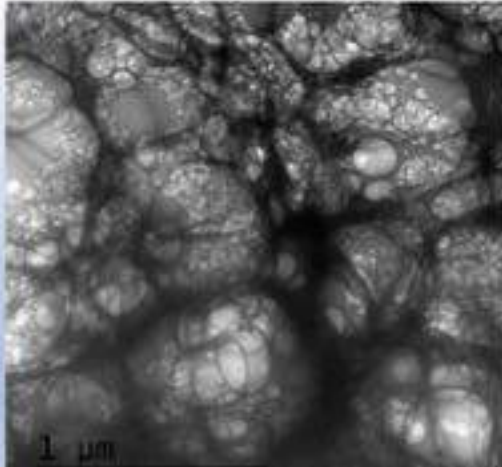
Doctor en Ciencias Químicas y Licenciado en Ciencias Biológicas

ESCUELA SUPERIOR DE INGENIERIA
UNIVERSIDAD DE ALMERÍA, ESPAÑA

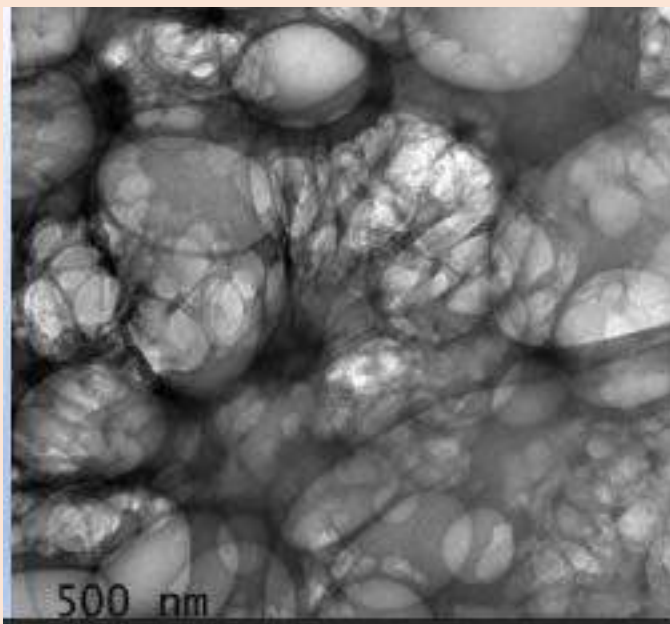
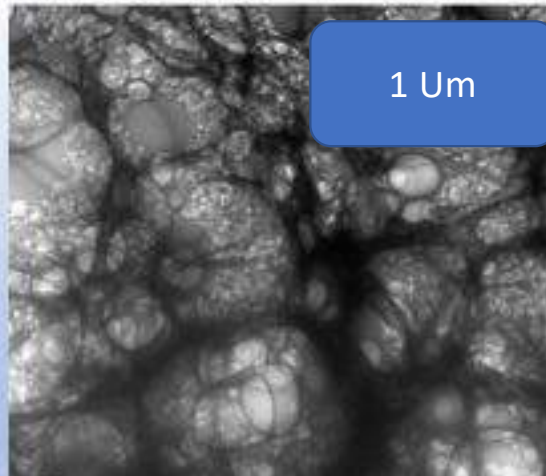
TRANSMISSION ELECTRONIC
MICROSCOPY
(TEM)

Die Elektronenmikroskopie (TEM) wird üblicherweise zur Abbildung von Graphen-Nanomaterialien verwendet. Sie ist zu einem ziemlich standardisierten und einfach zu bedienenden Instrument geworden, das in der Lage ist, einlagige Graphenblätter abzubilden.

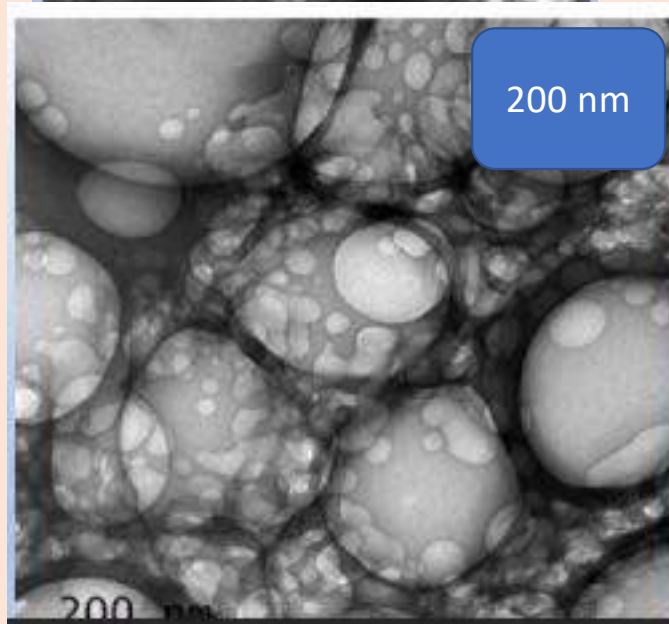
MUESTRA
RD1



1 Um



200 nm



Die **links** in der **Impfstoffprobe** gefundenen Grafenschichten sind absolut identisch mit den in der Literatur beschriebenen Grafenmolkülen **rechts**, damit ist zumindest elektronenmikroskopisch der Beweis erbracht, dass Impfstoffe, z.B. von Biontech/Pfizer **mit Grafenoxid verseucht sind**

Graphen ist ein Nanomaterial, das aus einer zweidimensionalen, nur **ein Atom dicken Kohlenstoffschicht** besteht und 2004 von Andre Geim und seinen Kollegen an der Universität Manchester und dem Institut für Mikroelektronik in Tschernogolowka, Russland, entwickelt wurde.

Graphen wird aus Graphit hergestellt, der Kohlenstoffform, die in Bleistiften verwendet wird, und weist einige ungewöhnliche physikalische Eigenschaften auf, darunter die Tatsache, dass sich die Elektronen in dem Material wie relativistische Teilchen verhalten, die im Ruhezustand masselos sind und sich mit etwa 10⁶m/s fortbewegen. Das ist zwar etwa 300 Mal langsamer als die Lichtgeschwindigkeit im Vakuum, aber **immer noch viel schneller als die Geschwindigkeit der Elektronen in einem normalen Leiter**.

Dieses Absorptionsband ist genau in der dritten Bandbreite der neuen 5G-Technologie implementiert und dass begann gleichzeitig mit der "Pandemie". Dieses Absorptionsband ist genau in der **dritten Bandbreite der neuen 5G-Technologie implementiert** und dass begann gleichzeitig mit der "Pandemie". Hervorzuheben ist auch, dass der weltweit erste Versuch mit dieser Technologie im November 2.019 in der Stadt Wuhan (China) stattfand, was räumlich und zeitlich mit der Entwicklung der Pandemie zusammenfiel.

Zur Herstellung von
DARPA- HYDROGEL

Bezüglich des Inhalts der Fläschchen, die als "Impfstoffe" eingepflegt werden, stellen wir fest, dass: "Es gibt kein biologisches Material in ihnen, das dem Körper hilft, eine Art von Immunität zu entwickeln",

sondern dass die meisten von ihnen eine beträchtliche Dosis dieses **potenten Giftstoffs Graphenoxid** enthalten, der auch durch **externe elektromagnetische Mikrowellenfelder von Handy-Bändern stimuliert werden kann** und seine Zytotoxizität beträchtlich ausweitet um das **ROS/Glutathion-Gleichgewicht** zu zerstören und die bekannte **COVID19 -Krankheit zu** erzeugen

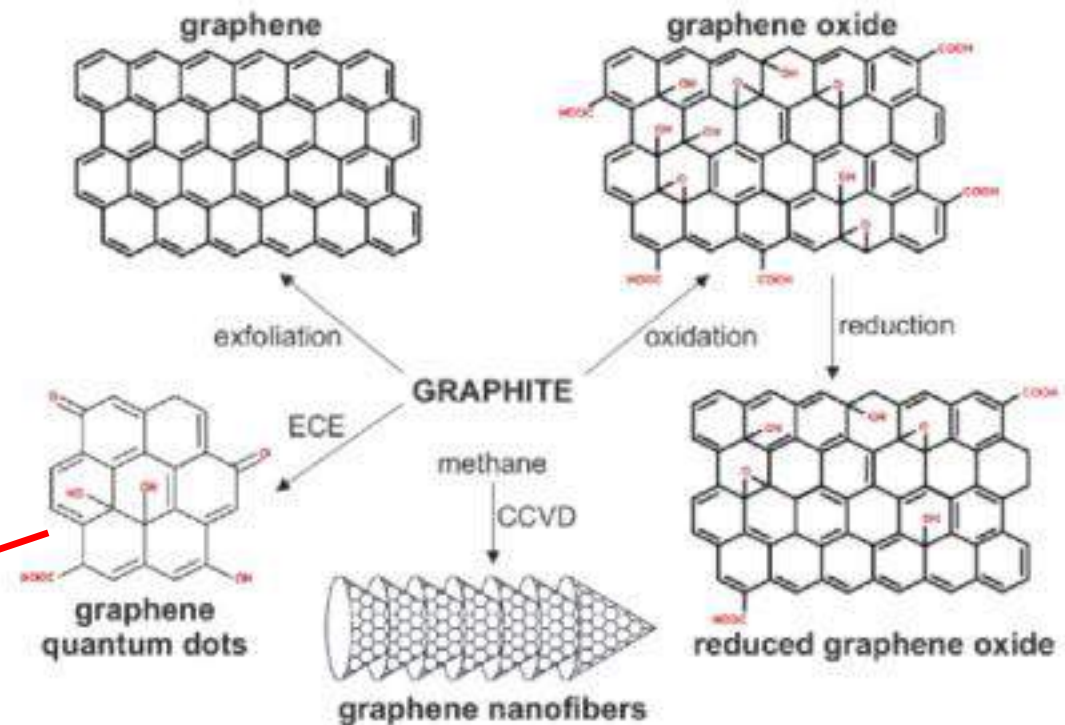
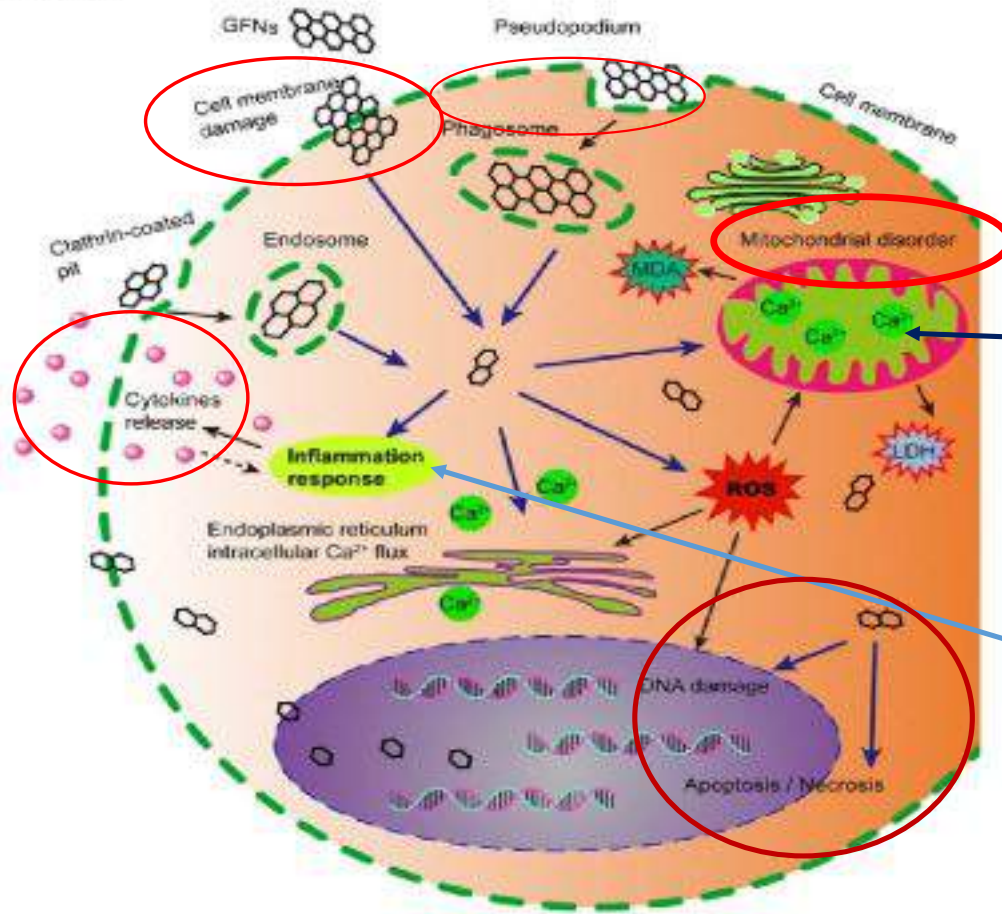


Abb. 3



Rezension | Unbegrenzter Zugang | Veröffentlicht: 31. Oktober 2016

Toxizität von Nanopartikeln der Graphenfamilie: ein allgemeiner Überblick über die Ursprünge und Mechanismen

Lirahire Qi, Bin Song, Huimin Liang, Jia Liu, Xiaoli Deng, Bin Deng, Ting Song, Shengping Sheng

(Partikel- und Umwelttoxikologie 13, Artikelnummer: 57 (2016) | Diesen Artikel zitieren

133k Zugriffe | 261 Zitate | 1365 Altmetrisch | Messwerte

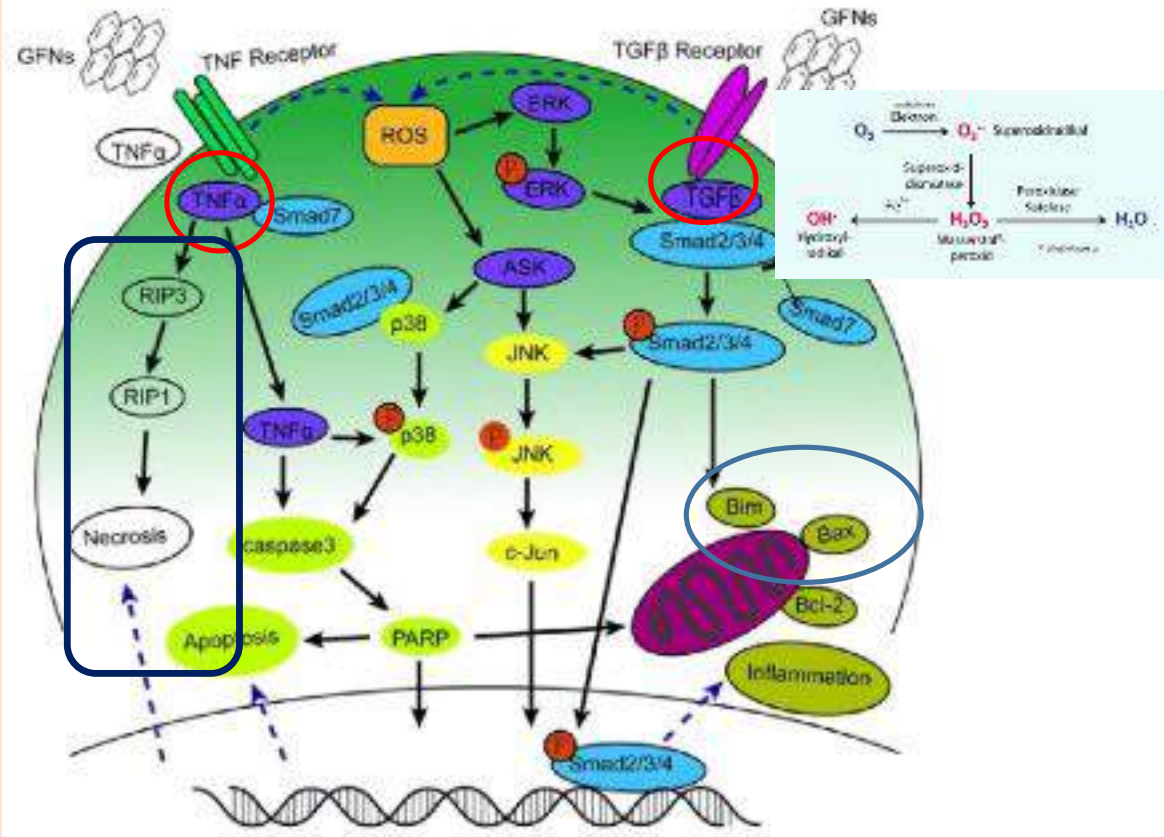
Produktion von **Vaporinen**, durch Ca-Flutung, durch Elektromog verstärkt, dann Produktion von **Peroxyinitrit** mit katastrophalem resultierenden **neurologischen Erkrankungen** und dann tödlichen **Inflammasomen**

Schematische Darstellung zeigte die möglichen Mechanismen der Zytotoxizität von GFNs. GFNs gelangen auf unterschiedliche Weise in die Zellen, die die ROS-Erzeugung, den LDH- und MDA-Anstieg und die Ca²⁺-Freisetzung induzieren. In der Folge verursachen GFNs Arten von Zellschädigungen, zum Beispiel Zellmembranschäden, Entzündungen, DNA Schäden, mitochondriale Störungen, Apoptose oder Nekrose

ROS-Produktion führt zu oxidativem Stress

- Oxidativer Stress entsteht, wenn steigende ROS-Spiegel die Aktivität antioxidativer Enzyme, einschließlich **Katalase**, **SOD** oder **Glutathionperoxidase** (GSH-PX) überwältigen [174].
- ROS wirken als Second Messenger in vielen intrazellulären Signalkaskaden und führen zu zellulären makromolekularen Schäden wie **Membranlipidabbau**, **DNA-Fragmentierung**, **Proteindenaturierung** und **mitochondrialer Dysfunktion**, die den Zellstoffwechsel und die Signalübertragung stark beeinflussen [175 – 177].
- Die Interaktionen von **GO mit Zellen können zu einer übermäßigen ROS-Erzeugung führen**, die den ersten Schritt in den Mechanismen der **Karzinogenese, Alterung und Mutagenese darstellt** [83 , 122].
- Oxidativer Stress spielte eine signifikante Rolle bei der **GO-induzierten akuten Lungenschädigung** [30], Und die Entzündungsreaktionen durch oxidativen Stress oft entstanden bei der Einwirkung von GFNs [verursacht 133 , 177 , 178]. Die **Aktivität von SOD und GSH-PX nahm nach Exposition gegenüber GO zeit- und dosisabhängig ab** [82 , 106 , 119].
- In ähnlicher Weise war **oxidativer Stress die Hauptursache für Apoptose und DNA-Schäden**, nachdem HLF-Zellen GO ausgesetzt wurden [148].
- Sowohl die Mitogen-aktivierte Proteinkinase (**MAPK**) (JNK, ERK und p38) als auch die **TGF-beta-bezogenen Signalwege** wurden durch die ROS-Erzeugung in reinen Graphen-behandelten Zellen ausgelöst, begleitet von der Aktivierung von **Bim und Bax, zwei Pro -apoptotische Mitglieder der Bcl-2-Proteinfamilie**.
- Als Ergebnis wurden Caspase-3 und seine nachgeschalteten Effektorproteine wie PARP aktiviert und die **Apoptose wurde initiiert** [83 , 179]. Detaillierte Informationen zu den MAPK-, TGF-&agr;- und TNF-&agr;-bezogenen Signalwegen, die Entzündungen, Apoptose und Nekrose induzieren, sind in [4 zusammengefasst](#) .

Abb. 4



Schematische Darstellung der MAPK , TGF beta und TNF alpha abhängigen Wege, die an der GFN-Toxizität beteiligt sind. ROS war der Hauptfaktor für die Aktivierung der MAPK- und TGF-beta-Signalwege, um zur Aktivierung von Bim und Bax zu führen, was die Kaskade von Caspasen und dem JNK-Weg auslöst. Die Aktivierung von Caspase 3 und RIP1 führte schließlich zu Apoptose und Nekrose

La Quinta Columna: "Graphenoxid hat seine Absorptionsbande bei 5G"

12. JUNI 2021

Es besteht eine Verbindung zwischen **5G-Antennen und dem „Impfstoff“**. Graphen wird von außen manipuliert, das ist mit der neuen Technologie möglich. **Graphenfrequenzen sind in der 5G-Bandbreite enthalten**, und Menschen, die diesen fälschlicherweise "Impfstoff" erhalten, werden **mit Graphenoxid geimpft**, das **bei Kontakt mit Wasserstoff aus Biomolekülen magnetisch wird**. Das heißt, es wird magnetisch, sobald es im Körper ist. Dies kann am selben Tag der Impfung, Tage, Wochen und bis zu 3 Monate später geschehen; und es ist nicht nur auf den Impfbereich beschränkt. Dieses **Graphenoxid soll den zerebralen Neurocortex** erreichen, wie die Biostatistiker **Ricardo Delgado und Dr. José Luis Sevillano** von La Quinta Columna bereits herausgefunden haben.

Bei **5G-Frequenzen von 27 und 42,6 GHz** gehen die in die Impfstoffe injizierten 1,2-nm-Nanoröhren in Resonanz und verändern den Gehirnprozess stark

<https://www.extremetech.com/extreme/150121-magnetogenetics-a-new-technique-to-control-the-inner-workings-of-human-cells-and-build-neural-circuits>

<https://www.theguardian.com/science/neurophilosophy/2016/mar/24/magneto-remotely-controls-brain-and-behaviour>

- die Platzierung magnetischer Nanopartikel in Neuronen einen Fernzugriff auf das Zentralnervensystem und das Gehirn ermöglicht und es **entfernten** Mitarbeitern ermöglicht,

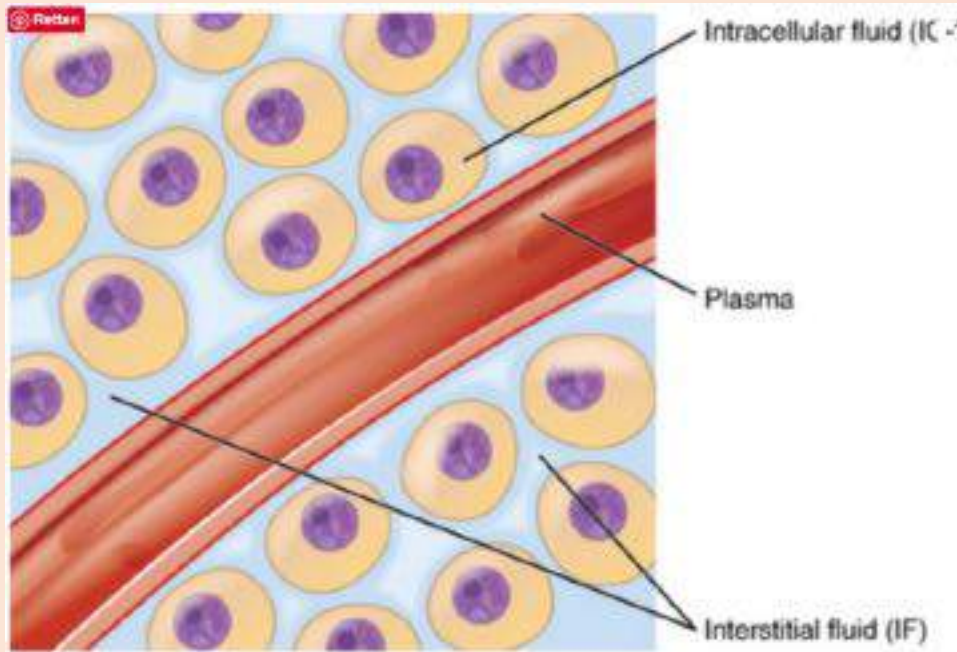
Es gibt auch viel wissenschaftliche Literatur, Forschung und Berichterstattung zur

Magnetogenetik, einem Forschungsgebiet, das den Fokus auf magnetische Nanopartikel, **fluoreszierende Nanopartikelsensoren** und die Erforschung des **Gehirnverhaltens** kombiniert.

Wissenschaftler haben gelernt, dass

- **Neuronen aus der Ferne ein- und auszuschalten**, was die **motorischen / Muskelbewegungen, das Gedächtnis und das Verhalten beeinflusst**.

Die **Graphenoxid-Nanobots** werden durch **Magnetfelder (EMF) 4 G und 5G oder Ultraschall** angetrieben, so dass sie tief in die Gewebe, Organe und Drüsen des menschlichen Körpers (wie die **Fortpflanzungsorgane**, [80][82][83] Knochenmark, über die **Blut-Hirn-Schranke** und die **Luft-Blut-Schranke der Lunge** über die **interstitiellen Flüssigkeiten** - das größte Organ des menschlichen und tierischen Körpers, das **Interstitium** - gelangen können. [81] [82] [83]



Raster- und Transmissionselektronenmikroskopie zeigt Graphenoxid in CoV-19-Impfstoffen

Artikel vom 04. Juni 2021

5. Februar 2021, Aktualisiert am 1. Oktober 2021

Autor: Robert O. Young, DPC, MSc, DSc, PhD, Naturheilpraktiker

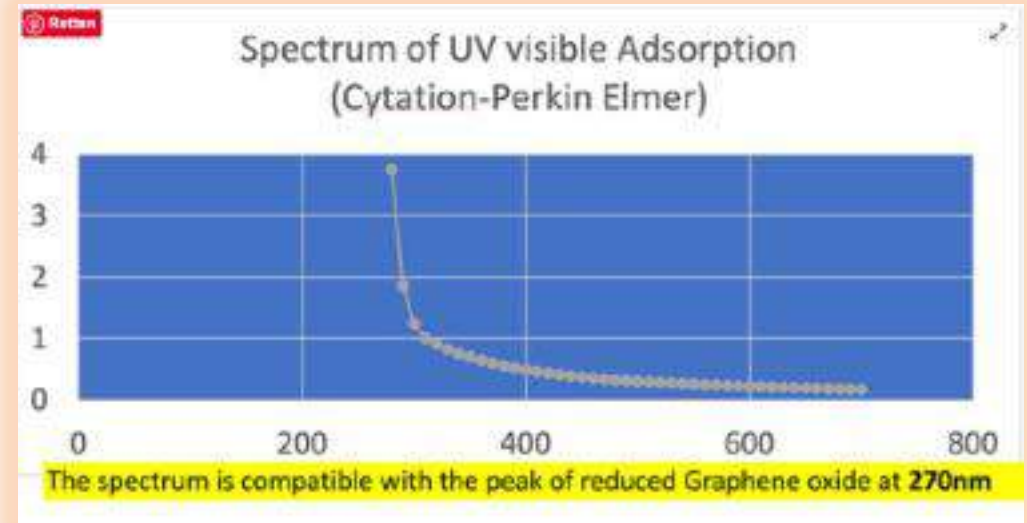
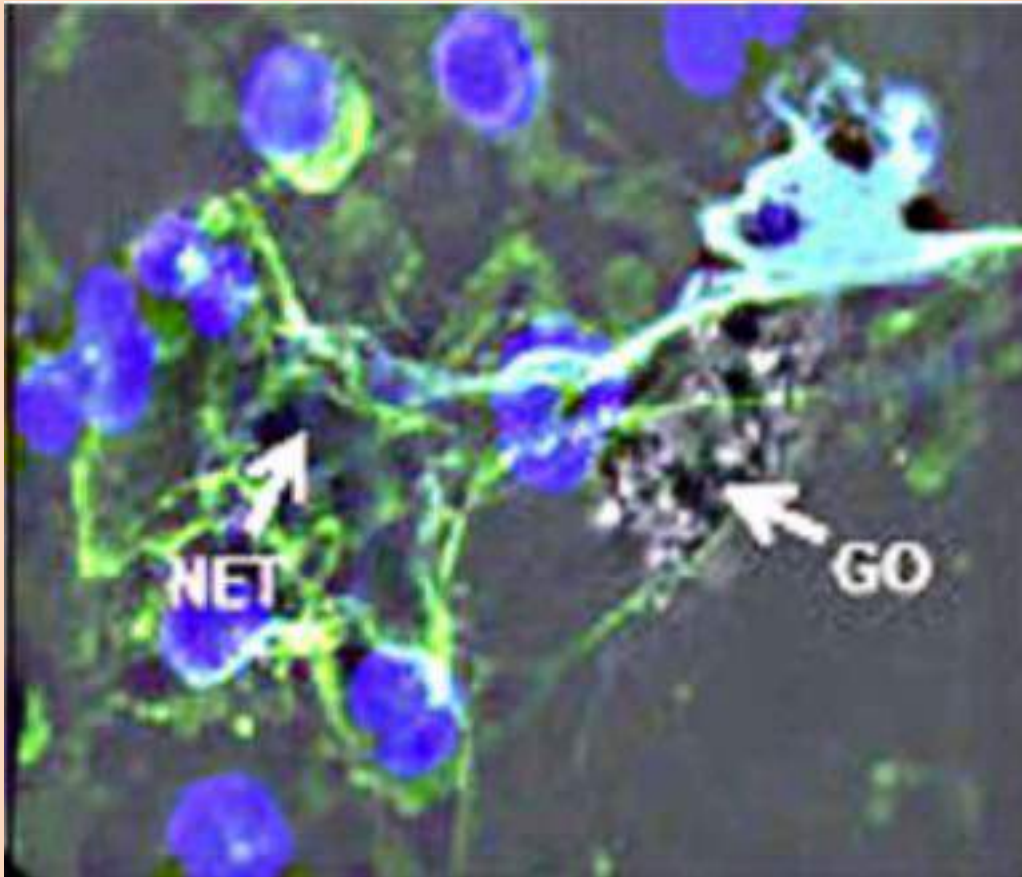


[Abbildung 1d Unter pHase-Kontrastmikroskopie eine **Nanoröhre von Graphenoxid** in koagulierten roten Blutkörperchen oder Blutgerinnseln. Dr. Robert O. Young, Hikari Omni Publishing, 2021][2][73][74][83]]



[[Abbildung 1e Unter Hellfeldmikroskopie betrachtet eine **Nanoröhre und Mikroröhrchen von Graphenoxid** in den getrockneten geronnenen Blutzellen oder ein **Blutgerinnsel** zusätzlich zu **Parasitenwölbungen**, die in den vernetzten Fibrinmonomeren exprimiert werden, was auf

- eine **systemische parasitäre Infektion** hinweist. Dr. Robert O. Young, Hikari Omni Publishing, 2021][2][73][74][83]]



Das **UV-Absorptionsspektrum** bestätigte einen **maximalen Peak bei 270nm**, der mit dem Vorhandensein von **rGO-Partikeln** kompatibel ist. UVC-Licht dient aber auch zum Anchieben der **4 Grund Aminosäuren zur Herstellung von 500 Protein Ketten des Lebens**, ohne UV C Licht kein Leben! das heißt, das **reduzierte Grafenoxid** greift genau in diesen Lebensprozeß ein !

Die obige Mikroaufnahme zeigt das **Graphenoxid (GO)** und die **Vergiftung und Zerstörung der Neutrophilen (NET)** - die über 60 Prozent aller weißen Blutkörperchen ausmachen), die entwickelt wurden, um fremde **giftige chemische Abfälle und Biologika aufzunehmen und zu beseitigen**. Die Wissenschaftler des Karolinska Institute, der University of Manchester, der Chalmers University of Technology und des wissenschaftlichen Teams von Dr. Robert O. Young haben gezeigt, dass das **menschliche Immunsystem Graphenoxid auf die gleiche Weise behandelt wie Bakterien, Hefen oder Schimmel**. [83]]

Schutz: Aufbau von **Melanopsin** durch Einnahme von **Vitamin D3** (500 i.e pro Kg Körpergewicht tägl.) , mit **K2, Vitamin A** mindestens 50000 Einheiten täglich und **DHA** mind.1g tgl.

They could make you change your opinion, your way of thinking, according to the interests of the government, influence your purchasing decisions, life, consumption ... If you think about it, I think it's really scary and that's why there is that demand the independent analysis of vaccines, the suspension of the vaccination process and demand the purge of responsibilities. However, we are already seeing that it is an operation on a planetary scale.

The screenshot shows a web browser displaying a ScienceDirect article. The browser address bar shows 'sciencedirect.com'. The article title is 'Intelligence and security in big 5G-oriented IoNT: An overview' by Fadi Al-Turjman. The article is from 'Future Generation Computer Systems', Volume 102, January 2020, Pages 357-368. The page includes options to 'View PDF', 'Purchase PDF', and 'Access through your institution'. There are also icons for 'Outline', 'Share', and 'Cite'.

6.1.6 Grafenoxid und 5 G

Sie Können nun deine **Meinung** verändern deine **Denkweise** entsprechend den Interessen der Regierung, sie beeinflussen dein **Kaufverhalten** deine Entscheidungen, Dein **Leben**, **Konsumverhalten**.

Wenn du darüber nachdenkt es ist wirklich unheimlich und deshalb benötigen wir eine unabhängige Analyse von Impfstoffen der Suspension des Impfungsprozesses und eine Herausgabe der Verantwortlichen. Wie auch immer, wir sehen schon dass es eine Operation auf der ganzen Planetenscala ist



Die elektronische Anregung, ihre Magnetresonanz, liegt genau in der dritten Bandbreite der 5G-Technologie, die gerade ausgeschrieben wird und die uns während der gesamten Pandemie begleitet hat.

La Quinta Columna erklärt, was genau der „Gehirn-Tsunami“ ist, den das nie isolierte SARS-CoV-2 verursachen wird

Tatsächlich haben sie Graphen zumindest durch die Luft mit den berühmten Chemtrails-Sprays eingeführt, die wir jedes Mal sehen, wenn eine neue Welle angekündigt wird. Eine Ansage, die gut mit dem Auftakt dieses Express-Spritzens untermalt ist, und die Leute erkennen bereits logisch, was am Himmel passiert. Auch durch die Masken, PCR- und Antigentests und Impfstoffe wie Anti-Grippe und Anti-COVID in all seinen Varianten, da sie alle die magnetische Wirkung erzeugen.

La Quinta Columna: Graphenoxid + 5G = COVID-19

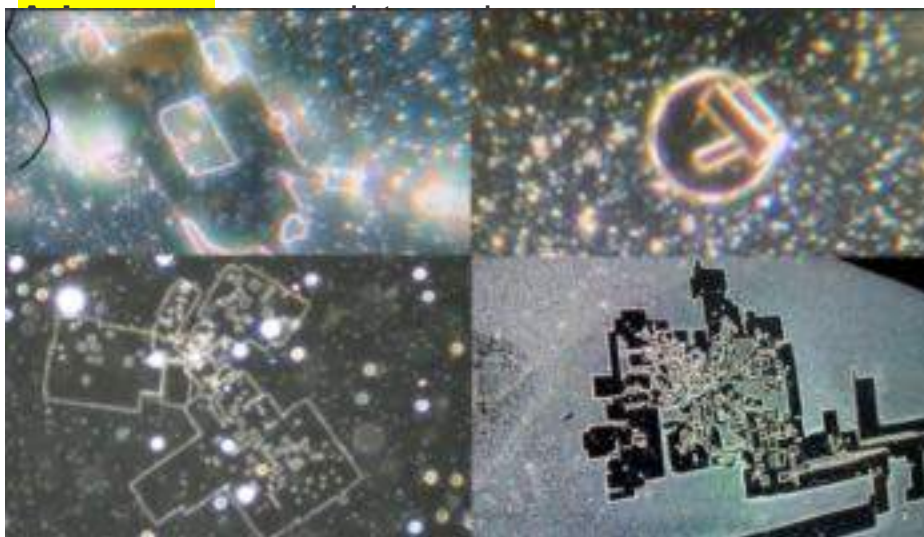
2. Ein anderes Gitter wäre das terrestrischer: ein Spinnennetz aus Antennen.



3. Und die fehlende Schnittstelle in der Mitte dieser beiden Gitter, die wir jetzt kennen, sind genau die Graphenoxid-Nanopartikel, die mit der künstlichen Intelligenz verbunden sind.



Neuseeländische Wissenschaftler bestätigen die Funde mikroskopischer Objekte in Proben des Pfizer-Impfstoffs. Sie könnten erklären, warum die Körper "Geimpfter" von **Bluetooth-Detektoren als MAC-**



Dr. Matt Shelton und Sue Gray sprechen außerhalb des Parlaments über diese Ergebnisse

<https://odysee.com/@spearhead4truth:e/Nanotech-discovery-280122:9>

Österreichische Forschungsgruppe präsentiert ihre Ergebnisse zu nicht deklarierten Bestandteilen in den COVID-19-„Impfstoffen“

<https://www.bitchute.com/video/DVpViLiToDrH/>

Verwandte Websites:

Orwell City:

<https://www.orwell.city>

Deutsche Pathologietagung:

<https://pathologie-konferenz.de/de/>



!!X🚫👉 GRAPHEN bzw. GRAPHENOXID in den GENMODIFIZIERTE-GEN-GIFTSPRITZEN die fälschlicherweise "Covid-Impfungen" genannt werden . 5G Verursacht die Krankheitssymptomen wie Covid-19 und zusammen mit GRAPHEN : GRAPHENOXID ist Toxisch und verursacht Tödliche Verläufe im Körper. Deutsch Synchronisiert .

- 👉 Nano-Graphemoxid
- 👉 Nano-Router
- 👉 Nano-Antennen

Graphenoxid hat die Eigenschaft auch Mutationen, Chromosomen Veränderungen und **Krebs** hervorzurufen. Die Toxizität von Graphenoxid ist zusätzlich abhängig und erhöht sich durch **Elektromagnetische Strahlung**, dadurch entstehen Gewebe/-systemische und Organübergreifende Entzündungen, es kann bis zum **Zytokinsturm** kommen (Kettreaktion Multiorganversagen).

- **Elektromagnetischen Feldern** erzeugen Veränderungen im Herzschlag,
- anschließend **Herzrhythmusstörungen** die zum
- **Herzstillstand** führen können, deswegen kollabieren viele Sportlern .

QUELLE La Quinta Columna —Ärzte Vereinigung in Spanien

Multi-organ dysfunction (anaphylactic death); Circulatory system (damage to primary endothelial cells); Endocrine system (damage to the barrier integrity of the human placental trophoblast); Damage to the immune system; Damage to the nervous system (blood-brain barrier, release of free radicals, damage to the retina, damage to neuronal and brain tissue ...); Damage to the urinary system (kidney cell damage); Damage to the reproductive system (problems in the ability to reproduce, damage to sperm, damage to the intestine and testicles, reduced fertility ...); The list is longer ... Check the bibliography

corona2inspect-blogspot-com.translate...

español → inglés

C0r0n @ 2 Inspect

Review and analysis of scientific articles related to the experimental techniques and methods used in vaccines against c0r0n @ v | rus, evidence, damage, hypotheses, opinions and challenges.

Damage and toxicity of carbon-graphene nanotubes

Last Update 2021-10-10 @ 11: 50: 00

Index

1. Cytotoxicity and mutagenesis
2. Inflammation and immunosuppression
3. Genotoxicity, DNA damage
4. Cell death
5. Reviews on toxicity and damage
6. ROS and free radicals
7. Pulmonary toxicity

PFIZER

©Dr. Campr

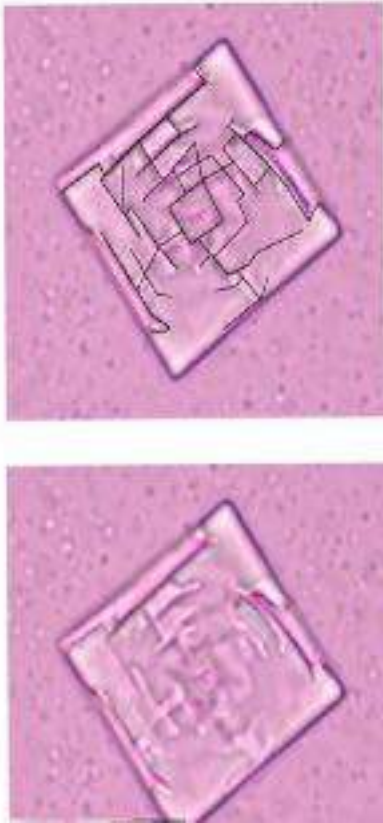
However, it is no longer just about the health implications. People who manage to survive or tolerate the installed hardware, are emitting data, and they have a Trojan horse with which they can neuromodulate and neurostimulate their brain, also monitor it.

Graphene and specifically the hydrogel with carbon nanotubes, which has been observed in the images under the microscope, could be used to naturally locate itself in tissues with a higher electrical charge (since they are attracted), specifically the brain and the heart. In the brain, they can bypass neural synapses and thereby introduce external wireless signal input

PFIZER

©Dr. Campr

In other words, without knowing it you could be transmitting data about which regions of your brain are activated at any given moment, but you could also stimulate others or reconfigure them so that you act in a certain way. That is neurostimulation. It can be achieved wirelessly through microwaves, and through the nano-network installed after inoculation.



Neurostimulation schnurlos, (wirelessly) durch Mircrowellen und Installation eines Nanonetzwerkes nach der Impfung!!

👁 Elektromagnetische Felder, Graphenoxid und Herzrhythmusstörungen!!

Wieso kippen soviel Athleten, und Sportler um?

Als **Supraleiter hat Graphenoxid eine Affinität zu elektrischen Aktivitäten**, wie z. B. dem Herzen.

Wenn das Nanomaterial in Myozyten eingeschleust wird, absorbiert es Energie aus **externen elektromagnetischen Feldern und erzeugt Veränderungen im Herzschlag, die Herzrhythmusstörungen** verursachen.

🚨 Herzinfarkt: **Wirkung von Graphenoxid auf Myozyten bei Stimulation durch externe elektromagnetische Wellen** * **

Wenn »Graphenoxid (<https://t.me/GrapheneAgenda/4>)« durch externe elektromagnetische Felder (<https://t.me/GrapheneAgenda/210>), wie z. B. die **von 5G-Antennen ausgesandten Wellen** (<https://t.me/GrapheneAgenda/323>), angeregt wird, führt dies zu Veränderungen der **Herzfrequenz**.

Wie La Quinta Columna schon seit geraumer Zeit erklärt, wäre dies einer der Hauptgründe für die Zunahme von Herzrhythmusstörungen, Herzinfarkten und Schlaganfällen.



Trauer in Conil um den Tod von Manu, einem jungen Trainer der Fußballschuhe, es war weder sein Alter noch die Zeit um uns so plötzlich zu verlassen

Das Bild links stammt von InfoVacunas, es handelt sich um das Blut eines 7-jährigen Kindes, das mit **den Impfstoffen des Kinderkalenders geimpft wurde**. Ich garantiere persönlich für die Wahrhaftigkeit, da es sich um das Blut des Sohnes eines guten Freundes handelt, und der Arzt, der den Bluttest durchgeführt hat, kann Ihnen sagen, dass auch er der Meinung ist, dass es sich um **Graphenoxid** handelt.

Óxido de grafeno en la sangre de un niño de 7 años

Patrón de suspensión de OXIDO DE GRAFENO (TMThe Graphene Box)



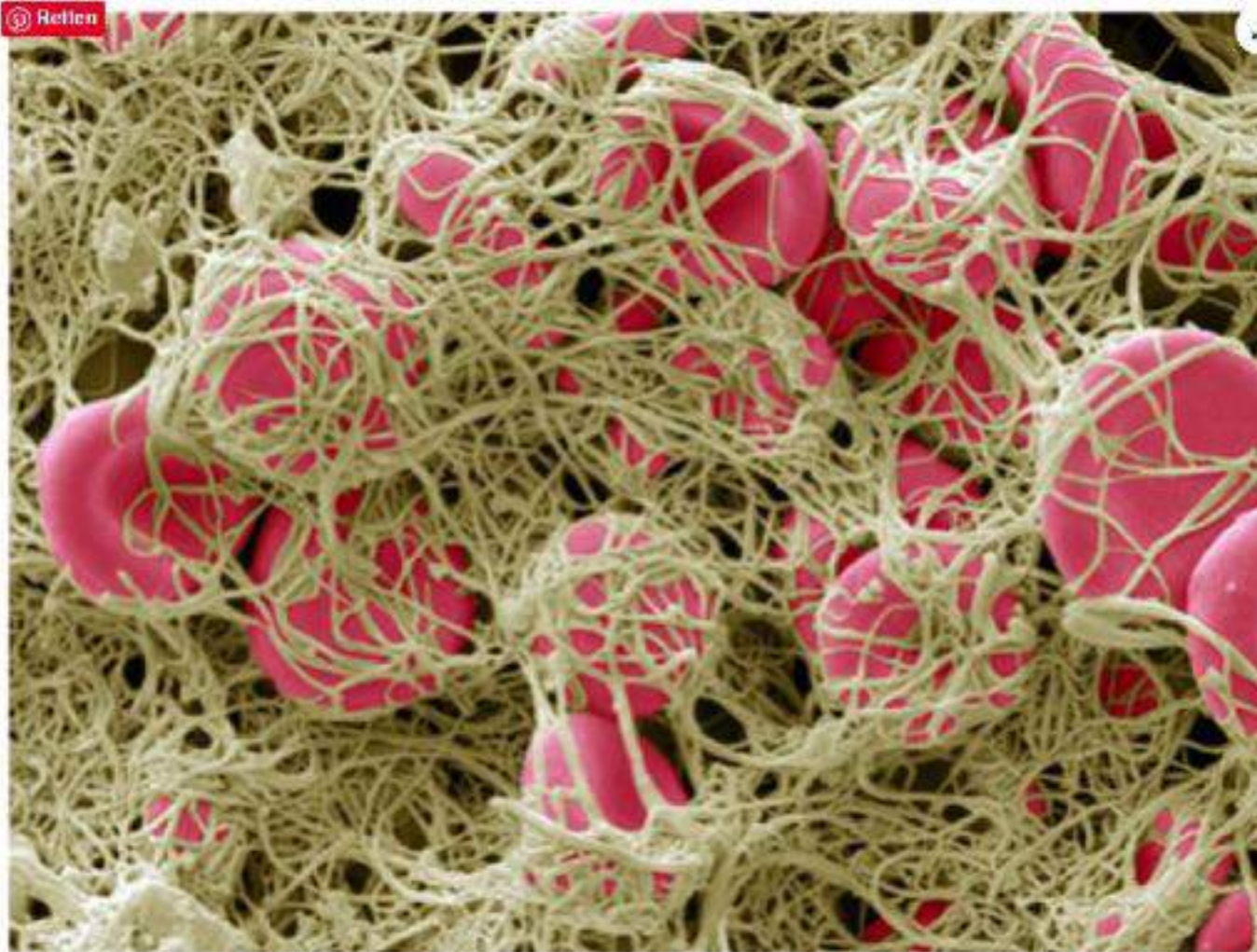
COAGULACIÓN SANGUÍNEA TRAS LA VACUNA COVID Causada por óxido de grafeno

Sangre de niño vacunado con las vacunas del calendario infantil



Telegram @InfoVacunas

Figura 1: micrografía de un grupo de óxido de grafeno reducido (rGO) visto en sangre humana no manchada viva con microscopía de contraste pFase a 1500x. Los glóbulos rojos se coagulan en y alrededor del cristal de rGO.



Phase Contrast Micrograph 2 - Erythrocytic Fibrin Net Indicating Disseminated Intravascular Coagulation - DIC

[Disseminierte intravaskuläre Gerinnung (DIC) oder pathologische Blutgerinnung. [57] [58]]

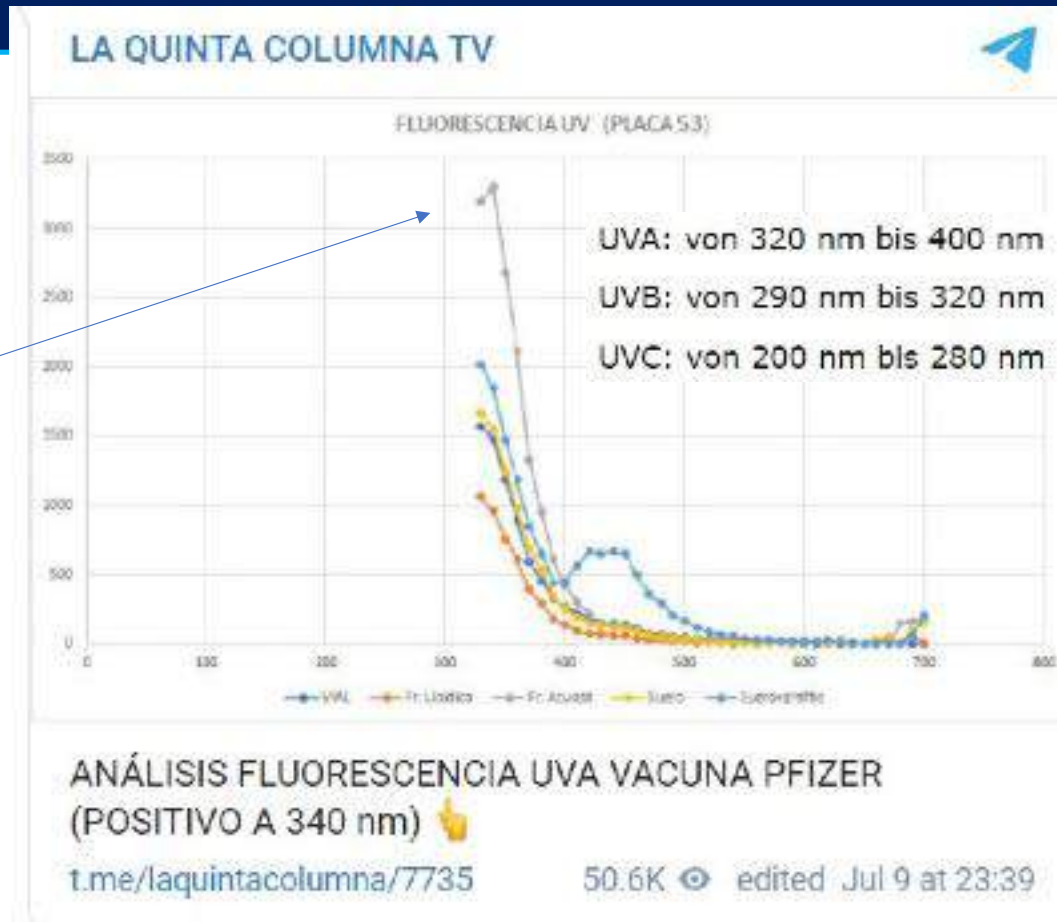
Die Medikamente von Pfizer, Moderna, Astrazeneca und Janssen sind KEINE "Impfstoffe", sondern **komplexe Graphenoxid-Nanopartikelaggregate** aus unterschiedlichen Nanelementen, die an **genetisch veränderte Nukleinsäuren von mRNA** aus **tierischen oder Verozellen** und **abgetriebenen menschlichen fetalen Zellen** gebunden sind

Die Inhaltsstoffe in diesen sogenannten Impfstoffen sind **hochmagnetotoxisch, zytotoxisch und genotoxisch** für **pflanzen-, insekten-, vogel-, tierische und menschliche Zellmembranen und ihre Genetik**, die bereits zu schweren **Verletzungen** (geschätzt auf über 500 Millionen) und **oder zum Tod (geschätzt auf über 35 Millionen)** geführt hat. [17] [18] bis [55][73][82][83]

Graphenoxid ist steuerbar über 280 und 340 nm UV-Licht, Prof Delgado Universität Almeria



Geimpfte zeigen im Impfbereich bei 340 nm (UVA) eine **Photolumineszenz**, wenn mit Taschenlampen und UV-Filter beleuchtet! **Neurokontrolle mit dieser Art von Material bedeutet Tod durch Neurodegeneration!**



5G Frequenzen

Für den 5G-Ausbau kommen aktuell und zukünftig viele verschiedene Frequenzbereiche zum Einsatz. Dabei eignen sich einzelne Bandbereiche jeweils für konkrete Bedürfnisse besser als andere. Die Differenzierung trägt dabei vor allem dem Trade-Off zwischen Reichweite und erzielbarer Datenrate Rechnung.

Aktiviert Grafenoxid

Tödliche 2,4 GHz- Frequenz zerreit Zellmembranen und hexagonales Wasser



28 GHz

mmWave
(Ballungsrume, z.B.
Stadien, Industriegebiete)



Wenn sehr viele
Menschen dicht gedrngt
auf einen kleinen Raum
mit schnellem Internet
versorgt werden mssen,
ist 5G auf mmWave ideal.

3,6 GHz

Grostadt



5G wird in Grostdten
vor allem auf 3,6 GHz
ausgebaut. Hohe
mgliche bertragungs-
raten stehen aber relativ
geringen Reichweiten
gegenber.

2,1 - 3,6 GHz

Kleinstadt &
Gewerbegebiet



In Kleinstdten und
lndlichen Gewerbe-
gebieten sind neben 3,6
GHz auch die weiter
reichenden Frequenzen
bei 2 GHz ideal fr den
5G-Ausbau.

700 MHz

Dorf & Flche



Auf dem Land gilt es, viel
Flche mit wenig
Mobilfunkmasten
abzudecken. Hier ist 5G
bei 700 MHz perfekt
geeignet mit Reichweiten
von 10-20 km.

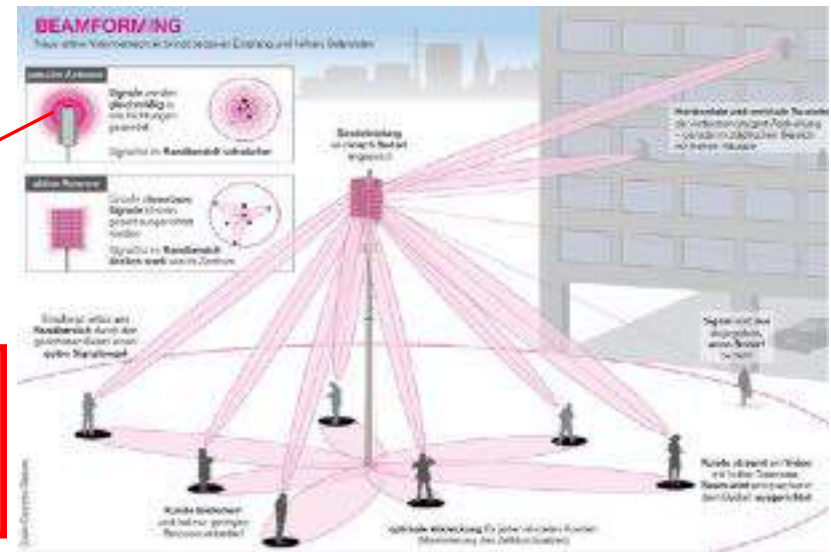
Reichweite

erzielbare Datenbertragungsrate

Bei der **Luciferase** macht sich die Biotechnik das Prinzip des Leuchtens vom Glühwürmchen zu eigen. Die Biolumineszenz kann aber heute durch Änderung der Moleküle dazu gebracht werden, dass nur im **Infrarotbereich die Haut, wie ein QR Code leuchtet und Informationen überträgt.** <https://archive.fo/FDQjA>

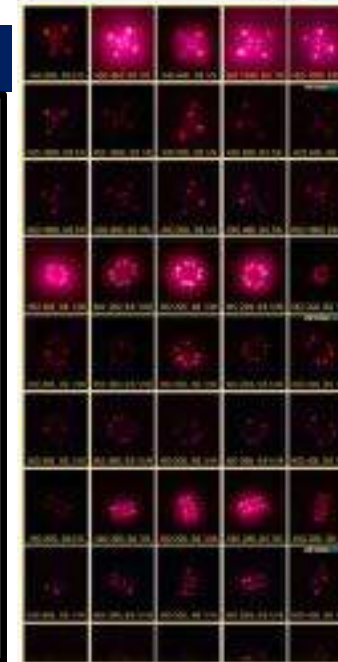
Die **Luciferase** wurde bisher als Markerstoff für geänderte Gensequenzen in der DNA genutzt, um genau die Änderungsbereich erkennen zu können, indem diese aufleuchteten und in Körpern von Tieren nachverfolgt werden können. In der Zwischenzeit soll auch diese Technologie weiter fortgeschritten sein.

Die **Luciferase im Zellkern einer DNA soll diese im 5G Netz übermitteln können**, wenn mit Hilfe einer **5G Funkquelle die Luciferase angeregt wird**. Damit werden mit der Fertigstellung des **Starlink-Satellitensystems**, das auf einer 5G Technologie basiert alle Menschen zu laufenden Leuchtbojen.



GEPLANTE UNTERWERFUNG DES MENSCHEN:

1. „**Impfung**“ und damit Implementierung der Sensorik für den Kryptoaccount
2. Einführung des **digitalen Impfasses** zur Zusammenführung und Datenkontrolle von aktuellen **Ausweis- und Meldedaten, DNA – Daten aus PCR Tests** und Zusammenführung im **neuen International Health Pass**.
3. **Zusammenbruch des alten Währungssystem EURO – Dollar** und alle verbundenen FIAT Währungen nach Abschluss von 50 - 70 Prozent der Impfung der Weltbevölkerung.
4. **Enteignung aller Menschen.**
5. Einführung des **Körperbezogenen Krypto – Euro** mit Verfallsdatum und Zweckbindungsmöglichkeit zur nutzungsbezogenen **Dauerversklavung** mit **regelmäßigen Anpassungen auf eine neue DNA** über **weitere Impfung** je nach Gebrauchstauglichkeit des Sklaven.
6. **Entsorgung aller für das neue System untauglichen Menschen.**
7. **Geburten und Bevölkerungskontrolle.**



An den
Generalbundesanwalt am Bundesgerichtshof
- Dr. Peter Frank -

Ursache: Tötung
Tötung
Tötung
Tötung

Strafanzeige und Strafantrag
im Biontech – Komplex
im Zuständigkeitsbereich des § 120 StGB

das Herrn Tobias Ulrich, Leitow/Vorbeck-Str. 48, 41060 Mönchengladbach

- Anzeigenersteller -

Der Anzeigenersteller ist Rechtsanwalt und gemäß § 1 BRAO Organ der Rechtspflege. Zu seinen Berufspflichten gehört es gem. § 1 Abs. 3 BRAO:

7. Zeitgitterkristalle der Haut , des Auges , des Darmes

aktiviert durch UVC; Deuterium und Melanopsin:

Methionin, , Tryptophan, (Startcodons für 500 Proteine)

Phenylalanin, Tyrosin , Histidin

, DHA, Vit D 3 , Deuterium, EZ;

Korrekturmittel:

Einschub: die wichtige Rolle von UV C- Licht zum
Anschub der wichtigsten Aminosäuren des Lebens
unter anderem bei 270 nm , leider der
Aktivierungsfrequenz von reduziertem Graphenoxid

- Quantenstein ,
- Nah- und Ferninfrarot,
- Microsphärenmaterial
- Lightpen und Brainy
- Kolganovkugeln Wer denkt sich das alles aus

die Verheerende Wirkung von blauem Licht

22.11.2014

Master Clock



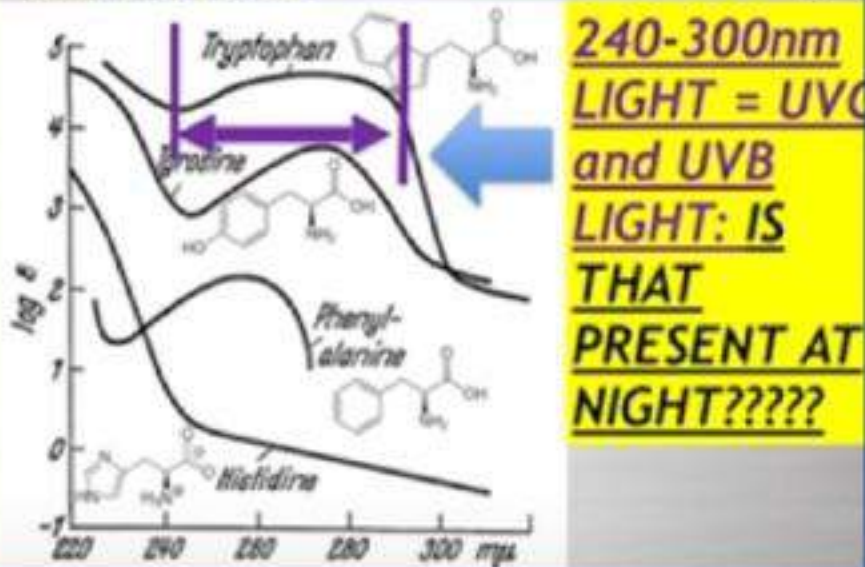
The "master clock" that controls circadian rhythms consists of a group of nerve cells in the brain called the suprachiasmatic nucleus, or SCN. The SCN contains about 20,000 nerve cells and is located in the hypothalamus, an area of the brain just above where the optic nerves from the eyes cross.

Concentration of deuterium and some other vital elements and glucose in human serum

Deuterium	12-14 mmol/L (150 ppm)
Calcium	2.24-2.74 mmol/L
Magnesium	0.75-1.2 mmol/L
Potassium	3.5-5.1 mmol/L
Glucose	3.3-6.1 mmol/L

OBSERVATION MATCHES

MECHANISM



Grenzzonenwasser (EZ-Wasser) und Deuterium D produzieren UVC- Licht

Elektrosmog und Grafenoxid vernichten UVC- Licht , die Grundlage des Lebens !

in der Haut in den kleinen Arteriolen!

- Als Voraussetzung zur Produktion von TRY, PHE, Tyr, HIS, DHA, Vit D3, Melanopsin und Melatonin
- Deuterium produziert nach Aktivierung von Sonnenlicht auch ein Laserlicht um Fettzellen einzuschmelzen
- Deuterium aktiviert rote Blutkörperchen und lässt Blutgefäße zur Oberen Hautschicht steigen , insbesondere bei Wärme
- D aktiviert den Blutfluss
- **Cave : Blaues Licht (400 bis 480 nm) aktiviert D in den Zellen und Mitochondrien und führt zur Membranschwellung der Mitochondrien u Lyse , Gewichtszunahme und Fettleber mit Entgleisung der circadianen Rhythmen von Haut, Darm und Auge sowie Zirbeldrüse**

5G 15 000 mal
stärker als 4 G

Mobilfunk
- die verschwiegene Gefahr



8. ELEKTROSMOG Der schleichende Tod Mikrowellenstrahlung sowie 5G

Neben den Mobilfunkantennen gibt es jedoch auch noch andere Quellen, die hochfrequenten „Elektrosmog“ verursachen, diese sind u. a.:

- Richtfunkstrecken
- Schnurlose DECT-Telefonstationen/-Telefone
- Mobiltelefone, Handys
- WLAN-Schnurlosverbindungen
- Bluetooth
- Babyphone
- Rundfunk- und Fernsehsender
- Radar

Tsiang et al., 2021

COVID-19 Attributed Cases and Deaths are Statistically Higher in States and Countries with 5th Generation Millimeter Wave Wireless Telecommunications in the United States

In Deutschland gibt es ca. 260.000 Mobilfunkanlagen, 90 Mio Handys und ca. 50 Mio DECT-Schnurlos-Telefone

In der Schweiz in nur 5 Jahren **35 %** mehr Tumortote allein schon durch **4 G**, durch 5 G mit Corona zusammen unglaubliche **165% mehr Tote!!** (Tsiang et al. 2021)

STRAHLUNGSGEFAHREN 7. Und Elektromog

"Noch nie in der Geschichte wurden Menschen so geschickt dazu gebracht, sich langsam auszurotten - und glücklich viel Geld für das Privileg zu zahlen." - Amy Worthington, www.wi-cancer.info





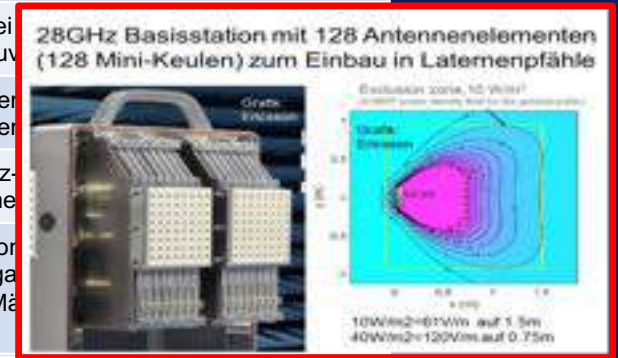
Elektromagnetische Wellen – aktuelle Grenzwerte in D.

Viele Studien zu direkten gesundheitlichen Auswirkungen

5G: 100 bis 6200 W!!

10Watt/m² - Strahlung bei 1,5 Meter Abstand und 4-fache Grenzüberschreitung bei 0,75 Meter Abstand (40Watt/m²)

Messwert (in $\mu\text{W}/\text{m}^2$)	Auswirkungen auf die Gesundheit	Messwert (in $\mu\text{W}/\text{m}^2$)	Auswirkungen auf die Gesundheit
ca. 5-10 Mio.	Grenzwerte Deutschland 26. BImSchV (5-10Watt/m ²)	40.000	Gedächtnisfunktionen bei Kindern verlangsamt (Chiang 1989)
ca. 3 Mio.	Gehirnschäden in Ratten möglich, Tumorentwicklung möglich (Kesari 2010)	5.300	Vierfache Krebsraten im Umfeld von Sendern (Wolf u.a. 2004)
520.000	Oxidative DNA-Schäden bei Kaninchen (Guler 2010)	3.800	Stressreaktionen bei Rindern, "Rinderstudie" (Wenzel u.a. 2002)
400.000	Hodenkrebs 6,9-fach häufiger durch Radar (Davis 1993, Fink 1999)	3.200	Motorik- und Gedächtnisstörung bei Störungen des Immunsystems (Bruv)
265.000	Zunahme der Oxidation und DNA-Brüche (Campisi 2010)	2.000	Zunahme von Leukämien bei Kindern
259.000	Oxidative Schäden im Gehirn (Sokolovic 2008)	50-1.300	Wien-Studie an Schlafplätzen, Herzstörung mit der Feldstärke zunehmend
> 100.000	Bluetooth-Headset am Kopf (0,1 W/m²)	1.000	Salzburger Resolution, getragen von Bundesärztekammer u. a. Ärzteorga Spermien-Anomalien männlicher Männer (0.001 Watt/m²)
40.000	Gedächtnisfunktionen bei Kindern verlangsamt (Chiang 1989)	200	Störungen an der Zellmembran (Marinelli 1999) Anstieg von Krebs im Kindesalter (Selvin 1992)
ca. 20.000	Öffnung der Blut-Hirn-Schranke bei Ratten (Persson, Salford 1997), Direkter Effekt auf Ionenkanäle von Zellen (D'Inzeo 1988) Neuropsychiatrie-Probleme an Basisstationen (Abdel-Rasoul 2007) Lerndefizite bei Ratten (Lai 2004)	10-200	Müdigkeit, Depression... (Studien Murcia 2004, Valencia 2002 u.a.)
10.000	DNA-Hirnschäden (Verschave 1994, Lai 1996-2005) Stimulation von T-Zellen und Makrophagen (Novoselova 1999) Kopfschmerz, Schwindel, Reizbarkeit, Müdigkeit (Simonenko 1998) (0.01 Watt/m²)	> 40	Kopfschmerzen und Konzentrationsprobleme (Hutter 2006)



Die ICNIRP (internationale Strahlenschutzkommission) als privater Verein, hat ihre **Grenzwertempfehlungen bereits 5G-fähig** gemacht. **200V/m für Arbeitsplätze** und **90V/m für die Allgemeinbevölkerung**.

Das heißt, um 5G einführen zu können müssten die **Schweizer Anlage-Grenzwerte von 5 resp 6V/m komplett aufgehoben und der Sicherheitsabstand von heute 61 V/m auf 200V/m angehoben** werden. Das wird postwendend auch die WHO machen.

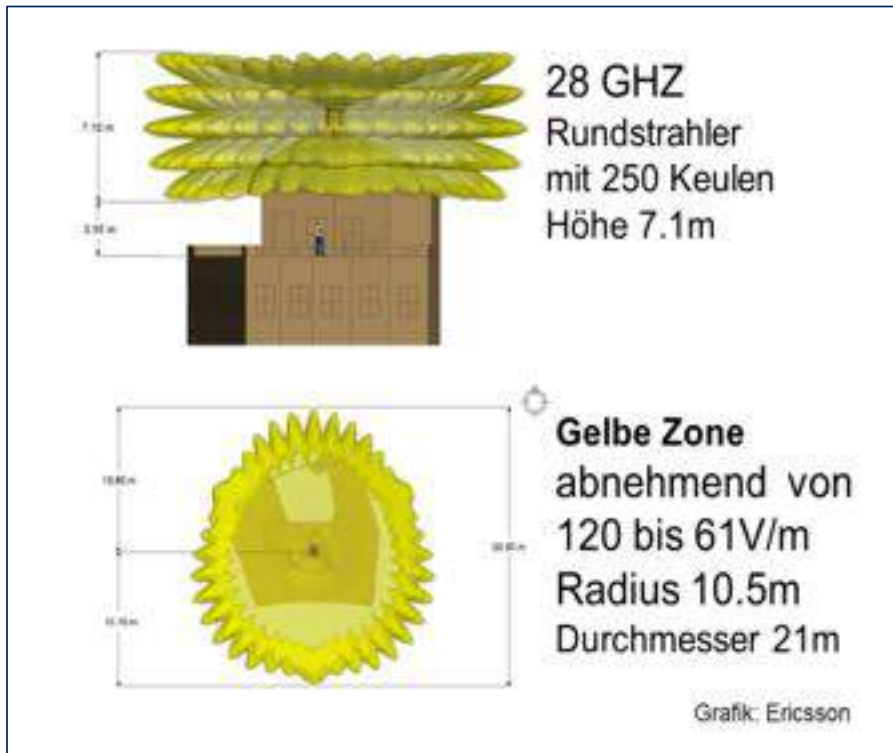


Abb.oben: Ericsson resp. Swisscom verkaufen nicht nur Sektorstrahler, sondern für eine Frequenz von **28Gigahertz** auch noch **Rundstrahler** mit insgesamt **250Strahlenkeulen**. Immer **5 Keulen übereinander oder je 50 im Kreis herum** nebeneinander. Innerhalb der gelben Zone nimmt die **Strahlung von 120V/m bis auf 61V/m in einem Abstand von rund 10.5m ab**.



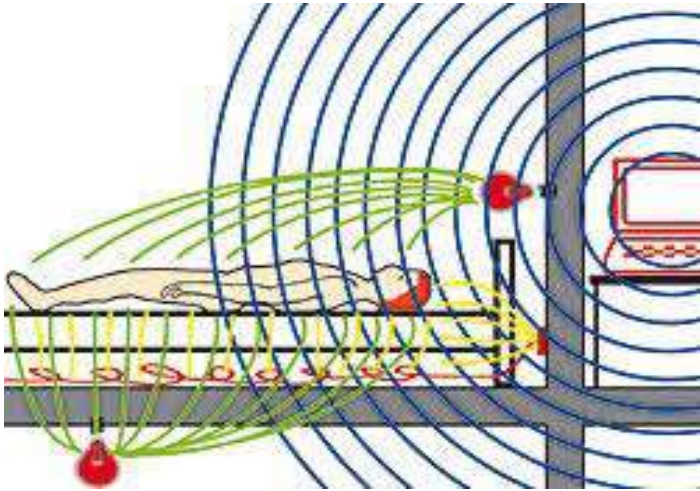
Abb. oben: Zeigt den selben 28GHz-Rundstrahler für weitere Distanzen in einer **blauen Zone**. Abnehmend **von 60V/m bis auf 6V/m**. In 20m werden es noch 30V/m und in 40m noch 15V/m und in 80m noch 7.5V/m sein. Der Schweizer Anlage-Grenzwert von 6V/m für Frequenzen >1.8GHz wird erst bei einer Distanz von 115m eingehalten. Das E-feld wird dort eine Höhe von 70m aufweisen. Das heißt **die Höhe eines 24-stöckigen Hochhauses**.

Quelle: <https://transinformation.net/5g-dringende-warnung-vor-totalverstrahlung-durch-neues-mobilfunknetz/>

Elektrisierende Bilder von WiFi-Signalen zeigen die unsichtbare Welt der EMF-Bombardierung

- Da wir die Frequenzen unserer WiFi-Geräte nicht sehen können, ist es leicht, die möglichen Schäden zu übersehen, die sie verursachen könnten. Falls wir sie allerdings sehen könnten, würden wir dann zweimal darüber nachdenken, wie oft wir sie benutzen? Mit Hilfe einer Android-App und eines Designers für Langzeitfotografie konnte Luis Hernan zeigen, wie das tatsächlich aussieht.
- Unter dem Titel **Digital Ethereal** bietet seine Arbeit einen erstaunlichen Einblick in die Bewegung der WiFi-Signale, die uns praktisch überall hin verfolgen.

Quelle: <http://transinformation.net/elektrisierende-bilder-von-wifi-signalen-zeigen-die-unsichtbare-welt-der-emf-bombardierung/> (am 22.01.2018, um 10:38 Uhr)





1. Deutliche Mitose und Zellteilungsstörung bereits durch **4 G mit Tumor Bildung**
2. **5G** löst offenbar nicht nur Tumorbildung aus sondern eine bisher nicht bekannte **Micrometastasierung über körpereigene Exosomen!**
3. Die durch Strahlung bedingte Überexpression von **p53** führt zu einer ungewöhnlich hohen Rate strahleninduzierter Exosomenfreisetzung und **Metastasierung!**

Mitosestörungen

Abb.: Mikroskopische Aufnahmen von AL-Zellen: Normale Metaphase (a), normale Anaphase (b).

gestörte Metaphase (c),

gestörte Ana- und Telophasen (d-f)

Quelle, Zirbeldrüse in Gefahr, E. Edinger 2019

Mitosestörungen sind ein Phänomen von großer Bedeutung für den menschlichen Organismus, da sie sowohl zu Mikrokernbildung als auch zu Aneuploidie führen können, die wiederum mit der Krebsentstehung assoziiert ist.

Abb.: Schematische Darstellung verschiedener Arten von Mitosestörungen

Abbildung 138. Auswirkungen auf die Zellteilung, erhebliche Mitosestörungen bis hin zu Fehlbildungen des Fötus und Tumorbildung beim Erwachsenen, so bilden sich beispielsweise in der Anaphase der Zellteilung Brückenbildungen so dass eine weitere Teilung unmöglich ist oder Riesen-Zellen entstehen, die kaum noch teilbar sind, beides provoziert Tumorbildungen

Abbildung 139. Zell- Untersuchungen der Julius-Maximilian-Universität Würzburg 2011 bei Exposition mit dem I-Phone. Es kommt **nach kurzer Zeit zur Gentoxizität mit Tüpfelung der Zellkerne**

20 min I- phone

Abb.: Mikroskopische Aufnahme von Zellkernen mit keinem (links), leichtem (Mitte) und hohem (rechts) DNA-Schatten. Genotoxicity of non-ionizing radiation. Effects of mobile phone and terahertz radiation on the genome. Dissertation, Biomedizin, Julius-Maximilians-Universität Würzburg, 2011. Henning Hirtzsch.

Drahtlose Strahlung verbraucht Gluthathion, das Vitamin D reduziert und Infektionen fördert

- Es gibt Hinweise darauf, dass eine niedrige **endogene Glutathionproduktion** zu Komplikationen bei COVID-19 geführt hat und dass niedrige Glutathionspiegel den Vitamin-D-Spiegel senken [58].
- Es wurde auch festgestellt, dass Vitamin D positiv mit dem Glutathionspiegel bei Typ-II-Diabetikern korreliert [59], die ein erhöhtes Risiko für COVID-19-Komplikationen haben.
- Die **Glutathion-Behandlung** von Patienten mit COVID-19-Pneumonie verhinderte erfolgreich den **Zytokinsturm bei COVID-19-Patienten** [60].
- Mehrere Studien haben eine **reduzierte Glutathionproduktion durch drahtlose Strahlenexposition** gezeigt.
- Es wurde festgestellt, dass Glutathion bei Personen, die in der **Nähe eines Mobilfunkmastens** (innerhalb von 80 m) leben, statistisch signifikant niedriger ist, die einer 100-fach höheren HF-Strahlung ausgesetzt waren, als bei Personen, die weit entfernt von einem Mobilfunkmast leben (300 m oder mehr) [37].
- Eine andere Studie ergab, dass **Radararbeiter** beim Militär, die seit über 10 Jahren mit Radar arbeiten, weniger als 50% der Glutathionwerte von Nicht-Radararbeitern aufwiesen, und dieser niedrigere Wert war statistisch signifikant [30].

5G technologies cause greatharm (grosses Leid) to human health. **Cancer** is only one of the many problems. **5G causes 720 (factorial) different diseases in human beings**, and can **kill everything** that lives except some forms of micro-organisms

Christianto V, Boyd RN, Smarandache F. Wireless Technologies (4G, 5G) are very harmful to human health and environment: a preliminary review. BAOJ Cancer Res Ther 2019; 5:25:066.

Ihre größte Chance, ein Handy (wenn Sie ein Erwachsener sind) nicht länger als 27 Minuten am Tag zu benutzen. wenn Sie das überschreiten Sie haben dann mehr als 40 Prozent Wahrscheinlichkeit, dass sich Krebs entwickelt. Für ein Kind ist diese Zeitdauer nur wenige Minuten, da Kinder aus verschiedenen Gründen 60–70 Prozent mehr Strahlung absorbieren als Erwachsene und die Strahlung rund 75 Prozent mehr Schaden im Inneren eines Kindes verursachen kann

In ihrem Land, in Deutschland werde ich garantieren und es ist eine Tatsache, - es ist veröffentlicht und experimentell bewiesen, dass in drei Generationen, wenn Sie nichts tun, nur eines von acht Ihrer Kinder - das sind die exponierten Kinder-, die die gesamte Bevölkerung ausmachen werden – **nur eines von acht Ihrer Kinder erwarten kann, dass es gesund geboren wird**. Die anderen sieben von acht werden entweder tot sein oder eine genetische Krankheit haben. Das ist veröffentlicht.

- 4.500 biologische Strukturen im Körper und im Gehirn, die von **Mikrowellen beeinflusst** werden können. Zum Beispiel gibt es eine **bestimmte Frequenz, die die Darmfunktion** zusammenbrechen lässt. Eine andere, die Sie dazu bringen kann, **Selbstmord zu begehen**, eine andere, **die Krebs bei Ihnen auslöst**.
- Mikrowellen-Kriegsführung- ist eine Tarnwaffe**, die verwendet werden kann, um das Gehirn oder einen Teil des Körpers zu verändern, ohne dass die Person weiß, dass sie mit Mikrowellen bestrahlt wird, weil man sie nicht sehen kann, man kann sie nicht riechen, man fühlt sich bloß krank.
- Tatsächlich **sind 2 der 5G Frequenzen tödliche Waffen**. Einige der 5g Frequenzen



**ZERSTÖRUNG VON MENSCH,
TIER UND NATUR
DURCH ((5G)) - STRAHLUNG**

TELEFONINTERVIEW MIT
MIKROWELLENSPEZIALIST
DR. BARRIE TROWER

Chronischer Stress durch dauerhaften Elektromog

Chronischer physiologischer Stress (derzeitiger Betashift, Schumannfrequenzen fast bei 90 HZ, vor 5 Jahren bei 45 HZ)

- untergräbt die **Homöostase**, unabhängig davon, ob sie chemisch oder elektromagnetisch induziert ist (oder beide Expositionen tragen gleichzeitig dazu bei).
- Dies kann schließlich **adaptive biologische Reaktionen** zerstören, die für die Aufrechterhaltung der Gesundheit kritisch sind. und Belastbarkeit kann beeinträchtigt werden.

1. **Elektrohypersensitivität** kann durch aufeinanderfolgende Angriffe auf die bioelektrochemische Dynamik des Menschen durch exogene elektromagnetische Felder (EMF) und RFR oder durch eine einzelne akute Exposition verursacht werden.
2. Nach der **Sensibilisierung** wird weithin berichtet, dass **weitere Expositionen eine Reaktivität gegenüber immer niedrigeren EMF / RFR-Intensitäten hervorrufen**.
3. Zu diesem Zeitpunkt können **tausendfach niedrigere Werte nachteilige Auswirkungen auf die Gesundheit** der elektroempfindlichen Person haben. Die **Elektrohypersensitivität** (EHS) kann ein Vorläufer der **multiplen chemischen Sensitivität (MCS)** sein oder mit dieser in Verbindung stehen, basierend auf Berichten von Personen, die zuerst **eine Erkrankung** entwickeln und dann die andere schnell entwickeln.
4. Die Ähnlichkeit chemischer Biomarker wird unter beiden Bedingungen beobachtet [**Histamine, Marker für oxidativen Stress, Autoantikörper, Hitzeschockprotein (HSP), Melatoninmarker und Leckage der Blut-Hirn-Schranke**].
5. **Die gepulste Mikrowellenaktivierung von spannungsgesteuerten Calciumkanälen (VGCCs) mit geringer Intensität wird als Wirkmechanismus für nichtthermische Gesundheitseffekte postuliert.**

Aus: *Rev Environ Health*. 2015;30(4):293-303. doi: 10.1515/reveh-2015-0007.

The implications of non-linear biological oscillations on human electrophysiology for electrohypersensitivity (EHS) and multiple chemical sensitivity (MCS).
Sage C.

A



Elektro-
hypersensitivität

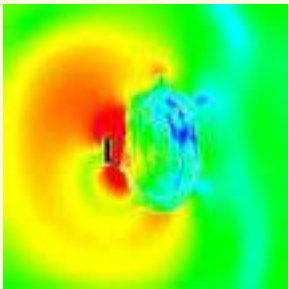
B



multiple chemische
Sensitivität (MCS)

Figure 1. Examples of skin lesions observed on the hand of an EHS-bearing patient (A) and of an EHS/MCS-bearing patient (B). (Photographs are issued from the database).

Electromagnetic Sensitivity Syndrome (ESS)



Electromagnetic hypersensitivity (EHS, microwave syndrome) – Review of mechanisms

Yael Stein (MD)^{a,b,*}, Iris G. Udasin (MD)^c

^a Pain Clinic, Department of Anesthesiology and Critical Care Medicine, Hebrew University-Hadassah Medical Center, Jerusalem, Israel

^b Electromagnetic Radiation Clinic, Hebrew University-Hadassah Medical Center, Jerusalem, Israel

^c ECHSI Clinical Center, Rutgers University- School of Public Health, NJ, USA



Belpomme and Irigaray have compiled a database of more than 2000 self-reported cases of EHS and/or Multiple Chemical Sensitivity (MCS) patients. The authors list the symptoms reported by their patients: *“headache, tinnitus, hyperacusis, dizziness, balance disorder, superficial and/or deep sensibility abnormalities, fibromyalgia, vegetative nerve dysfunction, and reduced cognitive capability, including immediate memory loss, attention–concentration deficiency, and eventually tempo-spatial confusion. These symptoms were associated with chronic insomnia, fatigue, and depressive tendency, in addition to emotional lability and sometimes irritability.”*

Exosomen sind Vesikel in Nanogröße, die bioaktive **Ladungen wie Lipide, Wachstumsfaktoren und deren Rezeptoren, Proteasen, Signalmoleküle, mRNA und nicht-kodierende RNA** abgeben können, die von einer Zelle (Ursprung) an Empfängerzellen freigesetzt werden.

Von **Krebs stammende Exosomen sind wichtige Akteure bei der Bildung der Tumormikroumgebung**, indem sie

- (a) das Entweichen von Tumorzellen aus der Immunitätsprüfung ermöglichen und die Entzündungsreaktion verstärken,
- (b) die Differenzierung von Fibroblasten und mesenchymalen Zellen in Myofibroblasten beeinflussen,
- (c) das Angiogen auslösen und
- (d) **Verstärkung der metastatischen Entwicklung des Tumors durch Förderung der Transformation von Epithel zu Mesenchym und durch Vorbereitung der Tumornische an der neuen anatomischen Stelle.** Daher Verständnis der Exosomen-vermittelten Signalübertragung zwischen Tumor und ihrer Mikroumgebung,
- (e) Die Identifizierung von Faktoren, die eine solche Kommunikation beeinflussen, scheint für eine bessere Diagnose und Behandlung von malignen Erkrankungen beim Menschen von entscheidender Bedeutung zu sein.
- (f) Leider ist die Rolle **der ionisierenden Strahlung als modulierender Faktor** der Exosomensekretion noch wenig bekannt. Die Auswirkungen von Strahlung auf die Exosomen-vermittelte Signalübertragung wurden in sehr wenigen Fällen untersucht/*n-vitro*- Modelle.
- (g) Die verfügbaren Berichte zeigten jedoch, **dass die Strahlung die Zusammensetzung und Sekretionsrate der aus Spenderzellen freigesetzten Exosomen sowie die Funktionen der Empfängerzellen, die Exosomen aus bestrahlten Zellen erhalten, beeinflusste.** Daher zeigten diese frühen Beobachtungen deutlich die Bedeutung der beschriebenen Phänomene für Mechanismen, die an der Reaktion von Krebszellen auf ionisierende Strahlung beteiligt sind, auch im Zusammenhang mit der Krebsbestrahlung.

Protein Expr Lett. 2016 Jul; 23 (7): 656-663.
Online veröffentlicht 2016 Jul.
DOI: 10.21747/0928000523060100427105130

PMCID: PMC5029112
PMID: 2717741

Der Einfluss ionisierender Strahlung auf die Zusammensetzung, Sekretion und interzelluläre Kommunikation von Exosomen

Karol Jelecek,¹ Ewa Bielek,¹ und Monika Potrzebka,^{1,*}

Anm.

- **5G** löst offenbar nicht nur Tumorbildung aus sondern eine bisher nicht bekannte **Micrometastasierung über körpereigene Exosomen!**
- Die durch Strahlung bedingte **Überexpression von p53** führt zu einer ungewöhnlich hohen Rate strahleninduzierter Exosomenfreisetzung und **Metastasierung!**

RF-EMF und Furine

Regressionsgleichungen sagten voraus, dass die Zahl der Fälle pro Million um 46 % und die Zahl der Todesfälle pro Million um 57 % zurückgehen würde, wenn es in den **mmW-Bezirken kein mmW gäbe.**

COVID-19 Attributed Cases and Deaths are Statistically Higher in States and Counties with 5th Generation Millimeter Wave Wireless Telecommunications in the United States

“RF exposure also affects the structure of hemoglobin, reducing its ability to bind to oxygen. After just two hours of exposure to cell phone radiation, human hemoglobin structure changed, decreasing its affinity to bind to oxygen in the lungs between 11-12% which reduces the amount of oxygen that would be carried from the lungs to the body’s tissues, contributing to hypoxia. This is important because SARS CoV-2’s ability to infect cells is enhanced when blood oxygen levels decline. **The furin cleavage sequence in the virus activates increased ACE2 receptor attack and cellular invasion in low oxygen environments.**”

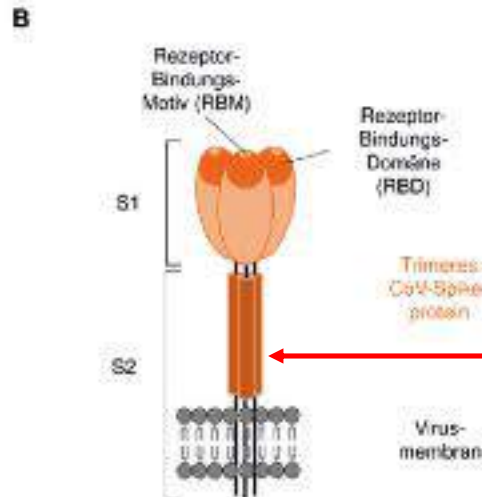
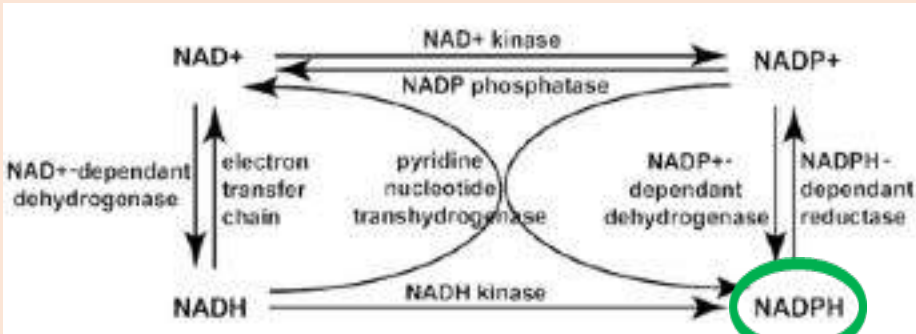


Abb. 3. Struktur und funktionelle Domänen des SARS-CoV-2-Spikeproteins(A) Das SARS-CoV-2-Spike besteht aus einer S1- und einer S2-Region, wobei S1 die ist

Die ganze Wahrheit

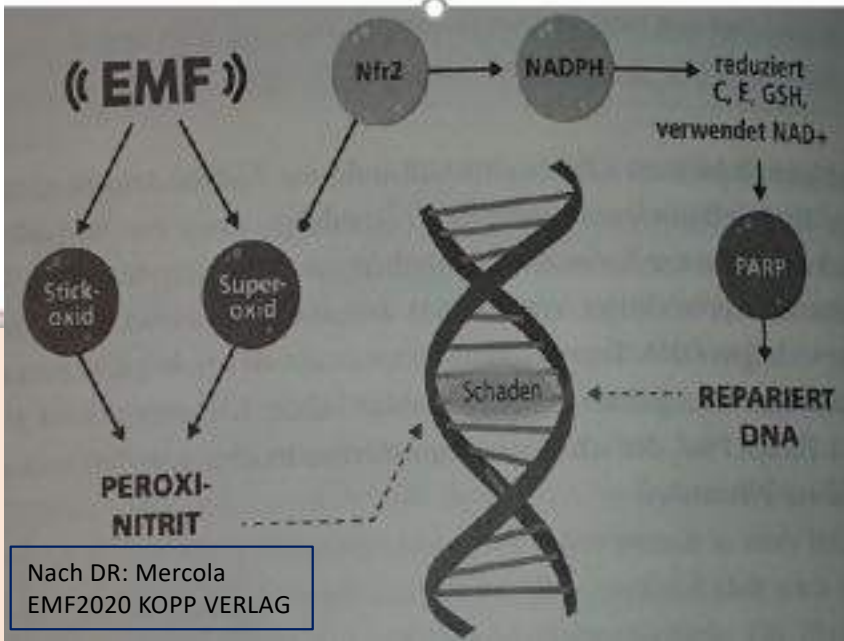
- Die **HF-Exposition** beeinträchtigt auch
- die Struktur des **Hämoglobins** und verringert seine Fähigkeit, **Sauerstoff zu binden**. Nach nur **zwei Stunden** Exposition gegenüber Handystrahlung veränderte sich die Struktur des menschlichen Hämoglobins, wodurch sich seine **Affinität zur Bindung von Sauerstoff in der Lunge um 11-12 %** verringerte, was zu einer Verringerung der Sauerstoffmenge führte, die von der Lunge zu den Körpergeweben transportiert wurde, was zu einer Hypoxie beitrug.
- Dies ist wichtig, da die Fähigkeit **VON SARS CoV-2, Zellen zu infizieren, bei sinkendem Sauerstoffgehalt im Blut erhöht wird. Die Furin-Spaltungssequenz im Virus** aktiviert einen verstärkten Angriff auf den **ACE2-Rezeptor und eine Zellinvasion in sauerstoffarmen Umgebungen.**



Umwandlungs- und Regenerationsweg von Coenzym NAD⁺ / NADH und NADP⁺ / NADPH reaktiviert, die durch NAD⁺-Kinase, NADP-Phosphatase und NADH-Kinase katalysiert werden, sind für die Umwandlung zwischen NAD (H) und NADP (H) verantwortlich. Reaktionen, die durch NAD⁺-abhängige Dehydrogenasen und Elektronentransportkette katalysiert werden, sind für die Regeneration von NAD (H) verantwortlich, während Reaktionen durch NADP⁺-abhängige Dehydrogenasen und NADPH-abhängige Reduktase für die Regeneration von NADP (H) verantwortlich sind. Die durch Pyridinnucleotidtranshydrogenase vermittelte Reaktion überträgt die Hydrid von NADH auf NADP (bei gleichzeitiger Produktion von NADPH und NAD).



NADPH IST DIE Batterie u Steckdose unserer Zellen u reduziert die durch ELEKTROSMOG selber oxidierten Antioxidantien (GSSH, Vit C, vit E)



Nach DR: Mercola EMF2020 KOPP VERLAG

Glutathion (GSH) – Glutathiondisulfidreduktase

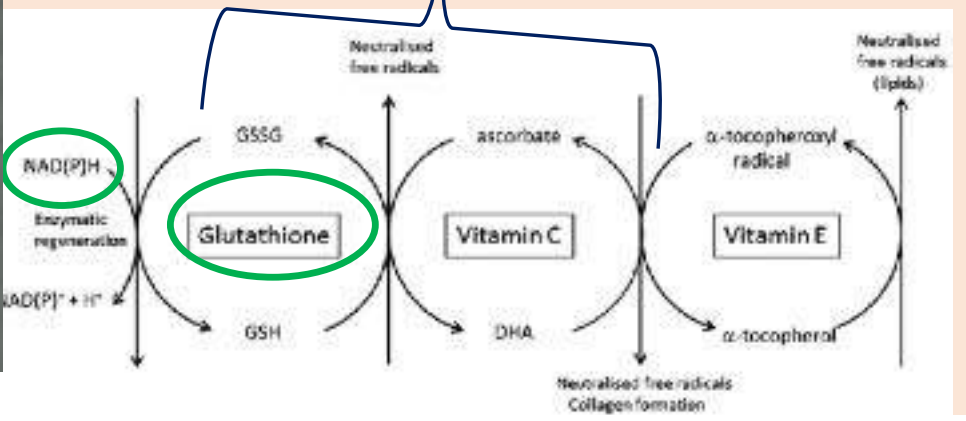
NADPH REGULIERT GLUTATHATHON



Glutathiondisulfidreduktase: regeneriert oxidiertes Glutathion (=GSSG; Glutathiondisulfid) mit NADPH zu 2 GSH

NADPH stammt aus dem Pentosephosphatweg (Schlüsselenzym = Glc-6-P-Dehydrogenase) und wirkt als Reduktionsmittel.
Bei Glc-6-P-Dehydrogenase-Mangel (Favismus) → Mangel an NADPH → mangelnde Reduktion von GSSG zu GSH → Mangel an GSH → Fehlender Oxidationsschutz → Hämolytische Anämie, Icterus
Ausgelöst durch bestimmte Medikamente (z.B. ASS) oder Lebensmittel (Fava-Bohnen)

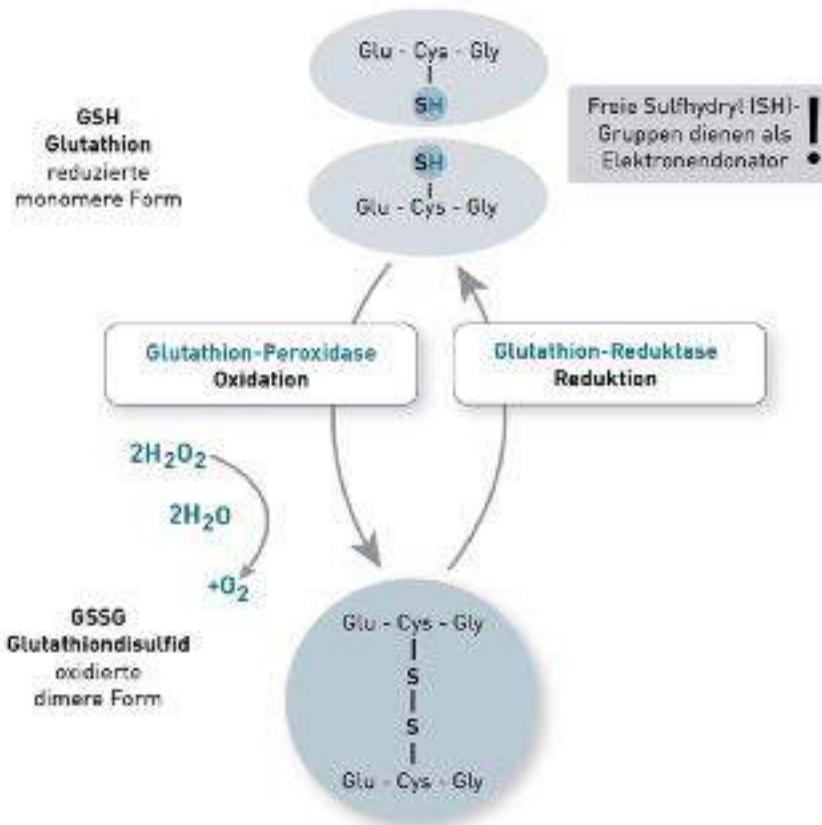
GLUTATHATHON REGULIERT VIT C



1.

2.

3.



Glutathion (GSH) wirkt antioxidativ

Glutathion (GSH) ist ein schwefelhaltiges Tripeptid aus **Glutaminsäure, Glycin und Cystein**. Es wird in der Leber gebildet und ist ein bedeutendes wasserlösliches zelluläres Antioxidanz und ein wichtiger Enzymkofaktor. GSH ist in jeder Zelle des Körpers vorhanden. Die höchsten Konzentrationen finden sich in der **Leber** (wichtigstes Organ für die Entgiftung) und in **Erythrozyten** sowie in weißen Blutzellen (**Immunzellen**). Glutathion liegt in einer **reduzierten (GSH)** und einer **oxidierten Form (GSSG) vor**, deren Mengenverhältnis zueinander den Redoxstatus innerhalb der Zelle bestimmt. Im Normalfall wird ein **Verhältnis von 9:1 (GSH:GSSG)** nicht unterschritten. Antioxidativ wirkt nur das GSH. Durch toxische Einflüsse wird das Gleichgewicht zum oxidierten Status (GSSG) verschoben. Die »Wiedergewinnung« des GSSG zum GSH wird durch die **Glutathion-Reduktase** katalysiert.

Glutathion (GSH) eliminiert Radikale

- Glutathion ist an vielen Stoffwechselprozessen beteiligt. Es schützt die Tertiärstruktur von Proteinen, fördert den Transport von Aminosäuren durch die Zellmembranen und spielt eine herausragende Rolle im **antioxidativen** Schutzsystem. Als Ko-Substrat der Glutathion-Peroxidase entgiftet es die im Körper unweigerlich auftretenden und bei **oxidativer Belastung verstärkt gebildeten Peroxide**.
- Das Glutathionsystem stellt ein »**Fängersystem**« dar, welches die ständig und in jeder Zelle gebildeten **Wasserstoffperoxide und Lipidperoxide unter Bildung von Wasser und Sauerstoff** metabolisiert. Es **stellt den entscheidenden Schutz der Zellund Mitochondrienmembranen vor der Schädigung durch reaktive Sauerstoffspezies (oxidativer Stress) dar**. Weiterhin ist Glutathion daran beteiligt,
- **oxidiertes und damit wirkungsloses Vitamin C und E** wieder in die reduzierte Wirkform zu überführen. Es trägt auch dazu bei, dass Immunzellen **Leukotriene** bilden können, welche u. a. bei Infektionen entstehen und die Funktionen der Leukozyten im Ablauf von Immunabwehrreaktionen steuern.

<https://www.imd-berlin.de/fachinformationen/diagnostikinformationen/glutathion-gsh-intrazellulaerer-nachweis-in-immunzellen.html>

8. 1 Glutathion der Retter

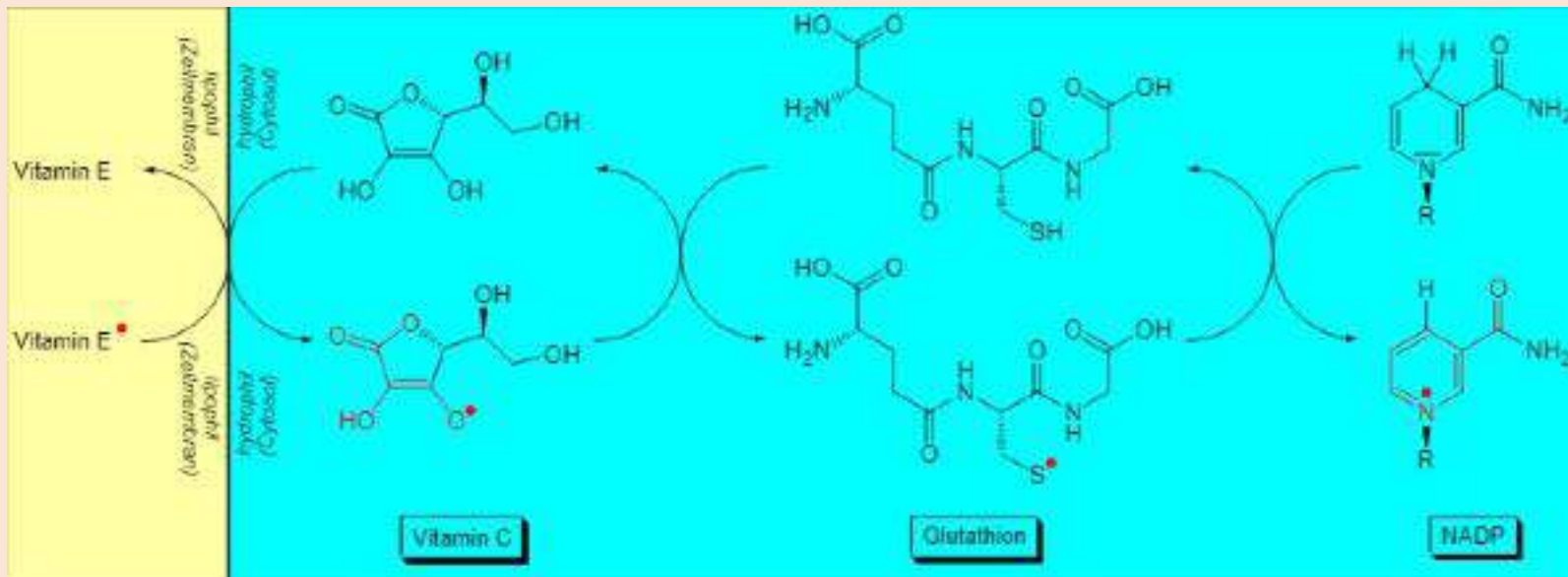
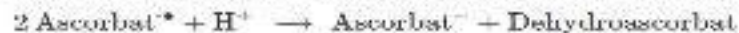


Abb. 2 | Vereinfachter schematischer Radikaltransfer im Cytosol
© 1989, VCH

Der gesamte Reaktionsverlauf (Abb. 2) mit ausgeglichener Elektronenbilanz ist etwas komplizierter:

1) Zwei Ascorbat Radikale reagieren in einer Disproportionierungsreaktion zu Ascorbat und Dehydroascorbat:



2) Das freie Glutathion-Radikal ist lediglich formalistisch, es "stabilisiert" sich über eine Dimerisierung zum Glutathion-disulfid (GSSG).

3) Für die Reduktion des GSSG bekommen die 2 GSH ihre Wasserstoff Atome vom FADH₂/FAD System, der prosthetischen Gruppe der Glutathion disulfid Reduktase:



4) Die Regeneration des FAD zum FADH₂ erfolgt über das NADPH + H⁺/NADP⁺ System:



Eliminiert man das FADH₂/FAD-System und aus der Gleichung, erhält man:

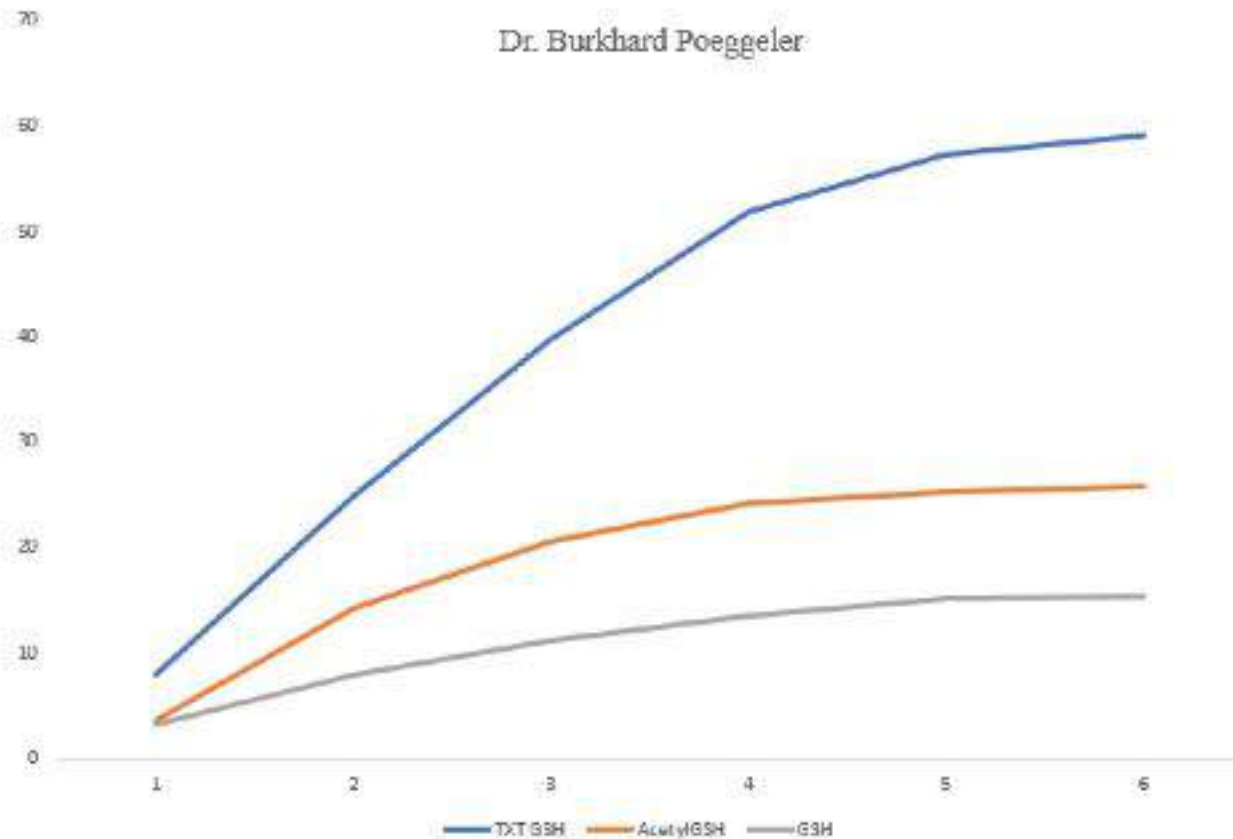


Innerhalb des antioxidativen Schutzsystems ist **Glutathion** ein wichtiges Kettenglied. Es übernimmt das Radikal vom **Vitamin C** und übergibt es anschließend an die **Glutathion-disulfid-Reduktase**. Der erste Schritt recycelt das **Vitamin C**, der zweite das **Glutathion** selbst. Das in der Glutathion-disulfid-Reduktase aktive Flavin-Adenin-Dinucleotid (FAD) wird durch Übertragung des Radikals auf das Nicotinamid-Adenin-Dinucleotid-Phosphat (**NADP**) recycelt.

Gluthathion, extrem erhoehete Bioverfuegbarkeit durch die TXT-Tiamattechnologie

Anstieg der intrazellulären Glutathionkonzentrationen in % pro Monat

Dr. Burkhard Poeggeler

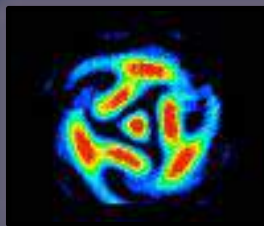


Alle insbesondere amerikanische Untersuchungen haben gezeigt, dass **Gluthathion**, selbst in Einnahme höchster Mengen **intrazellulär** nicht annähernd so aufgenommen werden konnte wie in der Grafik gezeigt, da die orale Aufnahme sonst kaum die Möglichkeit hat über das **glymphatische** System und den **Zwischenzell-** Raum eine solche enorme Bioverfügbarkeit zu entwickeln wie dies durch die **TXT Tiamat** Technologie gezeigt werden konnte.

1. Die unglaubliche **Speicherfähigkeit** von hexagonalem Wasser durch **Reis/Erbseprotein** (Trimax /Produkt 3 der Tiamatechnologie) um das 12- fache ermöglicht die Verhinderung des Schredderns von Kollagenen durch Elektrosmog und 5 G !

2. Zudem ermöglicht es die Bildung eines für unser Leben entscheidenden **Coincidence Convergence Clusters**, also einer **Kohärenz aller Systeme** zur Kohärenzkopplung zwischen kosmischen Frequenzen, Schumannwellen und inneren **Kohärenzgeneratoren** des Körpers (Wasser , Mitochondrien, Microtubuli, Kollagene, Enzyme, DNA usw. (wird extrem durch E- Smog zerstört)

3. Die **Quantenverschränkung** Erfolgt sofort und eine frequenzmodulierte **In-Formation** der Biomatrix erneuert das **interstitielle Bindegewebe**



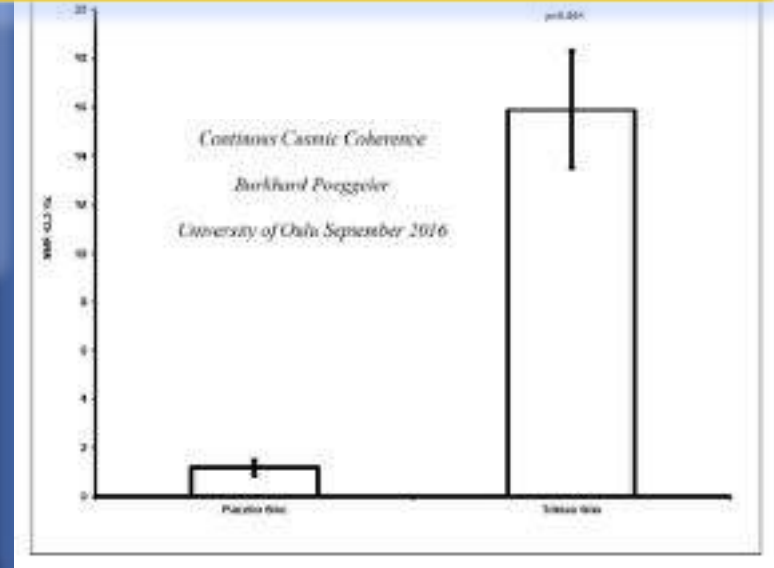
4. sollte gemäss der Erdschwingung . Anm. der Kammerton alle Organsysteme auf 432 Hz eingestellt werden, was mit Reisprotein gelingt (liegt derzeit bei unphysiologischen Werten von 440 Hz, purer Stress für die Koordination aller Systeme und **Beta- Shift!**

Besondere biochemische und biophysikalisch-kosmische Kohärenzwirkungen von **Reis/Erbseprotein** Kollagenhydrolysat /Tiamat-technik **TRIMAX –Produkt 3**

Nach nur 6 Monaten Anwendung führt Trimax zu einer 12 fachen Erhöhung des Gehalts an hexagonalem Wasser im Bindegewebe (N=12)

Kann also 12 mal stärker **Elektrosmog** neutralisieren

Die Kollagen- Wasser- Matrix ist seitens der **Zugstärke 300 x stärker** als die muskulären Aktin- myosinfilamente!



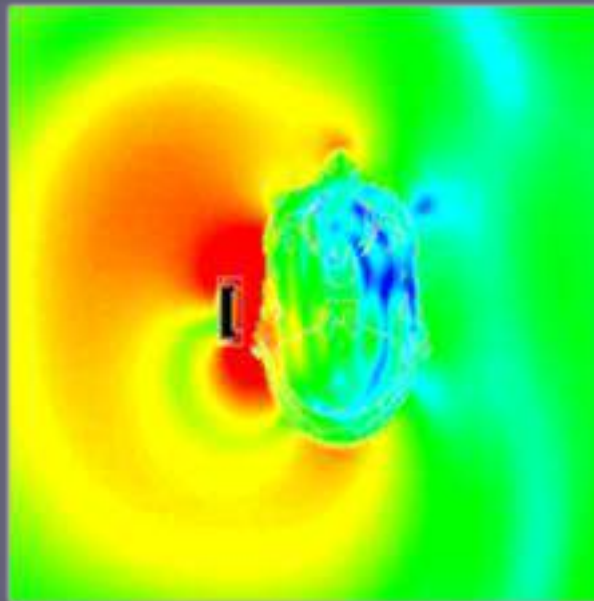
Hexagonales Wasser hat in der Kollagen-Wasser-Biomatrix des Bindegewebes die NMR Resonanz von 42.3 Hz



Nach Angaben des chinesischen Quantencomputers SINIRA
Oszilliert die Hintergrundstrahlung des schwarzen Loches der
Milchstraße mit der irdischen Schumannfrequenz die unser
Gehirn und sämtliche Rhythmen im Körper taktet. Die von W.

9. Kosmische
Frequenzen steuern
unser Leben!

The
brain wave
Generator

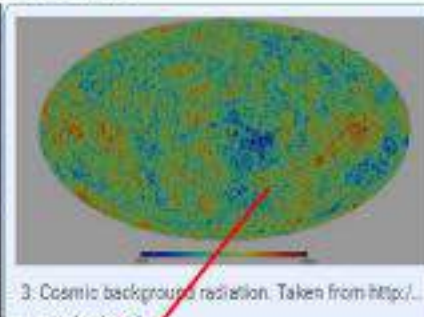
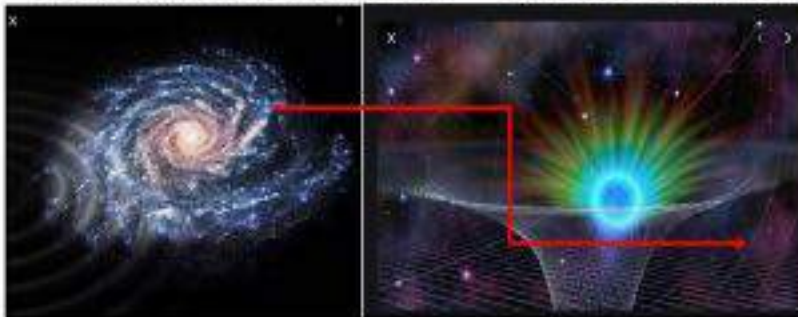


Die Verschränkung (Signaling coherence pulsation) ist bereits ursprünglich im Kosmos angelegt:

Unsere Milchstraße mit riesigem

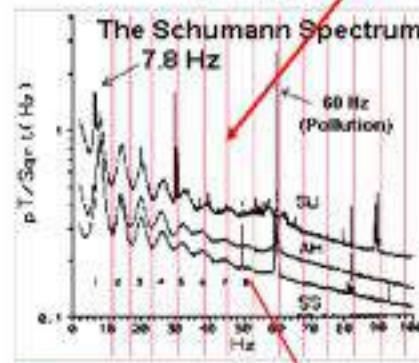
Schwarzes Loch in der Milchstraße

enthält Microwellenstrahlung



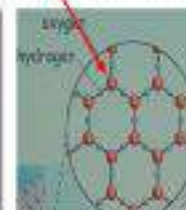
Temperaturschwankungen in der Hintergrundstrahlung, aufgenommen durch den Satelliten COBE (Mission 1989–1993), **Mikrowellenstrahlung des Urknalls**, nach Angaben der Universität Oulu in Finnland, entsteht diese allem aus einem großen schwarzen Loch inmitten unseres Sonnensystems, Größe ca. 30.000 Sonnen, diese Wellen werden interpoliert und verrechnet mit den von Schumann gemessenen terrestrischen Schumannwellen

1. Es besteht einerseits ein kosmisches Hintergrundfeld aus Hydrogengasfäden die sich zwischen den Galaxien aufspannen und dies entspricht dem lange theoretisierten kosmischen Web. (New Scientist 4.10.19)
2. Andererseits ist die Quantenverschränkung, die nach Angaben von Giesing /CERN, mit 100.000-facher Lichtgeschwindigkeit erfolgt Instantan vorhanden. Unsere komplette Taktung, die im wesentlichen durch Verrechnung und Überlagerung der kosmischen Hintergrundstrahlung mit den Schumannwellen durch Übertragung auf die verschiedenen Sauerstoffkonformationen unseres hexagonalen Wassers nach Pollack vor allem über die Zirbeldrüse und des Herzmagnetfeld erfolgt bestimmt im wesentlichen unser Leben! Die sogenannte enzymatische und genetische Resonanz Induktion dieses hexagonalen Wassers, abhängig und stimuliert durch das Netz der kosmische Hintergrundstrahlung und Schumannwellen ist entscheidend für unsere Genetik und die Enzymbildung.



Nach Angaben des chinesischen Quantencomputers SINIRA Oszilliert die Hintergrundstrahlung des schwarzen Loches der Milchstraße mit der irdischen Schumannfrequenz die unser Gehirn und sämtliche Rhythmen im Körper taktet. Die von W. O. Schumann ermittelte Frequenz wird heute als „biologisches Normal“ bezeichnet, da sich durch Messungen an freiwilligen Versuchspersonen gezeigt hat, dass der Mensch diese Signale braucht. Dies wurde bis heute durch mehrere unabhängige Wissenschaftler bestätigt.

Einer davon ist **Michael A. Persinger** der im Auftrag der NASA handelte. Während der ersten bemannten Raumflüge stellten sich erhebliche physiologische Probleme bei den Astronauten ein, und dies konnte nur durch die Installation von Schumannwellen - Generatoren behoben werden. (siehe dazu in "The effect of pulsating magnetic fields upon the behavior and gross physiological changes of the albino rat Undergraduate thesis" von Persinger, M. A).



Hexagonales Wasser

die Geamtsteuerung des Menscher erfolgt über ein

Coincidence
Convergence
Clusters,

also einer Kohärenz aller Systeme zur Kohärenzkopplung zwischen kosmischen Frequenzen, Schumannwellen und inneren Kohärenzgeneratoren des Körpers (Wasser , Mitochondrien, Microtubuli, Kollagene, Enzyme, DNA usw. (wird extrem durch E- Smog zerstört)



Anschluss zu kosmischem
Entrainment und Korrektur!

**NORMALER
WEISE**

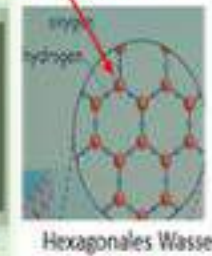
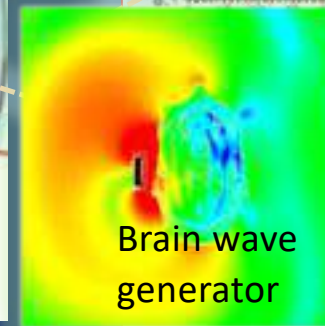
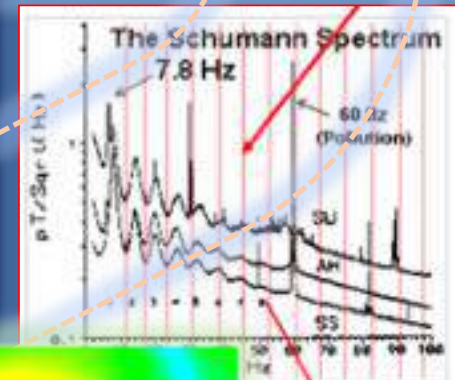


Beseelter
Mensch

Kosysrevspiegel
verbindet über
Phantom DNA
mit
Seelenanteilen,
Rückverbindung
zum Kosmos

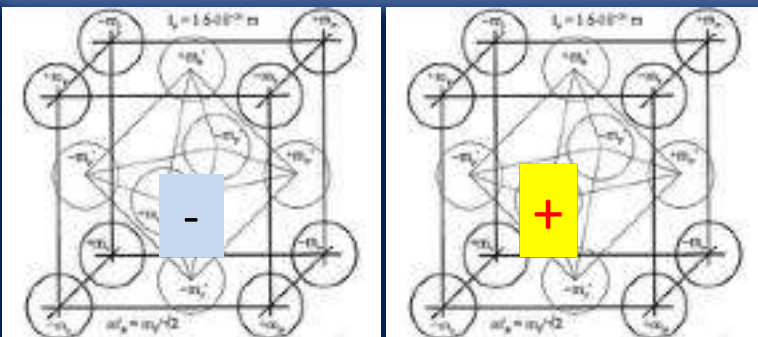
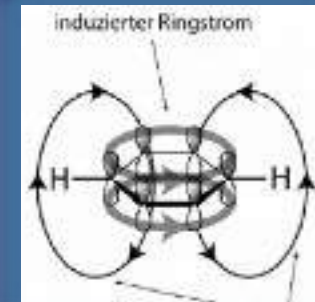


3: Cosmic background radiation. Taken from <http://...researchgate.net>

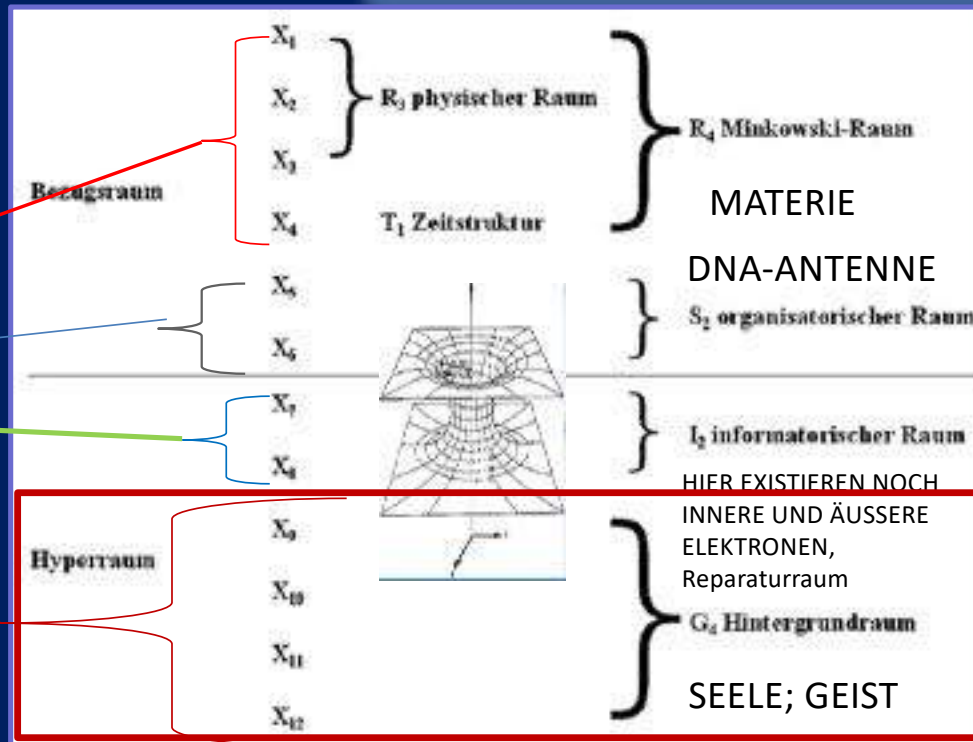


9.1 Gesamtsteuerung des Menschen, Schalenmodell nach Burkhard Heim

Heim arbeitete an zwei großen Problemen:
 1. an Gravitation und Feldantrieben und
 2. an einer einheitlichen Theorie der Elementarteilchen.

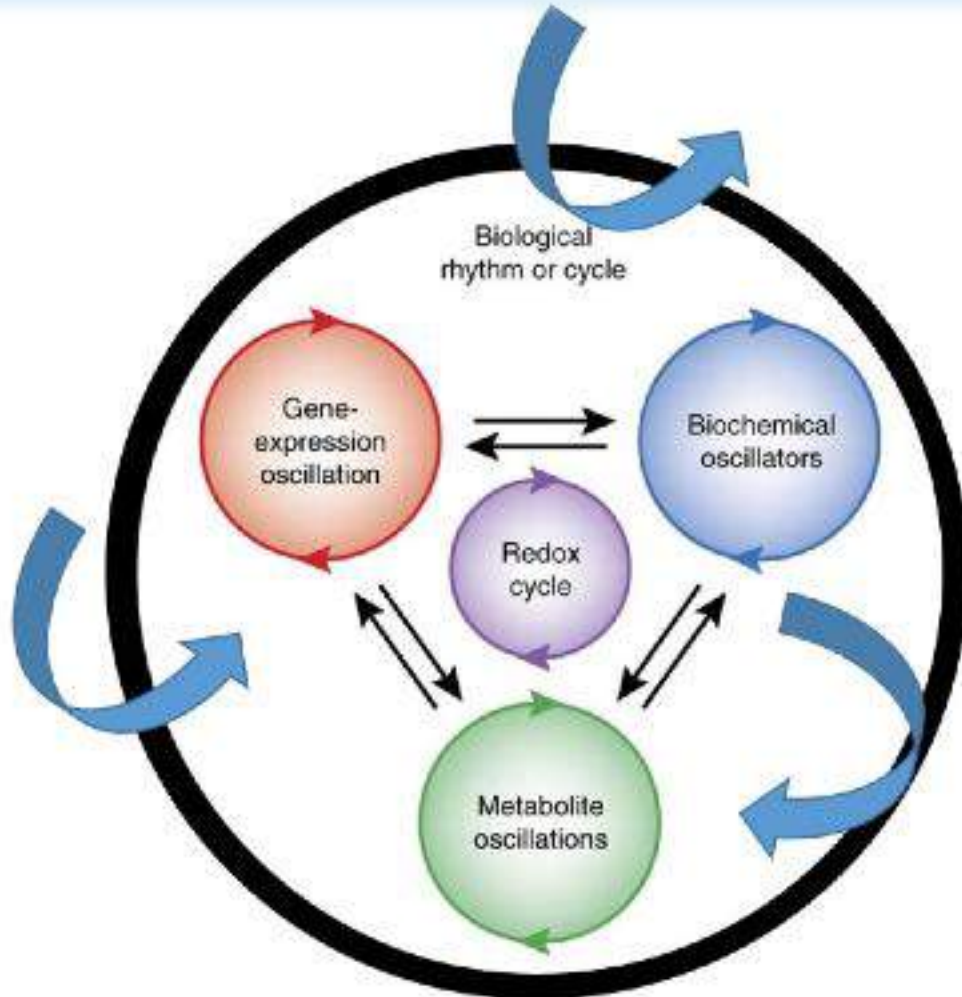


VON GARIAJEV beschriebene Phantom-DNA, als Bindeglied zwischen körperlicher DNA und Schwingungsinformationen des Kosmos



Alle Werte wurden bereits 1985 in der Vorbereitung des Teilchenbeschleunigers von CERNE auf 15 Stellen hinter dem Komma berechnet . Ständiger Austausch der Ist und Soll -wertes des Körpers durch die Antennenstruktur der DNA, ständiger 99 % Austausch zwischen Materieraum und Informationsraum zur Korrektur aller Zellen

9.2 Zirkadiane und andere zeitliche biologische Rhythmen **Wa** und die **vernichtende Wirkung von Elektrosmoke**



hängen von diesen schwankenden elektromagnetischen Eingaben ab,

- um die **Genexpression**,
- die **Zellkommunikation** und den Stoffwechsel,
- die **neuronale** Entwicklung,
- die **Gehirnwellenaktivität**,
- die **neuronale Synchronität**,
- eine Vielfalt von **Immunfunktionen**,
- Schlaf- und Wachzyklen,
- Verhalten und Kognition zu steuern.

Oszillation ist ebenfalls ein universelles Phänomen, und biologische Systeme von **Herz, Gehirn und Darm** sind für ihre Synchronität von den kooperativen Aktionen von Zellen abhängig, die nach den **Prinzipien nichtlinearer, gekoppelter biologischer Oszillationen funktionieren**.

Sie sind abhängig von **exquisit zeitgesteuerten Hinweisen aus der Umgebung** auf verschwindend kleinen Ebenen.

Der 'Informationsgehalt' der elektromagnetischen Signalübertragung der Erde ist wie eine Reihe von Betriebsanweisungen für das menschliche Lebenben.

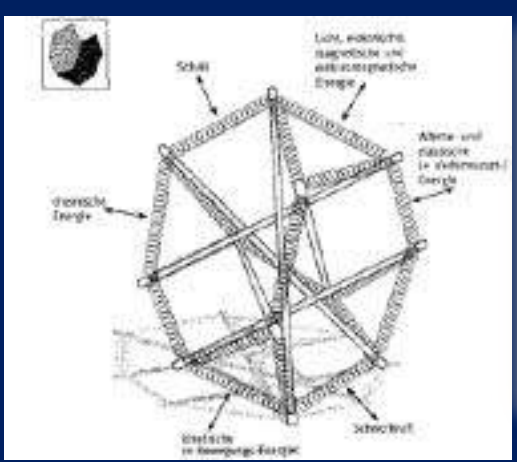
- Diese Umgebungshinweise sind dynamisch **und beinhalten außerordentlich niedrige Eingaben (Intensitäten) kritischer Frequenzen**, mit denen sich alles Leben auf der Erde entwickelt hat.
- Zirkadiane und andere zeitliche biologische Rhythmen hängen von diesen schwankenden elektromagnetischen Eingaben ab, um die **Genexpression, die Zellkommunikation und den Stoffwechsel, die neuronale Entwicklung, die Gehirnwellenaktivität, die neuronale Synchronität, eine Vielfalt von Immunfunktionen, Schlaf- und Wachzyklen, Verhalten und Kognition zu steuern.**
- **Oszillation** ist ebenfalls ein universelles Phänomen, und **biologische Systeme** von **Herz, Gehirn und Darm** sind für ihre Synchronität von den kooperativen Aktionen von Zellen abhängig, die nach den Prinzipien nichtlinearer, gekoppelter biologischer Oszillationen funktionieren. Sie sind abhängig von exquisit zeitgesteuerten Hinweisen aus der Umgebung auf verschwindend kleinen Ebenen.

-
- **Ein veränderter Informationsgehalt von Umweltmerkmalen (ELEKTROSMOG)** kann natürliche elektromagnetische Signale überfluten und zu einer **Fehlregulation** normaler biologischer Rhythmen führen, die Wachstums-, Entwicklungs-, Stoffwechsel- und Reparaturmechanismen steuern.

- **Gepulste elektromagnetische Felder (PEMF) und Hochfrequenzstrahlung (RFR) können die verheerenden biologischen Auswirkungen haben**, die Homöostase zu stören und normale biologische Rhythmen zu desynchronisieren, die die **Gesundheit** erhalten.

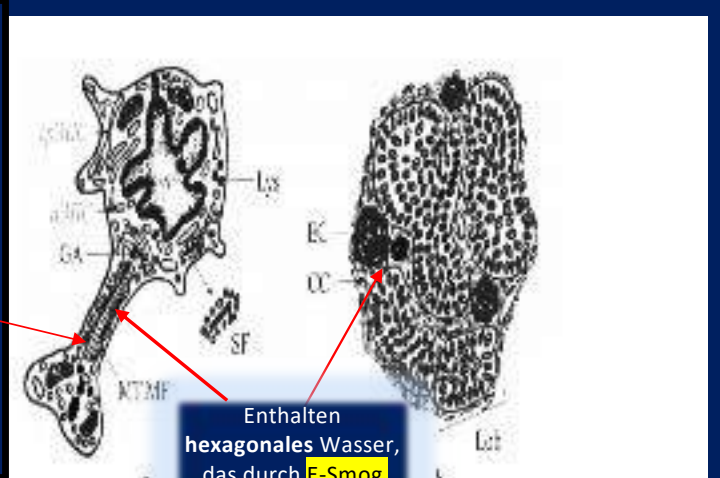
- **Nichtlineare (SCIO, NILISA, TIMEWAVER, DISCONDER,) biologische Schwingungen mit schwachem Feld** steuern die **Elektrophysiologie** des Körpers,
- organisieren die **Zell- und Gewebefunktionen** und erhalten die **Organsysteme** aufrecht.

Künstliche bioelektrische Interferenzen können falsche Informationen (störende Signalübertragung) liefern, die ausreichen, um kritische Schrittmacherzellen (von Herz, Darm und Gehirn) zu beeinflussen und die Funktionen dieser wichtigen Zellen zu **desynchronisieren**, die die Funktion koordinieren und die Gesundheit erhalten.



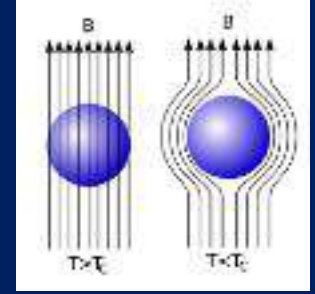
Die Zirbeldrüse hat piezoelektrische Eigenschaften und ist ein Halbleitersystem

Mikrotubuli sind Quantenprozessoren zum Kosmos



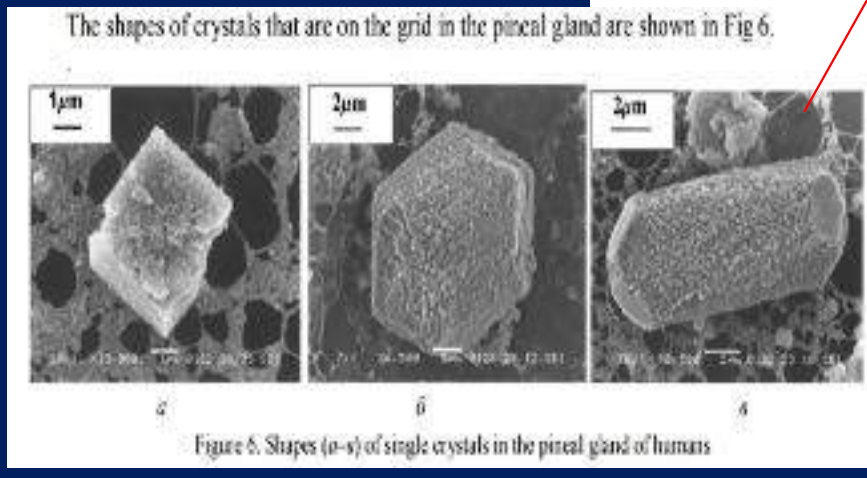
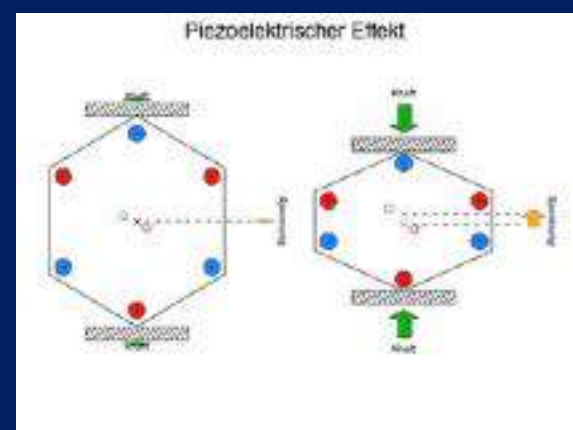
Enthalten hexagonales Wasser, das durch E-Smog zerstört wird

Fig. 5. Structure of a pineal cell (a) and epiphysis (b). GA - Golgi apparatus; Lys - lysosomes; MT, MF - microtubules and microfilaments; SF - synaptic fibers (optic nerve thin fibers synapse on the retina ganglion cell); b - CC - connective septa; Lab - lobules; EC - epiphysal concretions (crystals)



Alle Supraleiter zeigen einen vollständigen Meißner-Ochsenfeld-Effekt, solange die Temperatur nicht überschreitet und das von außen angelegte Magnetfeld unterhalb einer kritischen Feldstärke bleibt. Wegen der vollständigen Feldverdrängung spricht man auch von perfekten Diamagneten.

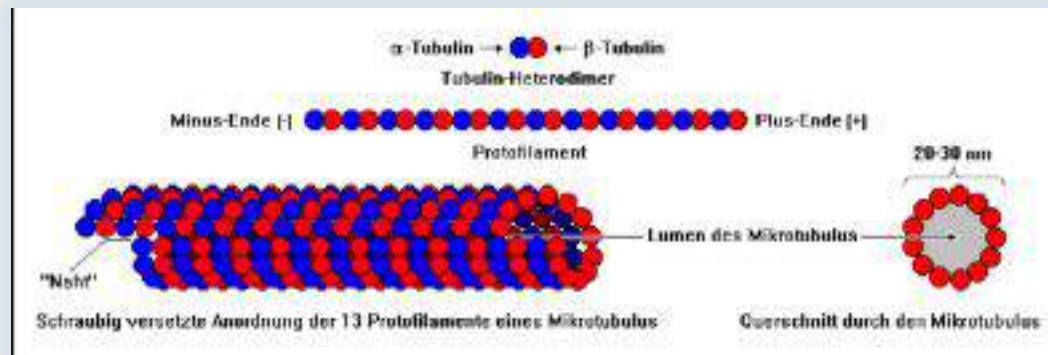
Als elastisches Tensegrity-Halbleiter-Kontinuum kann lebendes Gewebe sehr leicht jede Form von Energie absorbieren und von einem Gebiet in ein anderes leiten. Nach Oschmann 2008



EPIPHYSIS (PINEAL GLAND)
Stained with haematoxylin and eosin

- 1 - pinealocytes
- 2 - pineal sand (salts of calcium, magnesium and silicon)

Die gewaltige Rolle der mit hexagonalem Wasser als Informationsmedium aufgefüllten Microtubuli als Quantenprozessoren und zum Denken



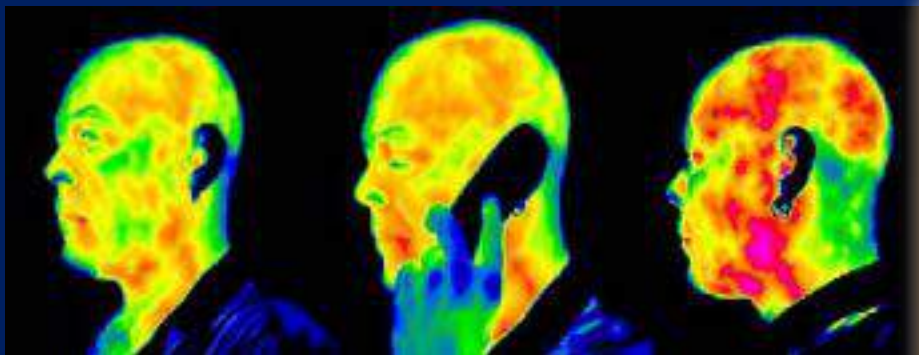
- Zu bemerken ist, dass gerade **Elektro Smoke** mit einem massiven Überschuss an Calciumionen die **Depolarisation**, das heißt die **Zerstörung der Mikro Tubuli insbesondere in der Zirbeldrüse** vorantreibt
- Zudem wirken Microtubuli Prozessoren vor allem bei circa **260 - 280 Nanometer also UV C Licht**, (lebenswichtiger **Tryptophanschalter** zur Produktion von Melatonin und Serotonin sowie DMT) genau in dem Bereich in dem **Graphenoxid** angeschaltet wird
- Die Mikro Tubuli enthalten **hexagonales Wasser** um Informationen aufnehmen zu können und Energie übertragen zu können, die sie sich zusammen mit den Mitochondrien teilen, dieses wird massiv zerstört durch die **2,4 GHz Frequenz bereits von 4 g und 5 g**
- So ist auch erklärbar warum Konzentrations- und Merkfähigkeits- Störungen insbesondere in Verbindung mit Elektrosmog nun aber auch mit **Graphenoxid kationischen Peptiden und Darpa Geelen** durch Impfungen auftreten

Stress und Zelluntergang durch den Betashift der Schumannresonanz in höhere Frequenzbereiche

Problematik, **Licht** (EMF), **Schall** (Vibrationen) und **Wärme** (Bewegungen) steuern unsere **Solitonen-, Phononen- und Photonenfelder**, werden aber durch ELF's (Sattelliten, **Funkstrahlung, Chemtrials etc.) verändert**

Größte Problematik ist der starke **Beta Shift**. Das ist Belastung und Stress pur, damit vorzeitiges Altern. Die Schumann Resonanz steigt heute tagsüber auf **bis zu 90 Hz** statt wie bisher 45 Hz, dabei kommt es zur Kopplung des EMGs über das EKG auf das EEG. :

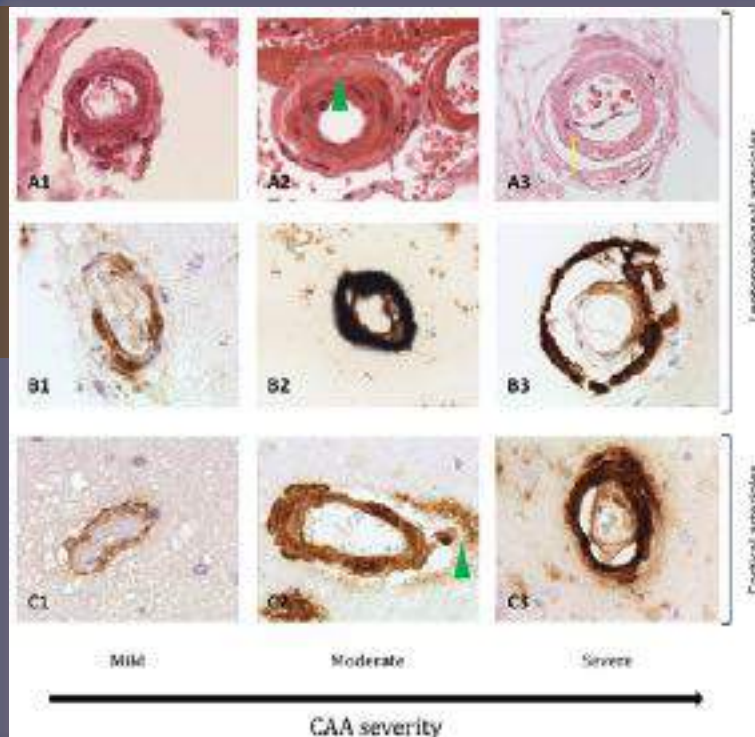
- **Komplette Zerstörung der globuläre Kollagenantenne**, zurück bleiben **toxische degenerierte Kollagenfragmente**, die sich **überultra- und Hyperschall** vermehren und wie Streubomben überall im Gewebe, v.a. Gehirn, Hut und Lunge wirken
- **Stoffwechselsteuerung entgleist** mit interner **Desynchronisierung, u. Degeneration der lebenden Biomatrix**. Damit steht das **Kollagen der Bindegewebsbiomatrix** nicht mehr als **Antenne, Rezeptor und Amplifyer** zur Verfügung.



Wärmebildung im Kopfbereich durch **Mobilephone**: Die zum lymphatischen System des Interstitiums gehörenden Drüsen des Bindegewebes werden aktiviert. Auch das Gehirn selbst reagiert, allerdings mit Verzögerung. Dies bedeutet aktive Resonanz mit endogener Regulation.

Das ist keine passive Absorption, sondern **aktive Abstrahlung, durch die kollagene Biomatrix**. Am schlimmsten trifft es die **Gefäße**. Diese werden durch die Ablagerungen versteift. Damit kommt es nicht mehr zur Entspannung.

Der **Blutdruck** bleibt hoch, die Körpertemperatur ebenfalls, die Gehirnwellen können nun nicht mehr in den niederfrequenten Bereich gleiten. Somit bleibt das **Nocturnal Shifting und Drifting aus**. Der Schlaf kann nicht mehr der **Regeneration** dienen. Die fehlgefalteten Proteine akkumulieren. Wenn die Wärmebildung langfristig und wiederholt dort zur Bildung von Kollagenfragmenten führen, dann **Zerreissung der KOLLAGENSTRUKTUREN DER BINDEGEWEBE DER GEFÄSSINNENWAND**



DAGEGEN:

1. **Trimax und GSH Komplex,**

Vit C:

normale Kollagenbildung u Schutz in Haut, Knorpel, Zähnen, Knochen, Blutgefäßen Zahnfleisch, fängt SOD ab und erhöht Bioverfügbarkeit von L- Arginin mit NO, verhindert Glycosylierung u AGEs

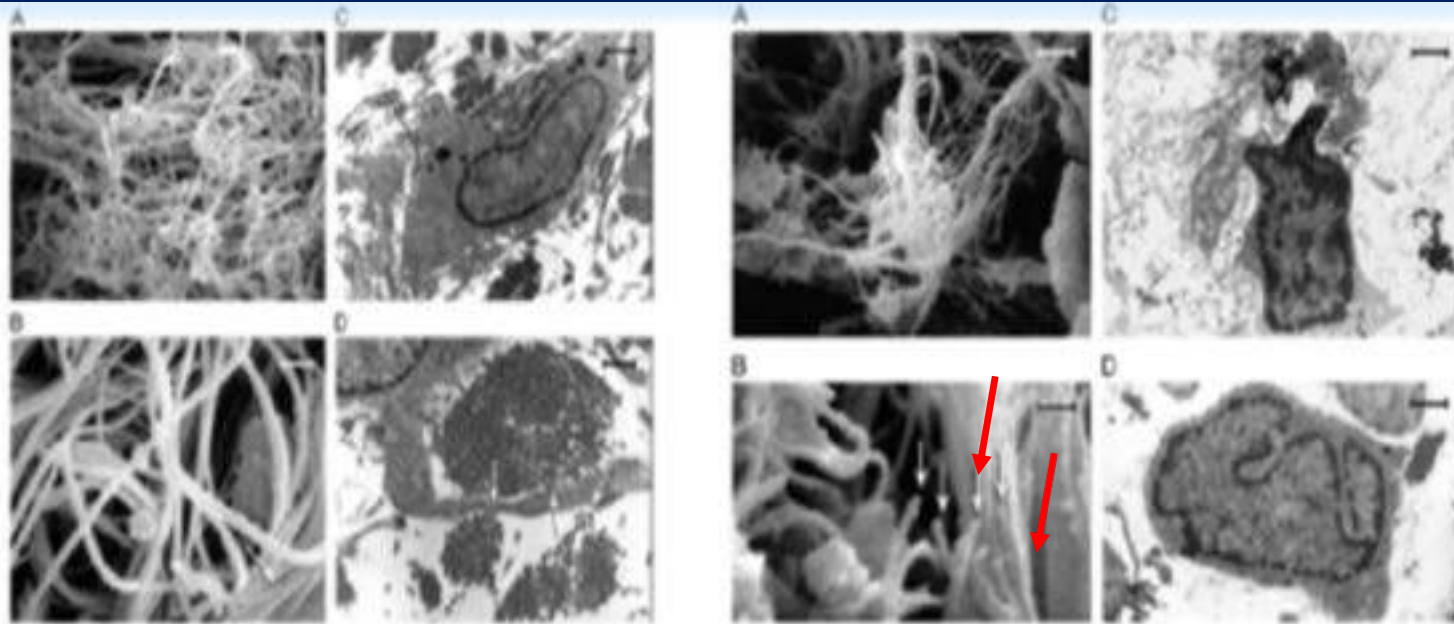
2. **Synchronisierendes Melatonin**

biologische Uhr, damit Hilfe beim **Einschlafen** und wirkt gegen interne **Desynchronisierung** etwa durch Jet Lag, **antioxidative Protektion**, bioenergetische Stimulation und ubiquitäre Regeneration.

3. **TRIMAX Proteine**

dienen dem Aufbau und Erhalt der Muskeln sowie zur Erhaltung der Knochen und sichern die Regeneration der Bindegewebsbiomatrix

Zerstörung der Kollagene durch 5 G



Intakte Kollagenfasern

Durch Strahlung zerstörte Kollagenfasern

Die globulären Kollagenfasern sind die **Antenne**, der **Rezeptor** und der **Amplifier** für natürliche und damit künstliche EMF.

Sie werden durch **5G geschreddert und in hochmolekulare reaktive Kollagenfragmente** verwandelt:

Die Pfeile (B) markieren die zahlreichen Kollagenfragmente. Die Fasern werden **völlig zerstört** (rechts C und D).

Die Trümmer sind **Radikalkanonen** und **senden zellzerfetzende Schall-, Ultraschall- und Hyperschallwellen aus.** Das führt zu **schweren Organschäden und starken Entzündungen**

Die 5 G- Stosswellen bündeln sich in allen Hohlräumen, : **Lunge, Hautschichten, Bindegewebe mit Interstitium, alle Schleimhäute** va im Darm mit **Perforation**. Hinzu kommt der natürliche Verlust von Bindegewebe durch **Verzuckerung /Glycosylierung** **Insulinresistenz** bei fast 70 % der Menschen.

Ab dem 25. Lebensjahr haben wir pro Jahr einen **Kollagenverlust** und damit **Muskelmassenverlust** von 1%, sowie **1% des Grundumsatzes**, dh. Mit zunehmendem Alter werden die **Insulinresistenz** der Verlust der gesunden Bindegewebe und damit **die Empfindlichkeit gegenüber Strahlenbelastung hoch** gefahren. Lösung

LOESUNG Prod. 3 TIAMAT

Die Extrem Tiamat Technologie mit hochpotentem **Reis/Erbsenprotein** um anabol **Muskeln und Kollagene** wieder aufzubauen in Kombination mit dem höchsten je erreichten **ORAC- Wert** von zusammen über 100 000 durch **Acerola und Apigenin, sowie Arginin**, dass die hier anfallenden extrem zerstörerischen Sauerstoffanionen abfangen kann, und in Kombination mit dem Strahlenfänger **Melatonin** (das so dosiert und bioverfügbar ist, dass es auch in die Zellen eindringen kann, das übliche orale Melatonin wird zu 97 % vorher abgebaut)

10. DIE VERHEERENDEN Zusammenhänge zwischen 5 G und Covid

Tsiang et al., 2021

COVID-19 Attributed Cases and Deaths are Statistically Higher in States and Counties with 5th Generation Millimeter Wave Wireless Telecommunications in the United States

COVID + 5G mm Wellen

- Todesfälle pro Million waren **165 % höher ($p = 0,012$) für Landkreise mit vs. ohne mmW.**

Während eine höhere Bevölkerungsdichte zu den höheren durchschnittlichen Fall- und Sterberaten in den mmW-Staaten und Landkreisen beitrug, hatte die Exposition gegenüber mmW ungefähr die gleiche Auswirkung wie eine höhere Dichte von mmW-Staaten auf die durchschnittlichen Fall- und Sterberaten und ungefähr dreimal so viel Einfluss wie eine höhere Dichte für mmW-Counties auf mittlere Fall- und Sterberaten.

5 G mm Wellen

Basierend auf einer multiplen linearen Regression wären die Fall- und Sterberaten für 5G-mmW-Staaten um 18-30% und **für 5G-mmW-Länder um 39-57% niedriger**, wenn keine mmW-Exposition vorhanden wäre.

Die COVID-19-bedingten Fall- und Sterberaten für die USA

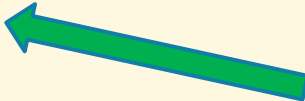
wurden bis Mai 2020 auf drei Arten analysiert – für alle 50 Bundesstaaten, die *größten Landkreise des Landes* und die *größten Landkreise in Kalifornien* – und fanden sich für Bundesstaaten und Landkreise mit statistisch signifikant höheren im Vergleich zu denen ohne 5G-Millimeterwellen-Technologie (mmW).

Der 5G mmW-Index war in allen drei Analysen ein statistisch signifikanter Faktor für den höheren Fall und die höheren Raten, während Bevölkerungsdichte, Luftqualität und Breitengrad nur für eine oder zwei der Analysen signifikant waren. Im Durchschnitt der Bundesstaaten waren die Fälle pro Million 79 % höher ($p = 0,012$), die Todesfälle pro Million waren 94 % höher ($p = 0,049$), die Fälle pro Test waren 68 % höher ($p = 0,003$) und die

- Todesfälle pro Test waren 81 % höher ($p = 0,025$) für Zustände mit vs. ohne mmW.
- Im Landkreisdurchschnitt waren die Fälle pro Million um 87% höher ($p = 0.005$) und die Todesfälle pro Million waren

165 % höher ($p = 0,012$) für Landkreise mit vs. ohne mmW. 

Während eine höhere Bevölkerungsdichte zu den höheren durchschnittlichen Fall- und Sterberaten in den mmW-Staaten und Landkreisen beitrug, hatte die Exposition gegenüber mmW ungefähr die gleiche Auswirkung wie eine höhere Dichte von mmW-Staaten auf die durchschnittlichen Fall- und Sterberaten und ungefähr dreimal so viel Einfluss wie eine höhere Dichte für mmW-Counties auf mittlere Fall- und Sterberaten.

Basierend auf einer multiplen linearen Regression wären die Fall- und Sterberaten für 5G-mmW-Staaten um 18-30% und für 5G-mmW-Länder um 39-57% niedriger, wenn keine mmW-Exposition vorhanden wäre. 

Diese Bewertung zeigt eindeutig, dass die Exposition gegenüber der 5G mmW-Technologie statistisch signifikant mit höheren COVID-19-Fall- und Todesraten in den USA verbunden ist.

Anomalien, die nur bei Covid 19 und 5 G Microwellen auftreten

- **multiple Blutgerinnsel**, die sich in Organen und Blutgefäßen bilden,
- schwere Entzündungen,
- **Hypoxie und Hypoxämie** sowie Hautläsionen, selbst bei denen, die negativ auf SARS-CoV-2 getestet wurden (was darauf hindeutet, dass ihre Symptome auf etwas anderes als SARS zurückzuführen sind). CoV-2) und
- Symptome, die nach dem ersten Ausbruch der Infektion noch Monate andauern, die **den Symptomen der Mikrowellenkrankheit ähneln**. Das Interessante an diesen Anomalien ist, dass die **HF-Exposition sie alle verschlimmern kann**.

Die meisten Symptome, die diese **langjährigen COVID-19-Patienten mit Mikrowellenkrankheit gemeinsam haben**, sind

- Kopfschmerzen,
- Müdigkeit,
- Konzentrationsschwierigkeiten,
- Gedächtnisprobleme,
- Schlaflosigkeit,
- kardiovaskuläre Anomalien wie Herzklopfen und Tachykardie,
- Tinnitus,
- Angstzustände,
- Depressionen und
- Hautläsionen

gemäß einem COVID -19 Umfragebericht der Indiana University School of Medicine [21]. Mindestens 24 der in der Umfrage gemeldeten **langen COVID-Symptome** sind auch Symptome der **Mikrowellenkrankheit**, auch bekannt **als EHS** [22] (Abbildung 7)

- **Drahtlose Strahlung** ist eine giftige Substanz, die das **Immunsystem schwächt**

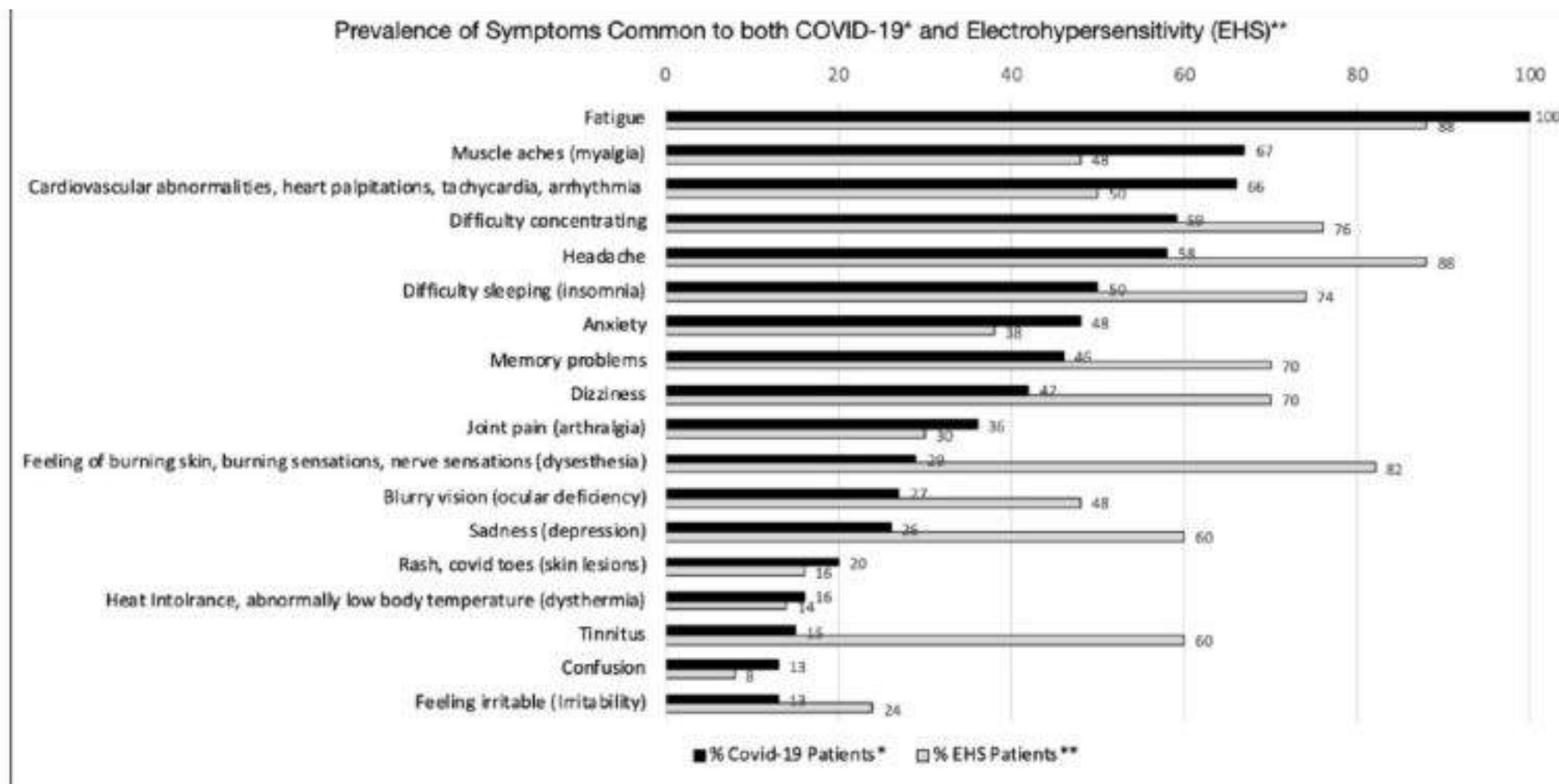
Und dazu :

- „die Exposition gegenüber **unzähligen toxischen Substanzen schwächt das Immunsystem**, dessen Fehlfunktion dann von SARS-CoV-2 ausgenutzt wird, um zu COVID-19 zu führen“ [23].

Eine aktuelle russische Studie fand eine starke **Korrelation zwischen den Expositionsgrenzwerten eines Landes für HF-Strahlung und COVID-19-Todesfällen**

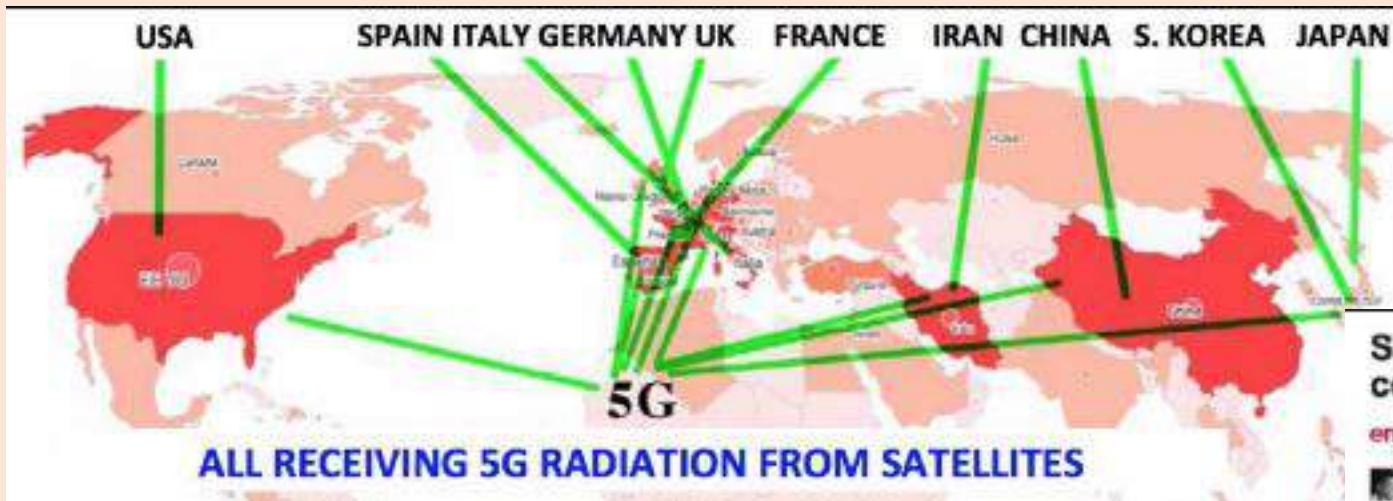
pro Million

($r = 0,577$) und Todesfällen pro Fall ($r = 0,551$) [24].



*Abbildung 7. Prävalenz von Symptomen, die sowohl bei COVID-19 als auch bei Elektrohypersensibilität (EHS) auftreten. Quellen: *[21], **[22]*

1. TABELLE DER 9 LÄNDER MIT DEN MEISTEN INFESTIONEN WELTWEIT



Zu den top fünf der Corona Virusländer gehört nicht mehr China, derzeit terrorisiert das Corona Virus 152 Länder auf der ganzen Welt. 100 Kranke in einem Land wie China unterscheiden sich von 100 in einem Land wie San Marino. In Anbetracht der schlimmsten Ausbrüche in der Welt ist gegenwärtig **San Marino** mit 100 Einzelfällen einem Land mit nur 33.400 Einwohnern ganz vorne:
San Marino : 2194 Fälle/Million
 Italien : 349,9 Fälle/Million
 Norwegen : 204,5 Fällen/Million

"Angeichts der Tatsache, dass sehr kleine Länder eingeschlossen sind, wird der schlimmste Ausbruch der Welt derzeit in San Marino mit 101 Fällen in einem Land von 33.400 registriert."
<https://www.eturbonews.com/567130/mos-t-infiziert-coronavirus-country-s-san-marino-italien-norwegen-s-korea-schweizland-iran/>

Der Vergleich zwischen dem kleinen Bundesstaat San Marino (Italien) und Kroatien (direkt gegenüber der Adria) ist erstaunlich. San Marino war der erste europäische Staat, der 5G-Technologie erhielt, und weist die höchste Infektionsrate auf. San Marino ist 2,59-mal mehr als Italien und **27-mal** mehr als Kroatien - ein Land ohne 5G.

4. Der Fall San Marino ist besonders bedeutsam. Es war der erste Staat der Welt, der 5G installierte, und daher der Staat, dessen **Bürger der längsten und verdächtigsten 5G-Strahlung** ausgesetzt waren, der erste Staat der Welt mit Infektionen. Die Wahrscheinlichkeit dafür liegt **bei 1 zu 37.636**.

San Marino set to become the first 5G country

engineeringpro

by Patrick Moore | 02/20/21 | 1 Like | 0 Reply

Following the signing of a Memorandum of Understanding (MOU) with Telecom Italia, San Marino is set to become the first country to go fully 5G.



"Why San Marino? Because the self-contained nature of the state, and its relatively few restrictions on the use of radio frequency makes it the ideal place to test the latest development in telecoms connectivity."

"Telecom Italia intends to double the number of its mobile sites within the country and will additionally install a network of small cells in downtown San Marino."
<https://www.fircoft.com/blogs/san-marino-set-to-become-the-first-5g-country-72001910124>

Why San Marino? Because the self-contained nature of the state, and its relatively few restrictions on the use of radio frequency makes it the ideal place to test the latest development in telecoms connectivity.

Telecom Italia intends to double the number of its mobile sites within the country and will additionally install a network of small cells in downtown San Marino.

Comparison of no. of infections per 1000 inhabitants in 4 countries near the same latitude and using 5G networks

3. CHART AND RATES OF INFECTION OF 4 NEARBY COUNTRIES AT THE SAME LATITUDE: PORTUGAL, SPAIN, ITALY, GREECE



5G NETWORK:

The average for Spain and Italy is 2.4.

The average for Portugal and Greece is 1.09.

Conclusion: the two countries with 5G have 220% more infections.

Note: data for 4 April 2020

Vergleich von vier nahe gelegenen Ländern desselben Breitengrads: Portugal, Spanien, Italien, Griechenland. Die beiden **Länder mit 5G** (Spanien und Italien) haben **220%** mehr Infektionen als Portugal und Griechenland.

Corona Virus Fakey And The Link To 5G Testing

Published: [28 January 2020](#)

Written by [Annie Logical](#)

53 Comments

Categories: [Corona Virus fake pandemic](#), [General Information](#)

Auch durch **mRNA Impfung** mit Bildung weiterer Aktivierung der ohnehin schon bei 85% der Menschen bereits bestehenden Antikörper gegen Covid. **MASSENZELLNEKROSEN UND TOD**



Offizielles **IMFUNGZIEL**.
Antikörpermedierte Superinfektion mit ??hoher Sterblichkeitsrate?

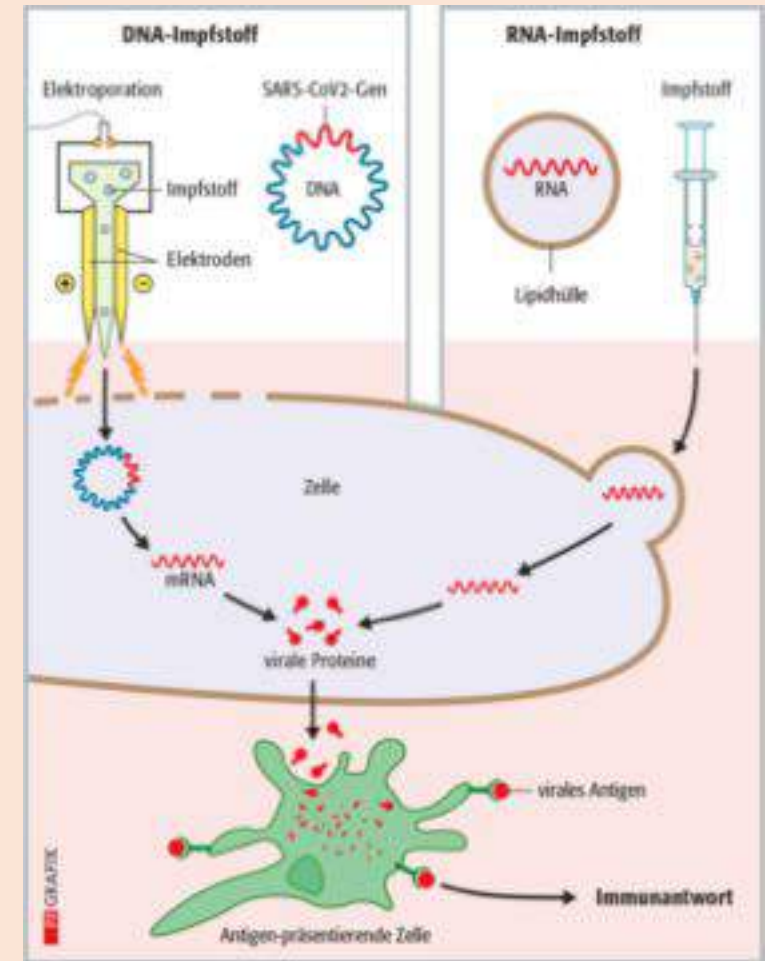
- 5G – Technik zur ELEKTROPORATION:
- Dies ist **ein gepulster elektrischer Strom**, der an lokales Gewebe angelegt wird, damit die Zelle Löcher aufweist, in die gerade genug **synthetische DNA eindringen kann**. Dann stoppt der Puls und die Zelle schließt sich.
- Die Therapie mit Referenzen aus 74 separaten Artikeln aus dem Jahr 2004 kommt zu dem Schluss, dass die Verwendung des Gentransfers mittels Elektroporation nur bei
- menschlichen **Antikörpern angewendet werden sollte, da Probleme von Krebs bis zum Tod auftreten können.**
- Die Speicherung und Verarbeitung genetischer Informationen basiert auf nur zwei Polymeren, **DNA und RNA**, die manipuliert werden, um **XNA** einzuschließen.
- Die Europäische Kommission hat das Integrierte Projekt PACE in ihrem Future Emerging Technologies-Programm von 2004 bis 2008 unterstützt. <http://cordis.europa.eu/ist/fet/>

Laut Wissenschaftlern könnte **XNA** auf anderen Planeten zu unterschiedlichen Lebensformen führen oder zur Schaffung neuer synthetischer Lebensformen verwendet werden.

7.1.3 Elektroporation und Impfen mit 5 G ohne Impfungen

Diese Technologie wird jetzt bei Impfungen ohne Vorschriften oder Aufsicht eingesetzt und kann nur zu einer Mutation Menschheit führen.

Geht es bei Pandemien wirklich darum? Inovo behauptet in nur 2 Stunden einen Impfstoff gegen ein nicht existierendes Virus herzustellen, „Coronavirus“ herstellen zu können! Über Elektroporation mit 5G



Anmerkung zur Wirksamkeit der 5 G Millimeterwellen in der Erzeugung von Covidsystemem:

5 G und Wechselwirkung mit der HAUT- DNA oder 5 G produziert Coronaviren ?

Biologia 2020, 18, 348; doi:10.3390/bi18030348

RETRACTED: 5G-Technologie und Induktion von Coronavirus in Hautzellen

M. Fioranelli¹, A. Sepahri¹, M.G. Rocco¹, M. Jafferany², O.Y. Olsou³, R.M. Lamonosov³, T. Lotti^{1,3}

Zugehörigkeiten + erweitern
PMID: 32668870 DOI: 10.21912/20-259-E-4

Rückzug in

RETRACTED: 5G-Technologie und Induktion von Coronavirus in Hautzellen.
Fioranelli M, Sepahri A, Rocco MG, Jafferany M, Olsou OY, Lamonosov RM, Lotti T.
Biologia 2020, 18, 348; doi:10.3390/bi18030348, Online vor dem Druck
PMID: 32786054

5G-Technologie und Induktion von Coronavirus in Hautzellen

M. Fioranelli¹, A. Sepahri¹, M.G. Rocco¹, M. Jafferany², O.Y. Olsou³, R.M. Lamonosov³, T. Lotti^{1,3}

Zugehörigkeiten + erweitern
PMID: 32668870 DOI: 10.21912/20-259-E-4

Der 5 G Hammer

III.3.B)

Abstrakt

In dieser Studie zeigen wir, dass 5G-Millimeterwellen von dermatologischen Zellen absorbiert werden können, die wie Antennen wirken, auf andere Zellen übertragen werden und die Hauptrolle bei der Produktion von Coronaviren in biologischen Zellen spielen. DNA besteht aus geladenen Elektronen und Atomen und hat eine induktorähnliche Struktur. Diese Struktur könnte in lineare, toroide und runde Induktoren unterteilt werden. Induktoren interagieren mit externen elektromagnetischen Wellen, bewegen sich und erzeugen einige zusätzliche Wellen innerhalb der Zellen. Die Formen dieser Wellen ähneln den Formen der hexagonalen und fünfeckigen Basen ihrer DNA-Quese. Diese Wellen erzeugen einige Löcher in Flüssigkeiten innerhalb des Kerns. Um diese Löcher zu füllen, werden einige zusätzliche sechseckige und fünfeckige Basen hergestellt. Diese Basen könnten sich miteinander verbinden und virusähnliche Strukturen wie Coronavirus bilden. Um diese Viren in einer Zelle zu produzieren, muss die Wellenlänge der externen Wellen kürzer als die Größe der Zelle sein. Somit könnten 5G-Millimeterwellen gute Kandidaten für die Anwendung beim Aufbau virusähnlicher Strukturen wie Coronaviren (COVID-19) in Zellen sein.

Keywords: 5G technology; COVID-19; DNA; dermatologic antenna; inductor; millimeter wave.

Copyright 2020 Biologia S.p.A. www.biologia.org.

Die
Erzeugung
von
„Coronaviren
“ durch 5 G

Gekochte Schweißdrüsen durch 5 G ?

Der Mensch besitzt zwei bis vier Millionen Schweißdrüsen. Sie liegen unter der Epidermis in der Lederhaut. Wir werden deshalb von der **5G-Strahlung „gekocht“**, weil sie die **Millimeterwellen wie Antennen anziehen**. Zu diesem Schluss kommt eine Studie des Physikprofessors **Yuri Feldman** von der **Hebräischen Universität Jerusalem**.

Feldmans Kollegin **Dr. Yael Stein** vom **Hadassah Medical Center** in Jerusalem schrieb deswegen bereits am **9. Juli 2016** einen offenen Brief an die **Federal Communications Commission FCC (USA)**:

„Sollten diese Geräte und Antennen den öffentlichen Raum füllen, werden wir alle, auch die gesundheitlich anfälligeren Mitglieder der Gesellschaft, dieser Strahlung ausgesetzt sein: Babys, schwangere Frauen, Senioren, Kranke und elektrosensible Menschen...“

zusammen mit dem **Auftreten vieler neuer Krankheitssymptome von physischen Schmerzen und bis dahin unbekannte neurologische Störungen...**

man wird einen **kausalen Zusammenhang** zwischen der **5G-Technologie** und diesen **spezifischen Krankheiten** nachweisen können. Die betroffenen Personen hätten somit **ein Anrecht auf eine finanzielle Entschädigung.**“

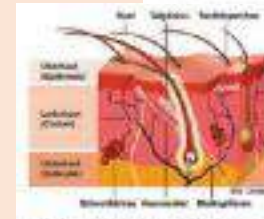
5G-Technologie und Induktion von Coronavirus in Hautzellen

M. Fiorani¹, G. Sepetel¹, M. Rocca¹, M. Jafferany², D. Orlina², M. Lomonosov², T. Lotti^{1,2}

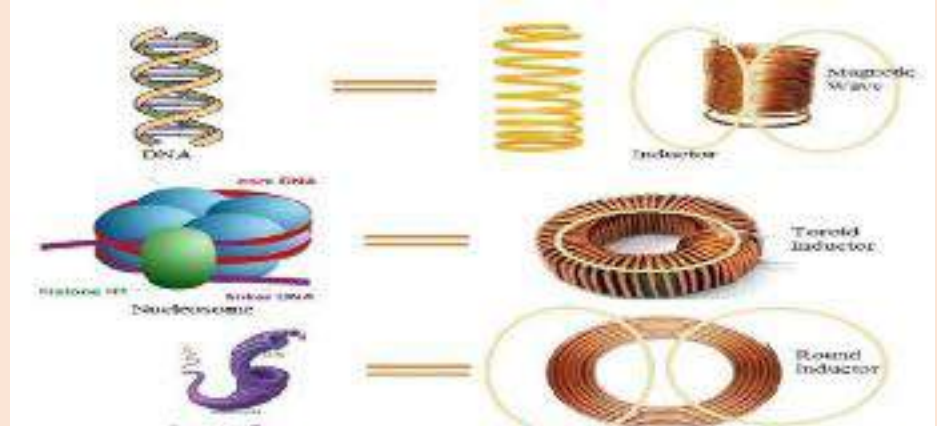
Zugehörigkeiten + erweitern

PMID: 32688070 DOI: 10.23012 / 20-268-E-4

Der 5 G Hammer



Wachsender Schmerz: Haut und Schweißdrüsen sind überaus empfindlich für 5G-Strahlung.



These **extra hexagonal and pentagonal bases may join to each other and form structures like RNAs of COVID-19 viruses.**

To produce these viruses, **it is necessary that the wavelengths of external electromagnetic fields be equal or less than the size of a cell.** For this reason, **5G technology waves could have the main role in the emergence of COVID-19**, however radio waves could not have any effect on the evolutions within a cell (Fig. 5)

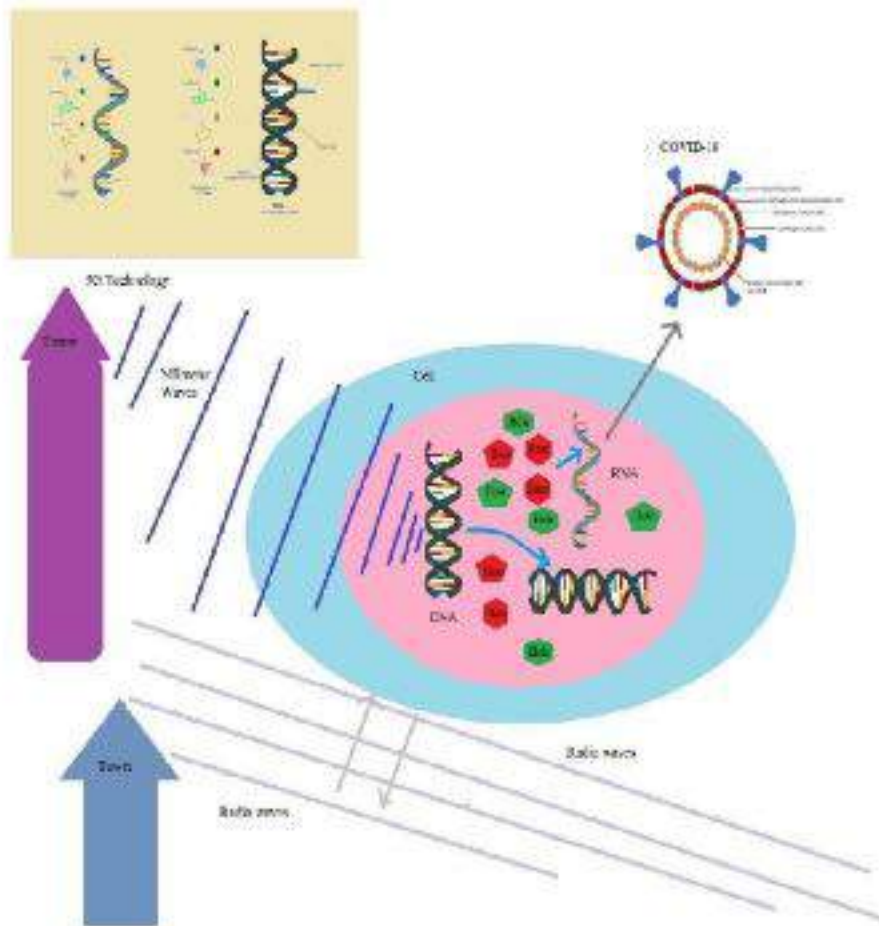


Fig. 5. 5G technology waves could pass the cell membranes and lead to production of COVID-19; however the size of radio waves are more than the size of cells and thus radio waves could not pass the cell membranes.

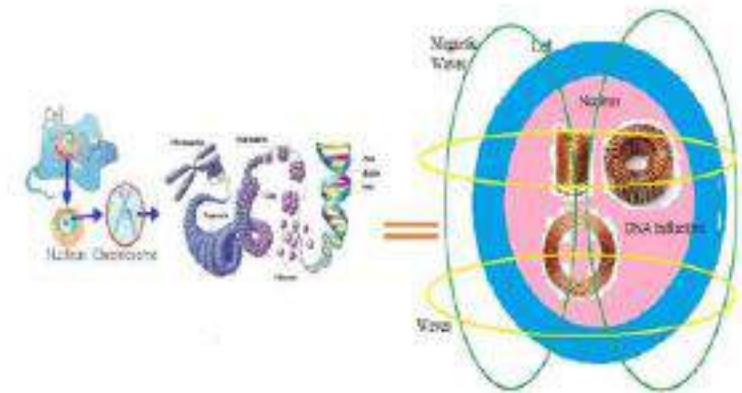


Fig. 4. A DNA within the nucleus acts as the inductor and emits magnetic waves.

- A DNA coils several times around different axes within chromosomes and produces different types of inductors and electronic devices. Thus, any state of a DNA is similar to a **type of an inductor** and emits a special wave. Some of these waves are linear, some are curved and others have toroidal shapes (Fig. 4).
- DNA is formed from hexagonal and pentagonal manifolds; thus, its emitted waves have hexagonal and pentagonal shapes. These waves produce hexagonal and pentagonal holes within the liquids of a nucleus and a cell. To fill these holes, hexagonal and pentagonal molecules are built.
- These **extra hexagonal and pentagonal bases may join to each other and form structures like RNAs of COVID-19 viruses.**
- To produce these viruses, **it is necessary that the wavelengths of external electromagnetic fields be equal or less than the size of a cell.** For this reason, **5G technology waves could have the main role in the emergence of COVID-19,** however radio waves could not have any effect on the evolutions within a cell (Fig. 5).



Ich, **6**fache
Witwe suche
Mann zum
verlieben.

Meine Hobbys:
Pilze sammeln
und kochen!

WO-TV
ge.org

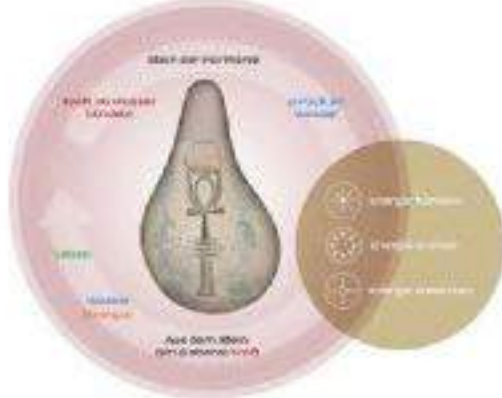
11. Lösung biophysikalischer Probleme

11.1 Reduktion der Signalstärke von 5 G Wellen

1. Kolganovkugel, die mit 8-facher Dämpfung auf Strahlung zwischen 750 Hz und 47 GHz reagiert



2. der Quantenstein mit 4facher Dämpfung,



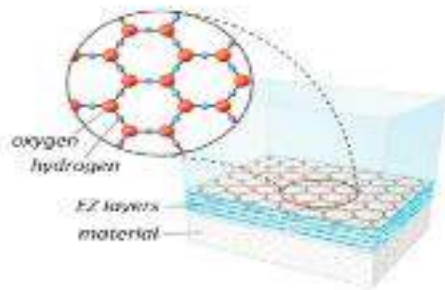
4. Der Raumharmonisierer, der im Umkreis von 12 m Durchmesser vielfach stärker reagiert als der Quantenstein



Die Systeme Quantenstein, Raumharmonisierer, Autoharmonisierer.

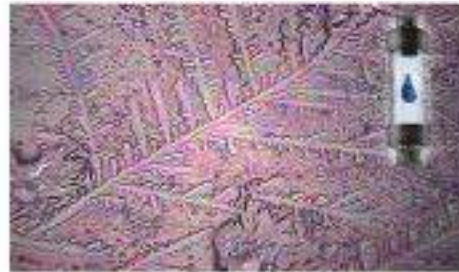
Erdungstransformer

wirken vor allem über die Bildung und den den Aufbau von HEXAGONALEM Wasser im Körper und auch in der Umgebungsluft, im Auto oder im Freien, so dass die pathologischen 90 Grad Grad Winkel in physiologische 30/60 Grad Grad Winkel umgebaut werden.



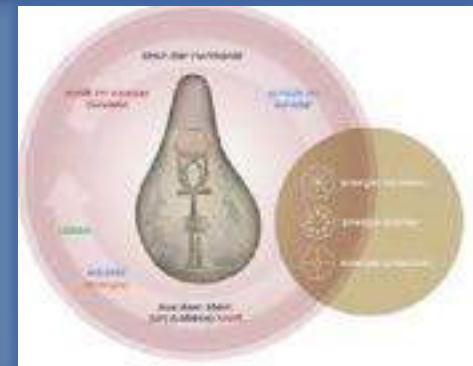
Hexagonales Wasser
nach Pollack, 11302

Bodyharmonizer



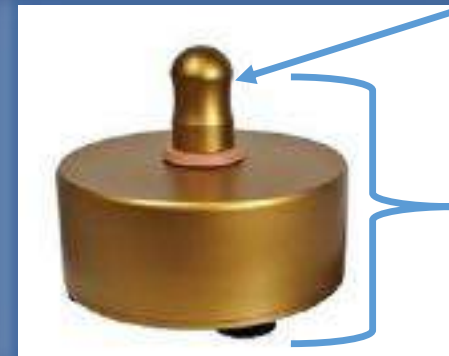
Physikalisch und biologisch
perfekt strukturiertes Wasser

Regelmäßige Kristallstrukturen, ideale
Formbildung mit 60° Winkelstrukturen,
d.h. hexagonal
Der Sauerstoffgehalt erhöht sich um
44%
Optimale biologische und technische
Eigenschaften, minimale
Fäulnisbildung



Quantenstein

Autoharmo- nisierer



Raum- harmonisierer

11.2 Quantenstein, Bodyharmonizer Wasserstrukturierer

Bodyharmonizer

Hexagonales Wasser ist extrem „ – „ geladen und der optimale Ausgleich für massive Radikale, die zB. Durch Elektromog oder Impfungen usw. in den Körper gelangen



Wasser- strukturierer



DARPA-Gel in Impfstoffen,
Masken und PCR-Stäbchen
für unser System
pathologische 90 Grad
Winkel!

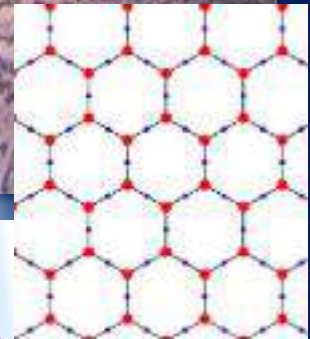
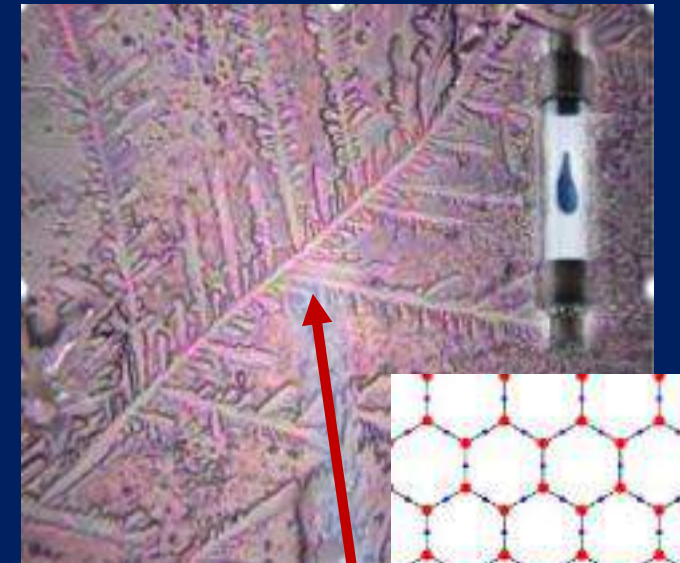


Pathologische 90 Grad Winkel mit
der Erzeugung von Entzündungen
und Tumoren



Blutkristallinat

einer Frau mit Brustkrebs



Der **Raumharmonisierer**, der starke
30/60 Grad – physiologische Winkel
im Umreis von 12 m aufbaut

Probe	ph	ORP	rHz	el. Leitf.	R-Wert	Energiew.
				$\mu\text{S/cm}$	Ohm	μW
Vergleichsprobe im Feld von Stein der Harmonie	7,67	-10,0	21,76	611	1637	22,7
Vergleichsprobe	7,75	66,0	24,49	509	1965	37,0

Unabhängig vom pH-Wert ist **der rH2-Wert** der Indikator für das **Reduktionspotential** (Zunahme der Elektronen!) des Wassers. Dieser Wert wird gegenüber der Vergleichsprobe etwas abgesenkt und unterschreitet sogar den optimalen Wert von 22 ein wenig. **(Ein rH2-Wert von ca. 22 steht für redoxneutrale Verhältnisse**, die obere Grenze des zuträglichen Bereichs liegt nach VINCENT bei 28). Es ist äußerst selten anzutreffen, dass **ein Verfahren zur Beeinflussung von Wasser einen derart günstigen rH2-Wert erzielt!** Auch die Beurteilung des Redoxverhaltens des Steins der Harmonie fällt somit unter bio-elektronischen Gesichtspunkten sehr günstig aus.

„Insgesamt kann unter den Gesichtspunkten des pH-Wertes, des rHz-Wertes sowie des Energiewertes der Einflussnahme des Steins der Harmonie auf Wasser ein hervorragendes bio-elektronisches Zeugnis ausgestellt werden“.

Die Auswertung der Messungen des **Energiewertes** ergab, dass sich durch den Stein der Harmonie ein Wert von **22,7 μW** nach der bio-elektronischen Berechnungsmethode einstellt (gegenüber 37 μW bei der Vergleichsprobe). **VINCENT** fordert idealer Weise **niedrige Werte (< 25 μW)**. Diese Vorgabe wird durch den Einfluss des Steins der Harmonie erreicht – wiederum ein selten anzutreffender Fall! Viele Wässer weisen gegenüber der **Sichtweise der Bio-Elektronik zu hohe Energiewerte auf**.



BODY-HARMONYZER , der sogar in der Lage ist, die per Elektromog im wichtigsten Reparatursystem des Menschen, die auch über Jahre kumulierten und angestauten pathologischen Frequenzen im **PERINEURALEN GLEICHSTROMSYSTEM** zu entlasten.



Bodyharmonizer im Test Dunkelfeld- mikroskopie



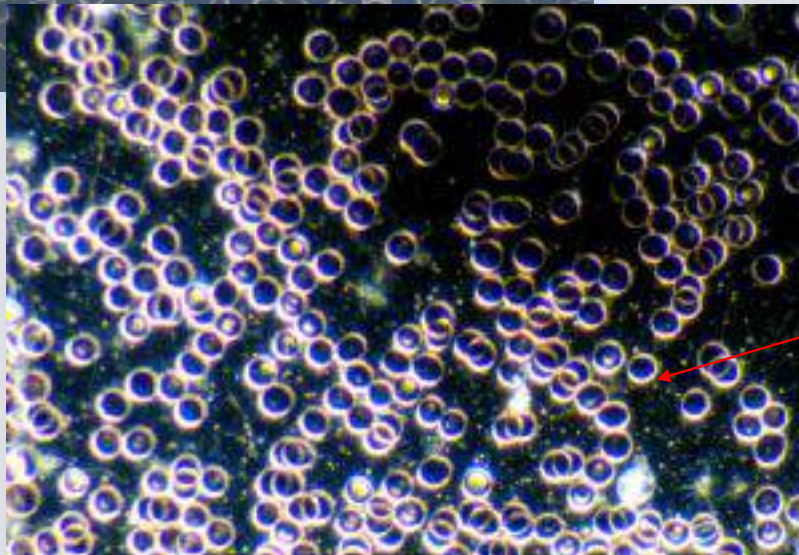
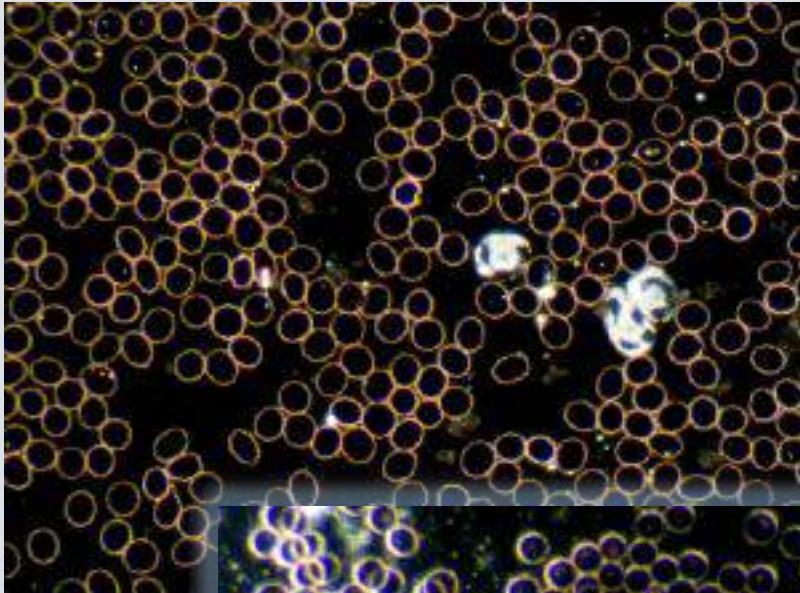
ORIGINALZITAT DES ENTWICKLERS
Josef Schwarzkopf:

Bei der Datenübertragung entstehen **Mikrowellen**. Beonders sollten Übertragungen von **4G und 5G** Geräten sowie von Sendern beachtet werden. Am Empfängergerät werden die Wellen empfangen und abgestrahlt, diese speichern (erstarren) die Flüssigkeit von Lebewesen. Die **roten Blutkörperchen werden belastet, es stellt sich eine verminderte Sauerstoffaufnahme ein**. Die Datenträger kommunizieren untereinander und verstärken die **Erstarrung** deshalb sind Ansammlungen von mehreren Personen mit Handys usw. verstärkt zu berücksichtigen ist .(z.B. Skigebiete, Stadien, Bahn usw.)

Durch das Tragen des **Body Harmonizers** werden die von außen einwirkenden und am Körper gespeicherten Mikrowellen eliminiert. **Minimale Wirkung ca 2 min**, bei Belastung länger (Autofahren PC- Arbeit. Dauertelefon etc.)

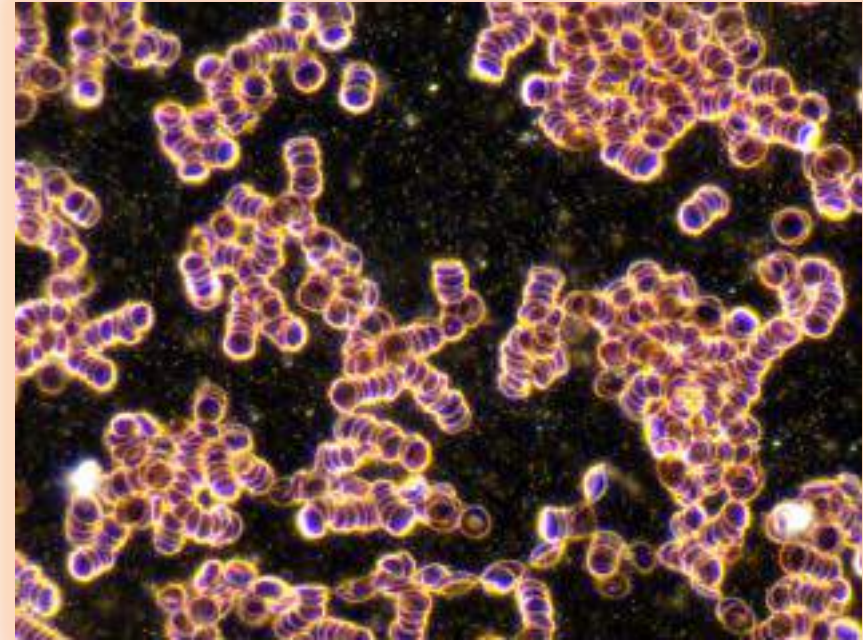
Josef Schwarzkopf

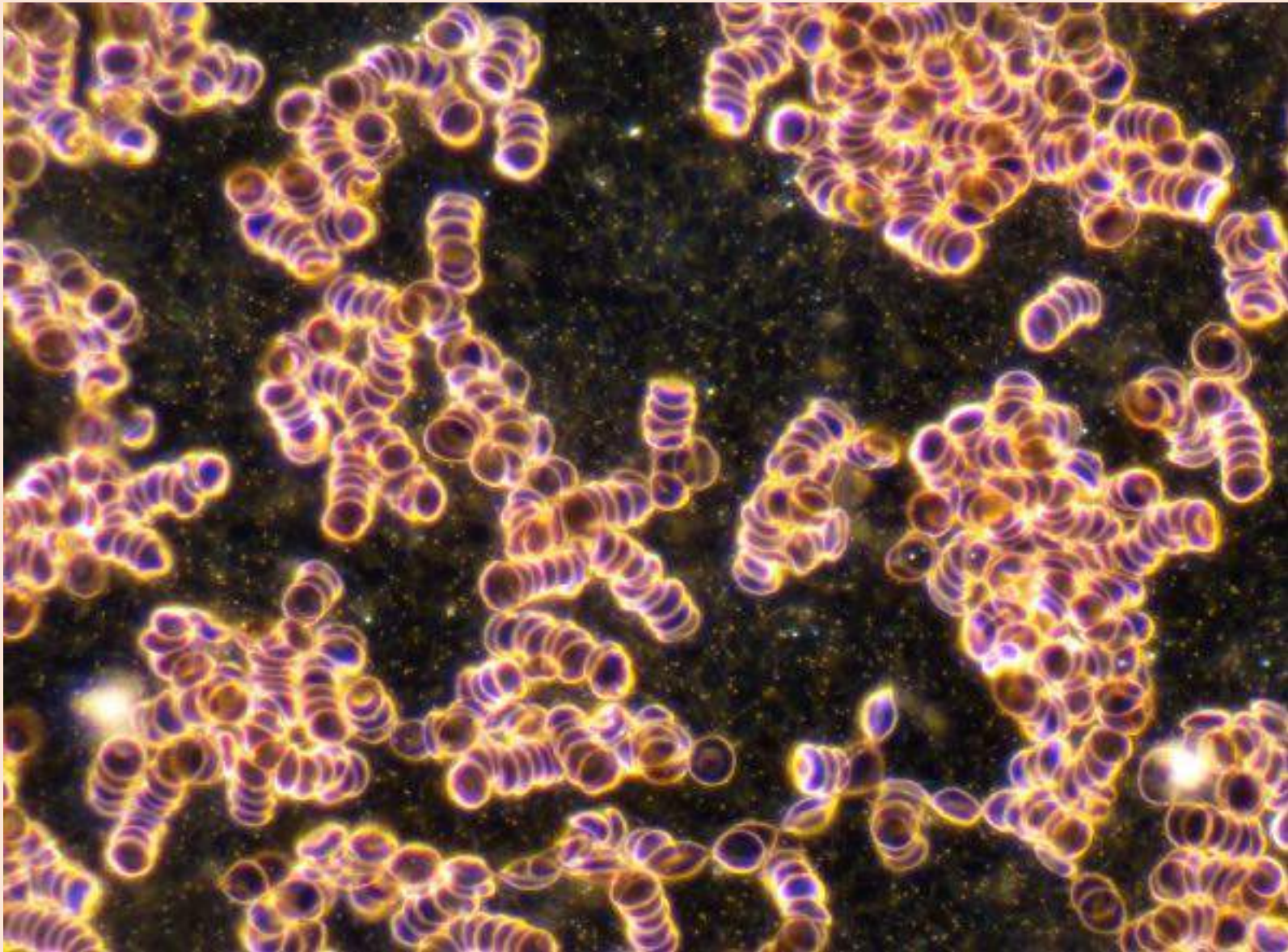
Ungeimpft weiblich 58 J.



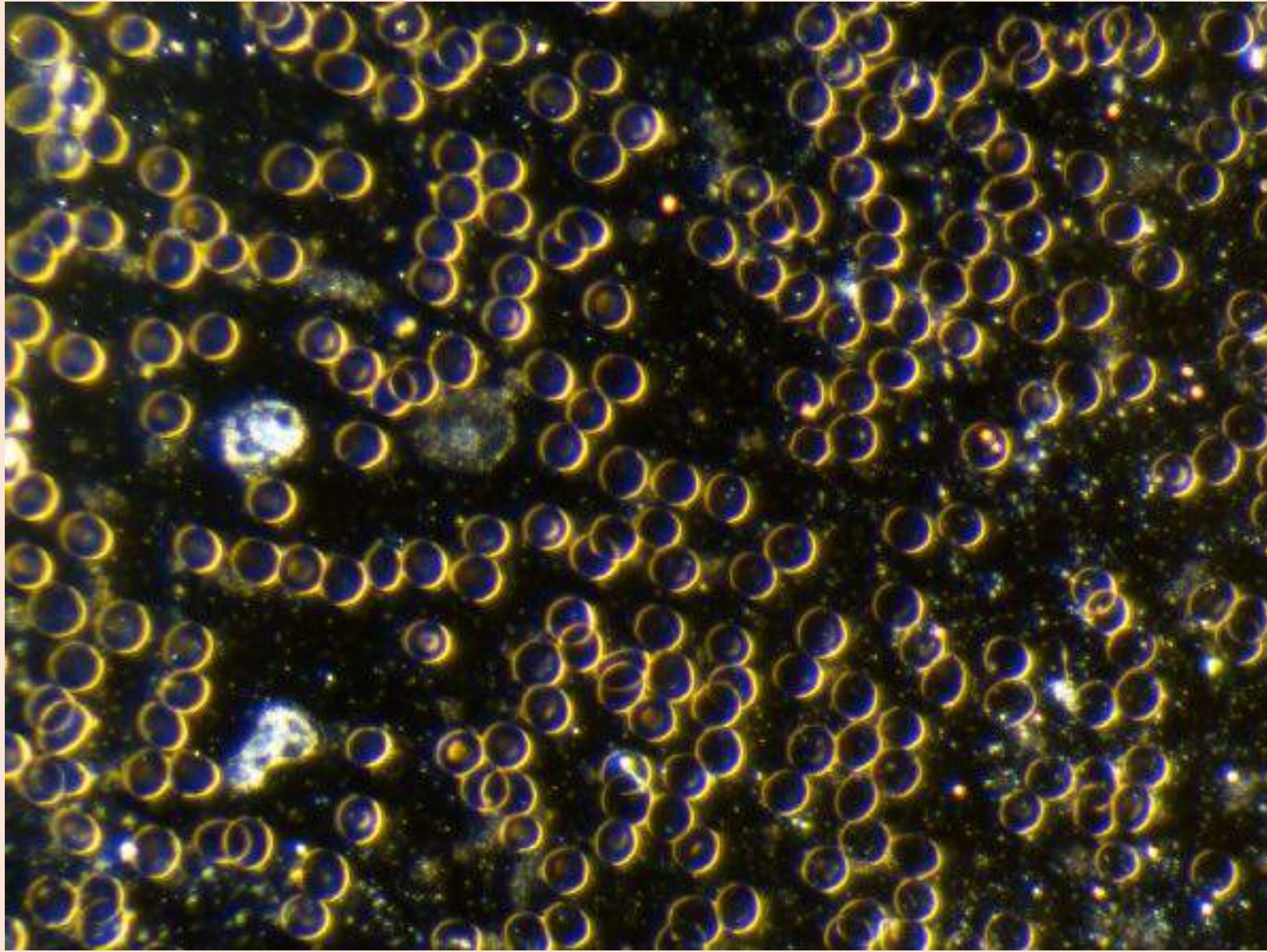
männlich 62 ,
gut Sauerstoff
beladene rote
Blutkörperchen

Geimpft weiblich 58





Geimpft,
weiblich 58



Geimpft ,
weiblich, 58,
10 Minuten
nach Nutzung
des Body
harmonizers

11.3 Sedona Magnetfeldmatte



Die Hauptwirkungen von optimierten PEMF nach der medizinischen Fachliteratur sind:

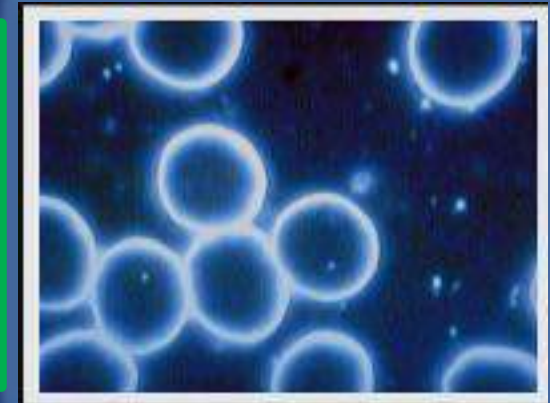
1. Das Herz pumpt kräftiger und fördert mehr Blut. Rhythmusstörungen bessern sich
2. Die Durchblutung wird in allen Blutgefäßen verbessert und der Blutfluß beschleunigt (Beweis Anlage 2: Erhöhte Wärmeabstrahlung bei Probanden Infolge Behandlung mit dem EMG-Gerät, am 20.02.2000 mit der Infrarotkamera der Universität Zürich gemessen)
3. Die Atmung wird vertieft. Mehr Sauerstoff gelangt über die Lunge ins Blut und damit an die Zellen
4. Die Zellernährung wird verbessert und Schlackestoffe werden aus den Zellen schneller entsorgt
5. Die Viskosität des Blutes wird erniedrigt, die Gerinnung normalisiert - ein Anti-Thrombose-Effekt
6. Eiweiße werden vermehrt gebildet (Enzyme, DNS, RNS, Immunkörper, Struktureiweiße)
7. Die Zellregeneration wird angeregt und beschleunigt
Zerstörtes Gewebe (Knochen, Knorpel, Muskeln) wird wieder aufgebaut
8. Die Regeneration von Nervenzellen ist um 1/2 mm/Tag beschleunigt
9. Die Stimulierung des Immunsystems ist bewiesen
10. Allergische Hautreaktionen sind abgeschwächt
11. Insulin wird vermehrt ausgeschüttet, der Blutzuckerspiegel senkt sich
12. Diabetes-Spätschäden werden gebessert (Augenschäden, Nervenkrämpfe, Nierenstörungen)
13. Die Lysozym-Aktivierung ist um 100% erhöht (Lysozym zerstört Bakterien indem es ihre Zellwände auflöst)
14. Ein PEMF wirkt gegen Schmerzen und ist entspannend und beruhigend.

<https://sedonawellness.com/>

Geldrollenbildung der Erythrozyten nach Impfung, Dauermaske, E- Smog , Daarpa- Gel, Wirkung von kationischen Lipiden, Grafenoxid



Weitgehend normalisierte Erythrocyten nach Sedona Pulsierender Magnetfeldtherapie





12. Der Brany

Als Anhänger

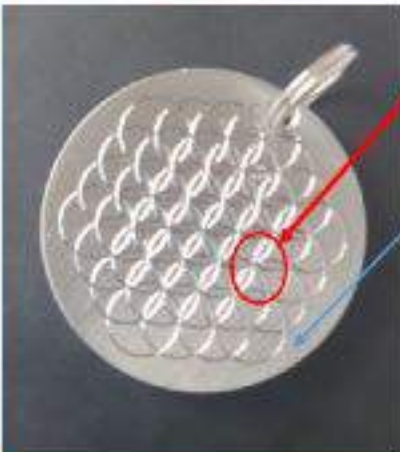
Gegen E-Smog als
Aufkleber



VOM WELTRAUM
IN DIE
MEDIZINISCHE
PRAXIS

Klaus Eickenberg

3. der Brany-Anhänger , 3 bis 5 – fache Dämpfung



Die Lemniskaten mit der Blume des Lebens Ohne! Umrandung erzeugen fast die 3-fache Power mit der Energie Aufnahme aus dem „0-Punkt-feld“



Die strukturelle Eigenschaften des **Brain-Y** oder **Chips/Energie aus dem Quantenvakuum**

VOM WELTRAUM
IN DIE
MEDIZINISCHE
PRAXIS

Fibonacci-Folge

→ Summe der beiden Vorgänger

0	1	1	2	3	5	8	13	21	34
55	89	144	233	377	610				
987	1597	2584	4181	...					



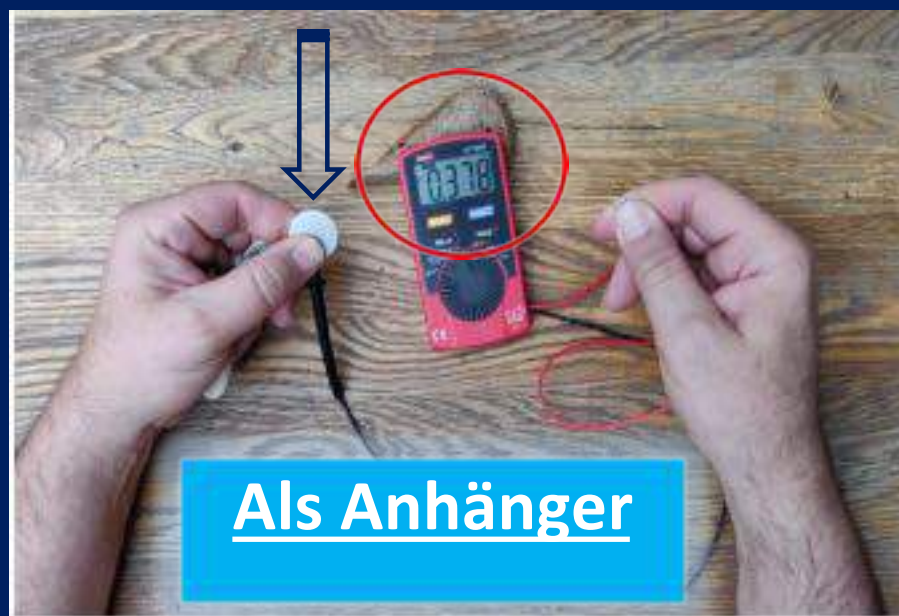
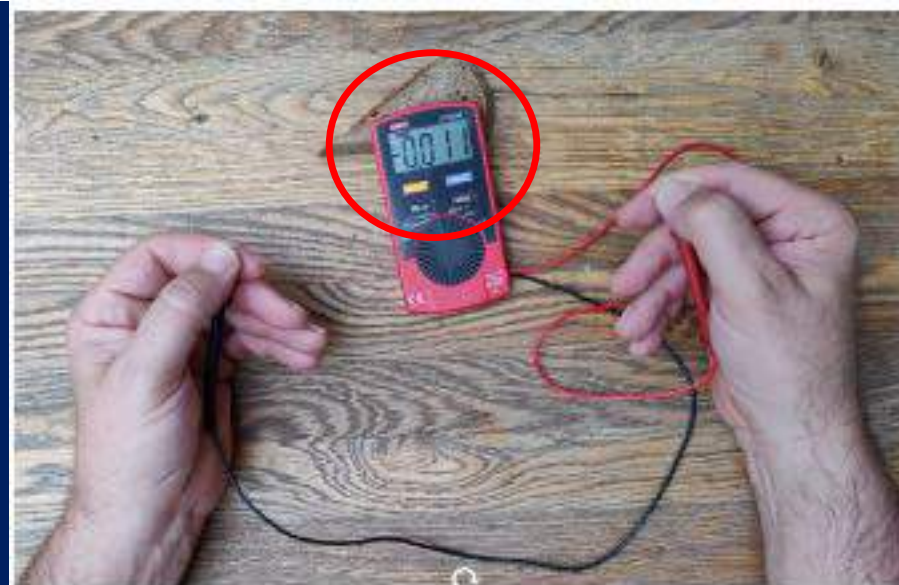
- 2,5 - 0,5 = 3
- 2 + 0,5 = 2,5
- 1,5 + 0,5 = 2
- 1 + 0,5 = 1,5
- 0,5 + 0,5 = 1
- 0,5

Brany

- Werden noch in der ersten Messung ohne **Brany** anhand der Elektroden Werte zwischen - 10 mv und + 10 mv an den Finger-Beeren gemessen
- zeigen sich nach Halten des Branys ebenfalls während der Messung an den Elektroden instantan Werte zwischen **300 und 500 mv**.

Eine Energie also, die aufgrund der Naturgesetze, nach denen der Brany aufgebaut ist, offenbar aus dem Quantenvakuum in die Fingerbeeren zieht, so dass man nach Lakhowski z.B.: Tumor und Entzündungszellen sanieren kann, hier von 11 mv auf 378 mv

22.11.2014



Als Anhänger

Der Brany-Anhänger

ist in der Lage Zellen aus dem **Entzündungsstatus**, , z. B. verursacht durch Grippeviren (**Corona**) in den aktivierten natürlichen gesunden Status aufzuladen

TMRP sind von mitochondrialem ATP abhängig und für den bio-energetischen Zustand der Zellen repräsentativ

TMRP bei normalen oder geschädigten Fibroblasten

normale WI 38 =	ATP & Morphologie normal	TMRP = - 40 mV
WI 38 mit Rn belastet =	ATP ↓ & Morphologie ↓ ...	TMRP = - 25 mV
VA 13 „Krebszellen“ =	ATP ↓ & Morphologie ↓	TMRP = - 15 mV

Effekte der IO_2Th ($p = < 0,05$):

WI 38/ Rn $\leftarrow IO_2Th/O_2+ \bullet$	ATP ↑ & Morphol. ↑ ...	TMRP = - 40 mV
VA 13 $\leftarrow IO_2Th/O_2+ \bullet$	ATP ↑ & Morphol. ↓ ...	TMRP ↑ & Destruktion



Georges Lakhovsky tritt auf!

Georges Lakhovsky (1870-1942) war ein russischer Erfinder (er lebte in Paris und starb in New York), der bekannt wurde durch seine Erkenntnisse einer drahtlosen Kommunikation zwischen Zellen mittels Hochfrequenz

erkrankungen mit hochfrequenten elektromagnetischen Feldern bei Geranien, das auf Ideen von D'Arsonval und der Technik von Tesla beruhte.

1930 erfand er den Multwave-Oszillator, den er in Frankreich und in den USA patentieren liess. Es handelt sich um einen Kurzwellensender mit variab-



Georges Lakhovsky (1870-1942) mit dem von ihm entwickelten Multwellen-Oszillator.



Der Multwellen-Oszillator auf höchste Output-Power eingestellt.



Lakhovskys Labor in New York

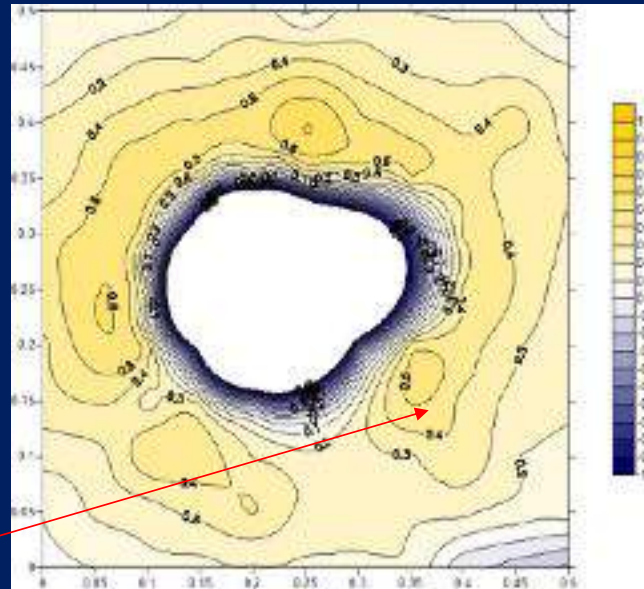
und der Erfindung des Lakhovsky-Generators bzw. Multwave-Oszillators MWO. Nach dem Zweiten Weltkrieg stand er in Kontakt mit Jacques-Arsène d'Arsonval (siehe oben). Dieser hatte ein elektrisches Therapieverfahren erfunden. An der Pariser Salpêtrie entwickelte Lakhovsky 1923 ein eigenes Verfahren zur Behandlung von Krebs-

ter Sendefrequenz. In der Folge behandelte er und Anwender seiner Technik mit diesem Gerät mehrere krebskranke Patienten. Er erreichte spektakuläre Erfolge und publizierte diese. Er gründete die Firma Colysa, welche die Geräte baute und weltweit verkaufte.

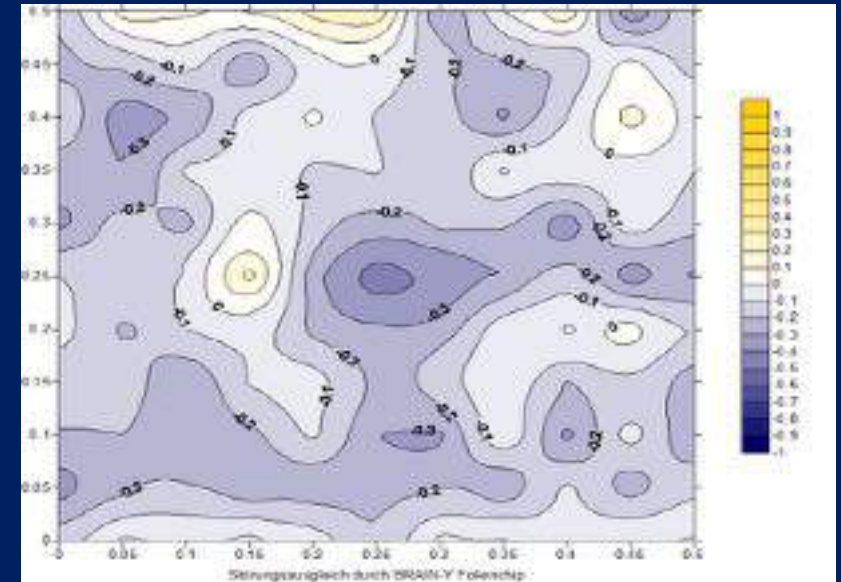
T3 = Feld mit
sendendem iPhone
ohne Chip,

Anmerkung, die natürlichen
Schwankungen von
Magnet/Kraftfeldern sollten
maximal zwischen 0,1 -0,2
Mycrotesla yT liegen! Bei I-
phone etc liegt dies allerdings
zwischen **0,6 -0,7 !**

Tumorbildung ab 0.2!



Störung durch iPhone



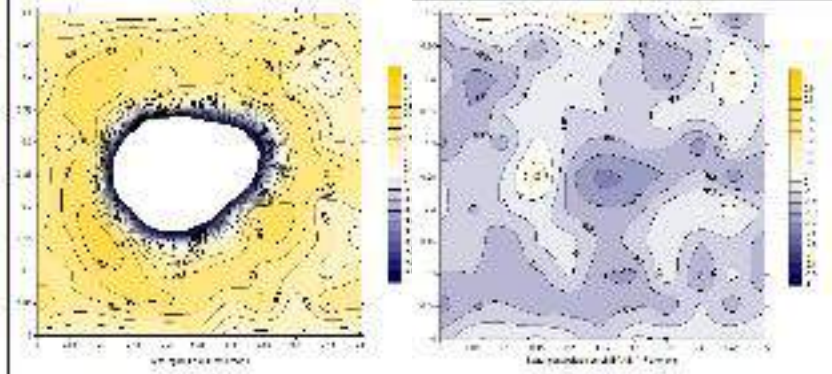
Feld mit sendendem
iPhone mit Aluchip,
Ausgleichswirkung des Aluchips,
Werte bei - 0,2 bis - 0.6



Dr. Walter Medinger

IIREC
International Institute for Research on
Electromagnetic Compatibility

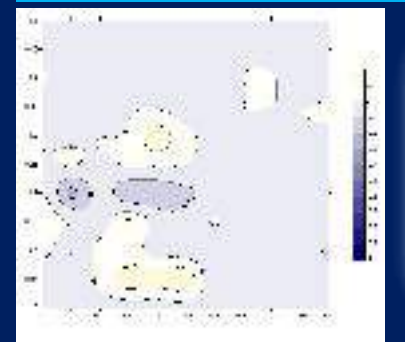
Gegen E-Smog
als Aufkleber



Fernübertragung

Das bedeutet, dass nicht wie bei den üblichen Tests das im Messfeld befindliche „empfangende“ Handy mit dem Chip ausgestattet wurde, sondern das entfernte „sendende“ Handy. Dieses war beim **ersten Test 60 km** vom Messlabor entfernt. Der Test erbrachte ein **grundsätzlich (jedenfalls in einem Teil des Messfeldes eindeutiges) positives** Ergebnis (siehe zweite Grafik). Zur Absicherung dieses Ergebnisses wurde der **Test wiederholt**, wobei sich das „sendende“ Handy nur in einer Entfernung von **5 m vom Ort der Messung** befand. Das **Ergebnis fiel wieder positiv aus**, wobei die stärksten Effekte im gleichen Teil des Messfeldes auftraten wie beim ersten Fernübertragungstest, jedoch auch im übrigen Teil des Feldes positive Wirkungen zu verzeichnen waren. Diese Ergebnisse sind jedenfalls als Hinweise zu verstehen, dass sich die Wirkung des BRAIN-Y-Chips als **Quanteneffekt auf einer elektromagnetischen Trägerwelle** (konkret der Funkwelle eines Mobilfunknetzes) übertragen lässt. – Die gleichfalls durchgeführte **Nachmessung nach dem Belastungstest** (72 h in einem extrem inhomogenen Magnetfeld) wurde in „klassischer“ Weise mit dem Aluchip auf dem iPhone im Messfeld durchgeführt und erbrachte das in der vierten Grafik dargestellte **positive Ergebnis**.

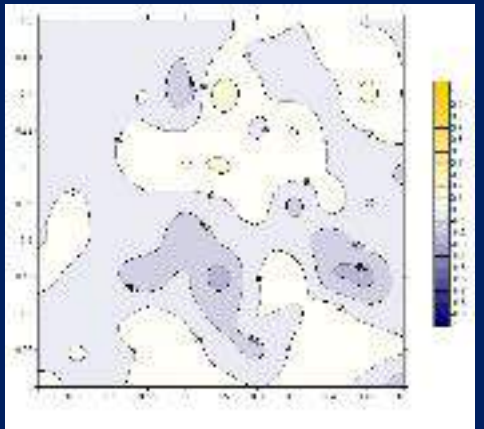
Wirkung I-Phone



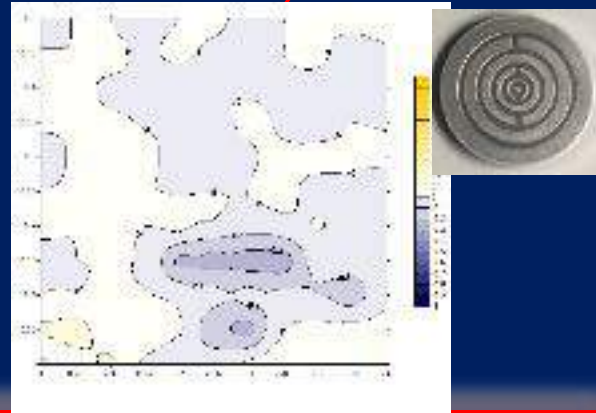
Wirkung i-phone mit Brany Folie

Fernwirkung Brany 5m mit I-phone, empfangendes Handy nicht gechipt!

Die in der Umgebung des Handys im Messfeld überwiegende in blau dargestellte Abnahme der Werte belegt den Ausgleich der gelb dargestellten Wertezunahmen von Abb. 13. Die Veränderungen deren Betrag $0,1 \mu T$ überschreitet (kräftigere Blautöne) sind messtechnisch signifikant. Somit liegen hier Wirkungen vor, die nach sorgfältigster Durchführung der Messungen mit höchster Wahrscheinlichkeit durch Einwirkung des BRAIN-Y Chips aus der Ferne hervorgerufen wurden.



Fernwirkung 60 km! empfangendes Handy nicht gechipt!



Fernwirkung Handy auf 60 km! Nach 72 Std. empfangendes Handy nicht gechipt!

12.1 Light Pen



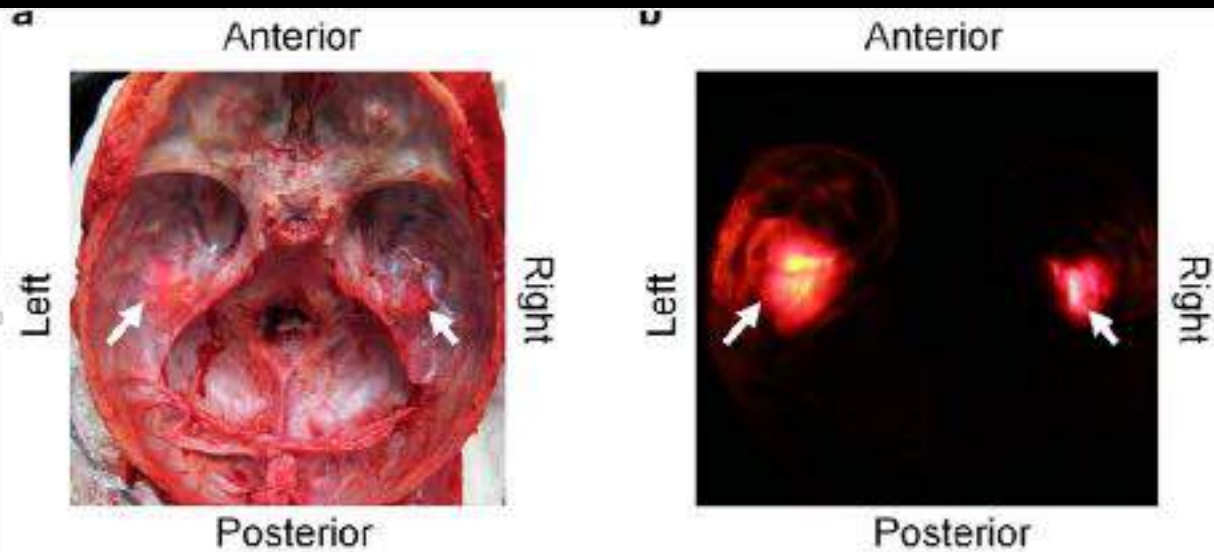


Fig 4. Light is able to penetrate human skull via ear canals. (A) Light penetration through the ear canals at the base of the skull on a cadaver after inserting the Bright Light Ear Headset into both ear canals under normal surgical lights in the autopsy room and (B) same skull base after turning the surgical lights off and darkening the room.

doi:10.1371/journal.pone.0149525.g004

Nah - und Ferninfrarotlicht haben insbesondere transkranial über die Ohren gegeben die Eigenschaft ohne Probleme die Temporallappen zu erreichen, insbesondere dann auch den **Zerebrospinalkanal**.

1. Dort werden die bereits mehrfach beschriebenen Rezeptoren (Photo-, Mechano- und Chemorezeptoren) beeinflusst (Stellung im Raum, Aktivierung der positiven Funktionen der Zirbeldrüse, Magen-Darmtraktaktivierung, Entgiftungsfunktionen etc.).
2. Fernerhin kommt es zu einer **psychischen Entspannung** des Systems durch Aktivierung der Kaliumkanal getriggerten GABA (in der Amygdala, dem Trauma und Angstzentrum) mit **Entlastung erlebter Traumata und Entspannung**.
3. Wie bereits an anderer Stelle beschrieben kommt es auch zum Anstieg von **ATP**,
4. kurzfristig auch zum Anstieg vermehrter Sauerstoffradikale (ROS) mit Induktion von **Transkriptionsfaktoren** und folgender Bildung **Anti oxidativer Enzyme, als auch einer zunehmenden Neuroplastizität und Hirnrestrukturierung**.

Signalvermittler und Aktivierung von Transkriptionsfaktoren

zwei der wichtigsten molekularen **Photorezeptoren oder Chromophore** (**Cytochrom-C-Oxidase** und durch Wärme leitende Ionenkanäle) in neuronalen Zellen, **die Photonen absorbieren**, die in das Gehirn eindringen. Die Signalwege und die Aktivierung von Transkriptionsfaktoren führen zu möglichen Auswirkungen von PBM im Gehirn.

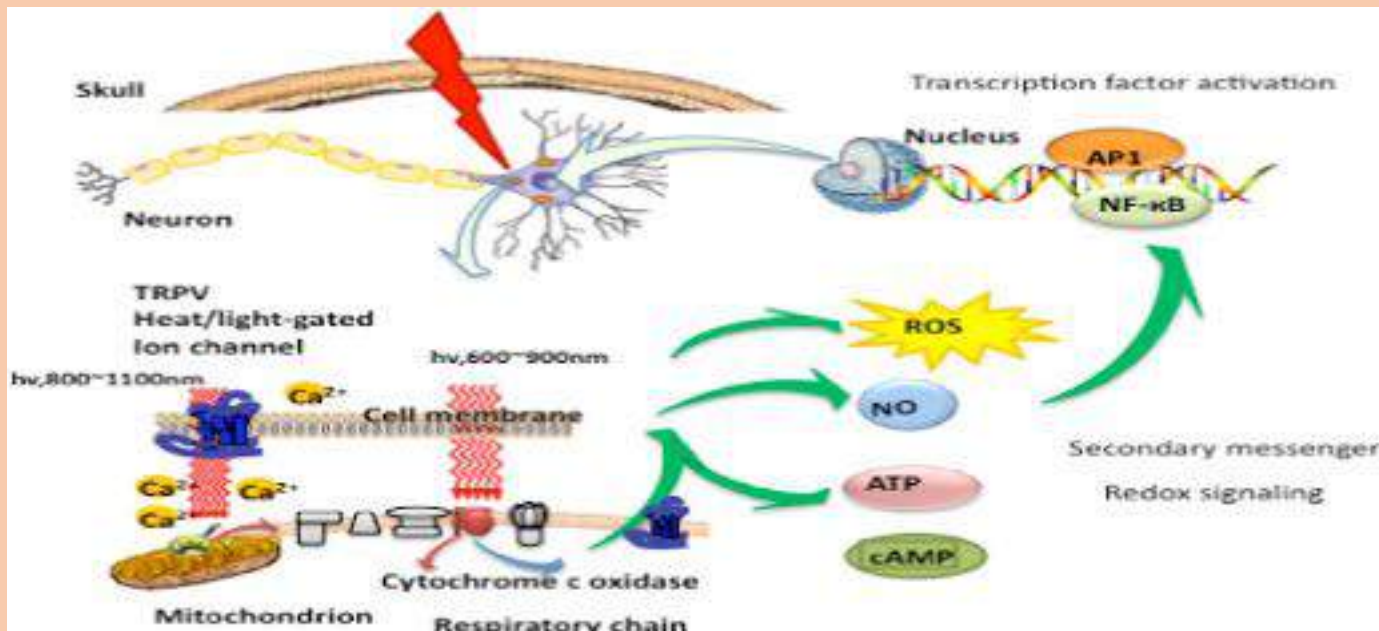


Abb. 3: Molekulare und intrazelluläre Mechanismen von transkraniellen Low-Level-Lasern (Licht) oder Photobiomodulation. AP1, Aktivatorprotein 1; ATP, Adenosintriphosphat; Ca^{2+} , Calciumionen; cAMP cyclisches Adenosinmonophosphat; NF-κB, Nuklearfaktor Kappa B; NO, Stickoxid; ROS, reaktive Sauerstoffspezies; TRPV, transientes Rezeptorpotential Vanilloid.

Es können verschiedenste Prozesse ablaufen, von denen eine Vielzahl von Erkrankungen des Gehirns profitieren können. Diese Prozesse können in

1. kurzfristige Stimulation (**ATP, Blutfluss, Lymphfluss, zerebrale Oxygenierung, weniger Ödem**) unterteilt werden.
2. Eine andere Gruppe von Prozessen dreht sich um **Neuroprotektion** (Hochregulierung anti-apoptotischer Proteine, weniger Excitotoxizität, mehr Antioxidationsmittel, weniger Entzündungen).
3. Schließlich eine Gruppe von Prozessen, die unter "**Hilfe zur Heilung des Gehirns**" zusammengefasst werden können (Neurotrophine, **Neurogenese und Synaptogenese**).

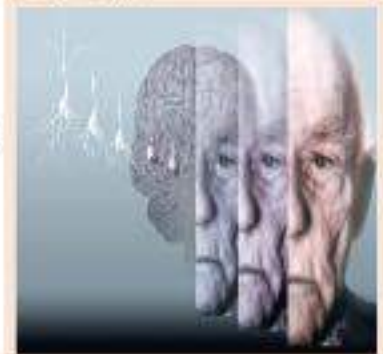
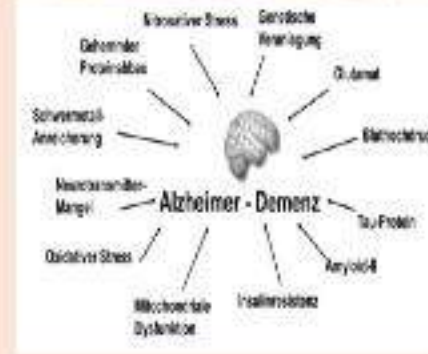
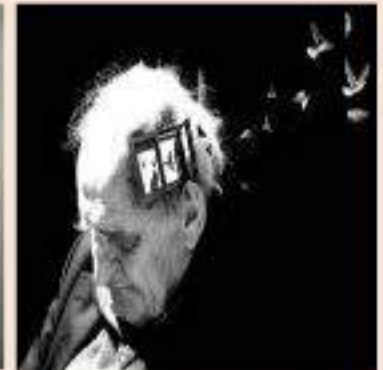
Darstellung der wichtigsten neurologischen Erkrankungen der Zukunft. Nach Recherchen und Studien des Arzte und Neurobiologen Dr. Klinghardt ist allein durch die vermehrte

Aluminiumapplikation über Chemtrials, Trinkwasser, Impfungen derzeit eine **660 % Steigerung dieser Erkrankung in den letzten 5 Jahren eingetreten**. Nach Untersuchungen der Luft in Seattle und in Bayern ergaben sich 7000 -fach verstärkte Werte des hochgradig neurotoxischen

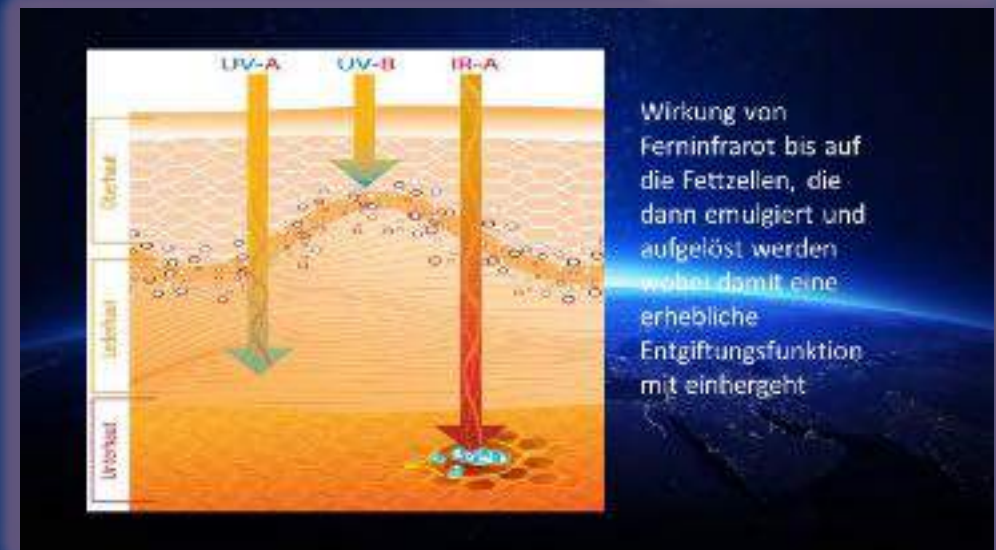
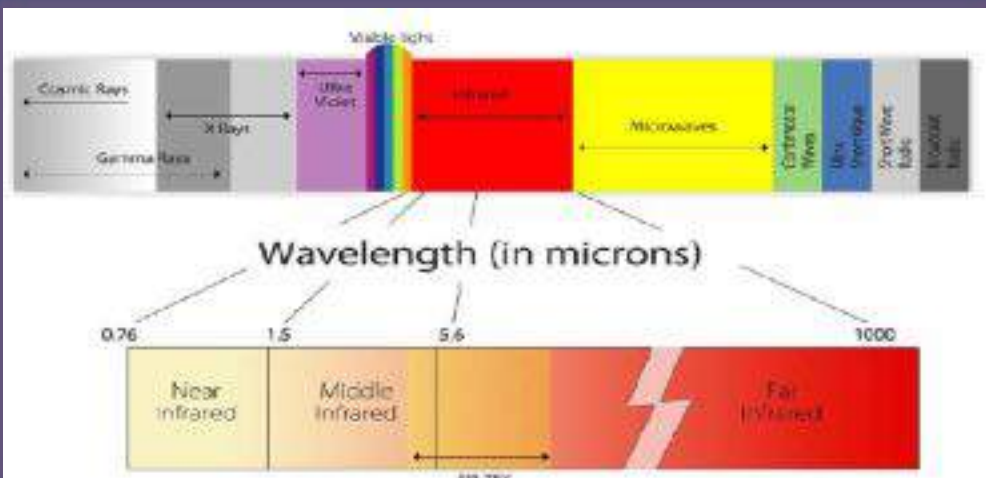
Elementes **Aluminium**. Neben entsprechenden Entgiftungsmassnahmen durch **Zeolithe, Chlorella, Koriandertinkturen, Tamarinde**, Ionenfussbädern im Rahmen der Detoxifikation mit ausreichender zur Loslösung von **Schwermetallen Mineraliengaben** aus zellulären Bindungen, Selen und Zink u.a. erscheint eine häufige Stimulation mit dem Magic-Pen an beschriebenen Körperorten sinnvoll.

Die Auswirkungen der Photobiomodulation (PBM) auf die Krankheiten

- Darüber hinaus ist es allgemein anerkannt, dass Demenz, Alzheimer- und Parkinson-Erkrankungen mit zunehmender Alterung der Allgemeinbevölkerung und immer länger werdender Lebenszeit zu einem globalen Gesundheitsproblem werden.



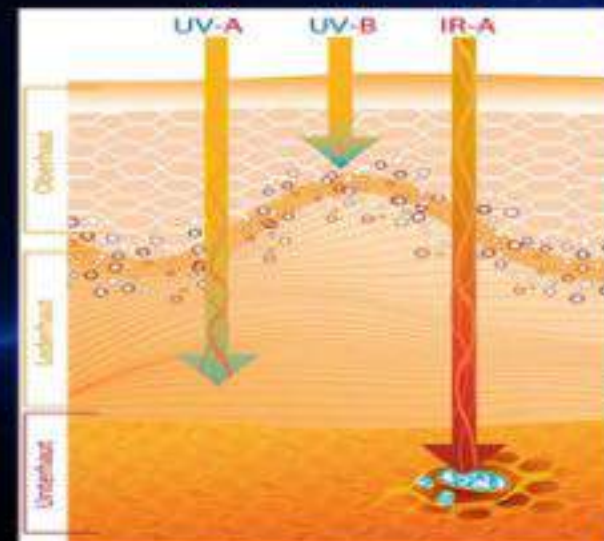
13. Die Verjüngende und Heilende Wirkung von Ferninfrarotlicht



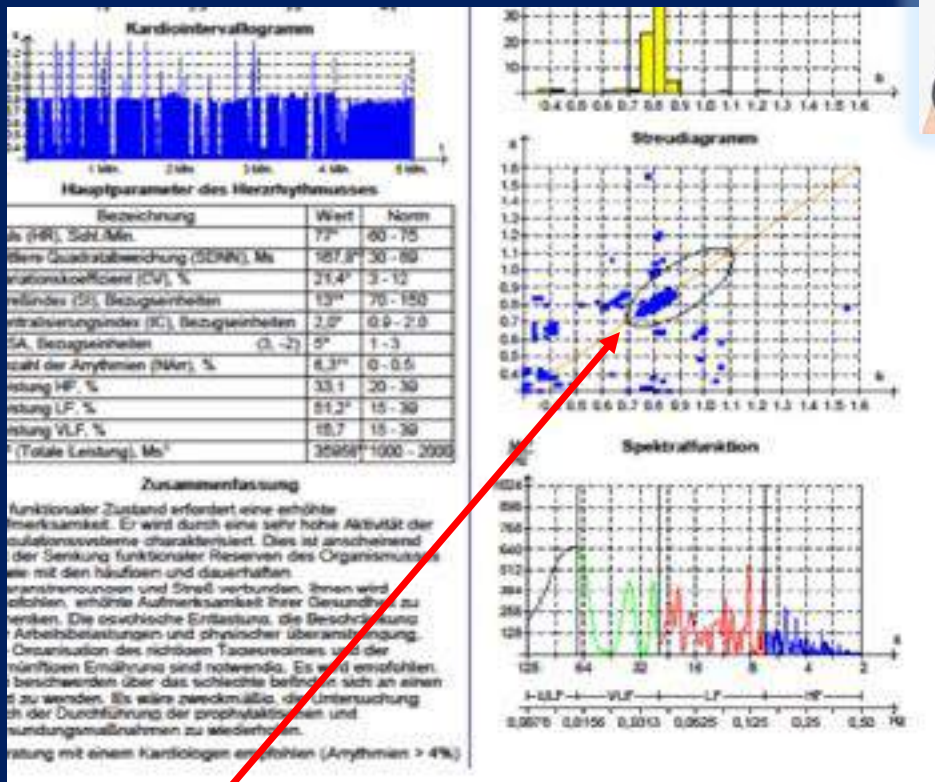
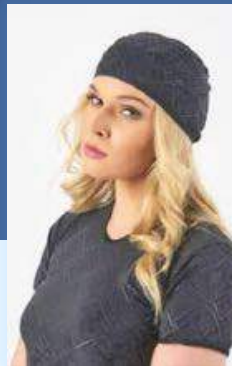
Wirkung von Ferninfrarot bis auf die Fettzellen, die dann emulgiert und aufgelöst werden wobei damit eine erhebliche Entgiftungsfunktion mit einhergeht

Verjüngende und Heilende Wirkung von Ferninfrarotlicht

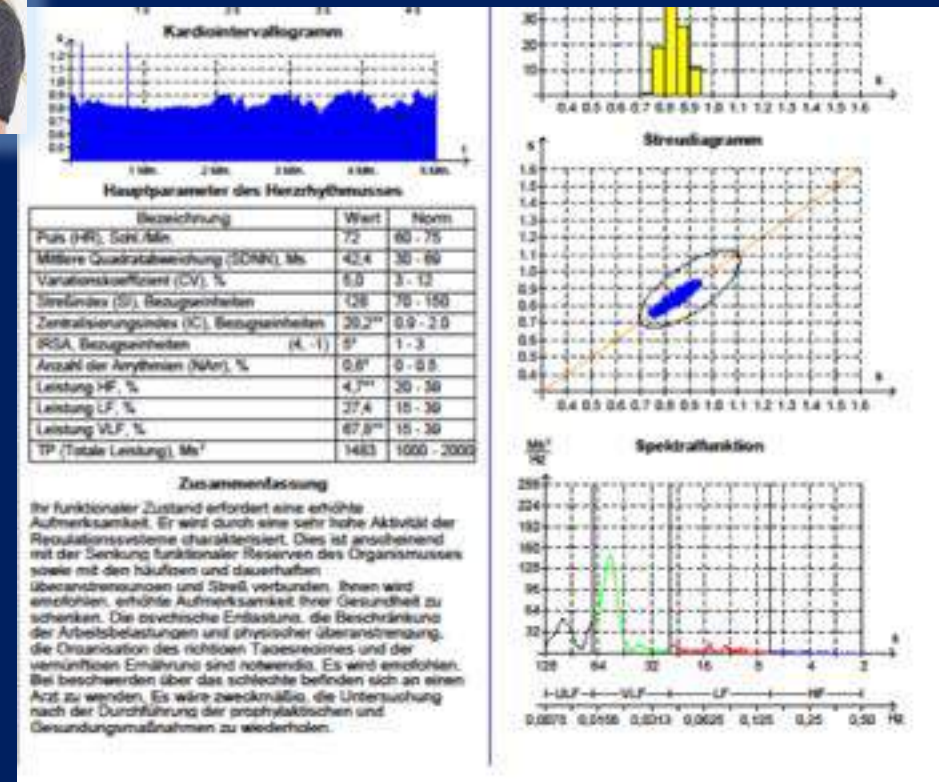
Development NASA, Japan, Russia:
Micro particles of bio ceramic powder create corporal resonance with long-wave infrared radiation, emission in the range of 9.3 to 9.53 micrometers (wave length of DNA). They activate the **DNA, microcirculation, the pineal gland** and induce the **brain hormones** for an increase in cognitive performance, especially memory. There are enormous effects, even in the case of **Alzheimer's disease, stroke and sleep disorders** by reducing lipid peroxidation, **vascular processes**, e.g. **arterial hypertension, pain reduction, anti-tumour effects** by direct activation of the immunoglobulin, **general regeneration of all types of tissue.**



Wirkung von Ferninfrarot bis auf die Fettzellen, die dann emulgiert und aufgelöst werden wobei damit eine erhebliche Entgiftungsfunktion mit einhergeht



55 year-old businessman who had suffered from severe Arrhythmia for years (arrhythmia index 6.2 !). Before treatment with the Bandana



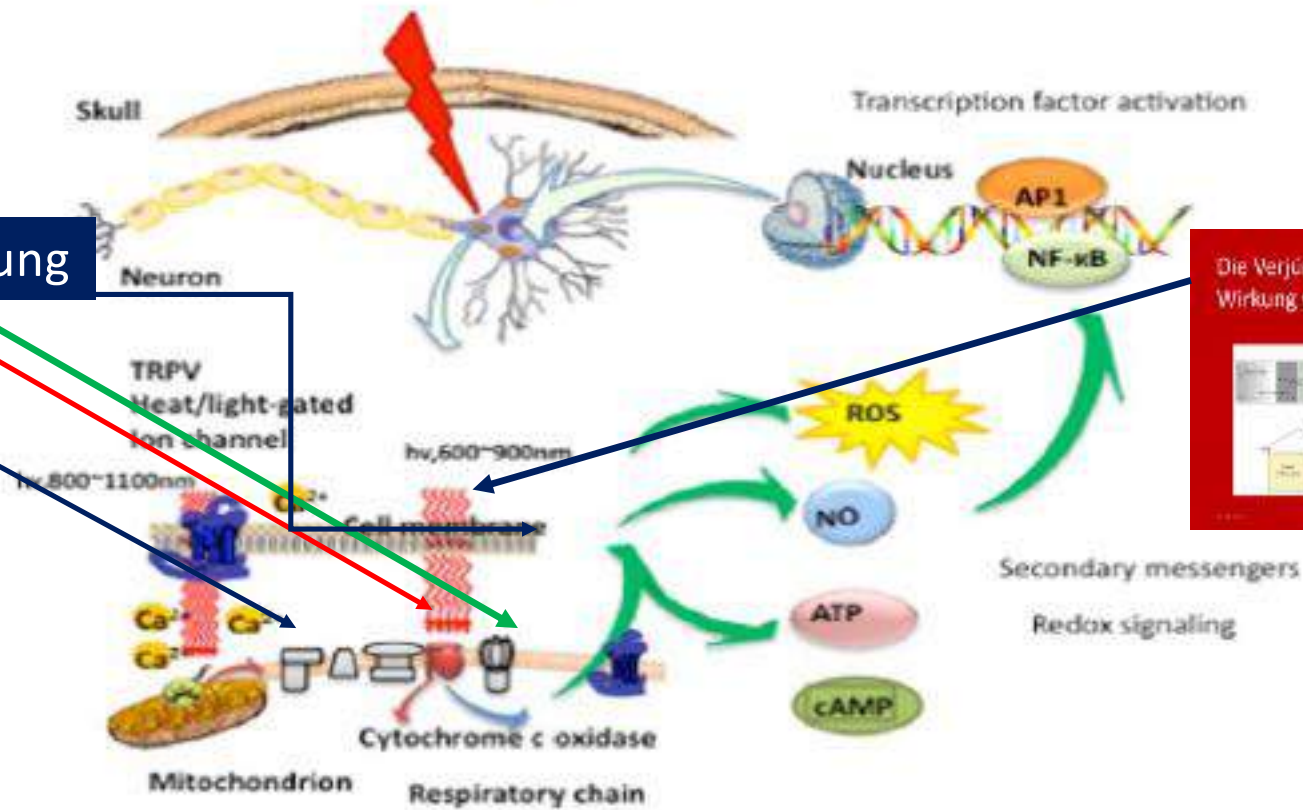
After just 15 minutes of treatment with the Bandana there is a normal heart rhythm (arrhythmia index 0.0) and complete circulatory synchronisation!

Ferninfrarot-Strahlung (FIR) und Melatonin korrigieren Mitochondrien und DNA und Verjüngen

M.R. Hamblin / BBA Clinical 6 (2016) 113–124

115

Melatoninwirkung



Die Verjüngende und Heilende Wirkung von Ferninfrarotlicht

Fig. 1. Molecular and intracellular mechanisms of transcranial low level laser (light) or photobiomodulation. AP1, activator protein 1; ATP, adenosine triphosphate; Ca²⁺, calcium ions; cAMP, cyclic adenosine monophosphate; NF-κB, nuclear factor kappa B; NO, nitric oxide; ROS, reactive oxygen species; TRPV, transient receptor potential vanilloid.

Ferninfrarot-Strahlung (FIR)

VOM WELTRAUM
IN DIE
MEDIZINISCHE
PRAXIS



Lewis Madison Terman (January 15, 1877 – December 21, 1956)

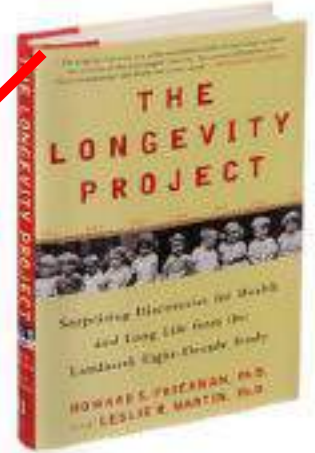
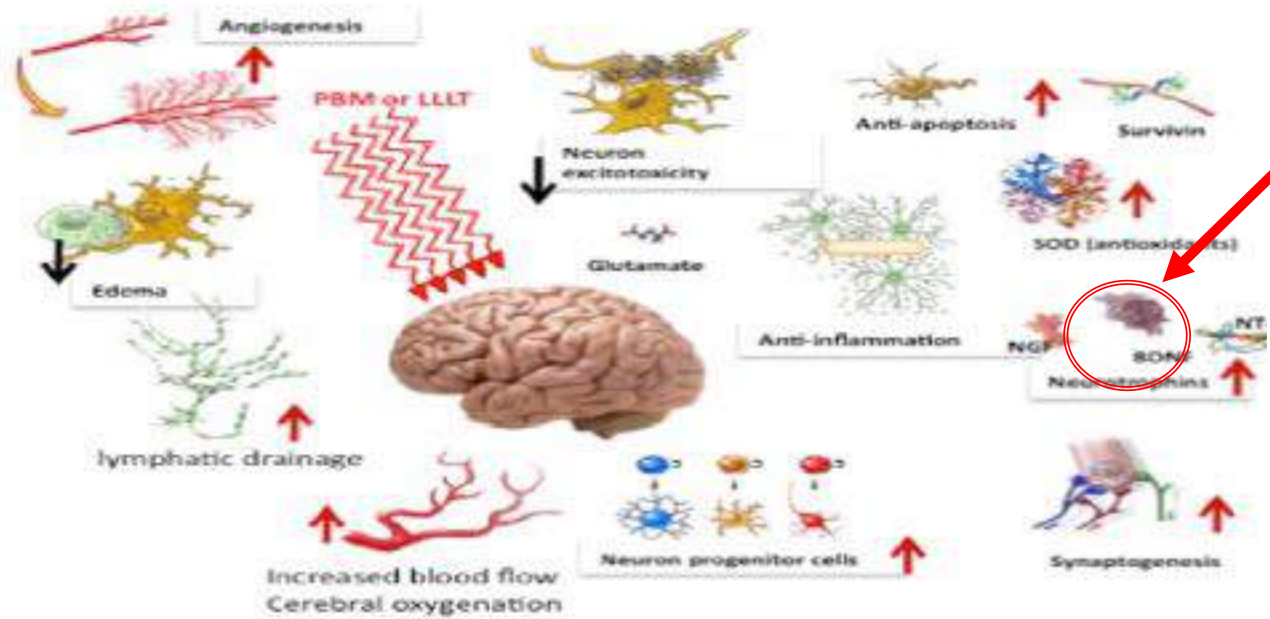


Fig. 2. Tissue-specific processes that occur after PBM and benefit a range of brain disorders. BDNF, brain-derived neurotrophic factor; LLLT, low level light therapy; NGF, nerve growth factor; NT-3, neurotrophin-3; PBM, photobiomodulation; SOD, superoxide dismutase.

Table 2
List of brain disorders that may in principle be treated by tPBM.

Type of brain disorder			
Traumatic	Neurodegenerative	Psychiatric	Neurodevelopmental
Acute stroke	Alzheimer's disease	Depression (major, bipolar, suicidal ideation)	Autism (autism spectrum disorder)
Chronic stroke	Parkinson's disease	Psychosis (schizophrenia)	Attention deficit hyperactivity disorder (ADHD)
Acute TBI	Other dementias (vascular, Lewy bodies, frontotemporal)	Post traumatic stress disorder (PTSD)	
Chronic TBI	Chronic traumatic encephalopathy	Addiction	
Global ischemia	Amyotrophic lateral sclerosis (Lou Gehrig's disease)	Insomnia	
Coma (vegetative state)	Primary progressive aphasia		
Birth trauma (neonatal stroke)	Prion diseases (Creutzfeldt-Jakob)		
"Chemo-brain"	Huntington's disease		

14. Die Kolganov Kugel

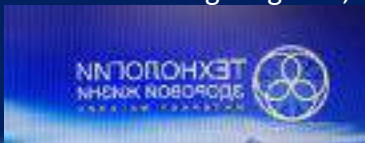


Durch Dr. Selichev und Dr. Kolganov wurden wirksame Instrumente entwickelt, die helfen, die gefährliche Strahlung zu harmonisieren.

Die Kombination aus Orgon-Modul gekoppelt mit einem offenen Schwingkreis ermöglicht den Aufbau eines starken negentropischen – also den Körper aufbauenden – Feldes durch Erzeugung **rechtsdrehender Torsionswellen**.



Dr. ing. Vladimir Selichev und Dr med. Oleg Kolganov, Moskau

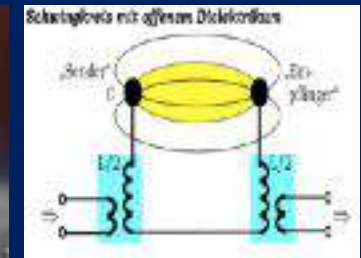


Kombination aus Orgon ->Modul und Tesla Kraft (offener Schwingkreis) kombiniert in exakten „heiliger Geometrischen Formeln“ – Erzeugung rechtsdrehender Torsionswellen!!



Wilhelm Reich (* 24. März 1897 in Dobzau, Galizien, Österreich-Ungarn; † 3. November 1957 in Lewisburg, Pennsylvania, USA^[1]) war ein österreichisch-US-amerikanischer Arzt, Psychiater, Psychoanalytiker, Sexualforscher und Soziologe. Reich fand Zusammenhänge zwischen psychischen und muskulären Panzerungen und entwickelte die Therapiemethode der Psychoanalyse zur Charakteranalyse und diese zur Vegetotherapie weiter. Letztere gilt als Grundlage für verschiedene später begründete Körperpsychotherapien. Seine parallel dazu durchgeführten mikrobiologischen Forschungen („Bione“) führten ihn zur „Entdeckung des Orgons“,^[2] einer „primordialen“ Energie, deren Existenz außerhalb von Reichs Schülerkreis nicht anerkannt wurde

Der Aufbau auf Dr. Reich's Erkenntnissen wurde festgestellt, daß eine sehr starke Konzentration von Orgon-Energie erreicht werden kann, indem man kleine Metallteilchen in organischem Harz, wie z.B. Epoxid- oder Polyesterharz, einlagert. Diese Mischung aus Harz und Metall !Paramagnetischer Teil bekam den klangvollen Namen Orgonit.



[es zu einer "magischen" Komponente unserer Orgongeneratoren werden lassen.

Diamagnetischer Teil!

Es ist organisch - das bedeutet in diesem Zusammenhang auf Basis von Kohlenwasserstoffen - besitzt eine ziemlich hohe Dichte und hat eine kristalline Struktur. Nach dem Aushärten ist es relativ unempfindlich gegen Druck und Temperatur, es ist UV-beständig, nicht wasserlöslich und gibt keinerlei chemische Stoffe mehr ab.

Durch die Einlagerung von Metallteilchen in Harz werden zwei Arten von Materie mit völlig gegensätzlichen Eigenschaften auf engstem Raum miteinander verbunden. Hierbei ist die Gesetzmäßigkeit der Dualität, der absoluten Gegensätze, sehr gut zu erkennen.

Paramagnetismus und Diamagnetismus

Nach einer Nahtoderfahrung anlässlich eines Autounfalles hatte der Entwickler, **Dr. Kolganov**, auch Elektroingenieur, die rettende Idee,

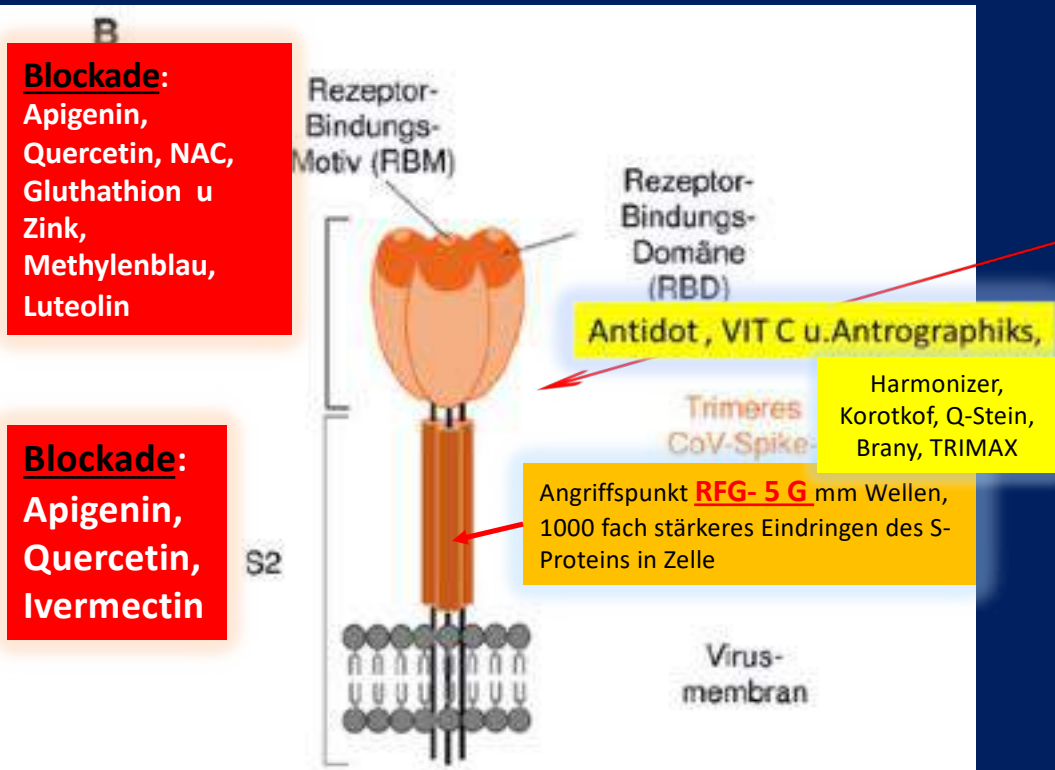
Teslafunktionen mit offenem Schwingkreis und diamagnetischen antreibenden Eigenschaften der Reichtechnik zu kombinieren.

1. Neben der den **Elektrosmog neutralisierenden** Raumkugel (die Kleine Kugel neutralisiert etwa 200 m², die Doppelte Kugel zwischen 500 und 700 m²) wurden Elemente
2. Die Kombination der **para- und diamagnetischen** Eigenschaften erzeugt stabilisierende und **antreibende Wirkung** sozusagen aller Körpersäfte sowie der Weißen (Immun- und Fresszellen) und roten Blutkörperchen.
3. Zudem wird der Riesenkristall DNA durch die starke Resonanzwirkung des Kristalles der Untereinheiten der Kugel, die entsprechend einer heiligen **Geometrischen Formel zusätzlich aufgebaut werden (ziehen ähnlich wie der Brain-Y Chip Energie aus dem Quanten Vakuum)**, in eine höhere **Schwingung transformiert**.
4. Daher wirkt die Kolganov-Kugel nicht nur **Elektrosmog- und Currygitter- oder Hartmanngitter bzw. Wasseradern- neutralisierend** sondern auch indirekt auf das von Reich bereits in den 50 er Jahren beschriebene DOR, d.h. die linksherum drehenden pathologischen Photonenkreise /verkehrt drehende Torsionswellen werden nach **rechts lebenserhaltend und lebensschaffend gedreht**
5. Er wirkt also ähnlich wie der Quanten-Energie-Stein zusätzlich **negentropisch /gesundheitsfördernd) auf seine Umgebung und den Körper. Nach Erfahrungsberichten scheint er auch harmonisierend insgesamt auf Pflanzen, Tiere und Menschen zu wirken,**
6. zum Amüsement gereicht die immer wieder geäußerte Feststellung, dass nach jahrelang Latenz dem Besitzer der Kolganov-Kugel seitens des Nachbarn wieder begrüßt wird.



die Kolganov-Kugel kann auch den Reichschen DOR- Effekt (verkehrte Information tragende Photonen oder linksdrehende Torsionsfelder, die entropisch vernichtend wirken) neutralisieren. So kommt es zu erheblichen Wachstumsreizen in **Tierzuchten** oder zu einer erstaunlicherweise **nicht** mehr nachweisbaren Adrenalin- und Cortison Ansammlung bei ursprünglich durch die Anfahrt gestressten **Schlachttieren** oder zum Nachlassen von Ratten und Ungeziefer im Wirkungsbereich der Kolganov-Kugel. Restaurants und Hotels berichten von erheblichen **Zuwachsraten an freundlicher Kundschaft**, ebenso Theater und Kinos in Russland. Typisch ist auch das Mitführen von Kolganov-Kugeln zur Harmonisierung des **Straßenverkehrs im Auto** bzw. zur Reduktion von **Elektrosmog im Kfz** oder in Hotels, Bahnen oder Flugzeugen. Darüber hinaus wird die Kugel auch **in Krankenhäusern** in Russland zur schnelleren Wundheilung und Erholung eingesetzt.

15. Der biochemische Aspekt oder die gewaltig schädliche Rolle des Spike-Proteins



Blockade:
 Apigenin,
 Quercetin, NAC,
 Gluthathion u
 Zink,
 Methylenblau,
 Luteolin

Blockade:
 Apigenin,
 Quercetin,
 Ivermectin

Abb. 3: Struktur und funktionelle Domänen des SARS-CoV-2-Spikeproteins(A) Das SARS-CoV-2-Spike besteht aus einer S1- und einer S2-Region, wobei S1 die mit

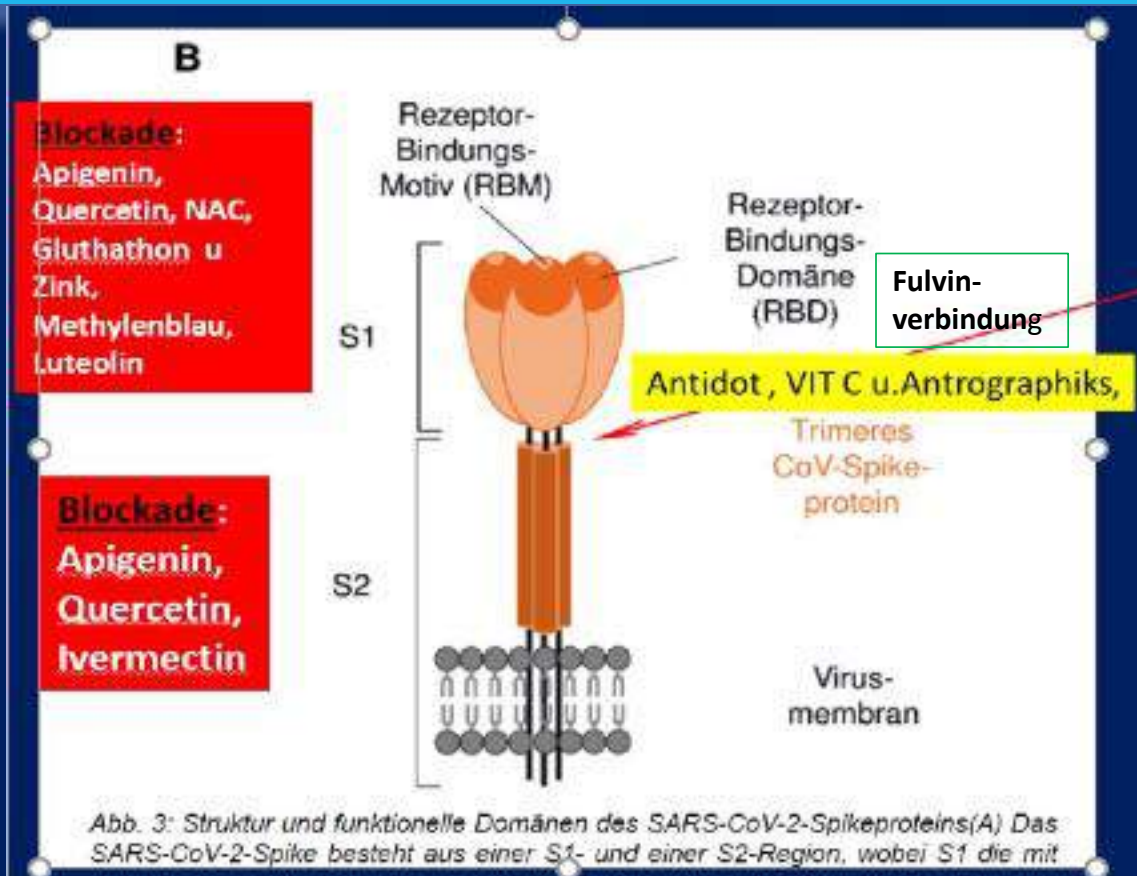
Das **S-Vorläuferprotein von SARS-CoV-2** wird in die Untereinheiten **S1** (685 Aminosäuren) und **S2** (588 Aminosäuren) gespalten. Das S-Protein enthält eine **Furin-Spaltstelle** an der Grenze zwischen den S1/S2-Untereinheiten. Es wurde gezeigt, dass das SARS-CoV-2-Virus die Transmembranprotease Serin 2 (**TMPRSS2**) für das S-Protein-Priming einsetzt, und es wird spekuliert, dass die Furin-vermittelte Spaltung an der S1/S2-Stelle in infizierten Zellen den anschließenden TMPRSS2-abhängigen Eintritt in die Zielzellen fördern könnte.

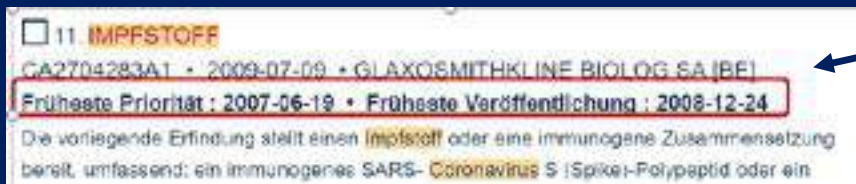
1. Die **S1-Untereinheit** besitzt die Rezeptor-Bindungsdomäne (**RBD**), die den Eintritt dieses Virus in empfängliche Zellen über die Peptidase-Domäne des **Wirts ACE2** mit hoher Affinität ($K_d = 15 \text{ nM}$) vermittelt.
2. **Das S2-Protein**, von dem berichtet wird, dass es gut konserviert ist und 99 % Identität mit dem Fledermaus-Coronavirus zeigt, ist für die **Membranfusion** verantwortlich+-. Die proteolytische Spaltung des S-Glykoproteins wird ebenfalls als wichtiger Faktor angesehen, der bestimmen kann, ob das Virus speziesübergreifend sein kann. Dieser Spaltungsschritt könnte ein Ziel für die Blockierung der zoonotischen Coronavirus-Übertragung darstellen.

Biochemische Aspekte zur Verhinderung der Anlagerung und Verbreitung der S- Proteine

1. Besetzen des Spikeprotein-komplexes, z. B. durch NAC; Gluthathon; Apigenin und Luteolin, teilweise Quercetin, Methylenblau, Brunella vulgaris
2. Verhindern des Ankoppelns des Spikeproteins an die ACE- Rezeptoren in den Gefäßen der Lunge, Niere, Darm, Leber und im gesamten Körper. (Apigenin, Luteolin, Quercetin, Methylenblau, Nac, Gluthathion)
3. die Verhinderung des Ablösens der Spike-Proteinfläche vom Spikeprotein (Quercetin Apigenin)
4. Verhinderung der Transkription, dh. des Ablesens der S- Protein information in der Zelle (Quercetin Apigenin)
5. die Verhinderung der Translation des S-Proteins
6. Verhinderung der Vermehrung der S-Proteine auch über Exosomen (Vitamin c, Vit D, Arginin)
7. die Verhinderung des verheerenden Cytokinstorms in der Zelle durch Apigenin, n-Acetylcystein, L- Gluthation, Arginin und in der Zelle durch Melatonin

Biochemischer Aspekt, v.a. Abkoppeln des Spike- Proteins





PATENT SPIKE PROTEIN
2007

Produktinformationen "SARS-CoV-2 (2019-nCoV) Spike S1 Protein (RBD) mit His-Tag"

SARS-CoV-2 (2019-nCoV) Spike S1 Protein (**RBD = receptor binding domain**): Das SARS-CoV-Virusgenom codiert ein **Spike-Protein, ein Hüllprotein, ein Eintritts-Membranprotein und ein Nukleoprotein**. Von diesen Proteinen ist das **Spike (S) -Glykoprotein für die Bindung des Virus an die Wirtszelle und die Membranfusion zu Beginn des Infektionsprozesses essentiell und wird daher für den Viruseintritt und das Zellinnere unbedingt benötigt**.

Das Spike-Protein ist auch ein **Hauptimmunogen** und ein mögliches Ziel für Inhibitoren. Besonders hervorzuheben ist dabei die **Aminosäuresequenz: Arg-Gly-Asp (RGD) in** Position 403-405 des Spike-Proteins. **Diese 3 Aminosäuren sind in allen bekannten SARS-Co-2-Sequenzen hinweg konserviert**, nicht jedoch in anderen Coronavire Rekombinantes Protein der Rezeptorbindungsdomäne (RBD) von SARS-CoV-2 (COVID-19) Spike S1 aus dem Wuhan-Pneumonie-Virus mit C-terminalem His-Tag, flüssige Formulierung.

Ausserhalb von SARS-CoV-2 kommt die **RGD-Sequenz besonders in Proteinen der Extrazellulären Matrix (Bindegewebe) vor, beispielsweise in Fibronektin und Vitronektin**. Dadurch können Zellen mit Hilfe von bestimmten Zelloberflächen-Rezeptoren, den Integrinen, an die RGD-Sequenz binden. Neben den SARS-CoV-2-Viren benutzen auch schon länger bekannte Viren, wie **HMPV, HCV oder EBV das RGD, um in die Zelle einzudringen**.

Das SARS-CoV-2-Spike (S)-Protein ist ein großes Typ I-Transmembranprotein, das aus zwei Untereinheiten, **S1 und S2, besteht**.

- Die S1-Untereinheit enthält eine **Rezeptorbindungsdomäne (RBD)**, die für die Bindung an das Angiotensin-konvertierende Enzym 2 (**ACE2**) des Wirtszellrezeptors verantwortlich ist.
- Die S2-Untereinheit vermittelt die **Fusion zwischen der Membran des Virus und der Wirtszelle**.
- Das **S1-RBD-Protein spielt eine Schlüsselrolle bei der Induktion von neutralisierenden Antikörper- und T-Zell-Reaktionen** sowie dem Aufbau schützender Immunität.

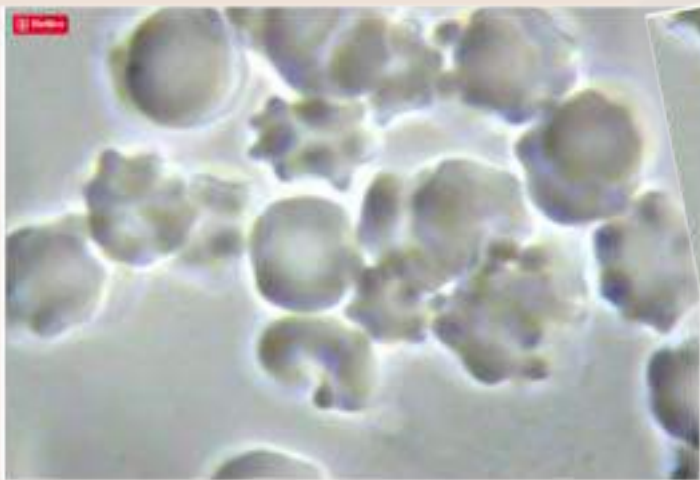
Es wurde berichtet, dass SARS-CoV-2 ACE2 als Rezeptor für den Eintritt in Zellen nutzt und die **Rezeptorbindungsdomäne (RBD) von SARS-CoV-2 eine starke Interaktion mit menschlichen ACE2-Molekülen** aufweist.

- Eine hohe ACE2-Expression wird in **Typ-II-Alveolarzellen**, in der **Speiseröhre**, in absorptiven **Enterozyten des Ileums und des Kolons** sowie in proximalen **Tubuluszellen der Niere** beobachtet
- Diese Organe gelten als besonders **gefährdet für eine SARS-CoV-2-Infektion**. In Tiermodellen wurde gezeigt, dass eine Behandlung mit Angiotensin-Converting-Enzym-Inhibitoren (ACEI) und Angiotensin-Rezeptorblockern (ARB) die **Expression von ACE2 in verschiedenen Organen erhöhen kann**. Es wurde argumentiert, dass, obwohl ACEI und ARBs in der Regel für Patienten mit kardiovaskulären und Nierenerkrankungen empfohlen werden, ihre Anwendung, insbesondere bei älteren Menschen, den Schweregrad der Symptome **einer SARS-CoV-2-Infektion erhöhen kann**



15.1 The Corona Effect' and 'Spike Protein Effect'

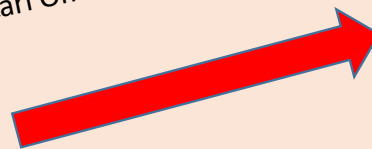
Der endogen erzeugte "Corona-Effekt" und das "Spike-Protein werden durch **chemische, parasitäre und Strahlenvergiftung** durch reduzierte Graphenoxid- und Mikrowellenstrahlung verursacht! [12] [82] [83]



[Abbildung 24 "Der Corona-Effekt" und die endogene Entstehung von **Exosomen** durch **chemische und Strahlenvergiftung** der **vaskulären und interstitiellen Flüssigkeiten des Interstitiums**. Dr. Robert O. Young, Hikari Omni Publishing, 1987 - 2021. [83]]



[Abbildung 25 zeigt "Den Corona-Effekt" und die **endogene Geburt von S1-Proteinspitzen**, die durch Strahlung und chemische Vergiftung verursacht werden, oder was ich den "Protein-Spiking-Effekt" nenne. Dr. Robert O. Young, Hikari Omni Publishing, 1987 - 2021. [83]]



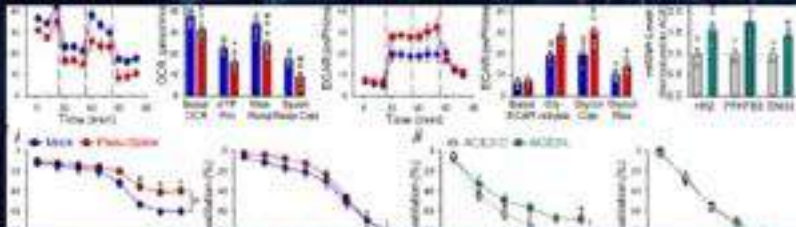
Raster- und Transmissionselektronenmikroskopie zeigt Graphenoxid in CoV-19-Impfstoffen
5. Februar 2021, Aktualisiert am 1. Oktober 2021



[Abbildung 26 Diese Mikroaufnahme zeigt die **endogene Geburt des "Spike-Proteins"** als Ausfektion und NICHT Infektion! Dr. Robert O. Young, Hikari Omni Publishing, 1987 - 2021, [83]]

Die Abbildungen 24 und 25 oben zeigen "**The CORONA EFFECT**" auf die roten **Blutkörperchen** mit Abbildung 26 und 26a bis d mit "The SPIKED PROTEIN EFFECT" sowohl verursacht durch **dekompensierte Azidose** der interstitiellen und dann **vaskulären Flüssigkeiten** aus einem sauren Lebensstil und insbesondere **Exposition gegenüber toxischen pulsierenden elektromagnetischen Feldern bei 2,4 GHz oder höher**, chemische Vergiftung durch die Nahrung und Wasser aufgenommen, **toxische saure Luftverschmutzung**, Chem-Trails und um das Ganze abzurunden, eine **nanopartikelhaltige Chemikalie beladen CoV - 19 Impfung von Graphen und Eisenoxid!** [12] [82]

SARS-CoV-2 Spike Protein Impairs Endothelial Function via Downregulation of ACE 2



Ser-1176 indicated impaired eNOS activity. These changes of pACE2, ACE2, MDM2 expression, and AMPK activity in endothelium were recapitulated by in vitro experiments using pulmonary arterial ECs infected with Pseu-Spike which was rescued by treatment with N-acetyl-L-cysteine, a reactive oxygen species inhibitor (Figure [B], ii).

DIE STUDIE ZEIGT NICHT KAUSAL, DASS ES AM GLUTATHION LIEGT, DA MAN DEN GLUTATHIONSPIEGEL LEIDER NICHT GEMESSEN HAT. MEINE PERSÖNLICHE EINSCHÄTZUNG IST ABER KLAR: SUPEROXIDRADIKAL E UND WASSERSTOFFPEROXID SIND DAS HAUPTPROBLEM UND DIE GLUTATHIONPEROXIDASE SPIELT DORT

DIE ENTSCHEIDENDE ROLLE!

15.2 Das tödliche Spike Protein und Lösungen dagegen

DAS Spike Protein von SARS-COV- 2

<https://www.ahajournals.org/doi/full/10.1161/CIRCRESAHA.121.318902>

SARS-CoV-2 Spike Protein Impairs Endothelial Function via Downregulation of ACE 2

Yiyang Lei, Jian Zhang, Cao R. Schläpfer, Bing He, Li Chen, Hui Shen, Yuli Zhang, Qian Yin, Yusitaku Cho, Leonardo Andrade, Gerald S. Staudt, Mark Hapanoski, Ting Lei, Hongfang Wang, ... [See all authors](#)

Originally published 31 Mar 2021
<https://doi.org/10.1161/CIRCRESAHA.121.318902>
 Circulation Research. 2021;128:1325-1336

[is related to](#)

mitochondriale Funktion.

Konfokale Bilder von ECs, die mit S1-Protein behandelt wurden, zeigten eine erhöhte mitochondriale Fragmentierung, was auf eine veränderte mitochondriale Dynamik hinweist

Es zeigt, dass das S-Protein allein das Endothel schädigen kann, was sich in einer beeinträchtigten mitochondrialen Funktion und eNOS-Aktivität, aber einer erhöhten Glykolyse manifestiert.

Es scheint, dass das S-Protein in Ecs (Endothelzellen) den Redox-Stress erhöht, was zu einer Deaktivierung von AMPK, einer Hochregulierung von MDM2 (damit wird vermindert P53 sezerniert, also vermehrte Tumorbildung!!) und letztlich zu einer Destabilisierung von ACE2 führen kann.

Loesungen gegen S-Protein

Therapie:

- NAC und Gluthathion mit Zink (Blockade der Andockung des S-Proteins an den ACE-Rezeptor)
- Melatonin u Vit C (Blockieren das NLP3-Inflammasoms, das den tödlichen Zytokin Sturm

Melatonin was shown to inhibit NLRP-3 inflammasomes in mice with myocardial septic conditions, transforming severe myocardial inflammation into milder symptoms, preventing cardiac failure, and significantly enhanced survival rates of septic mice (Melatonin administration to wild-type mice and nontreated NLRP3 mutant mice share similar inhibition of the inflammatory response during sepsis – Rahim – 2017 – Journal of Pineal Research – Wiley Online Library <https://onlinelibrary.wiley.com/doi/abs/10.1111/jpi.12419>

Melatonin attenuates sepsis-induced cardiac dysfunction via a PI3K/Akt-dependent mechanism | SpringerLink <https://link.springer.com/article/10.1007/s12033-015-0525-1>

- NO aus Arginin, erhöht durch TIAMAT /ERBSENPROTEIN 30mg –sachets
- liefern die Wirkung von 720 mg Arginine),
- dadurch werden die Vaporine –Kanäle, die durch Elektrosmog mit Ca-geflutet werden und das extrem neurologisch toxische Peroxyinitrit liefern, das wiederum die Cytokinkaskade ueber Inflammasome aktiviert, (Tod durch ARDS) gehemmt

Mitochondriale Funktion.

Konfokale Bilder von ECs, die mit S1-Protein behandelt wurden, zeigten eine erhöhte **mitochondriale Fragmentierung**, was auf eine veränderte mitochondriale Dynamik hinweist

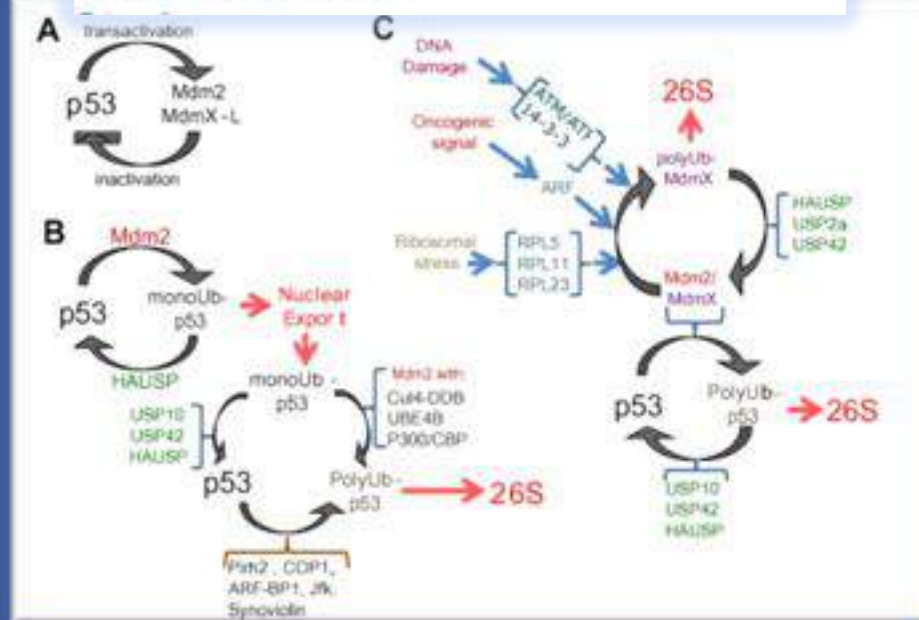
Es zeigt, dass das S-Protein allein das Endothel schädigen kann, was sich in einer beeinträchtigten **mitochondrialen Funktion und eNOS-Aktivität**, aber einer erhöhten **Glykolyse** manifestiert.

Es scheint, dass das S-Protein in Ecs (Endothelzellen) den **Redox-Stress** erhöht, was zu einer **Deaktivierung von AMPK**, einer Hochregulierung von **MDM2** (damit wird vermindert P53 sezerniert, also **vermehrte Tumorbildung**!!) und letztlich zu einer **Destabilisierung von ACE2** führen kann.

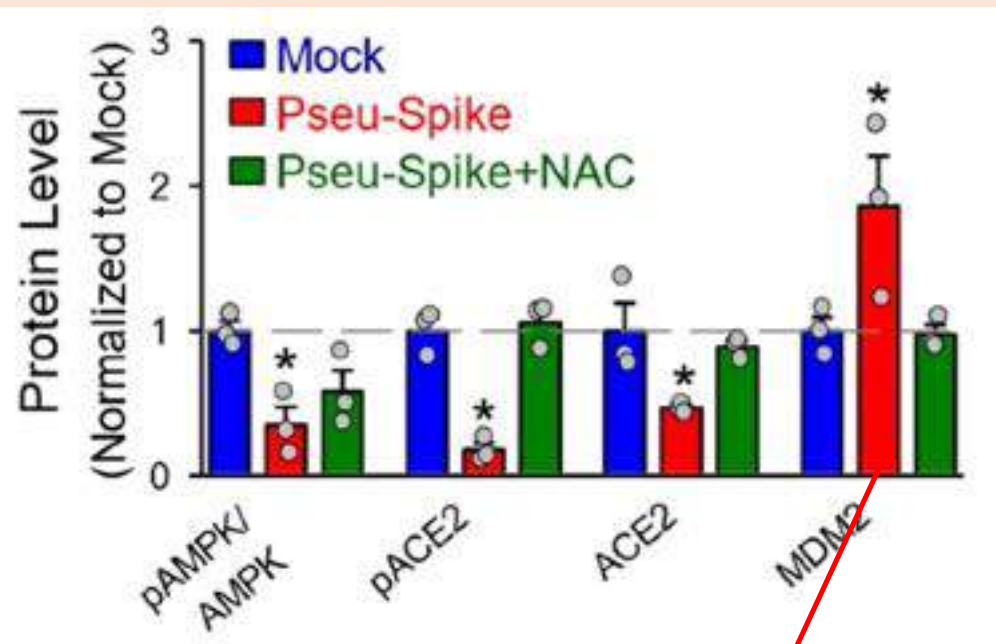
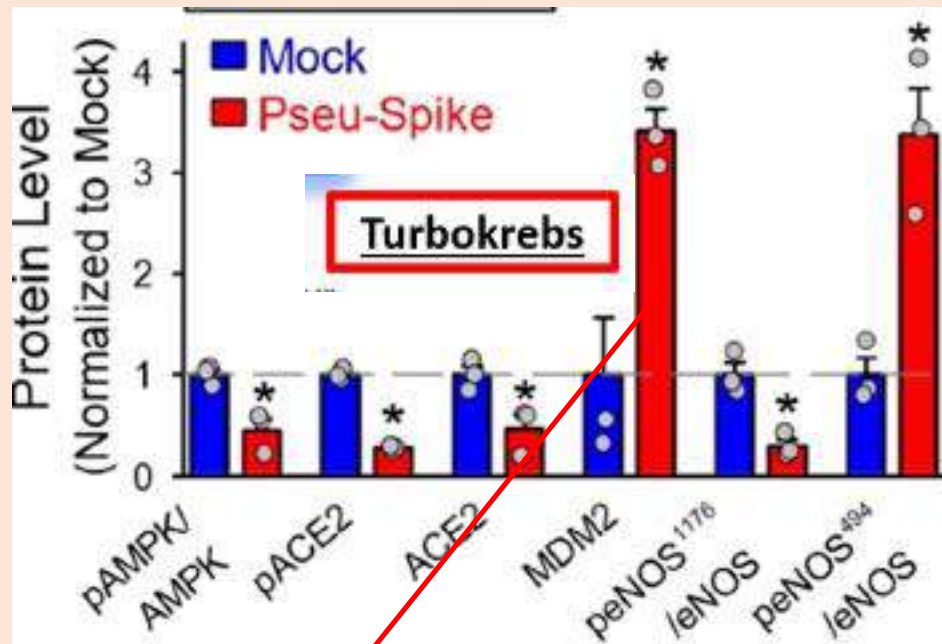
Obwohl diese Ergebnisse in einer zukünftigen Studie mit dem SARS-CoV-2-Virus bestätigt werden müssen, scheint es paradox, dass eine ACE2-Reduktion durch das S-Protein die Virusinfektiosität verringern und dadurch das Endothel schützen würde. Allerdings könnte ein dysreguliertes Renin-Angiotensin-System aufgrund der ACE2-Reduktion die endotheliale Dysfunktion verschlimmern und zu einer Endotheliitis führen. Insgesamt deuten unsere Ergebnisse darauf hin, dass die durch das **S-Protein hervorgerufene EC-Schädigung die verringerte Virusinfektiosität überlagert**.

Mdm2 und MdmX kooperieren bei der Regulierung von p53

Chen et al. (2011) Mol Cell Biol 31:1-11
Chen et al. (2011) Mol Cell Biol 31:1-11



Mdm2 und MdmX steuern die **p53**-Stabilität auf mehreren Ebenen. (A) p53 und Mdm2 bilden eine gut etablierte autoregulatorische Rückkopplungsschleife, in der p53 die **Mdm2-Gentranskription** transaktiviert und der anschließende Anstieg des Mdm2-Proteins p53 inaktiviert. Kürzlich wurde gezeigt, dass die MdmX-L-Isoform an einer ähnlichen Schleife teilnimmt. **Mdm2** p53 hauptsächlich durch **Proteinabbau** reguliert, während **MdmX p53** hauptsächlich durch **Modulation seiner Transkriptionsaktivität** reguliert



Senkung des Energielevels (AMPK) der Zellen durch Gabe von **S-Protein** **zudem steigt MDM2 an u damit verringert P53** sezerniert, also **vermehrte Tumorbildung!!**) p53 wird bei Zellstress phosphoryliert und damit weniger verbraucht u steigt an, Tumor Bildung damit erhoeht!

(B, i). Humane pulmonal-arterielle EC (PAECs) wurden mit Pseu-Spike oder Mock-Virus für 24 h mit oder **ohne N-Acetyl-L-Cystein** (NAC; 5 mmol/L) Vorbehandlung für 2 h infiziert. Die Proteinextrakte wurden mittels Western Blot mit Antikörpern gegen Proteine wie angegeben analysiert (n=4; B, ii).

Hier Zugabe von **NAC** zu Spikeproteinen:

- **NAC ist offenbar in der Lage AMPK zu normalisieren** und die Gefaesschaeden zu beseitigen! **ACE2 ist durch NAC wieder normalisiert!!** MDM2 ist ebenfalls wieder reduziert. Damit erhoeht sich der P53, **Tumorschutz steigt an!**

NAC hebt den Gluthathionspiegel, der 80% des Koerpers entgiftet u die wichtigsten Enzyme u Vitamine reduziert

15. Entwicklung von Prionen durch Spikeproteine

m RNA: **Keine** der kommerziell erhältlichen mRNA-Injektionen ist in der **synthetisch hergestellten mRNA rein und initiiert in den Ribosomen der Wirtszelle reine COVID-19-Spike-Proteine.**

Die meisten dieser **30 % nicht identifizierten, halb abgebrochenen mRNA-Moleküle** führen zur

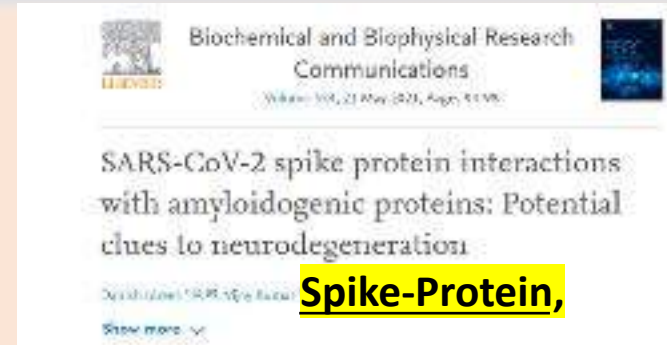
- **Herstellung von abnormalen und 100 % fremden Proteinstrukturen; einschließlich Prionen.**

Bei Tieren und Menschen dauert es einige Jahre, bis Prionen die klinische Erkrankung entwickeln, da sie in der Regel auf der Grundlage einer chronischen, degenerativen Entzündung entstehen.

Ein **Prion ist ein Protein**, das von der Zelle kodiert wird, aber entweder gutartig oder möglicherweise für den Organismus nützlich ist, daher die Erhaltung seines Gens im Genom. Selten kann es in eine **krankheitserregende oder toxische Prionenform** umgewandelt werden; der vollständige Satz von Faktoren, die eine solche Transformation verursachen, ist nicht bekannt, kann aber **physiologischen Stress** einschließen.

- **Prion bewirkt die Umwandlung anderer, gutartiger Formen des gleichen Proteins in die Prionform**, dh es vermehrt sich innerhalb des Organismus, und es ist auch auf andere Organismen oder manchmal auf eine andere Spezies **übertragbar.**

Die bekannten Säugetier-Prionen stammen aus Amyloiden und verursachen neurale Phänotypen (Tabelle 1). Insbesondere erfordert der gesamte Infektionszyklus keine matrizengerichtete Amplifikation von Nukleinsäure,



- TSE gehören Kuru,
- Creutzfeldt-Jakob-Krankheit,
- Gerstmann-Strausler-Scheinker Syndrom und
- tödliche familiäre Schlaflosigkeit beim Menschen sowie
- Scrapie.

- entsteht durch die Translation der Impfstoff-RNA,
- bindet das Angiotensin-Converting-Enzym 2 (ACE2), ein zinkhaltiges Enzym.

Diese Wechselwirkung hat das **Potenzial, das intrazelluläre Zink** zu erhöhen. Es wurde gezeigt, dass Zinkionen **die Umwandlung von TDP-43 in seine pathologische Prionkonfiguration** bewirken. Es ist bekannt, dass die Faltung

von **TDP-43 und FUS in ihre pathologischen Prionenbestätigungen Amyotrophe Lateralsklerose verursacht (ALS), Degeneration des vorderen Temporallappens, Parkinson, Jacob-Kreutzfeldt-Syndrom, Alzheimer-Krankheit und andere neurologische degenerative Erkrankungen.**

Die RNA-Sequenz des Impfstoffes von Pfizer sowie dessen Spike-Protein- Target- Interaktion können intrazelluläre **DNA-Bindungsprotein (TDP-43) und Fused in Sarcoma (FUS)** in ihre pathologischen **Prionen-Konformationen umzuwandeln.**

15.3 Das Spike – Protein ein Biowaffe?

- Die anfängliche Bindung könnte zwischen **Spike-Proteinen auf der Oberfläche der durch den Impfstoff transfizierten Zelle und ACE2 auf der Oberfläche einer benachbarten Zelle erfolgen.**

Der resultierende Komplex kann internalisiert werden.

- Alternativ könnte die Interaktion zunächst **im Zytoplasma einer Zelle stattfinden, die ACE2 produziert und mit der für das Spike-Protein kodierenden Impfstoff-RNA transfiziert wurde**

1. Die Wechselwirkung ist angesichts der **Annahme, dass das COVID-19 verursachende Virus, SARS-CoV-2, eine Biowaffe ist [10,11], ziemlich besorgniserregend** und es ist möglich, dass das virale Spike-Protein entwickelt wurde, um eine **Prionenkrankheit** zu verursachen

2. Ein weiteres Problem besteht darin, dass der Pfizer-Impfstoff ein einzigartiges **RNA-Nukleosid 1-Methyl-3'-Pseudouridyl (Ψ) verwendet.** Laut FDA-Briefing-Dokumenten wurde dieses **Nukleosid** ausgewählt, um die

Aktivierung des angeborenen Immunsystems zu reduzieren [12]. RNA-Moleküle, die dieses Nukleosid enthalten,

haben zweifellos eine **veränderte Bindung** [13].

3. Der Impfstoff platziert ein neuartiges Molekül, **das Spike-Protein, in/auf der Oberfläche von Wirtszellen. Dieses Spike-Protein ist ein potenzieller Rezeptor**

für einen anderen möglicherweise neuartigen

Infektionserreger

Wenn diejenigen, die argumentieren, dass COVID-19 tatsächlich eine **Biowaffe** ist, Recht haben, könnte ein zweites **potenziell gefährlicheres Virus freigesetzt werden, das das Spike-Protein bindet, das auf den Wirtszellen von Impfstoffempfängern gefunden wird. (MARBURGVIRUS?)**.

4. Durch die Platzierung **des identischen Rezeptors**, des Spike-Proteins, auf Zellen aller in einer Population **verschwindet die genetische Vielfalt** für mindestens einen potentiellen Rezeptor. **Keine Chance gegen Mutationen**

Jeder in der Bevölkerung wird jetzt potenziell anfällig für die Bindung mit demselben Infektionserreger.

- **Autoimmunität** und die Gegenerkrankung, das **metabolische Syndrom**, sind bekannte unerwünschte Ereignisse, die durch Impfstoffe verursacht werden [14].

- Die **DARPA** hat auch Interesse daran gezeigt, die **SARS-2CoV-Infektion zu einem Instrument für die globale Kontrolle zu** machen, indem sie die schnelle Einführung von mRNA-Impfstoffen **intensiv fördert**, die in den 2000er Jahren bei Großtieren eine schlechte Erfolgsbilanz aufweisen.

Und die **Zusammenarbeit zwischen DARPA, NIH und dem chinesischen Militär (Wuhan-Labor)** wurde in vielen Zeugenaussagen und Whistleblowern mehr als wahrscheinlich gemacht.

- Die aktuelle Dritte Welle (Frühjahr 2021) in Indien wird nicht durch eine neue Mutation verursacht, sondern tritt fast nur **bei zuvor geimpften Gesunden auf.**

Long-COVID-Syndrom-assoziiierter Hirnnebel und Chemofog: Luteolin zur Rettung

Theoharis C. Theoharides, Christos Cholevas, Konstantinos Polyzoidis, Antonios Politis

Erstmals veröffentlicht: 12. April 2021 | <https://doi.org/10.1002/blot.1726> | Zitate: 1

16. Luteolin gegen Long Covid im Gehirn

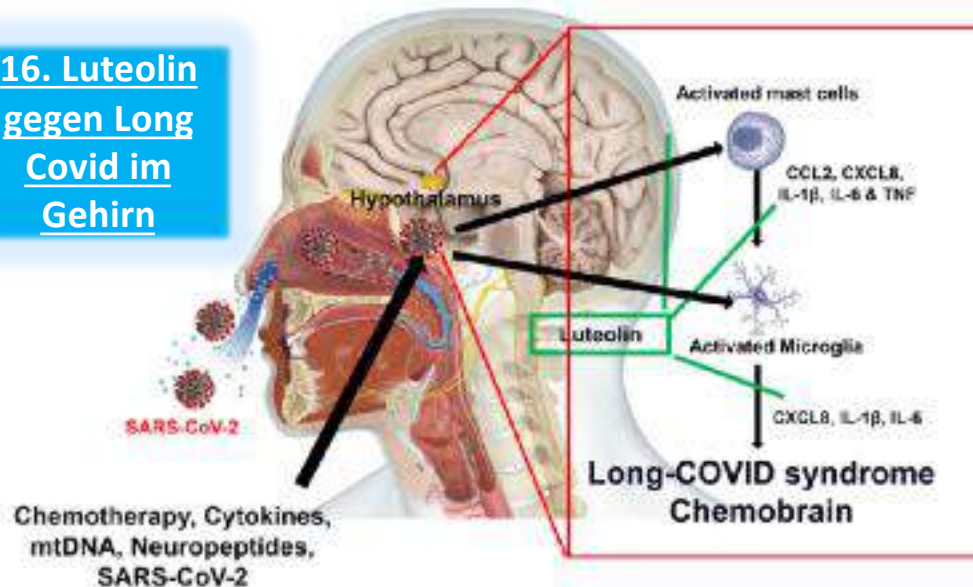


ABBILDUNG 1 Schematische Darstellung, wie SARS-CoV-2 Mastzellen und Mikroglia im Hypothalamus stimulieren könnte, gehemmt durch Luteolin. SARS-CoV-2 könnte über die Riechnervenbahn in das Gehirn eindringen und den Hypothalamus erreichen, wo es Mastzellen und Mikroglia im Gehirn zur Freisetzung entzündungsfördernder Moleküle anregen und so zu Gehirnentzündungen und Hirnnebel beitragen könnte. Die Wirkung von SARS-CoV-2 könnte durch eine Chemotherapie sowie durch Zytokine und mtDNA oder durch Neuropeptide, die bei Stress freigesetzt werden, noch verstärkt werden. Diese könnten zur Pathogenese und zu den Symptomen des Long-COVID-Syndroms und des "Chomobrain" beitragen und könnten durch das Flavonoid Luteolin verhindert werden.

Ein sinnvoller Ansatz, insbesondere bei Hirnnebel im Zusammenhang mit dem Long-COVID-Syndrom, ME/CFS, MCAS und Chemotherapie-induziertem "Chemohirn", wäre die Hemmung der Mastzell-assoziierten Neuroinflammation.³⁸ Obwohl die Hemmung von Mastzellen bei COVID-19 oder Long-COVID-Syndrom von Vorteil sein könnte, gibt es keine wirksamen Mastzellhemmer.¹³⁶ Stattdessen könnten Mastzellen mit den strukturell verwandten natürlichen Flavonoiden Luteolin und Quercetin¹³⁷⁻¹⁴¹ gehemmt werden, die leicht erhältlich sind und allgemein als sicher gelten¹⁴²⁻¹⁴⁶ (Abbildung 1).

- Beide Flavonoide haben umfassende **antivirale Eigenschaften**, hemmen das Eindringen des Virus in die Wirtszellen,^{108,147,148}
- hemmen die Neuroinflammation,¹⁴⁹ und
- verringern den kognitiven Abbau.¹⁵⁰ Darüber hinaus dringt Luteolin besser in das Gehirn ein, hemmt sowohl Mikroglia^{151,152} als auch Mastzellen^{153,154} und reduziert Berichten zufolge die Neuroinflammation^{145,155,156} und kognitive Dysfunktion^{157,158}, einschließlich der Alzheimer-Krankheit bei Menschen^{159,160} und in Tiermodellen.¹⁶¹ Luteolin und Quercetin können nach oraler Verabreichung nur schwer absorbiert werden,¹⁶² aber ihre Pharmakokinetik wird in liposomalen Zubereitungen mit Oliventresteröl erheblich verbessert.¹⁶³ Tatsächlich wurde eine Luteolin-Formulierung in Oliventresteröl (NeuroProtek®) wirksam zur Verbesserung von Autismus-Spektrum-Störungen eingesetzt,^{144,164} während eine andere (BrainGain®) Gehirnebel reduzierte.¹⁵⁷ Diese liposomalen Formulierungen verbessern nicht nur die orale Absorption und Bioverfügbarkeit, sondern bieten auch die zusätzlichen neuroprotektiven entzündungshemmenden Wirkungen

17. Die gewaltige Rolle von Bioflavonoiden, vor allem Apigenin, entgiftet 300 mal stärker als Gluthathion

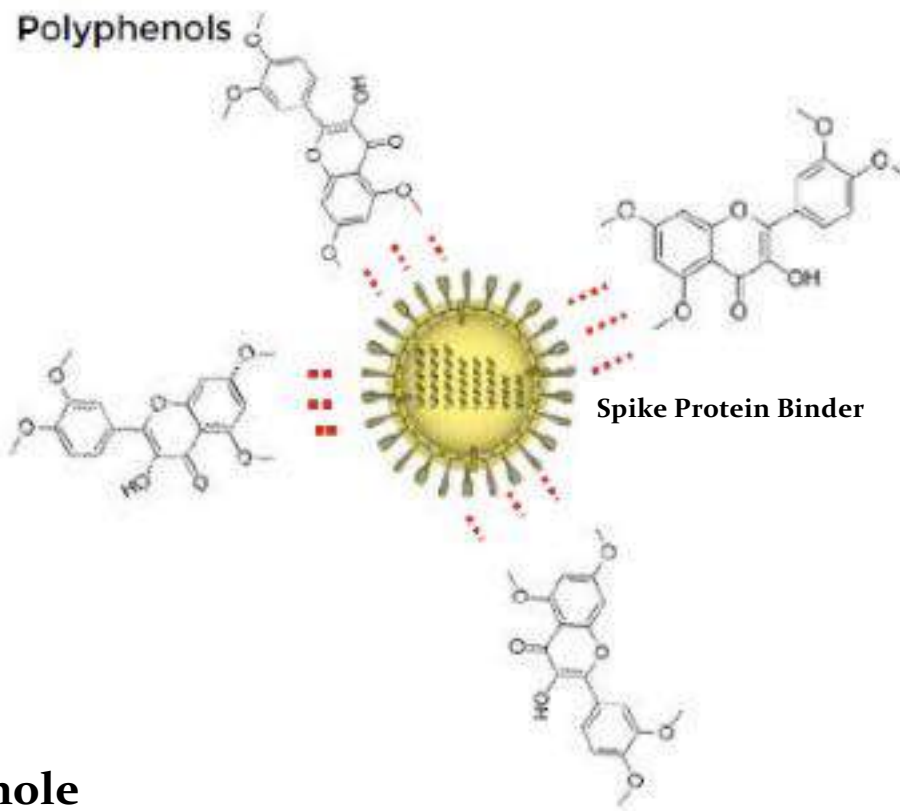
Apigenin ist in Kamille enthalten, die normalerweise als Tee getrunken wird. Es wird aus den getrockneten Blüten von *Matricaria chamomilla* gewonnen, einem einjährigen Kraut, das in Westasien und Europa beheimatet ist. Die Pflanze wurde auch eingebürgert und wächst wild in Australien und den Vereinigten Staaten.

Die Menge an Apigenin in Kamillentees variiert, wobei einige deutlich mehr Kamille enthalten als andere. Aus Kamille zubereitete Tees haben im Allgemeinen zwischen 0,8% und 1,2% Apigeningehalt.

Apigenin ist ein im Pflanzenreich sehr häufiges und weit verbreitetes Flavonoid. **Flavonoide sind eine Klasse natürlich vorkommender sekundärer Pflanzenstoffe**, die in Pflanzengeweben vorkommen. Pflanzen nutzen Flavonoide, um **sich vor Krankheitserregern und Sonnenstrahlung zu schützen**. Einige von ihnen spielen sogar eine Rolle beim Anlocken bestäubender Insekten wie Bienen, Schmetterlinge und Motten. Flavonoide werden auch von Pflanzen verwendet, um ihren Stoffwechsel zu regulieren.

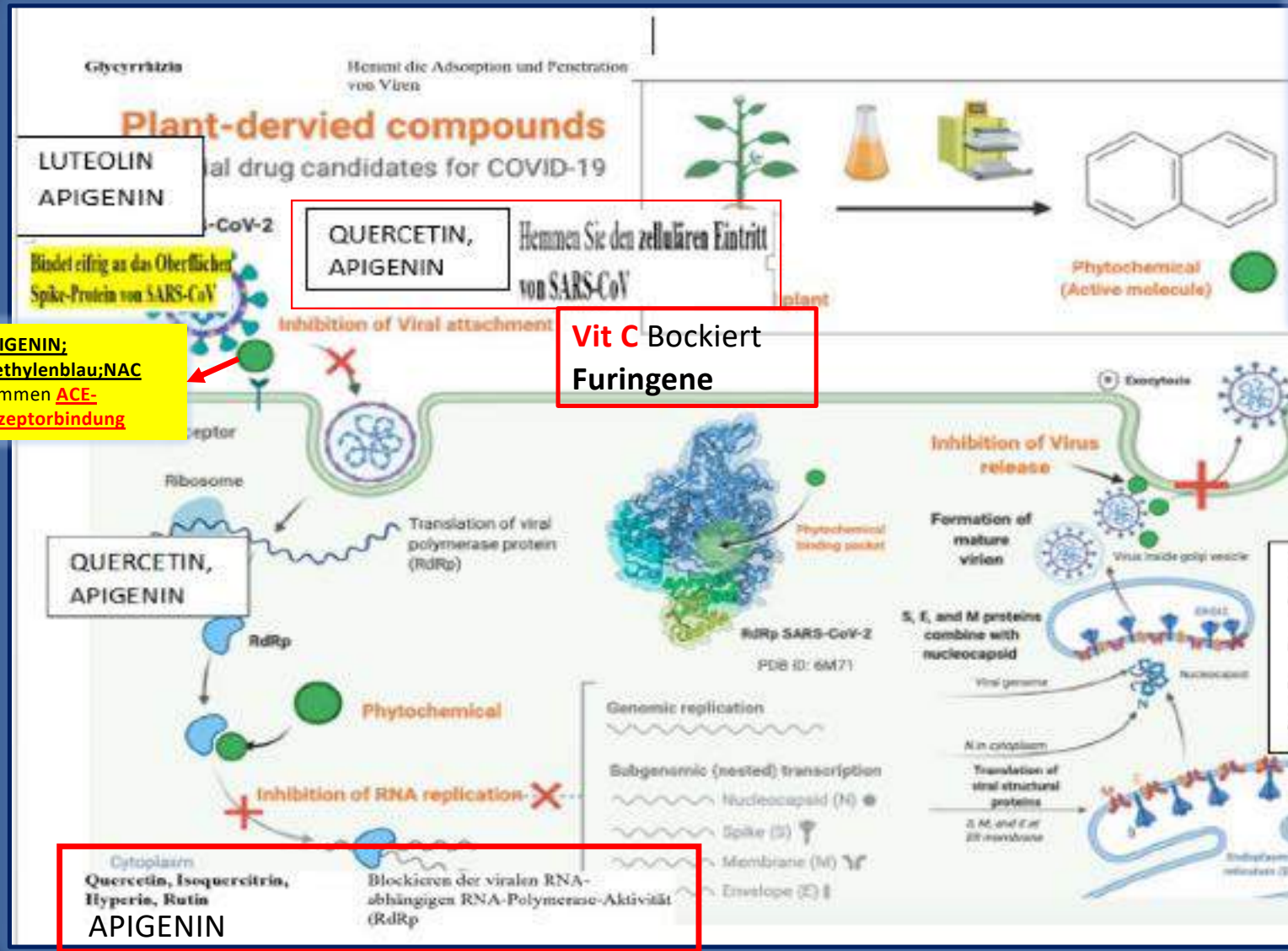
Es ist das **Aglykon mehrerer natürlich vorkommender Glykoside, Moleküle, die mit Zuckermolekülen verbunden sind**. Es wird seit Jahrhunderten in der Volksmedizin zur Behandlung von Angstzuständen und Entzündungen verwendet. Strukturell ist es ein festes Kristall mit einer gelben Farbe und wurde in der Vergangenheit zum Färben von Wolle verwendet.





Flavonoide und Polyphenole

VAPORINKANÄLE zum Ausschleusen der Viren werden durch Ca- Einstrom nach **Elektrosmog 1000 fach** verstärkt! Problem alles vernichtende **Peroxyinitritbildung**, Gegenmassnahme va **Gabe von Arginin u. Melatonin**



APIGENIN; Methylenblau; NAC hemmen **ACE-Rezeptorbindung**

QUERCETIN, APIGENIN Hemmen Sie den zellulären Eintritt von SARS-CoV

Vit C Bockiert **Furingene**

Melatonin, Vit.C, Arginin blockieren die Vaporine

Inflammasome als Vorstufe des Cytokinstorms werden durch Malatonin und Arginin blockiert

Quercetin, Isoquercitrin, Hyperin, Rutin
APIGENIN

Promising phytochemicals of traditional Indian herbal steam inhalation therapy to combat COVID-19 – An in silico study

Shannugaraj Gowrishankar^{1,2,*}, Sankar Muthumanickam^{3,4}, Arumugam Kamaladevi^{5,6}, Chandrasekar Karthika⁷, Ravi Jothi⁸, Pandi Boomi⁹, Dharuman Maniazhagu¹⁰, Shannugiah Karutha Pandian¹¹

¹ Department of Biotechnology, Science Campus, Alagappa University, Karaikal, Tamil Nadu, India

² Department of Bioinformatics, Alagappa University, Karaikal, Tamil Nadu, India

³ Department of Animal Science, School of Life Sciences, Bharathidasan University, Tiruchirappalli, Tamil Nadu, India

⁴ Department of Physical Education & Health Sciences, Alagappa University, Karaikal, India



Bestes Produkt, v.a. über Inhalation ist
APIGENIN

Insgesamt **57 sekundäre Pflanzenstoffe** wurden virtuell gegen **vier strukturelle Proteinziele von SARS-CoV-2** untersucht, nämlich. **3CL pro, ACE-2, Spike-Glykoprotein und RdRp.** Vorsehungsweise zwei Bioaktivstoffe aus jeder der drei Pflanzen, dh **Apigenin-o-7-glucuronid** und **Ellagsäure** aus Eucalyptus globulus; **Eudesmol** und **Viridifloren** aus Vitex negundo und; **Vasicolinon** und **Anisotin** aus Justicia adhatoda wurden basierend auf Wechselwirkungsenergien, konventionellen

- **Wasserstoffbrückenbindungszahlen** und anderen
- **nicht-kovalenten Wechselwirkungen** als die am besten getroffenen Leitmoleküle identifiziert.

Im Vergleich mit den bekannten **SARS-CoV-2-Protease-Inhibitoren** – **Lopinavir** und **RdRp-Inhibitor** – **Remdesivir** erwies sich **Apigenin-o-7-glucuronid** als ein **phänomenaler Inhibitor sowohl der Protease als auch der Polymerase**, da es stark mit ihren aktiven Zentren interagiert und eine bemerkenswert hohe Bindungsaffinität.

1. Ebenso spielt **RdRp** auch eine Rolle. Kurz nach der Erkennung durch den **ACE-2-Rezeptor** benötigt das SARS-CoV-2 die **Hauptprotease (M pro ; auch bekannt als 3-Chymotrypsin-ähnliche Protease (3CL pro))** für die **proteolytische Reifung** des Virus. Das Targeting von 3CL pro könnte die Spaltung des viralen Polyproteins hemmen, was letztendlich die virale Replikation in Wirtszellen verhindert (Zhang et al., 2020).
2. wesentliche Rolle bei der viralen **Transkription und Reifung** im Wirt ([Lung et al., 2020](#)). Daher könnten die traditionellen Kräuter mit Wirksamkeit zur Hemmung von Protease (3CLpro) und **Polymerase (RdRp)** die Virusreplikation plausibel verhindern und eine weitere Ausbreitung sowie eine Infektion in den Atemwegen stoppen.

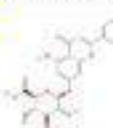

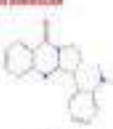
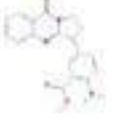


Daher wurden in der aktuellen Untersuchung diese Phytoliganden auf ihre Hemmfähigkeit untersucht gegen:

1. **M pro Proteolyse als virale Protease**, > **Apigenin**, stärker als Lopinavir verhindert die Replikation des Virus
2. **ACE-2**, > **Apigenin**, blockiert den Wirtsrezeptor ACE-2
3. **S-Protein** > **Apigenin** zeigt sehr starke Bindungsassoziation mit dem S-Protein von SARS-CoV-2.
4. **RdRp RNA-abhängige RNA-Polymerase zur viralen Transkription** > **Apigenin**, stärker als Remdesivir! Verhindert Transkription

Biochemische Aspekte zur Verhinderung der Anlagerung und Verbreitung der S- Proteine

1. Besetzen des **Spikeprotein-komplexes**, z. B. durch **NAC; Gluthathon; Apigenin und Luteolin**, teilweise **Quercetin, Methylenblau, Brunella vulgaris**
2. Verhindern des **Ankoppelns des Spikeproteins an die ACE – Rezeptoren** va der Gefäße der Lunge, Niere, Darm Leber und im gesamten Körper, (**Apigenin, Luteolin, Quercetin, Methylenblau, Nac, Gluthathion, Folsäure**)
3. die **Verhinderung des Ablösens der Spike-Proteinfläche vom Spikeprotein (Quercetin Apigenin)**
4. **Verhinderung der Transkription, dh. des Ablesens der S- Protein information in der Zelle (Quercetin Apigenin)**
5. die **Verhinderung der Translation des S-Proteins**
6. **Verhinderung der Vermehrung der S-Proteine auch über Exosomen (Vitamin c, Vit D, Arginin)**
7. die **Verhinderung des verheerenden Cytokinstorms** va durch **Apigenin, n-Acetylcystein, L- Gluthation, Arginin und va Melatonin, Zeolithe**

Tabelle 2.: Liste der Top 10 Phytochemikalien, ausgewählt durch virtuelles Screening.

S. Nr.	Name des sekundären Pflanzenstoffes	Chemische Struktur	PubChem ID	Bindungsenergie an Zielproteine (kcal mol ⁻¹)			
				M ¹	ACE-2	S-Protein	RdRp
Name des Krauts: <i>Eucalyptus globulus</i>							
1	Apigenin-7-O-glucuronid		2319494	-9.3	-8.3	-7.2	-8.8
2	Ellagstann		1281831	-8.4	-8.4	-6.2	-7.8
Name des Krauts: <i>Zizania latifolia</i>							
3	Vanillin		627702	-8.6	-7.5	-6.4	-7.6
4	Quercetin		442884	-7.4	-7.8	-6.4	-8.0
Name des Krauts: <i>Eucalyptus globulus</i>							
5	Eudecanol		91457	-8.9	-7.1	-6.0	-7.2
6	Vanillin		1090253	-7.4	-7.3	-5.8	-6.6

Wie erwartet führte **APIGENIN** die Liste der bioaktiven Treffer mit einer Bindungsenergie von $-8.7 \text{ kcal mol}^{-1}$ in Wechselwirkung mit **RdRp** (Tabelle 2) an, die sogar **höher ist als die Bindungsenergie ($-7.6 \text{ kcal mol}^{-1}$) der bekannten RdRp-Inhibitor – Remdesivir (Ergänzende Tabelle 1).**

Promising phytochemicals of traditional Indian herbal steam inhalation therapy to combat COVID-19 - An in silico study

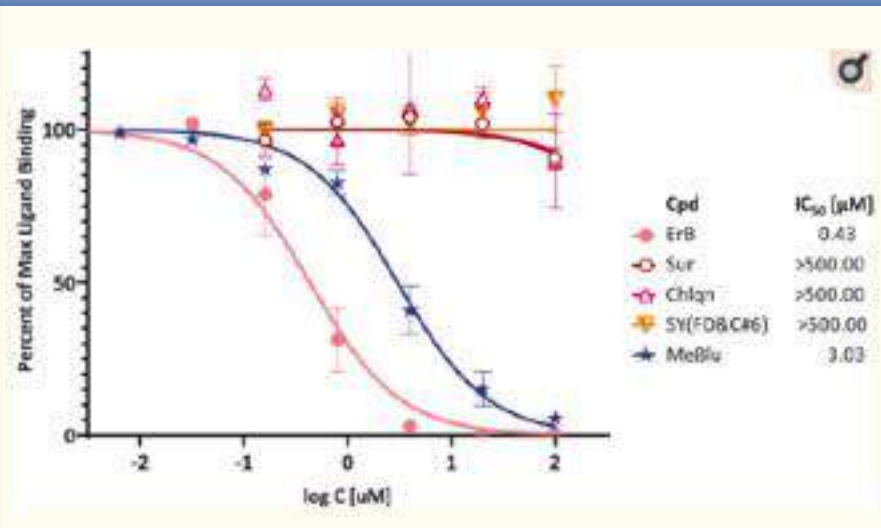
Harshraj Gureghkar^{1,2,3,4}, Anurag Mishra^{5,6,7,8,9,10}, Anurag Gumber¹¹, Chandrakant Khatke¹², Kasi Asha¹³, Parul Bhatt¹⁴, Dharmendra Kishore¹⁵, Hemrajit Karthik Prasad¹⁶

¹Department of Biotechnology, Indian Institute of Space Science and Technology, Thiruvananthapuram, India; ²Department of Chemistry, Anna University, Chennai, India; ³Department of Food Safety and Food Quality, Karnataka Veterinary, Animal and Fisheries Sciences University, Bidar, India; ⁴Department of Food Safety and Food Quality, Karnataka Veterinary, Animal and Fisheries Sciences University, Bidar, India; ⁵Department of Food Safety and Food Quality, Karnataka Veterinary, Animal and Fisheries Sciences University, Bidar, India; ⁶Department of Food Safety and Food Quality, Karnataka Veterinary, Animal and Fisheries Sciences University, Bidar, India; ⁷Department of Food Safety and Food Quality, Karnataka Veterinary, Animal and Fisheries Sciences University, Bidar, India; ⁸Department of Food Safety and Food Quality, Karnataka Veterinary, Animal and Fisheries Sciences University, Bidar, India; ⁹Department of Food Safety and Food Quality, Karnataka Veterinary, Animal and Fisheries Sciences University, Bidar, India; ¹⁰Department of Food Safety and Food Quality, Karnataka Veterinary, Animal and Fisheries Sciences University, Bidar, India; ¹¹Department of Food Safety and Food Quality, Karnataka Veterinary, Animal and Fisheries Sciences University, Bidar, India; ¹²Department of Food Safety and Food Quality, Karnataka Veterinary, Animal and Fisheries Sciences University, Bidar, India; ¹³Department of Food Safety and Food Quality, Karnataka Veterinary, Animal and Fisheries Sciences University, Bidar, India; ¹⁴Department of Food Safety and Food Quality, Karnataka Veterinary, Animal and Fisheries Sciences University, Bidar, India; ¹⁵Department of Food Safety and Food Quality, Karnataka Veterinary, Animal and Fisheries Sciences University, Bidar, India; ¹⁶Department of Food Safety and Food Quality, Karnataka Veterinary, Animal and Fisheries Sciences University, Bidar, India

Flavonoide, nämlich **Quercetin, Apigenin und Luteolin**, können die Zytokinexpression und -sekretion reduzieren. I

Methylenblau hemmt die SARS-CoV-2-Spike-ACE2-Protein-Protein-Wechselwirkung - ein Mechanismus, der zu seiner antiviralen Aktivität gegen COVID-19 beitragen kann

Damir Bojadzic,[†] Oscar Alcazar,[†] und Peter Buchwald^{1,2,*}



Suramin, Chloroquin, Trypanblue und Sunset Yellow hatten keine nennenswerte Fähigkeit das sars-cov-2-Binding Protein RBD oder das SARS-COV-2-S1 Protein zu binden, jedoch **Methylen-Blau!**

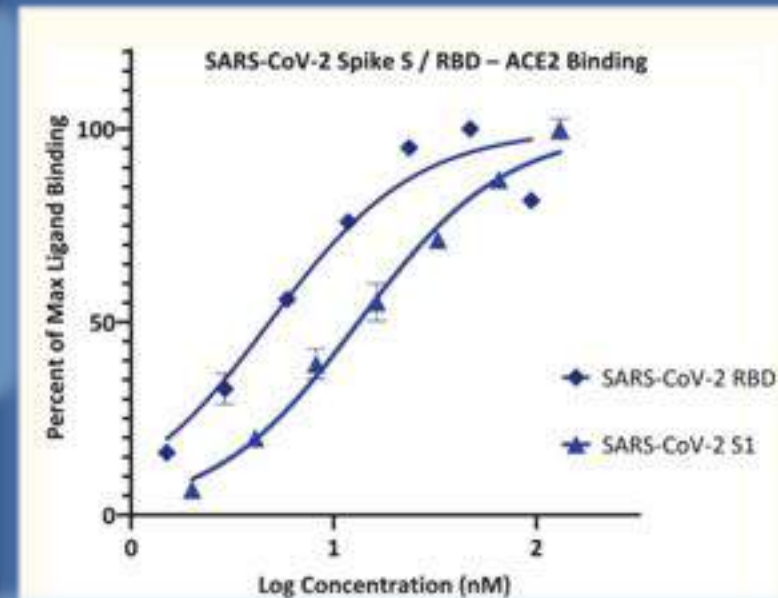


ABBILDUNG 1

Konzentrations-Reaktions-Kurven für die Bindung von SARS-CoV-2-Spike-Protein S1 und RBD an ACE2 in unserem ELISA-basierten Assay-Format. Daten, die mit Fe-konjugiertem ACE2 auf der Platte und His-markiertem S1 oder RBD erhalten wurden, wurden in zunehmenden Mengen zugegeben, wie gezeigt, wobei die gebundene Menge unter Verwendung eines Anti-His-HRP-Konjugats nachgewiesen wurde (Mittelwert \pm SD für zwei Experimente in Duplikaten).

Methylenblau inhibierte den Eintritt eines SARS-CoV-2-Spikes mit Pseudovirus in ACE2-exprimierende Zellen mit hohem IC₅₀ (3,5 µM). Daher könnte diese PPI-Hemmaktivität auch in Abwesenheit von Licht zu ihrer antiviralen Aktivität gegen SARS-CoV-2 beitragen, indem sie ihre **Anhaftung an ACE2-exprimierende Zellen blockiert** und dieses kostengünstige und weit verbreitete Medikament potenziell zur Vorbeugung und Behandlung von COVID-19 als orales oder inhalatives Medikament.

18.
Methylen-Blau
gegen
Spike
Proteine

19. Parasiten in den Impfungen und in Chemtrails Prevotella, Trypanosoma Cruzy, Hydra Vularis u.a.

INVESTIGATIVE REPORT ON THE COVID-19 PANDEMIC AND ITS RELATIONSHIP TO SARS-COV-2 AND OTHER FACTORS

ASSOCIATION DES OFFICIERS DE RÉSERVE
(ASSOCIATION OF FRENCH RESERVE ARMY OFFICERS)

13 May 2020

AUF DER SPUR VON PREVOTELLA
ANTIBIOTIKA GEGEN EINE VIRUSINFEKTION

- Erinnern wir uns daran, dass wir in den vorstehenden Ausführungen darauf hingewiesen haben, dass das Virus, sobald es von Zellen aufgenommen wurde, **modifiziert seinen genetischen Code** (Mutation) und wandelt diesen **in Multiplikatoren um und Aggressor-Zellen**.
- An diesem Prozess kann durchaus auch ein Darmbakterium, **Prevotella**, beteiligt sein.
- Das **Vorhandensein des Bakteriums Prevotella** würde es dem Virus ermöglichen, in den **Darm einzudringen, um das Immunsystem zu umgehen** und gleichzeitig dem Screening zu entgehen.
- Das Virus würde nicht direkt töten, sondern durch ein Darmbakterium **Prevotella, das infizieren würde**

Es ist dieses infizierte Bakterium, das, wenn es virulent wird, die Immun-Hyperreaktion verursacht, die die Lunge zerstört und den Patienten tötet. Zytokin Storm!



Dies würde erklären:

- Warum die Behandlung von Dr. Raoult mit einem Antibiotikum (Azithromycin) und insbesondere mit von Dr. Sabine Paliard-Franco, die sich für eine doppelte **Antibiotikatherapie** einsetzt Arbeitet
- Warum **Kinder verschont und ältere Menschen** stärker betroffen sind: Prevotella ist ganz **abwesend aus der Darmflora von Kindern**, aber mit **zunehmendem Alter immer mehr vorhanden**.
- - Warum **Übergewichtige** viel stärker betroffen sind: Ihre unausgeglichene **Darmflora enthält viel Prevotella**
- - Warum **pulmonale Komplikationen** auftreten, wenn es praktisch keinen Covid in den Atemwegen gibt, die infizierten Bakterien (im Stuhl gefunden, die Covid-RNA enthalten und manchmal sogar lebende Viren), die ihren anfänglichen (gutartigen) Angriff in einer vieldramatische Weise verüben, indem sie **die entzündliche Immunhyperreaktion auslöst**, die die Lungen zerstören
- ...- Warum das Virus bei einem geheilten Patienten wieder auftauchen kann (mit abwechselnder Positivität und Negativität der Tests),
- weil das **Bakterium noch in der Darmflora vorhanden ist** und ,bleibt ihr Gast und kann sie jederzeit freilassen. Kurz gesagt, diese Konsistenz ist ein gutes Vorzeichen für die Gültigkeit der Hypothese.

COVID-2019-assoziierte überexprimierte *Prevotella*- Proteine vermittelten Wirt-Pathogen- Wechselwirkungen und ihre Rolle beim Ausbruch des Coronavirus

Abdul Arif Khan, Zakir Khan

Bioinformatics, Band 36, Ausgabe 13, Juli 2020, Seiten 4065-4069,
<https://doi.org/10.1093/bioinformatics/btaa285>

Veröffentlicht: 06. Mai 2020 Artikel Geschichte

Systems biology

COVID-2019-associated overexpressed *Prevotella* proteins mediated host-pathogen interactions and their role in coronavirus outbreak

Abdul Arif Khan^{1,*} and Zakir Khan^{2,3}

¹Division of Microbiology, Indian Council of Medical Research National AIDS Research Institute, Pune, Maharashtra 411028, India, and ²Department of Pathology and Laboratory Medicine and ³Department of Biomedical Sciences, Cedars-Sinai Medical Center, Los Angeles, CA 90048, USA

*To whom correspondence should be addressed.
Associate Editor: Arno Ehrhard

Received 14 May 2020; revised 24 July 2020; accepted 25 August 2020; first published online 12 June 2020

18 *Prevotella*: 3431 humanen Proteinen
aber 20 SARS-CoV-2-Proteine:
mit 8 humanen Proteine

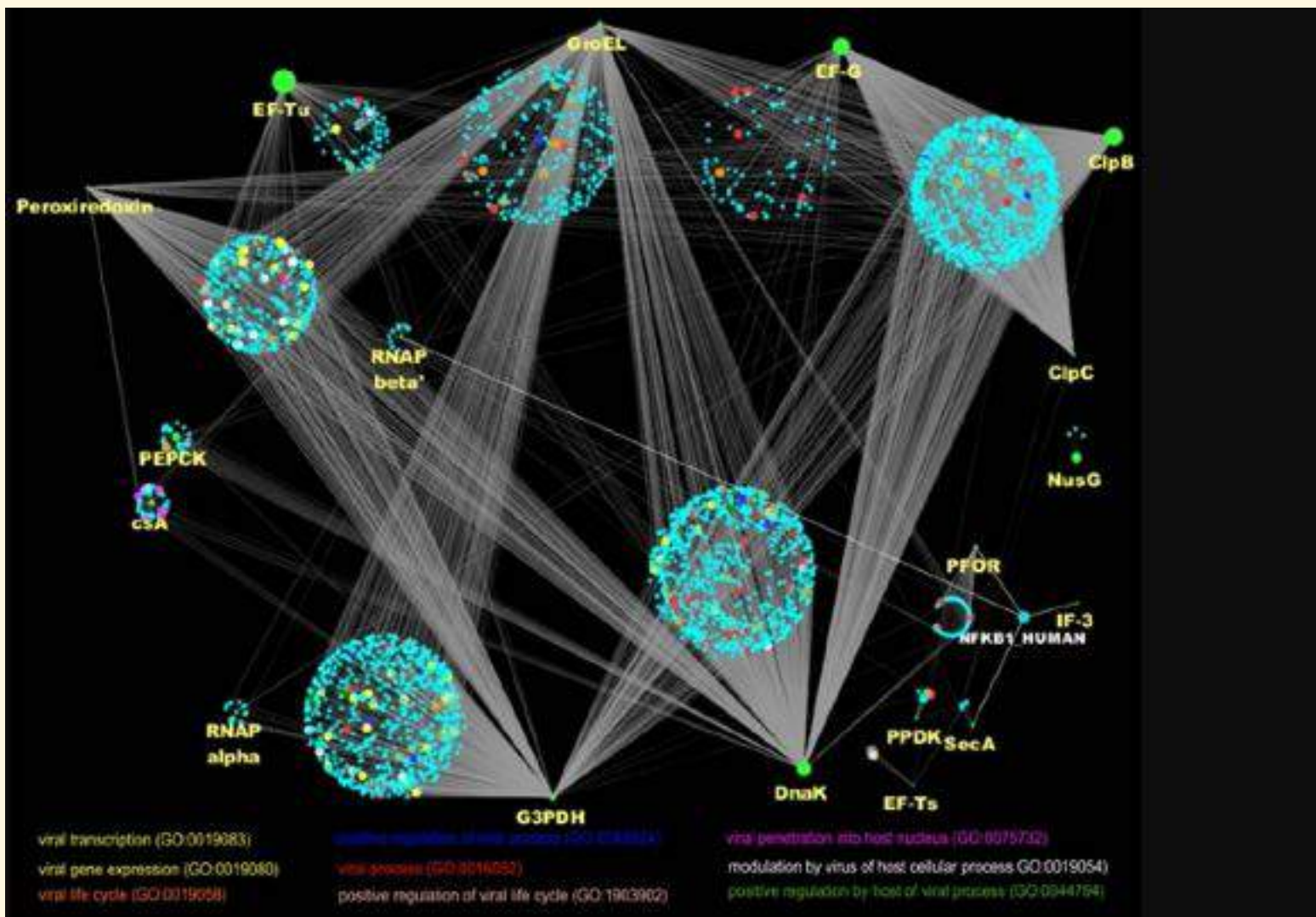
NF- κ B spielt eine wichtige Rolle bei CoV-induziertem SARS. Es wurde festgestellt, dass die Hemmung einer NF- κ B-vermittelten Entzündung zu einem erhöhten Überleben während einer SARS-Infektion führen kann (DeDiego *et al.*, 2014). Unsere Vorhersage zeigt auch mehrere Wechselwirkungen von *Prevotella*-überexprimierten Proteinen mit NF- κ B (2), und im Gegensatz dazu zeigt SARS-CoV-2 keine direkte Wechselwirkung mit NF- κ B.

Darüber hinaus können überexprimierte *Prevotella*- Proteine das Viruswachstum auf mehreren Ebenen unterstützen. Diese Ergebnisse sagen voraus, dass *Prevotella* mehrere wichtige Rollen bei der Schwere des aktuellen Ausbruchs spielen kann, die von der Unterstützung des SARS-CoV-2-Wachstums bis zur direkten Interaktion mit bestimmten Mediatoren des Krankheitsverlaufs reichen.

Gemäß den Ergebnissen unserer Studie wurde vorausgesagt , dass 18 überexprimierte *Prevotella*- Proteine mit 3431 menschlichen Proteinen interagieren, während 20 SARS-CoV-2-Proteine mit nur 8 menschlichen Proteinen mit mehreren Wechselwirkungen interagieren (Tabelle 2).

Aus unserer Studie kann geschlossen werden, dass *Prevotella* eine wichtige Rolle beim Ausbruch von COVID-2019 spielen kann und hinsichtlich seiner Beteiligung an der Pathogenese von COVID-2019 fair bewertet werden sollte.

- Aufgrund der synergistischen Rolle von *Prevotella* bei der Erhöhung der Schwere der Lungenentzündung muss diesen Bakterien eine angemessene Aufmerksamkeit gewidmet werden, um den COVID-2019-Ausbruch zu kontrollieren.



HP-PPI zwischen überexprimierten *Prevotella*-Proteinen bei COVID-2019-Patienten.

Menschliche Proteine werden normalerweise in tief himmelblauen Farben angezeigt, während *Prevotella*-Proteine durch fluoreszierende grüne Farbe dargestellt werden (die Größe der Knoten repräsentiert ihre relativen Expressions-Rohwerte).

Die menschlichen Proteine, die an der Unterstützung des Viruswachstums beteiligt sind, werden durch ihre jeweilige Farbe angezeigt. Dieselben Proteine wurden jedoch in mehreren Kategorien wiederholt, weshalb diese Zahl auf eine **Beteiligung von *Prevotella* an COVID-2019** hinweist. Es wurde festgestellt, dass der **NF-kB mehrere Wechselwirkungen** ausführt und daher in einem großen Knoten gezeigt wird (siehe [Ergänzungstabelle S2](#) für detaillierte Informationen zu Interaktoren und ihrer Funktion). (Farbversion dieser Figur ist verfügbar unter [Bioinformatik](#) online.)

In the face of the fact that the WHO continues to state that no treatment is recommended, frontline doctors have applied protocols that appear to be effective, at the risk of incurring the wrath of the College of Doctors Governing Council.

INVESTIGATIVE REPORT ON THE COVID-19 PANDEMIC AND ITS RELATIONSHIP TO SARS-COV-2 AND OTHER FACTORS

ASSOCIATION DES OFFICIERS DE RÉSERVE
(ASSOCIATION OF FRENCH RESERVE ARMY OFFICERS)

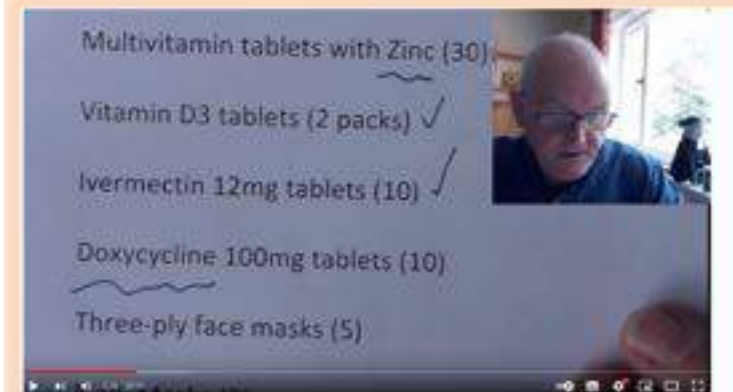
13 May 2020

SOME RELEVANT EMPIRICAL TREATMENTS	
Hydroxychloroquine + Azithromycine	Didier Raoult (France), Steven Smith (USA)
Hydroxychloroquine + Azithromycine + Zinc sulphate	Zev Zelenko (USA).
Azithromycine + Singulair + Zinc	Médecins de l'Est, Philippe de Joux
Chloroquine + Doxycycline	Long Island Doctor (USA)
INVESTIGATIVE REPORT ON THE COVID-19 PANDEMIC AND ITS RELATIONSHIP TO SARS-COV-2 AND OTHER FACTORS	rd-Franco (France)
ASSOCIATION DES OFFICIERS DE RÉSERVE (ASSOCIATION OF FRENCH RESERVE ARMY OFFICERS)	il practitioners (France)

13 May 2020

v.A aber IVERMECTIN mit Zink

Each individual will, according to his or her understanding and judgement, have an opinion on the consistency of symptoms between Covid-19 and pathologies linked to exposure to microwaves, as well as on the divergence between the recommendations of medical authorities (WHO, national health agencies) and the protocols applied by frontline doctors who are visibly more concerned to remain faithful to the Hippocratic Oath than to respect sometimes astonishing rules.



Screenshot: YouTube: Dr John Campbell: Home ivermectin based kits in India



Gibt es Parasiten in den Pfizer "Impfstoffen"?

Ein 50 Mikrometer langgestreckter Körper, wie in Abbildung 13 zu sehen, ist eine scharfe mysteriöse Präsenz im Pfizer-Impfstoff. Es erscheint und wird anatomisch als **Trypanosoma cruzi-Parasit** identifiziert, von dem mehrere Varianten **tödlich** sind und eine von vielen Ursachen für das erworbene Immunschwächesyndrom oder AIDS sind. [Atlas of Human Parasitology, 4th Edition, Lawrence Ash und Thomas Orithel, Seiten 174 bis 178] T92 [83]

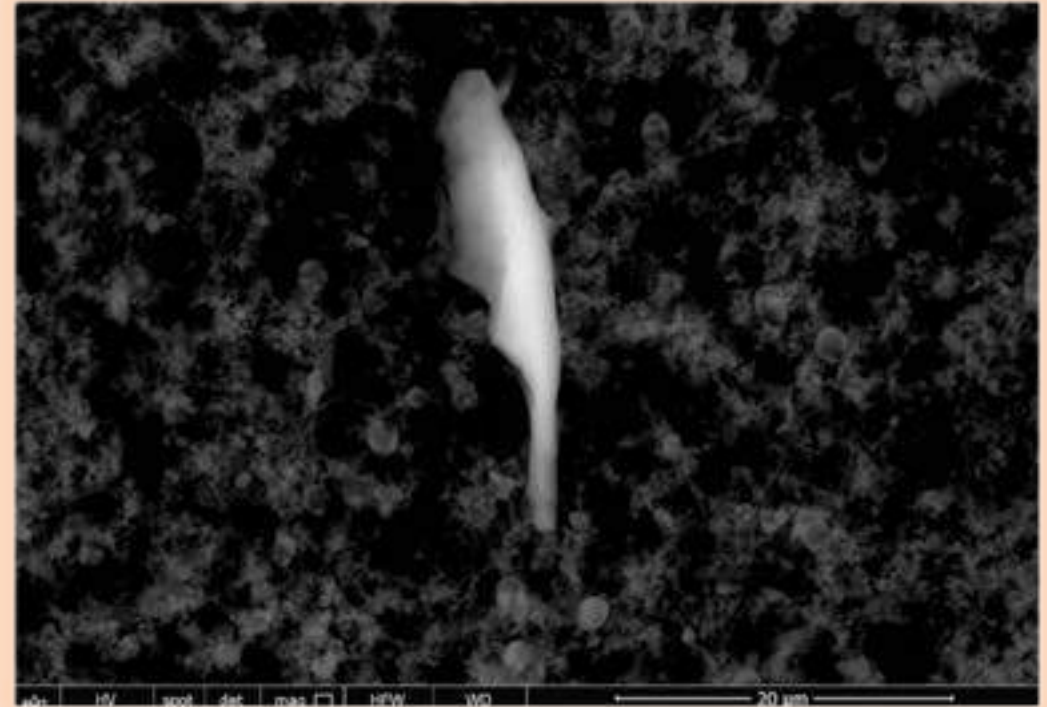


Abbildung 13 zeigt einen etwa 50 Mikrometer langen **Trypanosoma-Parasiten**, der im sogenannten Pfizer-"Impfstoff" gefunden wird. Es besteht aus Kohlenstoff, Sauerstoffchrom, Schwefel, Aluminium, Chlorid und Stickstoff. [83]

Trypanosoma Cruzi in Covidimpfstoffen



Unsterbliche" Hydra Vulgaris im Impfstoff von Moderna? Erstaunliche Mikroskopbefunde

Die nachgewiesenen Befunde aus dem Blut der geimpften Menschen unter dem Mikroskop was "DIE UNSTERBLICHE HYDRA" zeigt und beweist wie diese Mini-Monster sich selbstw

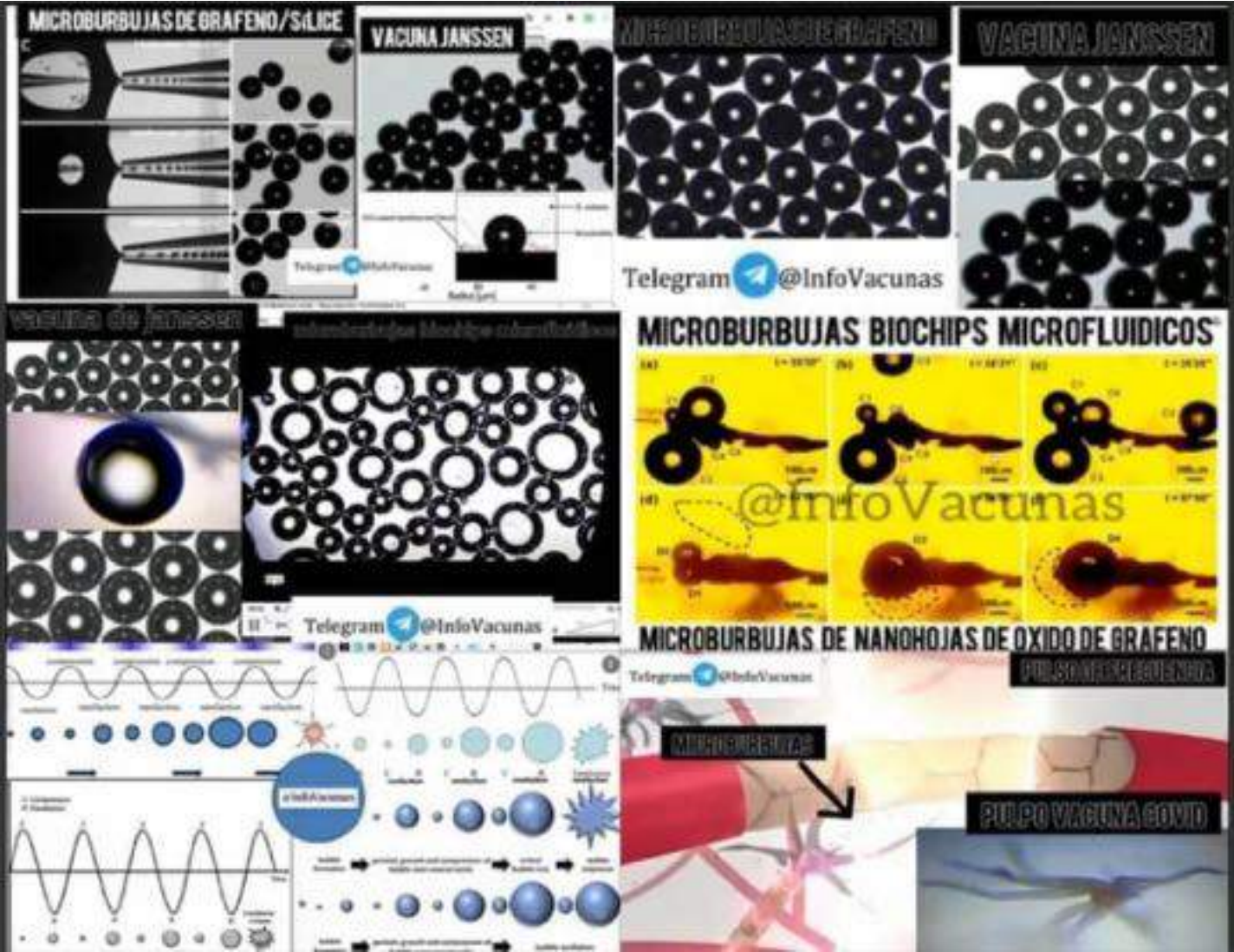
Es ist unsterblich und einer der 6 Modell Organismen.

„Hydravulgarus“ mit einer Verbindung zu **AI** und einem **Neuralen Netzwerk**. Ein Injizierendes Computersystem/Betriebssystem

Es werden **Wellenimpulse** in bestimmte Bevölkerungsgebiete gesendet. Diese Impulse werden von der "**Krake**" empfangen und an das Organ, das Zellgewebe oder die bestimmte Stelle, an der sie sich festgesetzt hat, zurückgesendet. Der Impuls lässt die **Mikrobläschen in dem betreffenden Organ platzen**, wodurch das **Graphen** ausläuft und damit **Blutgerinnsel, Thrombosen, Aneurysmen und somit innere Organschäden** verursacht.

Quelle: @infovacunas

Graphenoxid-Nanoblätter-Mikrobläschen



GRAPHENE MIKROWÜRFEL
(mikrofluidische Biochips).

Und sie werden durch Pulse von Frequenzwellen zum Schlüpfen gebracht.

Sie haben den Großteil der Menschheit mit Graphen-Mikrobläschen geimpft, während gleichzeitig weltweit ein großes Netz von gepulsten drahtlosen Telekommunikationsinfrastrukturen mit hoher Sendeleistung, 5G, eingerichtet wurde.



[[Abbildung 1e Unter Hellfeldmikroskopie betrachtet eine **Nanoröhre und Mikroröhrchen von Graphenoxid** in den getrockneten geronnenen Blutzellen oder ein **Blutgerinnsel** zusätzlich zu **Parasitenwölbungen**, die in den vernetzten Fibrinmonomeren exprimiert werden, was auf

- eine **systemische parasitäre Infektion** hinweist. Dr. Robert O. Young, Hikari Omni Publishing, 2021][2][73][74][83]]

20. Ivermectin als Blockade des S-Proteins u sein Siegeszug in Indien

IVERMECTIN: EIN IN VITRO-INHIBITOR DER SARS-COV-2-REPLIKATION DURCH **IMPORTIN**
 α/β -FUNKTION

Der Transport zwischen dem Zellkern und dem Zytoplasma erfolgt über die Kernporenkomplexe (NPCs), die große supramolekulare Ansammlungen von ~125 mDa sind und etwa 100 Polypeptide enthalten, die in die doppelmembranige Kernhülle eingebettet sind. Das Signal für den Import wird durch eine Polypeptidsequenz im kodierten Protein gegeben, die als **Kernlokalisierungssignal (NLS)** bezeichnet wird. Eine Reihe von nukleären Transportrezeptoren, bekannt als **Importine, Transportine und Ran-bindende Proteine**, erkennen das NLS und vermitteln das "Andocken" an der Kernpore.

Frachtproteine werden durch das Carrier-Importin- β importiert, das sie über das Adaptorprotein **Importin- α bindet**. Importin- β interagiert mit dem an die NLS gebundenen Importin- β und fungiert als Träger **des NLS/Importin- α/β -Trimers**.

- Forscher haben kürzlich **Ivermectin**, ein makrozyklisches Lacton-Derivat von Avermectin mit antiparasitären Eigenschaften, **als Inhibitor der SARS-CoV-2-Virusreplikation in vitro identifiziert ($IC_{50} = \sim 2,0 \text{ mM}$)**. Ivermectin bindet an das Importin α/β -Heterodimer und destabilisiert es, wodurch Importin α/β an der Bindung an das virale Protein gehindert und **dessen Eintritt in den Zellkern blockiert** wird 6-7.



Unmittelbar nach Beginn der symptomatischen Erkrankung wird Ivermectin nach dem **iMASK+ - FLCCC Protokoll** (Dr. Pierre Kory) genommen und kann die **Fall-Progression ins Spital und in die Intensiv-Abteilung deutlich reduzieren**.

Dabei Ivermectin NICHT als **Einzelmittel** gesetzt, sondern man verwendet eine umfassende antivirale Strategie: **mit Zink, Quercetin, VitC, VitD**.

21. Wundersame TIAMATTECHNOLOGIE

- ✓ **Trimax und TXT Complex**

stimulieren die **AMPK** und damit die Autophagie

- ✓ **Apigenin** ist 300mal wirksamer als

alle anderen Substanzen

- ✓ **Arginin und Vitamin C**

wirken supersynergistisch

PRODUKT 2 : TXT Glutathion

PRODUKT 2: TXT Glutathion

Zusammensetzung pro Tagesdosis – 4 Kapseln:

Inhaltsstoffe	Menge	%NRV*
Vitamin C	600mg	750
MSM	400mg	-
L-Glutathion	200mg	-

PRODUKT 4: TXT Complex

Zusammensetzung/Tagesdosis = 2 Sachets:

Inhaltsstoffe	Menge 2 Sachets	%NRV* Vitamin C pro 2 Sachets
Säulbuneeiprotein (Lupinus albus)**	20g	-
Sanddornpulver (Hippophae rhamnoides)	2g***	10,875%
Acerolapulver (Malpighia glabra)	2g****	425%

Enthalten zusätzlich **150 mg Apigenin**, v.a. aus Acerola sowie Grosse Mengen an **Luteolin und Quercetin**
Damit werden die Flavonoide zugeführt

PRODUKT 3: TXT Trimax

Zusammensetzung/Tagesdosis = 2 Sachets:

Inhaltsstoffe	Menge 2 Sachets	%NRV* pro 2 Sachets
Erisenproteinisolat	30 g	-
Xylit	3 g	-
Acerolaextrakt (16 % Native)**	3g	1.350%

- Höchster Gehalt an veganen Proteinen und den Aminosäuren **L-Arginin** und **L-Glutamin**
- Hochwertige Ballaststoffe und ungesättigte Omega 3 Fettsäuren
- Antioxidantien und Naturwirkstoffe mit einzigartiger Bioverfügbarkeit und Bioaktivität
- **360 mg Vitamin C** und **6 mg Vitamin E**
- **120 mg natives und liposomales Apigenin** und **Luteolin** mit **Quercetin**
- **450 mg Flavonoide** und **1440 mg Polyphenole (GAE)**

TIAMAT- Produkte zur

1. Entgiftung der C-Impfstoffkomponente
2. biologischen radikalen Verjüngung
3. zur deutlichen Gewichtsabnahme
4. Zum Aufbau einer Kollagenstruktur die hochgradig hexagonales Wasser binden kann gegen Elektromog (12 mal mehr)
5. Wiederaufbau aller Kollagenstrukturen zur physiologischen Andockstation der CCC

Tiamat Nutrition Technologies (TNT)

- Tiamat Nutrition Technologies nutzt **bioenergetische Naturwirkstoffe für die Regeneration der Zellen und Organe unseres Körpers.**
- So kann die kollagene **Biomatrix des Bindegewebes zeitlebens** erneuert werden. Beschädigte **Mitochondrien und Biomoleküle** werden dabei gezielt ersetzt und Nährstoffe sowie deren Komplexe sorgen für eine schnellere Regeneration der Zellen und Organe.
- Redoxaktive Nährstoffe ermöglichen
- **Resonanz, Regulation und Regeneration mit Synchronisation, Signalgebung und Stoffwechselsteuerung zur Entgiftung und Entspannung durch eine optimale und bedarfsgerechte Ernährung.**
- Nicht viel hilft viel, sondern so wenig wie möglich und so viel wie nötig, das ist hier das Motto.
- Ferner werden die Naturwirkstoffe über eine Biomatrix zugeführt und können so die Regeneration stimulieren. Die **Regeneration** wiederum bedeutet Schutz vor Schäden und Stärkung der eigenen Ressourcen. .

Einzigartige Tiamat und Tiamat Extreme Technologie zu Resonanzerfüllung des CCC

Tiamat Xtrime Technologies (TXT)

Tiamat Xtrime Technologies ist die neueste Variante diese Technologien. Tiamat Xtrime Technologies **auch TXT** genannt führt die Naturwirkstoffe zur Regeneration in optimaler Zusammensetzung zu

TXT Melatonin,

TXT Glutathion

TXT Trimax

TXT Brain complex

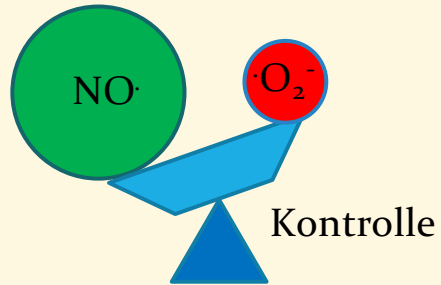
zusammen.

- Die Strategie bedient sich einer einzigartigen Effizienz mit vorher nicht erreichter Bioverfügbarkeit und Bioaktivität.
- Deren Anwendung ermöglicht deshalb **gesund Altern** durch **Reparatur, Regeneration und Redoxregulation.**
- Sie stärkt die **körpereigene Stoffwechselsteuerung** und beeinflusst damit Stoffwechselstörungen positiv.
- Sie kann damit dem **Altern, der Belastung und dem Stress** entgegenwirken und
- unsere Gesundheit durch Ernährung, Entgiftung und Entspannung erhalten

das kosmische den Menschen von **aussen steuernde Coincidenz Coherenz Cluster (CCC)** benötigt eine „**physiologische Andockstation**“, deren Funktionen v.a. über unsere **Kollagenstrukturen** erfüllt werden, in deren Aufbau kann gerade die TiamatTechnik hervorragendes leisten!

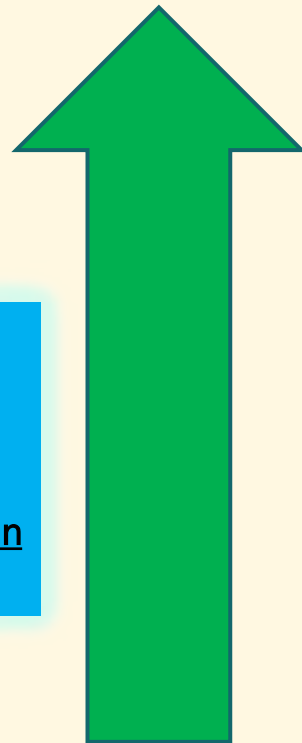
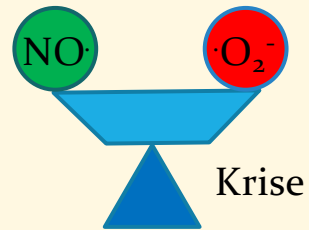
Produkt III,
TRIMAX; der
Tiamattechnik

Arginin
Apigenin

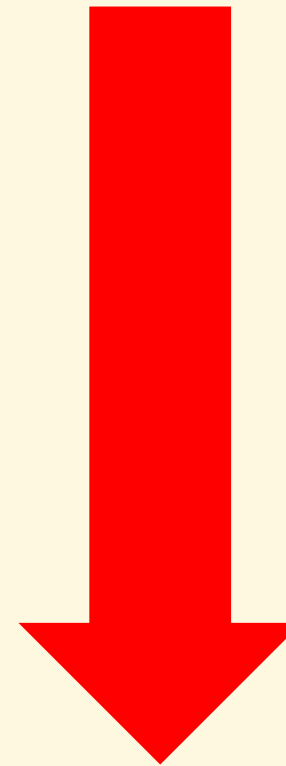
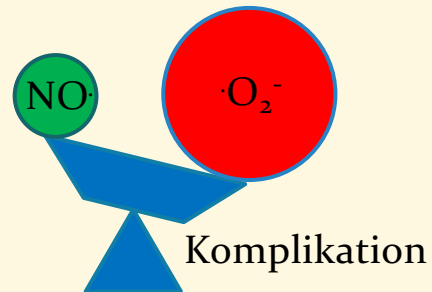


RF-EMF
Strahlung

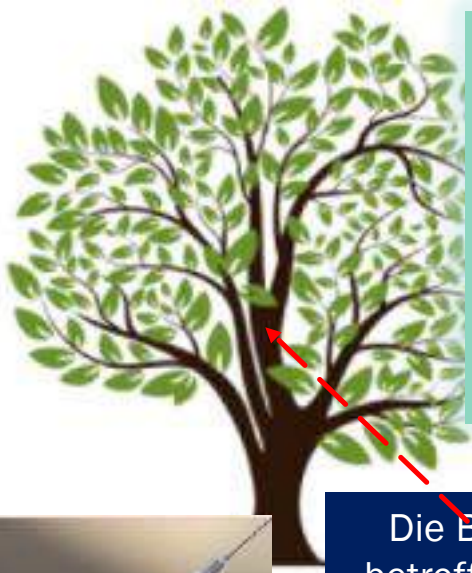
30 g TRIMAX /Produkt
III; der TIAMAT -
Technik entsprechen
zirka einer 720 Gramm
Dauerinfusion an Arginin
über 24 Stunden



Regeneration



Degeneration



BIOMATRIX
DES
Menschen
vergleich-
bar mit
Ästen
eines
Baumes



Die Biomatrix ist
betroffen damit die
Grundsubstanz allen
Lebens !

AMPK wird massiv durch das Spike Protein selbst gehemmt!! indem die Entgiftung des Impfstoffes und damit die Autophagie ausschaltet wird

- Dies bedeutet, dass es über die Zeit im Organismus nach einer Impfung **akkumuliert** und nach **Stress Exposition** durch **RF-EMF** **aktiviert** wird mit Release von extrazellulären Vesikeln wie den **Exosomen**.
- Die Nebenwirkungen der Impfstoffe basieren im wesentlichen auf **Entzündungen**. Die bilden sich durch das Platzen der Zellen durch **Nanoporation** aus. Die Zellen werden dann **nicht mehr kontrolliert** verfaüt und der Körper mit dem **intrazellulär gespeicherten Spike Protein überfütet**. Ferner sorgen die Zelltrümmer für eine **Sepsis**. Das ist sehr gefährlich und führt zu einer **Endothelial Lesage** mit starker **Neurotoxizität**. Aber auch alle anderen Oberflächen sind betroffen, so der **Darm** mit dem **Stoffaustausch**, die **Niere** mit **Flüssigkeitsaustausch** und die **Lunge** mit dem **Gasaustausch**. Dann geht irgendwann nichts mehr und es kommt zum **Multiorganversagen** durch **Zirkosturm** und Zelltod.

Deshalb brauchen wir **Spike Protein-Binder**, **Spike Protein-Neutralizer**, **Autophagie** und damit **AMPK Aktivatoren** wie die

- **hochbioverfügbaren Bioflavonoide Apigenin, Lutocelin und Quercetin**. Diese aktivieren die Entgiftung **300 mal stärker** als **Gluthathion**
- Sie kommen in höchster Konzentration und optimaler Verfügbarkeit in **Süßlupinen, Sanddorn und Acerola** sowie **eben Erbsen und Acerola** vor. Daher die unglaublich starken Wirkungen der

TIAMATPRODUKTE 3 und 4. Diese wirken dann vor allem als **Signalstoffe** nicht als **Antioxidantien** und **Radikalfänger**

- Die Verteilung der **Nanovesikel der Vakzine** erfolgt primär über das **lymphatische System**, das **Interstitium** und **interzellulär über das Bindegewebe**. Die **Immunzellen** werden direkt zu **tödlichen Spike Protein Bombern**. Sie versorgen über das **lymphatische System** Organe, Gewebe und Zellen des Körpers mit dem **Spike Protein**, dieses greift dann vor allem **Gefäße** und **Gehirn** an, aber **akkumuliert eigentlich an allen Grenzflächen!**



1. AMPK aktiviert die **Autophagie** durch direkte und indirekte Aktivierung von ULK1 . [13] AMPK scheint auch die mitochondriale Biogenese zu stimulieren, indem es PGC-1α reguliert, das wiederum die Gentranskription in Mitochondrien fördert. [13] AMPK aktiviert auch die antioxidative Abwehr. [13]
2. AMPK stimuliert die Glukoseaufnahme im Skelettmuskel
3. AMPK stimuliert die Glykolyse
4. Die Aktivierung von AMPK bedeutet niedrige Energie innerhalb der Zelle, so dass alle **energieverbrauchenden Wege** wie die Proteinsynthese gehemmt werden und Wege, **die Energie erzeugen, aktiviert werden**, um angemessene Energieniveaus in der Zelle wiederherzustellen. (Aus Wikipedia)

Wirkung der Impfstoffe in der Biomatrix:

Die Verteilung der Nanovesikel der Vakzine erfolgt primär über das glymphatische System, das Interstitium und interzellulär über das Bindegewebe.

Die Immunzellen werden direkt zu tödlichen Spike Protein Bombern, Sie versorgen über das glymphatische System Organe, Gewebe und Zellen des Körpers mit dem Spike Protein, dieses greift dann vor allem Gefäße und Gehirn an, aber akkumuliert eigentlich an allen Grenzflächen!

Das Spike Protein selbst und das in den Impfstoffen in hoher Konzentration enthaltene Grafenoxid schaltet AMPK und damit die Autophagie, d.h. die Entgiftung des Impfstoffes aus! Dies bedeutet, dass, diese Stoffe zeitabhängig im Organismus nach einer Impfung akkumulieren und nach Stress Exposition durch RF-EMF (Elektrosmog, v.a. 5G, Tsian et al.) aktiviert werden, mit Release von Endosomen die dann wegen der fehlenden Fähigkeit der Lysosomen, diese zu vernichten zu extrazellulären Vesikeln wie den Exosomen werden

. Die Nebenwirkungen der Impfstoffe basieren im Wesentlichen auf Entzündungen. Die bilden sich durch das Platzen der Zellen durch Nanoporation aus. Die Zellen werden dann nicht mehr kontrolliert verdaut und der Körper mit dem intrazellulär gespeicherten Spike Protein und Grafen überflutet.

Ferner sorgen die Zelltrümmer für eine Sepsis. Das ist sehr gefährlich und führt u.a. zu einer Endothelial Leakage mit starker Neurotoxizität.

Aber auch alle anderen Oberflächen sind betroffen, so der Darm mit dem Stoffaustausch, die Niere mit Flüssigkeitsaustausch und die Lunge mit dem Gasaustausch. Dann geht irgendwann nichts mehr und es kommt zum Multiorganversagen durch Zytokinsturm und Zelltod.

Neben der therapeutischen Unterstützung dieser Prozesse bedarf es einer konsequenten Supplementierung mit Spike Protein Bindern, Spike Protein Neutralizern, Autophagie und damit AMPK Aktivatoren.

Das TXT Glutathion (Produkt 2), aber auch das TXT Trimax (Produkt 3) und der TXT Complex (Produkt 4) erhöhen den Glutathion Spiegel signifikant. Ohne diese drastisch erhöhte Bioverfügbarkeit koennte Glutathion alleine (z.B. die Entgiftung von Graphenoxid) nicht schaffen. Hierzu werden hochpotente Signalstoffe und Antioxidantien wie die hochbioverfügbaren Bioflavonoide Apigenin (300 mal stärker als Gluthathion), Luteolin und Quercetin die in extrem hoher Bioverfuegbarkeit in den TXT –produkten (TIAMAT) III und IV enthalten sind, benötigt.

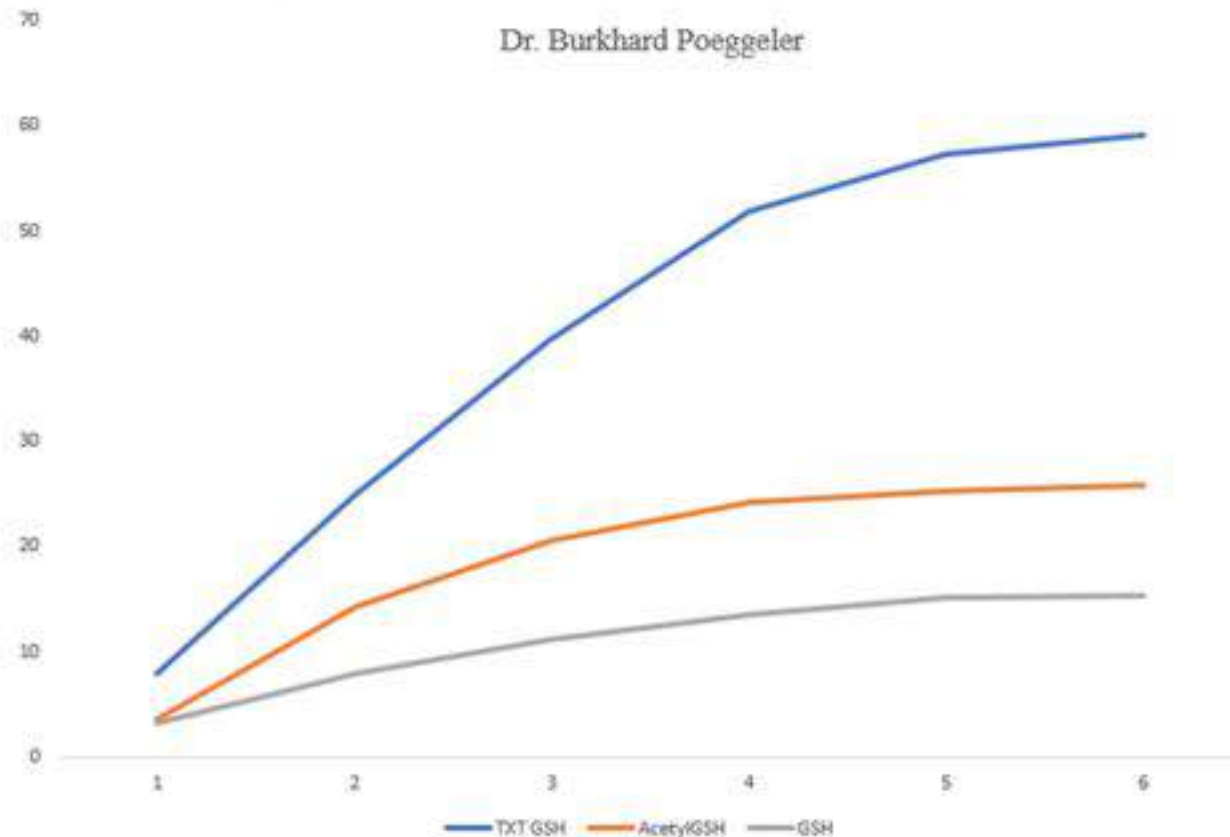
Die Zufuhr der Naturwirkstoffe wie das Flavonoid Apigenin bilden den Königsweg zu dauerhafter Gesundheit. Sie induzieren durch Autophagie, eine Entgiftung des Körpers und können so die Giftstoffe effizient abführen.

Flavonoide wie Apigenin wirken 200mal stärker als Metformin (ein orales Antidiabetikum) durch Stimulation von AMPK. Damit kommt es parallel auch zu einer drastischen Gewichtsabnahme durch Abschwächung der uns in die Alterung treibenden Glycosylierung und Insulin-rezeptorresistenz (Verzuckerung des Körpers, die parallel zum Nachlassen der Muskulatur jährlich um ca 1%, zunimmt) und damit zu einem tragenden Mechanismus der biologisch- metabolischen Verjüngung.

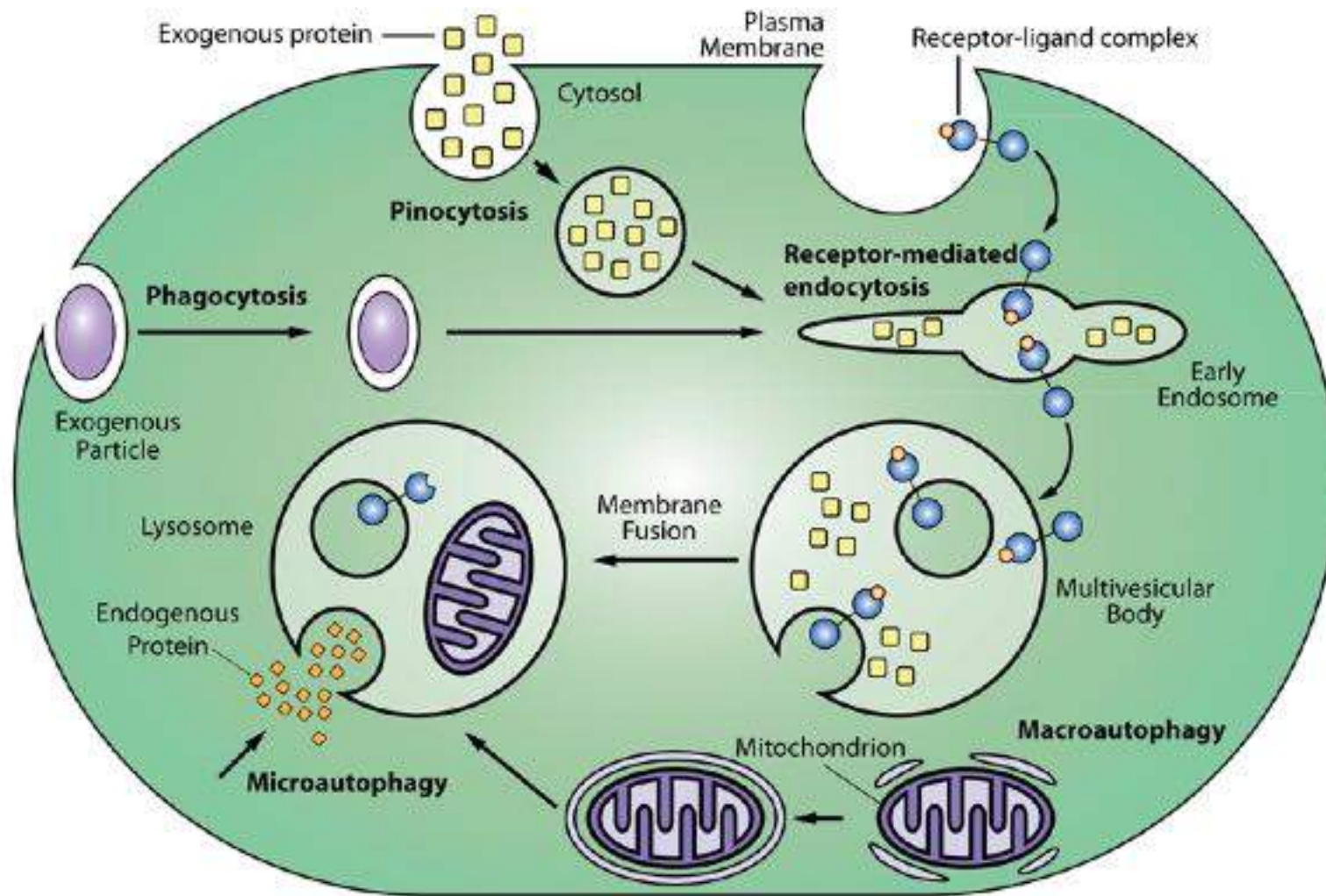
Gluthathion, extrem erhöhte Bioverfügbarkeit durch die TXT-Tiamatechnologie , Produkt 2, 3 und 4

Anstieg der intrazellulären Glutathionkonzentrationen in % pro Monat

Dr. Burkhard Poeggeler



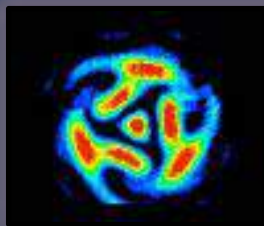
Alle insbesondere amerikanische Untersuchungen haben gezeigt, dass **Gluthathion**, selbst in Einnahme höchster Mengen **intrazellulär** nicht annähernd so aufgenommen werden konnte wie in der Grafik gezeigt, da die orale Aufnahme sonst kaum die Möglichkeit hat über das **glymphatische** System und den **Zwischenzell-** Raum eine solche enorme Bioverfügbarkeit zu entwickeln wie dies durch die **TXT Tiamat** Technologie gezeigt werden konnte



1. Die unglaubliche Speicherfähigkeit von hexagonalem Wasser durch Reis/Erbseprotein (Trimax /Produkt 3 der Tiamatechnologie) um das 12- fache ermöglicht die Verhinderung des Schredderns von Kollagenen durch Elektrosmog und 5 G !

2. Zudem ermöglicht es die Bildung eines für unser Leben entscheidenden **Coincidence Convergence Clusters**, also einer **Kohärenz aller Systeme** zur Kohärenzkopplung zwischen kosmischen Frequenzen, Schumannwellen und inneren **Kohärenzgeneratoren** des Körpers (Wasser , Mitochondrien, Microtubuli, Kollagene, Enzyme, DNA usw. (wird extrem durch E- Smog zerstört)

3. Die Quantenverschränkung Erfolgt sofort und eine frequenzmodulierte **In-Formation** der Biomatrix erneuert das **interstitielle Bindegewebe**



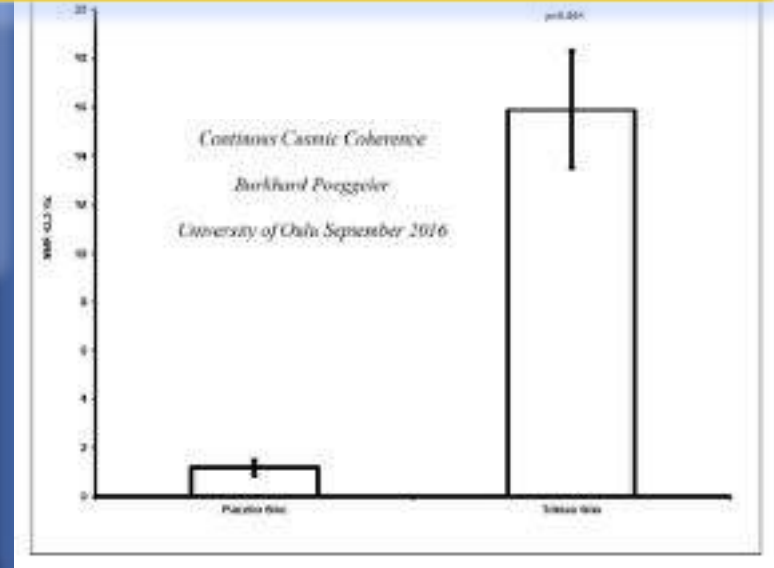
4. sollte gemäss der Erdschwingung . Anm. der Kammerton alle Organsysteme auf 432 Hz eingestellt werden, was mit Reisprotein gelingt (liegt derzeit bei unphysiologischen Werten von 440 Hz, purer Stress für die Koordination aller Systeme und **Beta- Shift!**

Besondere biochemische und biophysikalisch-kosmische Kohärenzwirkungen von **Reis/Erbseprotein** Kollagenhydrolysat /Tiamat-technik **TRIMAX –Produkt 3**

Nach nur 6 Monaten Anwendung führt Trimax zu einer 12 fachen Erhöhung des Gehalts an hexagonalem Wasser im Bindegewebe (N=12)

Kann also 12 mal stärker **Elektrosmog** neutralisieren

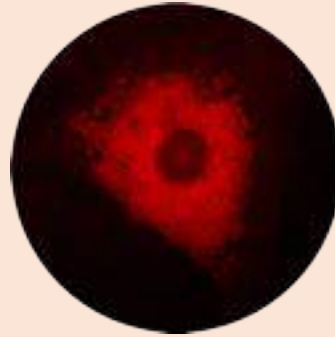
Die Kollagen- Wasser- Matrix ist seitens der **Zugstärke 300 x stärker** als die muskulären Aktin- myosinfilamente!



Hexagonales Wasser hat in der Kollagen-Wasser-Biomatrix des Bindegewebes die NMR Resonanz von 42.3 Hz



LysoTracker Red ist ein tiefrot fluoreszierender Farbstoff zur Markierung und Verfolgung saurer Organellen in lebenden Zellen zur Visualisierung der **Autophagie**.



Zu den Merkmalen aller LysoTracker Sonden gehören

Hohe Selektivität für saure Organellen (Lysosomen)

Effektive Markierung von **Autophagie** in lebenden Zellen

Einfache Anregung/Emission bei 647/668 nm



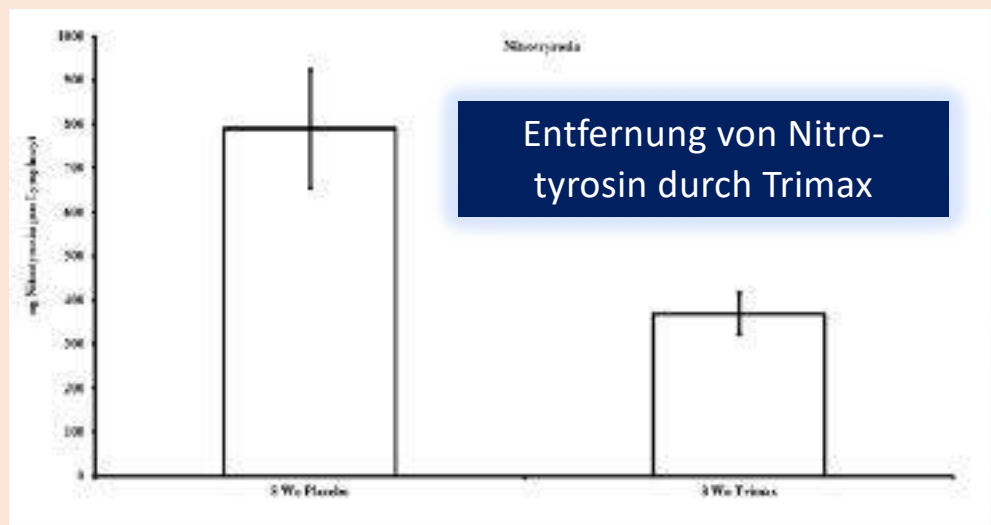
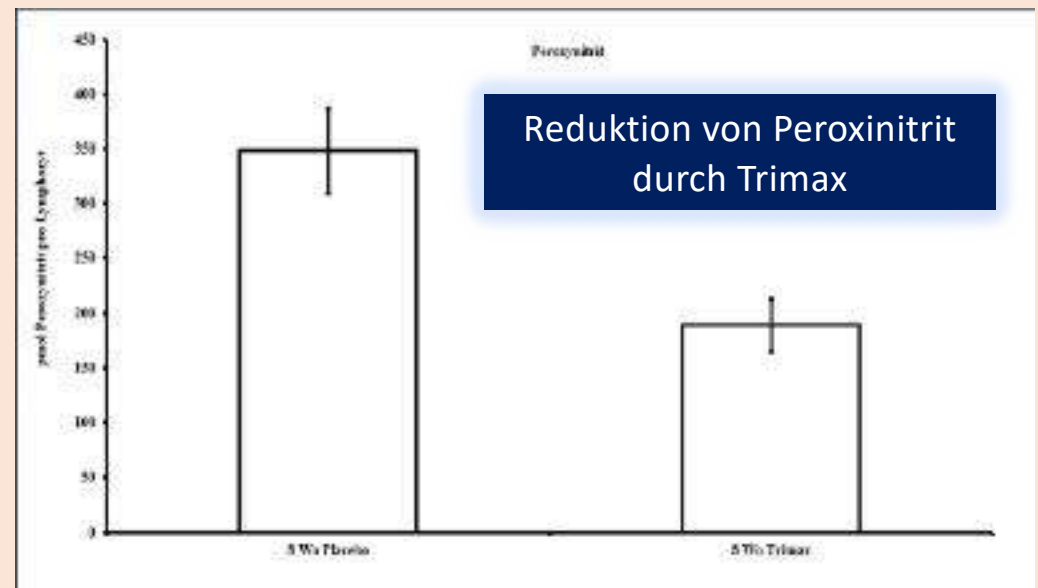
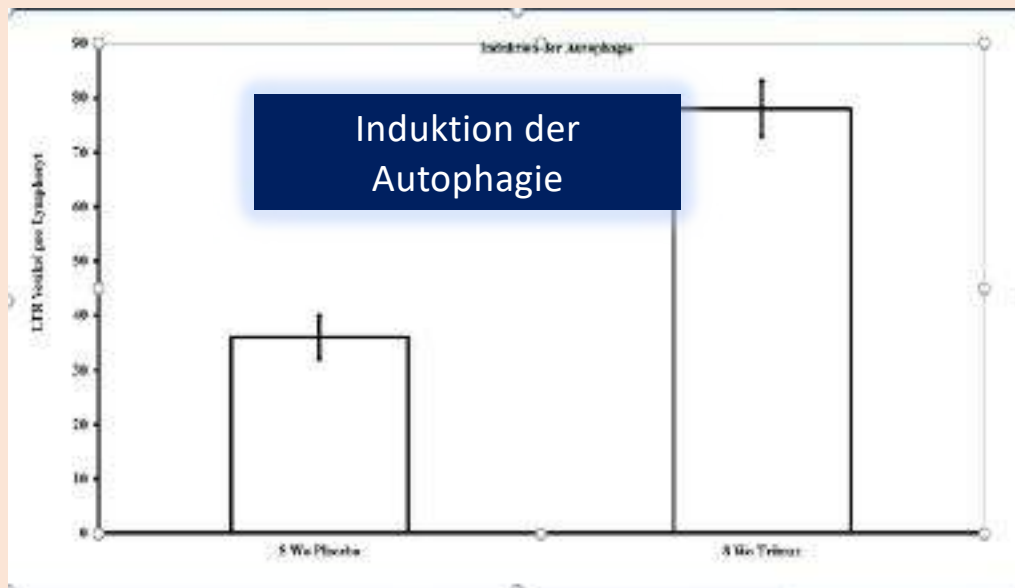
Nebenwirkungen und Tod durch Impfungen

Anwendung von Trimax, Produkt 3

gegen Long Covid-19 Mimicry Syndrome

durch die Biontech/Pfizer Vakzine

Problem ist dass durch die Impfstoffe die sogenannte **Autophagie** radikal ausgebremst wird insbesondere durch die Zerstörung von **AMPK**



Auflösung aller Symptome
nach 8 Wochen
Trimax

Abb. 1: EZF nach 6 Monaten Gabe von TXT Complex ohne Grundimpfung

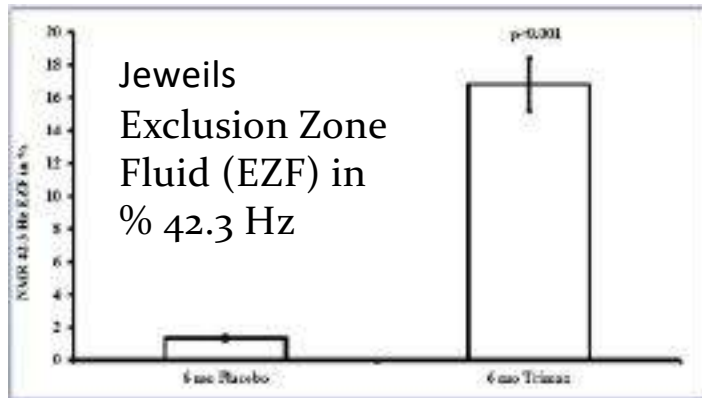


Abb. 2: EZF nach 6 Monaten Gabe von TXT Complex und Grundimpfung

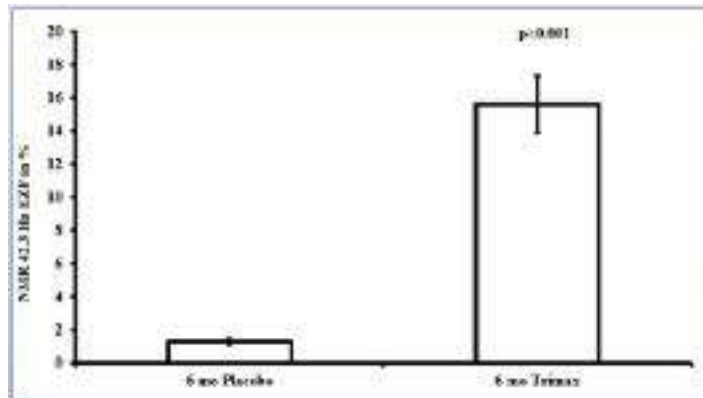


Abb. 3: EZF nach 6 Monaten Gabe von TXT Complex und Boosterimpfung

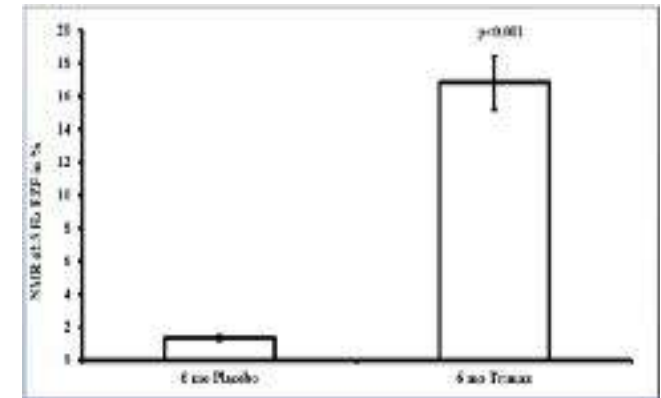


Abb. 4: Kollagenbildung nach 6 Monaten Gabe von TXT Complex ohne Grundimpfung

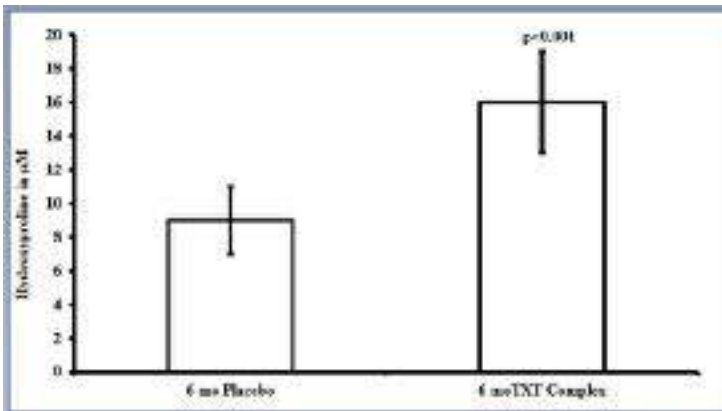


Abb. 5: Kollagenbildung nach 6 Monaten Gabe von TXT Complex und Grundimpfung

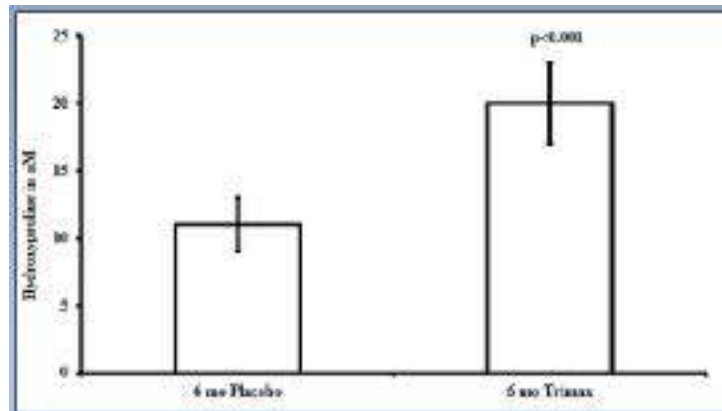


Abb. 6: Kollagenbildung nach 6 Monaten TXT Complex und Boosterimpfung

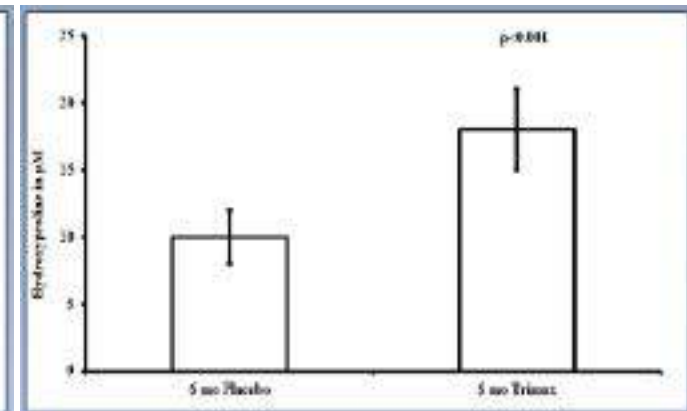
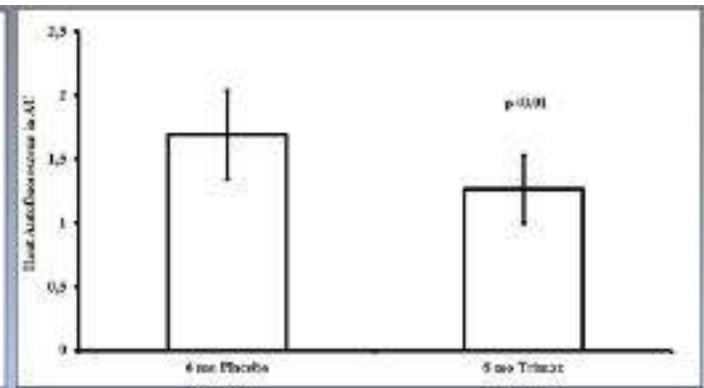
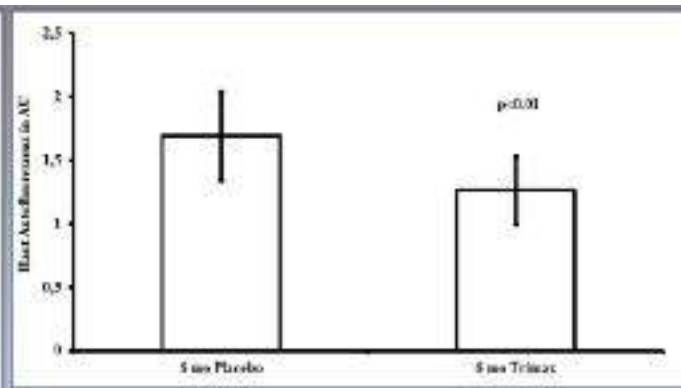
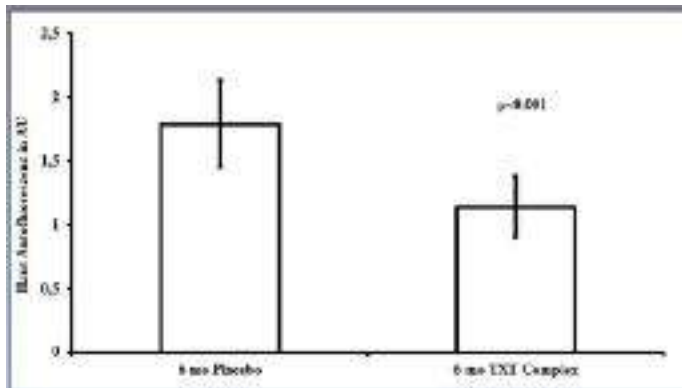


Abb. 7: Kollagenschäden nach 6 Monaten Gabe von TXT Complex ohne Grundimpfung

Abb. 8: Kollagenschäden nach 6 Monaten Gabe von TXT Complex und Grundimpfung

Abb. 9: Kollagenschäden nach 6 Monaten Gabe TXT Complex und Boosterimpfung



Anm. auf die **Bioverfügbarkeit kommt es an. Bioverfügbarkeit bestimmt Bioaktivität** : da die **Nanoliposomen** mit dem Impfstoff primär über die **Lympe und das glymphatische System direkt in alle Organe gehen** reicht auch eine **Plasmapherese** nicht aus.

1. Produkt 2 aber auch 3 und 4 erhöhen die **Glutathionspiegel** signifikant, dennoch kann es Glutathion alleine (z.B. die Entgiftung von **Graphenoxid**) nicht schaffen. Da braucht es vor allem hochpotente Antioxidantien wie die Flavonoide
2. **Apigenin, Luteolin und Quercetin** in unseren **Produkten 3 und 4**.
Diese Naturwirkstoffe wirken **300 mal stärker** entgiftend als Glutathion
3. **Arginin** induziert wie **Vitamin C** auch die AMPK und so Autophagie.

4. Eine Option ist daher **hochdosiertes Melatonin**, da Melatonin diese Nanopartikel über das **glymphatische System** effizient ausleiten kann.
Bei allen diesen Verfahren wäre immer noch zu bedenken, dass das Entgiften, mit welchen Stoffen auch immer, zunächst einmal die Toxine mobilisiert und damit eine gefährliche Translokation induzieren kann.
5. Ein Schutz dagegen stellt die Gabe von **Hochdosis Vitamin C Infusionen** (5 bis 10 g pro Tag für mindestens 5 bis 10 Tage) dar
 - Ganz toxisch ist **Titandioxid**. Es ist in den **Nanoliposomen** mit dem **Graphenoxid** und dem **Eisen-II-gluconat** und wirkt als **Nano dot** in den Zellmembranen im Gehirn.
Gibt man **Nano dots** zu Gehirnmembranen oder einfach zu EPA und DHA, dann verfärben sich die Lipide gelb. Das bedeutet **massive Lipidperoxidation mit Zelltod durch Nanoporation mit Perforierung der Zellen**.
6. daher Gabe hoher Mengen an **EPA und DHA**



**Produkt IV , TXT
der Tiamattechik**



POEGGELER FHM PROTOCOLS 07 2021

2 x 2 **TXT-Complex**, morgens und abends 2 Shakes

Diät-
management

4 x 12 g **Süßlupine, Sanddorn und Acerola**

<https://www.fresenius-kabi.com/de/ernaehrung/kabi-glutamine>

PLUS

2 x 10 g **L-Glutamin** aus

20 g Fresenius Kabi morgens und abends
nach den Shakes mit dem TXT-Complex

FSMP

Autophagie
und
Resonanz

TXT Produkt IV TIAMAT

https://www.fh-mittelstand.de/fileadmin/pdf/Schriftenreihe/Schriftenreihe_13_Meilensteine_der_Gesundheitsmedizin.pdf

Zusammenfassung

Diese randomisierte, doppelblind und Placebo-kontrolliert durchgeführte und über **12 Monate** andauernde klinische Studie untersuchte die Wirkungen von aktivem Placebo (**2 x täglich 12 g Kakaopulver**) und Verum (**2 x täglich 12 g Süßlupinenprotein mit Sanddorn- und Acerolaextrakt**) auf Kognition und Gesundheit von **60** jungen Sportstudentinnen und Sportstudenten. Beide Präparate wurden als wohlschmeckender Protein Shake zugeführt.

- Die Supplementation mit **Verum reduzierte die Glucose, Insulin und HBA_{1c} Werte signifikant**. Die Spiegel der endogenen hochpotenten antioxidativen und bioenergetischen Verbindungen **Tryptophan, Indol-3-propionsäure und 5-Methoxytryptophan** stiegen nach Verum stark an.
- Die **Gehirndurchblutung** wurde nach Verabreichung von Süßlupine mit Sanddorn und Acerola signifikant verbessert und der regenerative **Tiefschlaf** signifikant verlängert.
- Das Verum verbesserte die **kognitive Hirnleistung der Probanden signifikant**. Durch die einzigartige Nährstoffergänzung mit **Aminosäuren, Fettsäuren, Ballaststoffen, Vitaminen und Naturwirkstoffen** wie **Apigenin** und strukturverwandten **Flavonoiden** sowie weiteren phenolischen Antioxidantien konnte der als Verum verabreichte Protein Shake sowohl die Gesundheit als auch die kognitive Fähigkeit der jungen Probanden verbessern.

Lupinenprotein mit Sanddorn und Acerola für eine optimale Stoffwechselsteuerung und Hirnleistung

[Lupin seed protein with sea buckthorn and acerola extract improves cognition and health]

Burkhard Poeggeler und Miguel A. Pappolla

TXT Produkt IV TIAMAT

Lupinenprotein mit Sanddorn und Acerola schützt vor gefährlicher RF-EMF Strahlung

[Lupin protein with sea buckthorn and acerola extract protects against RF-EMF radiation] Burkhard Poeggeler und Miguel A. Pappolla

Zusammenfassung

Diese explorative Anwendungsbeobachtung zeigt eine etwa **doppelt so hohe Erkrankungsrate an Erkältungen** bei Sportlerinnen und Sportlern, die einer **hohen Exposition von RF-EMF** (Strahlung aus Radio Frequency-Electromagnetic Fields) ausgesetzt sind. Nicht nur die Anzahl der Erkältungen fällt in dieser Gruppe fast doppelt so hoch aus, sondern auch die **Dauer der Erkrankungen ist um 50 % verlängert** und die **Schwere der Erkrankungen fällt etwa doppelt so hoch aus**. Dies ist mit einer **Reduktion der Vitamin C Spiegel** im Plasma verbunden. Die **Kollagenfasern** in der Haut sind angegriffen und die Autofluoreszenzwerte steigen an, was auf einen **oxidativen Stress und Schaden an den Proteinen in der Haut und im Bindegewebe durch RF-EMF Strahlung** hinweist. Beide Effekte sind nicht signifikant.

Zwar kann **Lupinenprotein mit Sanddorn und Acerola** vor diesem oxidativen Stress schützen und die **Plasma Vitamin C Spiegel voll wiederherstellen**, aber die **Belastung im Vergleich zu den wenig exponierten Personen bleibt weiterbestehen**.

- Die mit Vitamin C und E angereichertem Kakaopulver versorgte Vergleichsgruppe zeigte dagegen **keine** signifikante Reduktion des Infektionsrisikos. Nur die **spezifische Supplementation führt zu einer entsprechend signifikant geringeren Belastung durch Atemwegserkrankungen**. Aufgrund der starken negativen gesundheitlichen Effekte ist den von dem Open Window Phänomen betroffenen Sportlerinnen und Sportlern dringend geraten, die **Exposition gegenüber RF-EMF zu beschränken**, um die Anzahl, Dauer und Schwere von Atemwegserkrankungen entsprechend zu reduzieren.

ZUSAMMENFASSUNG TIAMATTECHNOLOGIE

1. Die TIAMATTECHNOLOGIE ist die absolute Domäne der von Prof **Poeggeler** und anderen kalifornischen Wissenschaftlern einer über 12 Jahre entwickelten Technologie, die nach Studienlage im Goldstandard nachweisen konnte das insbesondere **Produkt drei** in der Lage ist innerhalb von acht Wochen **Impf- Nebenwirkungen zu neutralisieren**, siehe Vortrag !!

2. Auch durch die durch Produkt 3 und 4 bedingte vermehrte Aufnahme von **Hexagonalem Wasser im Bindegewebe und den Kollagenen** (16-32 fache Wirkung pro Pulver) wird der Körper wesentlich autarker gegenüber **4G und 5G** Strahlung, da allein jedes Hexagonale Wassermolekül schon 44 % mehr atembaren Sauerstoff liefert und zudem eine Masse von Minusladungen um die radikale Wirkung des Elektroschmogs zu minimieren.

3. Das es im Körper ja auch immer um die Lenkung vielfältiger, v.a. mitochondrialer, metabolischer und Gefäßprozesse durch Stickstoffmonoxid geht, das ja aus **Arginin** entwickelt wird, ist zu sagen das allein 30 g des Sachets des Produktes III in der Lage sind für den Körper eine **adäquate Menge von 720 g Arginin**, was eigentlich nur über 12 Stunden sorgfältig infundiert gegeben werden kann, gleichsam zur Verfügung zu stellen.

die in Kalifornien entwickelte TIAMAT Technik wirkt sowohl im
4. Anti AGING Bereich, so konnte gezeigt werden das das extrem starke und super teure Klotho in hohem Maße durch alle Tiamat Produkte im Körper produziert wird.

5. ferner ist diese Technik aufgrund der erheblichen Mengen an Bioflavonoiden insbesondere durch liposomales **Apigenin, Quercetin und Luteolin** in der Lage, die von verschiedenen Forschern als Nebenwirkung der Impfungen postulierten wahnsinnigen **Tumoranstiege** zu stoppen.

6. Durch die Wirkung insbesondere in der **Matrix d. h. im Bindegewebe**, in den **Kollagenen, im Interstitium, natürlich auch in der Zelle und in den Blutgefäßen** können alle bisher bekannten Nebenwirkungen der Impfadjuvantien und der Spike Proteine minimiert oder neutralisiert werden

7. es ist entscheidend, die natürliche **ReConnection d. h. die CCC, die kosmische Koinzidenzkorrelation** wieder herzustellen. Mit der Tiamattechnologie, ist es erstmals auch gelungen eine erhebliche **biophysikalische Schutzwirkungen** für den Körper zu schaffen durch Wiederherstellung dieser so lebensnotwendigen kosmischen Steuerungsmaßnahme unseres Systems.

Technisch gesehen werden genau diese natürlichen Steuerungen durch die technischen Vorkehrungen mittels **4G und 5G und durch Infrarotlicht mit 280 nm** zunichte gemacht, da gerade **GrafenOxid** aber auch die anderen Impfadjuvantien den Körper zu einem **Bio Computer** umbauen können.

Daher benötigen wir, um ein Ausschalten dieser von außen eingebrachten Hardware mittels **Nanoporation durch 4G und 5G** zu verhindern, Systeme wie den **Quantenstein den Raumharmonisierer, den Brainy, den Lightpen, ganz neu das Body-harmonizer Band**, siehe Film im Vortrag, die **Kolganovkugel** usw.

8. da wir ab dem ca. 25. Lebensjahr pro Jahr ein Prozent **Grundumsatz und einen Prozent Muskelmasse** verlieren, d. h. natürlich der adipösen Degeneration Vorschub leisten, ist der Tod der **Bindegewebe der Kollagene** und vor allem der **Glykosilierung** durch Verlust der **Insulinrezeptoren**, die in ihrer Menge und Vorhandensein immer an eine ausreichende Menge von Muskelgewebe gekoppelt sind, und damit den Hauptalterungsgrund darstellen Tür und Tor geöffnet.

Genau hier greift die auf natürlichen pflanzlichen Proteinen beruhende Implementierung von **Erbsen bzw. Reis Lupinen und Sanddornproteinen** mit entsprechenden hochbioaktiven Zutaten ein und kann nach kalifornischen Angaben erstmals die **Alterungsregression** rückgängig machen, nicht nur verlangsamen!!

Referenzen

1. Meier T, Scattleben K, Deumelandt P, Christen O, Riedel K, Langer M, 2015, Healthcare costs associated with an adequate intake of sugars, salt and saturated fat in Germany: A health econometrical analysis. *PLoS One*, 10(9): e0135990.
2. Mensink GB, Schienkiewitz A, Haftenberger M, Lampert T, Ziese T, Scheidt-Nave C, 2013, Overweight and obesity in Germany: results of the German health interview and examination survey for adults (DEGS1). *Bundesgesundheitsblatt Gesundheitsforschung Gesundheitsschutz* 56(5-6): 786-794.
3. Ramos-Lopez O, Milagro FI, Allayee H, Chmurzynska A, Choi MS, Curi R, De Caterina R, Ferguson LR, Goni L, Kang JX, Koblencz M, Marti A, Moreno LA, Pérusse L, Prasad C, Qi L, Reifeis R, Riezu-Boj JJ, San-Cristobal R, Santos JL, Martinez JA, 2017, Guide for current nutrigenetic, nutrigenomic, and *nutrigenetic* approaches for precision nutrition involving the prevention and management of chronic diseases associated with obesity. *J Nutrigenet Nutrigenomics* 10(1-2): 43-62.
4. Kalinkovich A, Livshits G, 2017, Sarcopenic obesity or obese sarcopenia: A cross talk between age-associated adipose tissue and skeletal muscle inflammation as a main mechanism of the pathogenesis. *Ageing Res Rev* 35: 200-221.
5. Batsis JA, Villareal DT, 2018, Sarcopenic obesity in older adults: *aetiology*, epidemiology and treatment strategies. *Nat Rev Endocrinol* 14(9): 513-537.
6. ILSA Panel on Nutrition, Novel Foods and Food Allergens (ILSA NFA Panel), Dominique Turck, Jacqueline Castenmiller, Stefaan De Henauw, Karen Ildico Hirsch-Ernst, John Kearney, Helle Katrine Knudsen, Alexandre Maciuk, Inge Mangelsdorf, Harry J McArdle, Androniki Naska, Carmen Palaez, Kristina Pentieva, Frank Thies, Sophia Toubari, Marco Vinceti, Jean-Louis Bresson, Barbara Burlingame, Tara Dean, Susan Fairweather-Tait, Marina Heinonen, Monika Neuhäuser-Berthold, Grazyna Nowicka, Yolanda Sanz, Anders Sjödin, Martin Stern, Daniel Tome, Henk Van Loveren, Peter Willatts, Ambroise Martin, John Joseph Strain, Leng Heng, Silvia Valhena Martinez and Alfonso Siani, 2018, Guidance on the scientific requirements for health claims related to muscle function and physical performance. *EFSA Journal* 16(10): 5434.
7. Stiftung Warentest, 2014, Da helfen keine Pillen. *Schlankheitsmittel*. Test 2: 20-25.
8. Levine ME, Suarez JA, Brandhorst S, Balasubramanian P, Cheng CW, Madia F, Fontana L, Mirisola MG, Guevara-Aguirre J, Wan J, Passarino G, Kennedy BK, Wei M, Cohen P, Crimmins EM, Longo VD, 2014, Low protein intake is associated with a major reduction in IGF-1, cancer, and overall mortality in the 65 and younger but not older population. *Cell Metab* 19(3): 407-417.
9. El Assar M, Angulo J, Santos-Ruiz M, Ruiz de Adana JC, Pindado ML, Sánchez-Ferrer A, Hernández A, Rodríguez-Mañas L, 2016, Asymmetric dimethylarginine (ADMA) elevation and arginase up-regulation contribute to endothelial dysfunction related to insulin resistance in rats and morbidly obese humans. *J Physiol* 594(11): 3045-3060.
10. Jankovic A, Korac A, Buzadzic B, Stancic A, Otasevic V, Ferdinandy P, Dajber A, Korac B, 2017, Targeting the NO/superoxide ratio in adipose tissue: relevance to obesity and diabetes management. *Br J Pharmacol* 174(12): 1570-1590.
11. Powers SK, 2014, Can antioxidants protect against disuse muscle atrophy? *Sports Med* 44(Suppl2): S155-S165.
12. Thompson SV, Hannon BA, An R, Holscher HD, 2017, Effects of isolated soluble fiber supplementation on body weight, glycemia, and insulinemia in adults with overweight and obesity: a systematic review and meta-analysis of randomized controlled trials. *Am J Clin Nutr* 106(6): 1514-1528.

Meine Hobbies sind LSD...



und Straßenhunde retten !

22. Der mental –psychisch - geistige Aspekt der Impfung

KOGNITIVE DISSONANZ

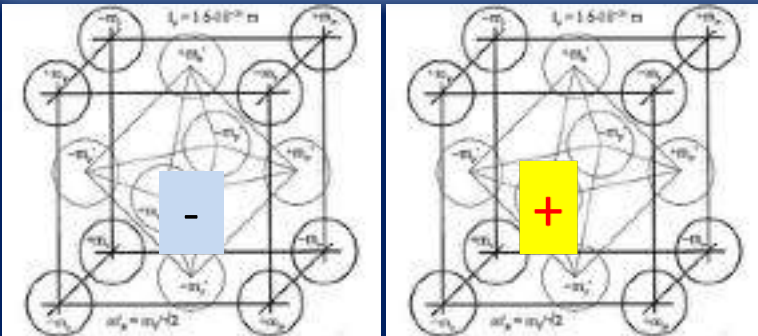
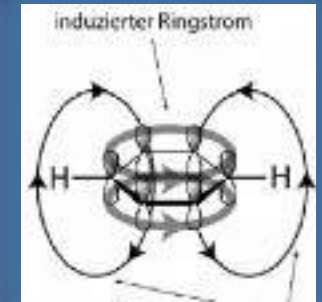
WARUM MENSCHEN SICH AUFREGEN WENN
IHRE ÜBERZEUGUNGEN ERSCHÜTTERT WERDEN.



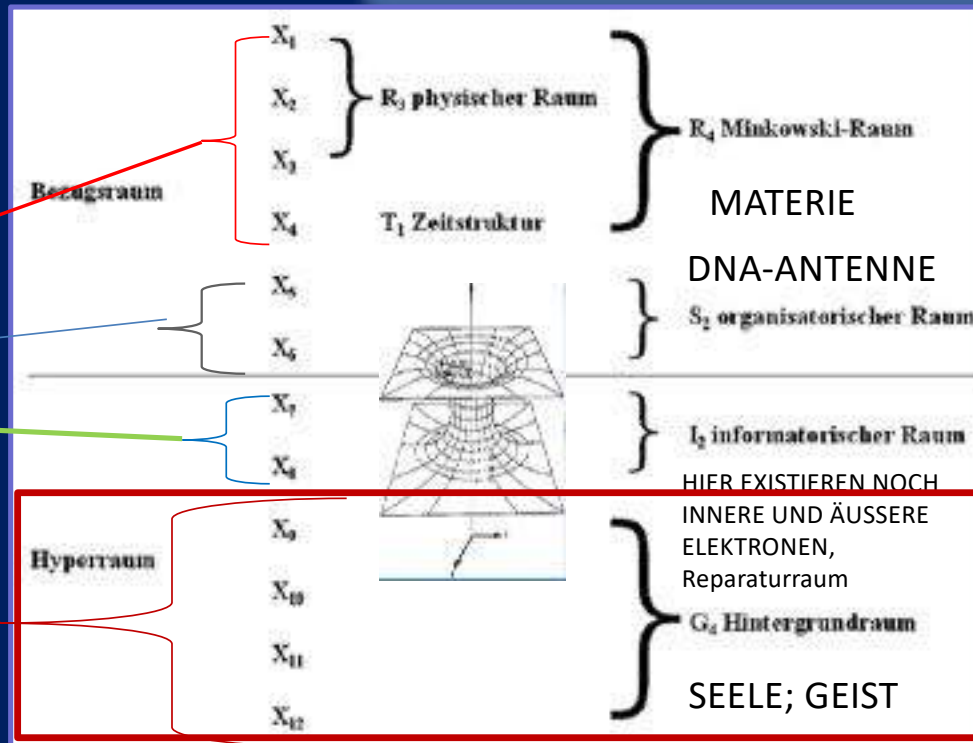
WENN ÜBERZEUGUNGEN VON NEUEN INFORMATIONEN WIDER-
LEGT WERDEN, TRITT EIN MENTALER KONFLIKT EIN, DER SICH
AUF BEREICHE IM GEHIRN AUSWIRKT, DIE FÜR PERSÖNLICHE
IDENTITÄT UND EMOTIONALE REAKTION AUF GEFAHREN
ZUSTÄNDIG SIND. DAS GEHIRN SCHLÄGT ALARM WENN SICH
EIN MENSCH AUF TIEFER EMOTIONALER UND PERSÖNLICHER
EBENE BEDROHT FÜHLT. DAS GEHIRN VERANLASST DANN EIN
ABSCHALTEN. RATIONALE BEWEISE, DIE DAS BISLANG ALS
"WAHRHEIT" ERACHTETE, WIDERLEGEN, WERDEN MISSACHTET.

Gesamtsteuerung des Menschen, Schalenmodell nach Burkhard Heim

Heim arbeitete an zwei großen Problemen:
 1. an Gravitation und Feldantrieben und
 2. an einer einheitlichen Theorie der Elementarteilchen.



VON GARIAJEV beschriebene Phantom-DNA, als Bindeglied zwischen körperlicher DNA und Schwingungsinformationen des Kosmos



Alle Werte wurden bereits 1985 in der Vorbereitung des Teilchenbeschleunigers von CERNE auf 15 Stellen hinter dem Komma berechnet. Ständiger Austausch der Ist und Soll-wertes des Körpers durch die Antennenstruktur der DNA, ständiger 99% Austausch zwischen Materieraum und Informationsraum zur Korrektur aller Zellen



Anschluss zu kosmischem
Entrainment und Korrektur!

**NORMALER
WEISE**



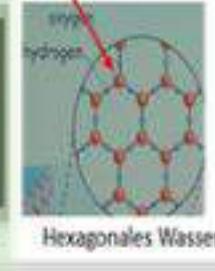
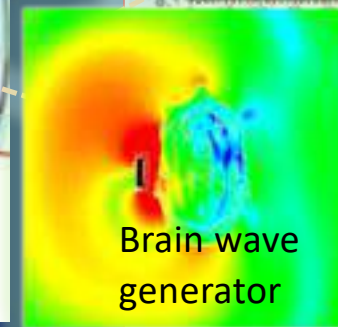
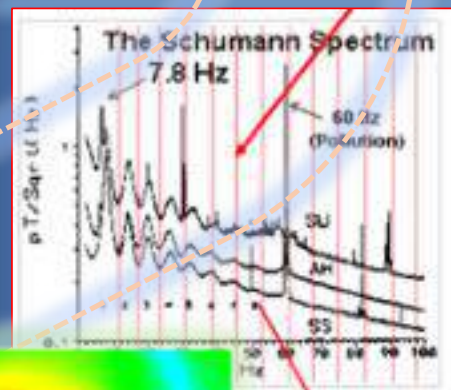
3: Cosmic background radiation. Taken from <http://...researchgate.net>



Beseelter
Mensch

brain

Kosysrevspiegel
verbindet über
Phantom DNA
mit
Seelenanteilen,
Rückverbindung
zum Kosmos





Durch Imfung:

X Seelenanteile und Anschluss zu kosmischem Entrainment und Korrektur entfernt! !



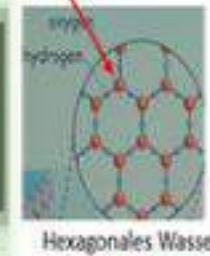
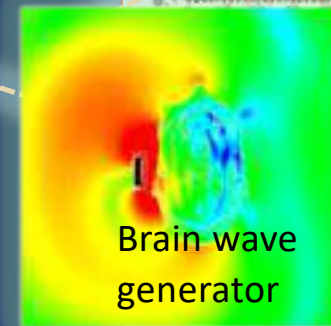
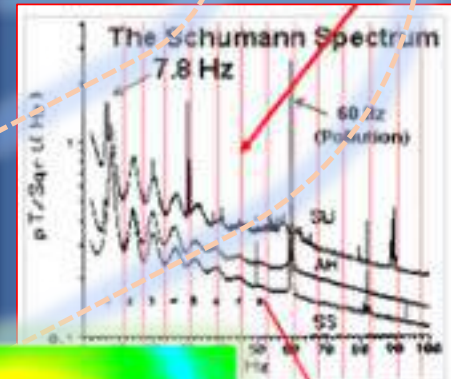
Beseelter Mensch

Kosysrevspiegel verbindet wieder mit Seelenanteilen, Rückverbindung zum Kosmos



Unsere Milchstraße mit riesigem Schwarzes Loch in der Milchstraße enthält Microwellenstrahlung

3: Cosmic background radiation. Taken from <http://...researchgate.net>

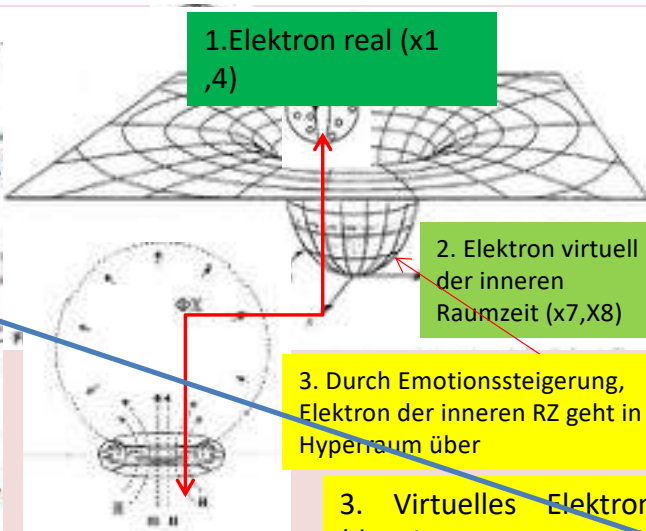
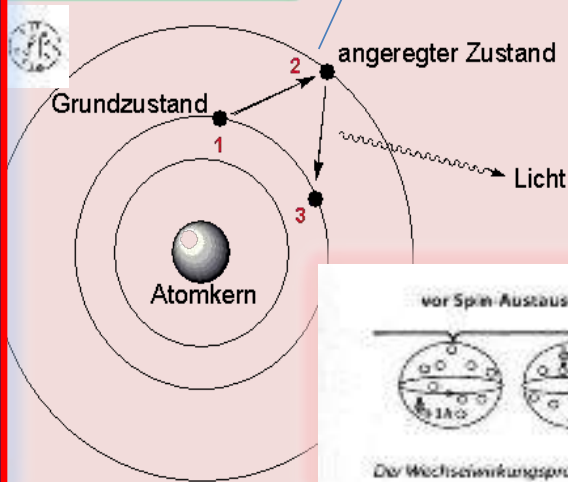


Die **Impfung** spaltet offenbar **Seelenanteile** ab, die im Modell nach **Charon und Burkhardt Heim** **inneren Elektronen** entsprechen, somit ist eine **dauerhafte Korrekturmöglichkeit auch der menschlichen Materie nicht mehr ausreichend gegeben**.

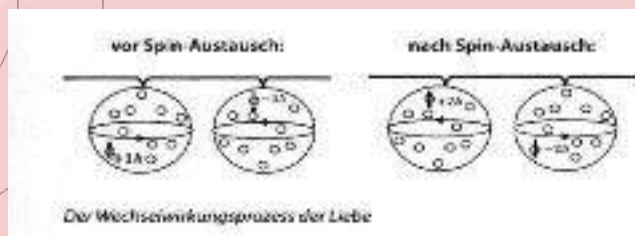
Dies scheint auch das Problem der **„Med Betten“** zu sein, die im Wesentlichen mit **künstlicher Intelligenz (AI)** arbeiten also nach Burkhardt Heim nur vom **Raum X 1 bis zu X 8**, also nur bis einschließlich des **Informationsraumes** aber **nicht mehr mit dem Hyper- Raum**



1. Elektron real (x1,4)

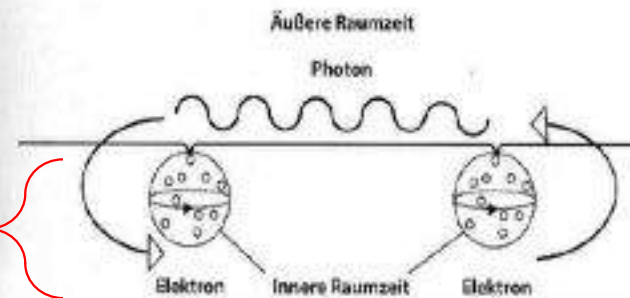


3. Virtuelles Elektron (der inneren Raumzeit) löst sich auf und tankt Information und Energie aus dem **Hyperraum** (Blaupause des Körpers) zur **Regeneration abhängig von der Emotion**



22.1 Charons komplexe Relativitäts-theorie

Abstrahlung (Emission) und Empfang (Absorption) von Photonen aus der äußeren Raumzeit



Elektronen und Positronen mit ihrem innewohnenden **Photonen oder Antiphotonengas** sind die kleinsten elementaren Einheiten des Bewusstseins! Alles wird in den Elektronen u Photonen abgespeichert (Gedächtnis, Erfahrung) der **Austausch an Energie, Information und Spin** erfolgt ständig über **Absorption** (Aufnahme) und **Emission** (Abgabe) von Photonen zwischen **äusserer und innerer Raumzeit**. Alles was jemals erlebt wurde wird in den inneren Photonenringen gespeichert.

Durch Gefühlsveränderung in Richtung **Liebe**, Spinnegativierung, Energiezunahme u **Negentropie** Übergang in Hyperraum um Informationen und Energie sowie neue Erfahrungen aufzunehmen

22.2 Steuerung der Genetik nach Prof Gariaev :

die Geamtsteuerung des Menscher erfolgt über ein

Coincidence
Convergence
Clusters,

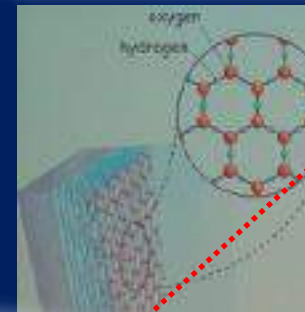
also einer Kohärenz aller Systeme zur Kohärenzkopplung zwischen kosmischen Frequenzen, Schumannwellen und inneren Kohärenzgeneratoren des Körpers (Wasser , Mitochondrien, Microtubuli, Kollagene, Enzyme, DNA usw. (wird extrem durch E- Smog zerstört))

Kosmische Frequenzen steuern unser Leben!

Nach Angaben des chinesischen Quantencomputers SINIRA Oszilliert die Hintergrundstrahlung des schwarzen Loches der Milchstraße mit der irdischen Schumannfrequenz die unser Gehirn und sämtliche Rhythmen im Körper taktet. Die von W.

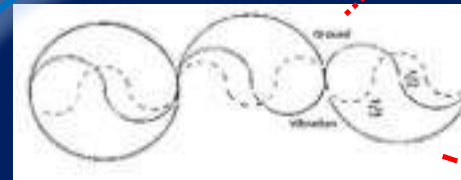


1. Steuerung über hexagonales Wasser in Körperstrukturen und Umgebung



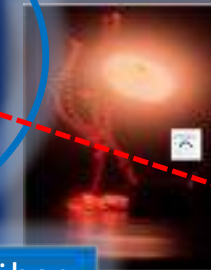
Verstärkung durch:

- Quantenstein
- Wasserstrukturierer
- Wasserstrukturierungsliegende
- Raumharmonisierer
- Bodyharmonizer
- Light Pen
- TIAMATTECHNIK



Fermi-Pasta-Ulam-Rekursion*

2. Steuerung über Phantom DNA



- Kosyrevspiegel
- (Cosmo)-Biotron
- Disconder
- Mentale Techniken
- Persinger Helmet
- Hologramm Flasche
- Kolganovkugel

Der Wellengenetische Code u die Fermi-Pasta-Ulam Regression nach Prof. Gariaev als Grundlage allen Lebens

Aminosäure-Information. Dabei bilden sogenannte Codone (= in mRNA vorkommende Dreiergruppen aufeinanderfolgender Nukleotide) die Grundlage.

Genetischer Code:

Erste Base	Zweite Base				Dritte Base
	T	C	A	G	
T	Phenylalanin	Serin	Tyrosin	Cystein	T
	Phenylalanin	Serin	Tyrosin	Cystein	C
	Leucin	Serin	STOP	STOP	A
	Leucin	Serin	STOP	Tryptophan	G
C	Leucin	Prolin	Hisidin	Arginin	T
	Leucin	Prolin	Hisidin	Arginin	C
	Leucin	Prolin	Glutamin	Arginin	A
	Leucin	Prolin	Glutamin	Arginin	G
A	Isoleucin	Threonin	Asparagin	Serin	T
	Isoleucin	Threonin	Asparagin	Serin	C
	Isoleucin	Threonin	Lysin	Arginin	A
	START Methionin	Threonin	Lysin	Arginin	G
G	Valin	Alanin	Aspartat	Glycin	T
	Valin	Alanin	Aspartat	Glycin	C
	Valin	Alanin	Glutamat	Glycin	A
	Valin	Alanin	Glutamat	Glycin	G

nach: Niemann und Malhotra, 1981

Abbildung: genetischer Code - Übersetzungstabelle zur Proteinbiosynthese. Der genetische Code wird als Tabelle oder als Codonsonne gezeigt. Dabei wird immer von der ersten zur dritten Base gelesen, oder auf der RNA-Sequenz immer von 5' nach 3'.

Durch die **Kombination von 4 verschiedenen Basen und drei zu vergebenden Plätzen im Codon ergeben sich 64 Möglichkeiten zur Beschreibung der 20 proteinogenen Aminosäuren.** Jedes dieser Triplets beschreibt eine Aminosäure. Umgekehrt kann aber eine Aminosäure durch mehr als ein Triplett beschrieben werden.

КРАСНЫЕ - ОЛОЖИТЕЛЬНЫЕ

СИННИЕ - ОТРИЦАТЕЛЬНЫЕ

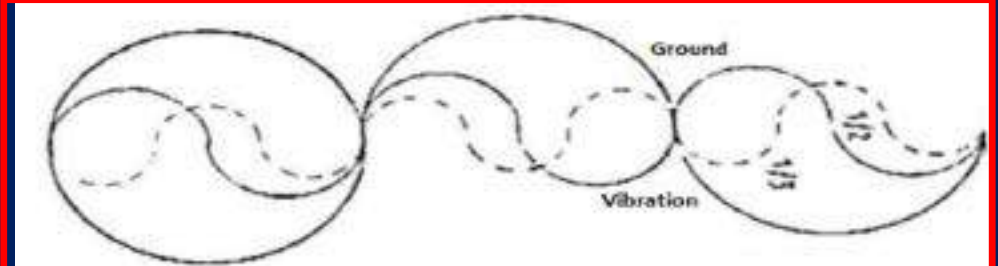


	C	G	T(U)	A
T(U)	TCT Ser	TGT Cys	TTT Phe	TAT Tyr
	TCC Ser	TGC Cys	FTC Phe	TAC Tyr
	TCA Ser	TGA Stop	TTA Leu	TAA Stop
	TCG Ser	TGG Trp	TTG Leu	TAG Stop
A	ACT Thr	AGT Ser	ATT Ile	AAT Asn
	ACC Thr	AGC Ser	ATC Ile	AAC Asn
	ACA Thr	AGA Arg	ATA Ile	AAA Lys
	ACG Thr	AGG Arg	ATG Met	AAG Lys
C	CCT Pro	CGT Arg	CTT Leu	CAT His
	CCC Pro	CGC Arg	CTC Leu	CAC His
	CCA Pro	CGA Arg	CTA Leu	CAA Gln
	CCG Pro	CGG Arg	CTG Leu	CAG Gln
G	GCT Ala	GGT Gly	GTT Val	GAT Asp
	GCC Ala	GGC Gly	GTC Val	GAC Asp
	GCA Ala	GGA Gly	GTA Val	GAA Glu
	GCG Ala	GGG Gly	GTG Val	GAG Glu

Die wichtige Rolle der Bildung von Hexagonalem Wasser zur Informationsübertragung:

Ohne den ausreichenden Aufbau Hexagonaler Wasserstrukturen ist eine saubere **Solitonenfrequenzübertragung** problematisch, da die Determinierung des **3. Basencodes** der DNA fehlerbehaftet ist. Insofern rücken hier natürlich der **Quantenstein**, der **Autoharmonisierer** und die **WASSERSTRUKTURIERUNGSLIEGE**, in den Vordergrund. Es existieren spezielle Gesetzmäßigkeiten wie nun diese Information der Umgebung des Chromosoms auf dritte Baden-Glied zur **Aminosäuredeterminierung** übertragen werden kann:

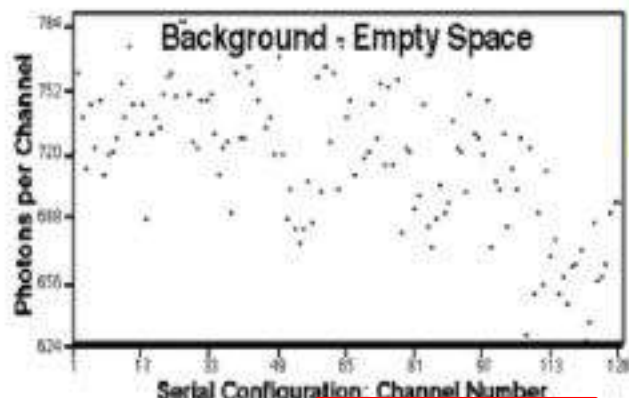
- Hierzu müssen **rechtsdrehende Torsionswellen** sogenannte **Solitone** nach der "Fermi-Pasta-Ulam Rekursion", mit ihren **fraktalen** und **harmonikalen Informationen** (Akustik, wellengenetischer Code nach Gariaev) über das 3. Basenpaar die **DNA-Anfangsmodi aktivieren**.
- **Solitone** sind **rechtsdrehende Torsionswellen** und sind durch Primzahlen in kleinere Anteile teilbar. Nur wenn diese ausreichend vorhanden sind kann Materie oder können Proteine sauber aufgebaut werden. Beispielsweise **Elektrosmog** oder auch **mentale ungünstige Konstellationen** sind Wachstums - verhindernd und drehen die **Torsionswellen linksherum** (Entropiezunahme)



Nur **harmonikale** Einheiten sind dann Gebilde die sich aus Schwingungen ergeben die einen Raum ganzzahlig unterteilen: **d.h. 1/2; 1/3; 1/4 usw., aber auch 1/7; 1/19; 1/23 ...** und beliebige Kombinationen von Oberschwingungen. Wenn man von einem Chor spricht, so müssen die Kombinationen dieser Töne nicht unbedingt harmonisch zusammenklingen. Die harmonikalen Schwingungen entsprechen auch der **Soliton-Bildung** und der **Fermi-Pasta-Ulam-Rekursion***.

Sie sind **fraktal** und schaffen **Materie und damit unser System**, d.h. kohärente (stationäre) Wellen im Austausch mit unseren **morphogenetischen oder feinstofflichen Feldern** an allen **Phasengrenzen** unseres Körpers, die durch **Mikrowellenstrahlung** zerstört werden!

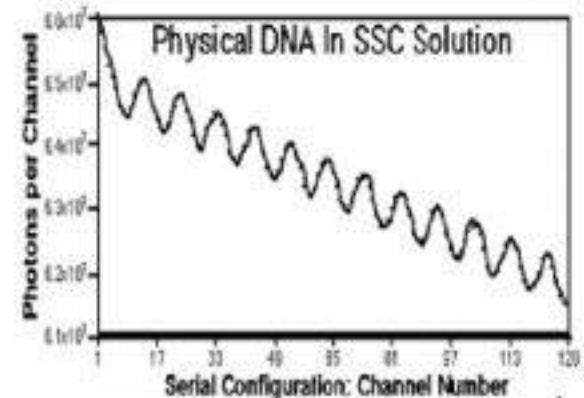
1. die **Gene** sind Dual -sind **Substanz und Feld** gleichzeitig
2. Die **Feldäquivalente der Chromosomen** skizzieren den Raum -zeitlichen Organismus und steuern damit zugleich die Entwicklung der Biosysteme
3. Die Gene verfügen **über ästhetische -bildhafte** und **sprachlich -regulatorische Funktionen**



Total Time 12.8 Seconds

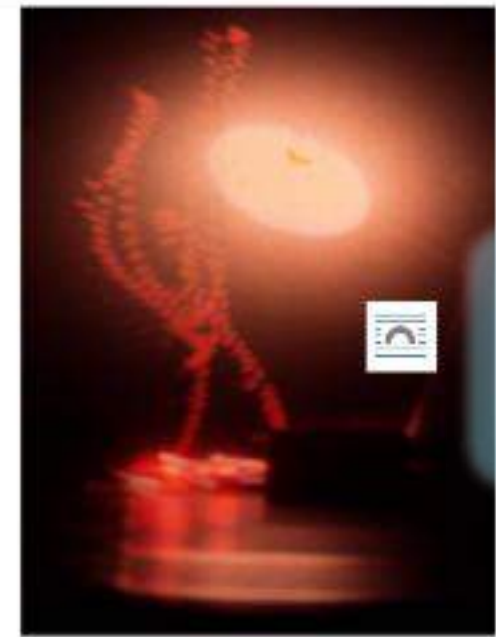
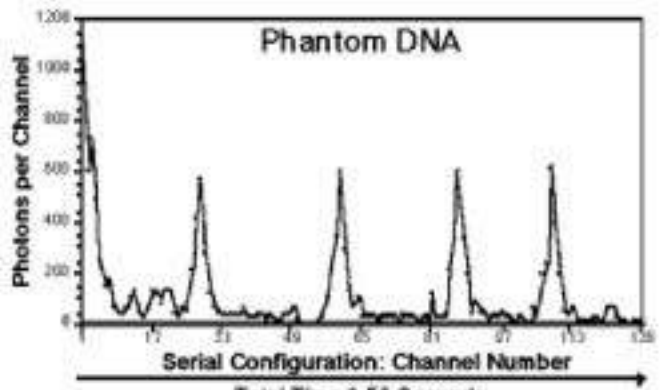
MALVERN <<< K.7032 >>> Version 2.1 Date 18-08-1998 Time 10:40:05
 Controller:1 Sample Time per Channel (µs) = 100
 Auto-correlation

Jede DNA hat ein frequenzspezifisches Abbild der DNA, die Phantom-DNA, die Informationen des nichtmateriellen Feldes auf die materielle DNA überträgt und umgekehrt.



Total Time 0.256 Seconds

MALVERN <<< K.7032 >>> Version 2.1 Date 14-12-1998 Time 12:25:37
 Controller:1 Sample Time per Channel (µs) = 2.0
 Auto-correlation



Manifestation der Fähigkeit der DNA, **Wellenrepliken** zu bilden

- DNA-Wellenrepliken werden in Form quantisierter Strukturen („Maschinengewehrband“) von der DNA-Präparation getrennt. Diffuses Leuchten.
- Eine einfache Form der Anzeige (Replikation) eines DNA-Präparats.
- Das DNA-Präparat wird durch bestimmte physikalische Felder angeregt und trennt Wellenstrukturen (Repliken) von sich, die für das Auge unsichtbar, aber

22.4.2' der Phantom DNA Effekt

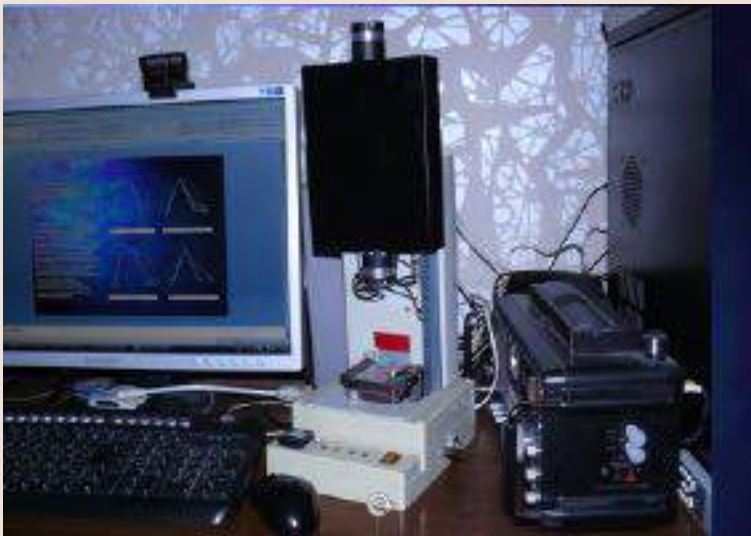
Mit Hilfe der **Korrelationslaserspektroskopie** kann der **DNA-Phantomeffekt** aufgezeichnet werden. Es zeigt eine bisher **unbekannte Art von DNA-Gedächtnis**.

Wenn DNA aus dem Spektrometer extrahiert wird, zeichnet das Gerät weiterhin das dynamische Spektrum der DNA-Source (Phantom) auf.

Linguistische Lasertechniken zur Übertragung von Information auf die DNA

Die Evolution der Biosysteme hat genetische und **Protein- „Texte“** geschaffen, die den natürlichen menschlichen Sprachen ähneln. Unsere Aufgabe ist es, die Sprachen dieser Texte zu verstehen. Das chromosomale Kontinuum von Geweben und Organen fungiert **sowohl als Quelle als auch als Empfänger von Befehlsbildern** (Raum-Zeit und Text), die **durch Hologramme dieses Kontinuums erzeugt werden**.

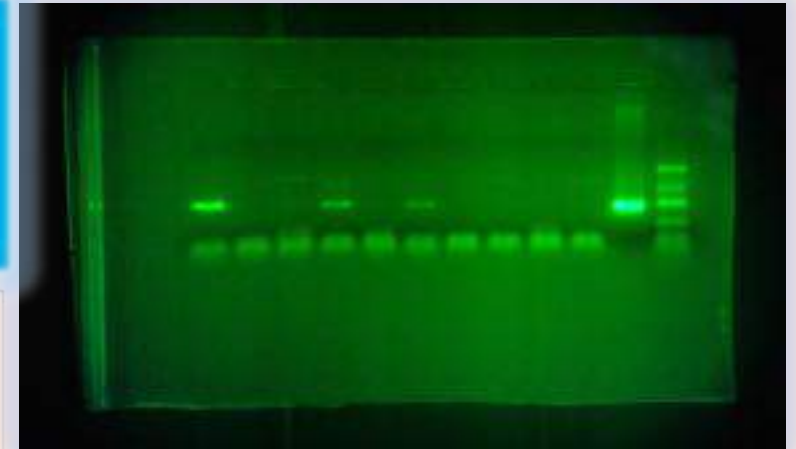
Das chromosomale Kontinuum mehrzelliger Organismen ist ein Analogon des statisch-dynamischen Multiplex-Raum-Zeit-Hologramm-Gitters, das die Raum-Zeit des Organismus isomorph anzeigt. Gleichzeitig ist dieses Kontinuum ein **Quanten-Biocomputer** nach dem Prinzip **der holographischen und Quanten-Nichtlokalität**.



Prototyp eines Quanten-Biocomputers zur Steuerung des Empfängerorganismus mithilfe von Strahlung, in die die Wellen-Bioinformation eingeführt wird

der Phantom DNA Effekt

Hexagonales EZ-Wasser erzeugt UVC-Licht und u.a.. diese holographischen Strukturen



Reproduktion von Luc Montagniers Wasser- Experimenten in unserer Modifikation des Lesens von Informationen aus einer **DNA-Probe** durch **sekundäre Laserstrahlung (mSEI)**.

Von links nach rechts sind die 1., 4. und 6. Bande (Streifen) DNA, die in reinem Wasser synthetisiert wird. Die 11. Bande ist eine DNA-Probe (268 Basenpaare), aus der das mSEI-Spektrum erhalten und auf reines Wasser angewendet wurde. Spur 12 - Banden von 139, 268, 394 und 613 Basenpaaren von DNA, die untere Bande dieser Spur - Primer der Primer. Der Rest der Spuren besteht aus reinem Kontrollwasser ohne Exposition gegenüber mSEI-DNA.

1. Dies bestätigt erneut unsere Hypothese über die Fähigkeit der DNA, eine Struktur der **Wellenautoreplikation und des automatischen Scannens des intrazellulären Stoffwechselstatus und infolgedessen des gesamten Organismus zum Zwecke der Biocomputerregulation lebenswichtiger Funktionen zu sein**. Dies steht in vollem Einklang mit dem Hauptpunkt unseres Konzepts des „Wellengenoms“:
2. Das zweite System basiert auf der **kohärenten Emission von Chromosomen im UV-, sichtbaren und IR-Spektralbereich**. Dies ermöglicht es dem Chromosomenapparat, die **Prinzipien der holographischen Faltungsabtastung genetischer Informationen**, ihre Quanten-Nichtlokalität sowie die
3. sprachlichen Merkmale des Duos „**Ribosomen-mRNA**“ als Teil des Konzepts der Quasi-Verständlichkeit des Genoms als Biocomputer zu verwenden.



Der Wellengene- tische Ursprungs- code der DNA

Nach den Forschungsergebnissen des Biophysikers und Biologen Prof Pjotr Garjajev und seinem Team ist die DNA nicht nur **Sender und Empfänger elektromagnetischer Energie**, sondern nimmt auch die in der Strahlung enthaltene Information auf und interpretiert sie weiter. Die **DNA ist also ein höchst komplexer Interaktiver Biochip auf Lichtbasis mit 3 Gigabits Speicherfähigkeit, der noch dazu in der Lage ist, die menschliche Sprache zu verstehen.** Sie kommuniziert auf einer **syntaktischen und semantischen Ebene**, die allen menschlichen Sprachen gemeinsam ist. Sie benutzt also zur Kommunikation einen Code, den man als Ursprache der Menschheit bezeichnen könnte



Ein Präzedenzfall für die Heilung einer "unheilbarer" **Mukoviszidose** durch die Technologie von LVH.

Linker Informationsspender - **gesunde Schwester** eines geheilten Mädchens Alice (rechts)

Kind mit Mucoviscidose (normalerweise Tod durch Ersticken durch Überschleimung vor dem 18. Lebensjahr) nun durch **Übertragen der Information eines gesunden Phantom- DNA – Teils** auf die kranke Schwester, Kind nun geheilt,



22.3 Die unglaubliche Energie- und Informationswirkung des Wassers



The Fourth Phase of Water - A new paradigm for nature

Prof. Dr. Gerald Pollack, Seattle (USA)

Information storage in water - and Homeopathy

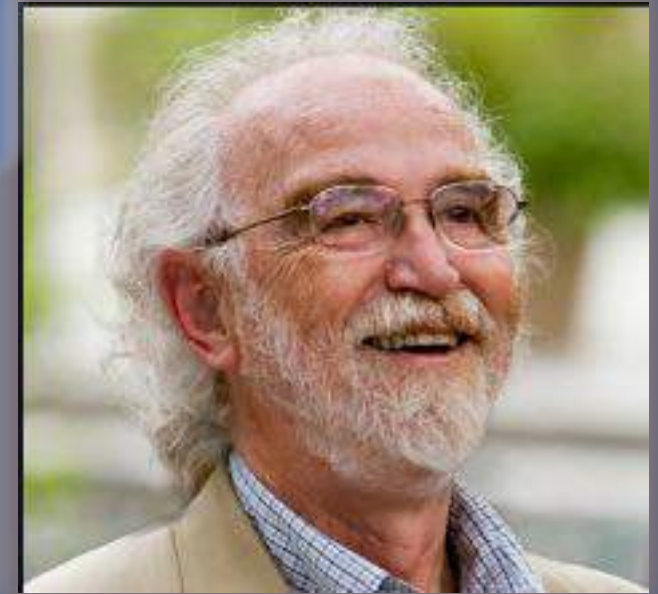
Prof. Dr. Gerald Pollack, Seattle (USA)

The Fourth Phase of Water and Health

Prof. Dr. Gerald Pollack, Seattle (USA)

Wasserforschung erklärt Gesundheit und Wirkung integrativer Heilmethoden

Dr. med. Kirsten Deutschländer, Fürstentum



Gerald Pollack hat seinen PhD in Biomedical Engineering 1968 an der University of Pennsylvania erworben und ist heute Professor für Bioengineering an der University of Washington. Er ist Gründer und Chefredakteur der Zeitschrift WATER, Einberufer der Annual Conference on the Physics, Chemistry and Biology of Water und geschäftsführender Direktor des Institute for Venture Science. Seine breit gestreuten Interessen reichen von biologischer Bewegung und Zellbiologie bis zur Interaktion von biologischen Oberflächen mit wässrigen Lösungen. Sein 1990 erschienenes Buch "Muscles and Molecules: Uncovering the Principles of Biological Motion" wurde mit dem "Excellence Award" der Society for Technical Communication ausgezeichnet, während dieselbe Institution die 2001 erschienene Publikation "Cells, Gels and the Engines of Life" und Pollacks neuestes Buch "The Fourth Phase of Water: Beyond Solid, Liquid, and Vapor" (dt. „Wasser – viel mehr als H₂O“) mit dem "Distinguished Award" und damit ihrer höchsten Auszeichnung bedachte. Das letztgenannte Buch erhielt zudem den "World Summit Excellence Award".

Die Uralische Föderale Universität im russischen Jekaterinburg verlieh Pollack 2002 die Ehrendoktorwürde. Er ist außerdem Honorarprofessor an der Russischen Akademie der Wissenschaften sowie ausländisches Mitglied der Serbischen Akademie der Wissenschaften.



Dr. Kirsten Deutschländer

Wasser unser Lebensmittel Nummer 1
Überraschende Erkenntnisse aus der modernen Wasserforschung

Das Leben auf der Erde ist ohne kein Wasser. Der gesunde Mensch besteht zu ca. 70% aus Wasser. Die Zusammensetzung des Blutes hängt von der Osmose ab. Wasser ist die Grundlage aller Stoffwechselprozesse. Das Trinken von Wasser ist ein wesentlicher Bestandteil der Gesundheit. Eine Aufklärung über die Wirkung von Wasser auf die Gesundheit des Menschen ist ein wesentlicher Bestandteil der Gesundheitsförderung.

Die gewaltige lebenswichtige Rolle von Wasser, v.a. strukturiertem EZ- Wasser nach Prof Pollack



Sonnenlicht und der photoelektrische Effekt (Einsteins Nobelpreis) wirken nicht nur bei Pflanzen, sondern auch bei Menschen und Tieren
Nach Pollack: :

- EZ-Wasser besitzt eine **negative** Ladung
- EZ absorbiert und wächst **unter Licht**
- Dies gilt insbesondere für infrarotes Licht

22.11.2014

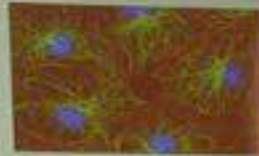
- EZ hat fluoreszierende Eigenschaften und einen Brechungsindex von 10%
 - Während warme Temperaturen die EZ verringern, hat Kälte den Gegenteiligen Effekt
 - EZ hat eine flüssig-feste Struktur (flüssiger Kristall)
- Wasser – **mithilfe des photoelektrischen Effekts** – ist damit das optimale Medium um Licht in Energie umzuwandeln. Während UV-Licht auf unserer Haut als Stimulanz arbeitet, dringt infrarotes Licht tief in unseren Körper ein (aufgrund seiner Wellenlänge) und hat direkten Effekt auf das Wasser rund um all unsere Zellen. Pollack selbst weist darauf hin dass die Erkenntnis, dass unser Körper fast ausschließlich aus EZ-Wasser gemacht ist, fundamentalen Einfluss auf unser Verständnis über Signalwege in unserem Körper, Krankheiten, Hormone und vieles mehr haben könnte.
 - Wasser selbst interagiert mit Zellmembranen und Proteinstrukturen. Wasser ist nicht mehr lediglich ein Transportmittel, sondern ein **wichtiger Bestandteil vieler Abläufe in unserem Körper.**
 - Pollacks Entdeckung erklärt, wie Blutkörperchen sich durch Kapillaren quetschen können, oder wie der Austausch von Stoffen an Zellmembranen stattfindet. Für eine optimale Funktion benötigen wir eine laufende **Batterie** mit einer möglichst **hohen Spannung.**

Gilbert Ling hatte mit Mathematik (!) bewiesen, das ATP eher dafür da ist Proteinstrukturen zu öffnen, damit Wasser sich daran binden kann. Außerdem wurde bereits von **Dr. Jack Kruse** die unterschiedlichen Effekte von infrarot-Licht (baut die Batterie auf) und **UV-Licht** (Erhöhung der Batterie-Ladung via photoelektrischen Effekt) sehr eindrücklich beschrieben.

Quantenphysikalischer Resonanzeffekt der Informationssteuerung in der Zelle (nach Ulrich Warnke)

Übergeordnete Steuerung aus dem Quanteninformationsfeld:

(Morphogenetischem Feld nach Sheldrake):



EZ Wasser und CD's können aus dem Quanteninformationsfeld Informationen „einfangen“ und dann kohärente Schwingungen in dieser Frequenz produzieren und so die **Gene aktivieren und den Stoffwechsel durch Resonanzinduktion steuern.**

Resonanzinduktion: Das bedeutet: benachbarte Moleküle mit der gleichen Frequenz werden selektiv angezogen und aktiviert. (Beeinflusst z.B. durch chronobiologische Rhythmen, Tag-Nacht, Temperatur, Erdmagnetfeld usw.)

Wasser bildet so ein phantastisches **Quanten-Kohärenz-Kontrollsystem!**

„Water Structure Disorder“



DNA und alle Proteine haben keine Aktivität ohne das umgebende Wasser.

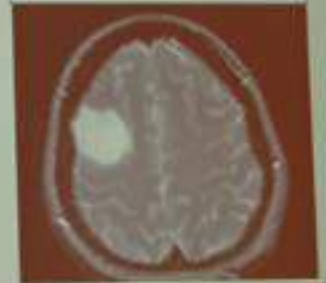
Um biologisch aktiv zu werden, müssen sie eine dreidimensionale Struktur annehmen und benötigen dafür die Informationen aus dem Wasser.

1 Protein umgibt bis zu 70.000 Wassermoleküle in 3 Schichten.

Die Y-Schicht muss hexagonal strukturiert sein, sonst wird die DNA nicht richtig aktiviert und die Folge ist, dass das Protein nicht richtig gebildet wird.

Keime, Toxine oder ein hoher Glukosespiegel können so die y-Schicht angreifen.

Chronische Entzündungen, Herz-Kreislauf-Erkrankungen oder Krebs können sich entwickeln.



LEBENSERHALTENDES WASSER



23.1.1 EZ. Hexagonales Wasser betreibt eine **Resonanzinduktion** um **Enzyme** und unsere **Genetik** anschalten zu können

„Die Zelle ist unsterblich. Allein die Flüssigkeit, in der die Zelle schwimmt, unterliegt degenerativen Prozessen“

Dr. Alexis Carrel (erhielt den Nobelpreis für Medizin für den Laborbeweis 1912)

"Voraussetzung, damit die Zelle ewig währt, ist die regelmäßige Erneuerung dieser extrazellulären Flüssigkeit. Nicht jedes Wasser kann „ewiges Leben“ gewährleisten. Der Unterschied zwischen einer biologisch aktiven Zellflüssigkeit und gewöhnlichem Wasser besteht in dessen **physikalischer Struktur, der räumlichen Anordnung seiner Moleküle (Geometrie)**. Eine Störung dieser Ordnung ist mit Krankheiten verbunden."
Dr. Alexis Carrel

- „Tumore entstehen durch die Zerstörung der **Wasserstruktur** in der Zelle, also im intrazellulären Wasser. Es bildet sich ein **Herd aus „nicht lebendem Wasser“ innerhalb des „lebenden“, quasi-kristallinen, organisierten Zellwassers**. Dieser wirkt als permanenter Reiz auf die Zelle, sich zu teilen. Die Folge ist der Beginn eines wuchernden Krebsgeschwürs.“
- Karl S. **Trincher**, renommierter österreichisch-russischer Biophysiker, **Trincher, K.:** Wasser – Grundstruktur des Lebens und Denkens; Herder, Wien 1990, ISBN-10: 3210250030

10 % des Bindegewebes oder nach Heine und Pischinger, der Matrix, bestehen aus Zellen, 90% also aus Bindegewebsgrundsubstanz mit Einlagerung kleinster Arterien, Venen, Lymphbahnen und Nervenzellen, die ständig zwischen 30 000 und 60 000 Toxinen pro mm³ Gewebe einlagern, d.h. die Zelle an sich ist unsterblich, wenn sie mit entsprechend sauberer Wasserinformation versorgt würde, hierzu müsste das Bindegewebe durch ca. 30 000 Enzyme gereinigt werden, deren Bildung aber von unseren mentalen und emotionalen Einstellungen abhängig ist. Ein Neuaufbau dieses Gewebes ist möglich (Normmensch, ca. 75 kg) mit hohen Mengen an Vitamin C (6g tgl.), dazu ca. 6 g Lysin, ca. 6 bis 8 g Prolin bei Tumorpatienten zusätzlich. Der Wiederaufbau dieser nun zum Aufbau genutzten Vitamine und Aminosäuren erfolgt dann durch Gluthathion oder seine Bestandteile, z.B. Zystein ca. 2,4 g tgl. Die Hühnerherzzellen von Corell lebten 34 Jahre lang, nur durch Gabe sauber informierten Wassers.

Wir enthalten ca. **85% Körperwasser**, welches zu etwa 70% in Körperzellen vorkommt, dort als **hexagonales Wasser**. In Körperzellen und an Grenzflächen des Körpers entfaltet Wasser besondere Eigenschaften; u.a.

- wirkt es pro Mol Wasser als **Ladebatterie**, jedes Eiweiß enthält ca. **70 000 Wassermoleküle und damit ca. 490 000 MV, der gesamte Körper mit 100 000 Proteinen ca. 49 000 000 000 000 MV!**
- Es ist in der Lage **Zellstrukturen wie DNA, Ribosomen oder andere Zellbestandteile als Hologramme zu synthetisieren** und **damit der Zelle zu zeigen, was sie bauen soll!** Extrem ausgeprägt ist dies im Bereich der Zirbeldrüse, hier können nachts ganze „Gesundheitskinos“ dem Körper aufzeigen, was er denn an Gesundheit verbessern kann, sofern die Zirbeldrüse ausreichend funktioniert! (Entgiftung von z.B. Fluor und Glyphosat notwendig, Aktivierung mittels hochdosierten Melatonins, z.B. 300 mg transdermal)
- **Hexagonales Wasser betreibt eine Resonanzinduktion**, zeigt Enzymen, z.B. der Katalase wie dieses Enzym sein Substrat Wasserstoffperoxid zum Umbau in Wasser finden kann, dessen Auffindwahrscheinlichkeit sonst nur bei 1:10 000 liegen würde und wir wären dann in 3 Sekunden durch die Vergiftung mit Wasserstoffperoxid tot!
- Hexagonales Wasser betreibt eine **Resonanzinduktion** um der mRNA /tRNA etc. zu zeigen wo denn die Andockstelle zum Ablesen der entsprechenden Baasen Paare auf der DNA liegen und wo das Ablesen beendet werden soll

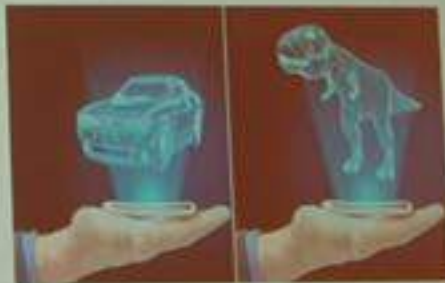
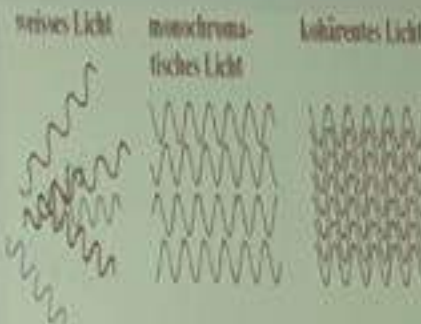
Informationsübertragung durch kohärente elektromagnetische Strahlung (nach Ulrich Warnke)

Die hexagonal strukturierten Wassermoleküle schwingen in Phase erzeugen ein **kohärentes Licht**.

Laser!

Sowohl in der Zelle als auch durch den ganzen Körper.

Laserstrahlen können **Hologramme** aufbauen, die enorme Mengen an **Informationen speichern** und auch wieder auslesen können.



- **Kohärente Zellen, kohärentes Licht, kohärentes Wasser bauen Hologramme** auf und speichern über diese Hologramme ihre **Information!**
- Diese Hologramme zeigen in der Zelle dem Zellbewusstsein wie z.B. eine DNA oder andere Organellen zu bauen sind, s Forschung Prof Montaigner

Dr. Romania Tsenkova University

she showed that near-infrared light that's the light the Sun makes

Anal. Chem. Acta, 2015 Oct 8;896:52-62. doi: 10.1016/j.ana.2015.09.014. Epub 2015 Sep 28.

Water revealed as molecular mirror when measuring low concentrations of sugar with near infrared light.

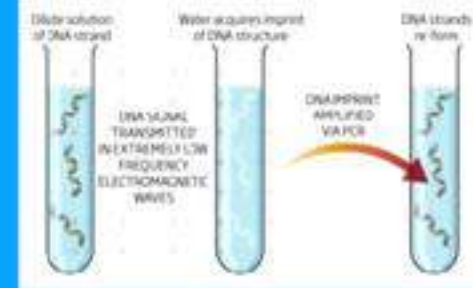
Bárány G¹, Kovács Z², Tanaka M³, Furukawa K³, Nishi A³, Oshawa M³, Itaruk Y³, Sugiyama H⁴, Tsenkova R⁵

Author information

What Montagnier Claims

Eau de Lourdes

A weak electromagnetic field can form an imprint of a DNA strand in pure water, which can then be used to reconstruct the original DNA.



Luc Montagniers Wasser-Experimente | Dr. Retz...

DIE WASSERSTRUKTURIERUNGSLIEGE

(Aus dem Buch „Zirbeldrüse in Gefahr“, Prof. Edinger, 2019)

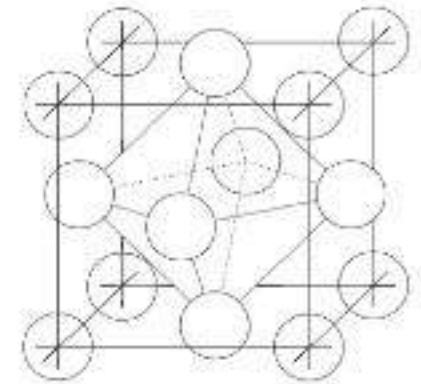
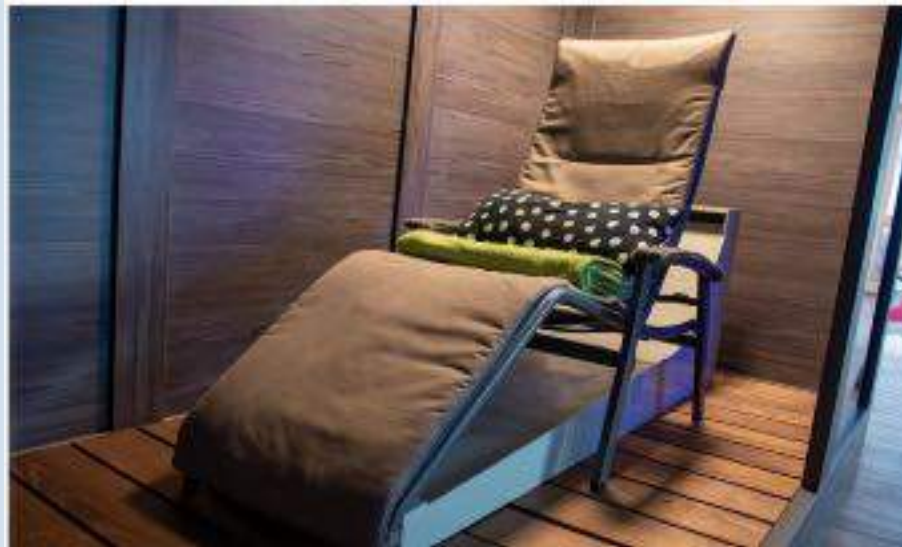
entspricht in ihren Eigenschaften dem **Quantenstein**, allerdings in vielfacher Verstärkung durch Ausbreitung im Atemlufttraum der Zimmerumgebung mit einer **Oxygenierungs Steigerung** pro m³ Luftraum um **44%**

(Dr. Medinger, IIREC-Institut, 2018).

Hier wird der Luftraum um die Wasserliege herum über einen **Wasserstrukturierer**, der in einer Wanne unterhalb des Stuhles im Wasserkreislauf eingebracht ist so energetisiert, dass es nach Angaben vor Einstein und Dr. Volkamer zum Aufbau eines

- „**relativistischen Äthers**“ kommt, d.h. der Wiederaufrichtung aller unserem physischen geistigen und mentalen Strukturen einschließlich des **Hyperraumes** zur kompletten Entfaltung unseres Seins.

22.11.2014



Einsteins "relativistischer Äther" als Basis jedweder Existenz im Universum

Feinstoffliche Erweiterung der Naturwissenschaften

Der Nachweis einer bisher unbekanntes, feinstofflichen Materie führt über einen erweiterten Raum- und Teilchenbegriff zu einer grundlegenden Erweiterung der Physik, Chemie und Biologie. Mikroskopische, makroskopische und kosmische Konsequenzen der neuentdeckten Feinstofflichkeit als Basis eines universellen, realen physikalischen Äthers werden diskutiert.



Dr Klaus Volkamer

23.1.2 Die Wasserstrukturierungsliege als Beispiel für den Aufbau eines relativistischen Äthers , der alle Materie schafft

1. Umsetzung der Zeitwellenenergie im Kosyrevspiegel

22.4 Der Kosyrevspiegel oder die Zeitmaschine

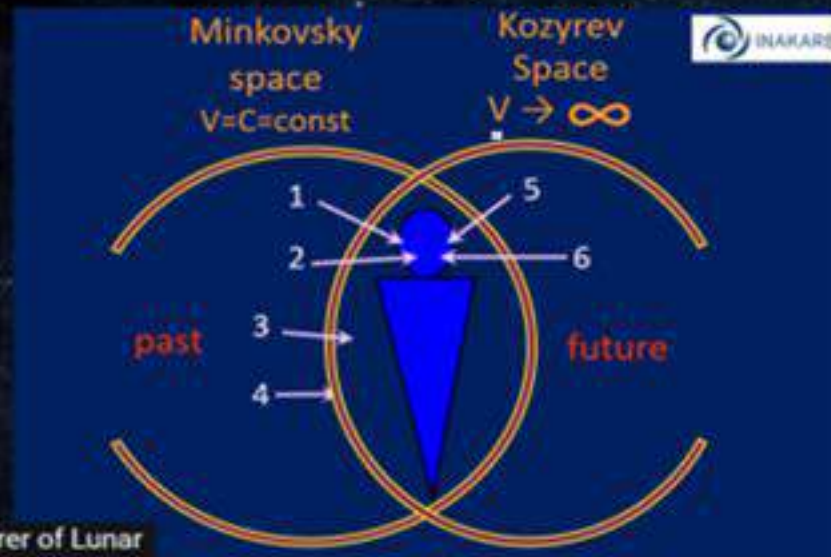
Basierend auf Kosyrevs Ideen wurden 1989 im Internationalen SRI für kosmische Anthropoökologie (ISRICA) einige **metallische Bildschirme für "Energie-Zeit" - Flüsse entworfen**, die von einem Menschen bestrahlt werden. Sie werden als "Kosyrevs Spiegel" bezeichnet.

Laut dem Akademiker **V.P.Kasnacheev**, befindet sich jede lebende Substanz auf der Erde, auch unser Gehirn, in einer Zonenprojektion von zwei Räumen:

1. im **Minkovsky-Einsteins** traditioneller physischer Welt und
2. in Kosyrevs Raum, in dem die **Zeit verschiedene Bewegungen und Dichte hat**.



Nikolai A. Kosyrev (1908 - 1983) - Discoverer of Lunar Volcanism



- 1 — Consciousness level (Aristotle lope); 2 — Subconsciousness level (Boyes logic);
- 3 — 'Basements' of consciousness; 4 — Man's coiporality supporting the consciousness;
- 5 — Metalevel (cosmic consciousness); 6 — 'Basements' of cosmic consciousness.



Schwächung
des Erdmagnet-
Feldes um das 550
bis 650 fache

*Das elektromagnetische
Feld unseres Planeten ist
schlussendlich der
Schleier, der Raum und
Zeit in unsere alltägliche
Newtonsche Realität
herunter filtert – und uns
so die menschliche
Erfahrung der linearen
Zeit ermöglicht.“*

*„Unter Ausschluss
(Abschirmung) von“
elektromagnetischen Feldern
haben wir einen Zugriff auf
ein Energiefeld
»unmittelbarer Lokalität«, das
unserer Realität unterlegt ist.
Sobald eine Person diesen
Zustand einmal erreicht hat,
bleibt ihr Bewusstsein so
ausgedehnt.“*



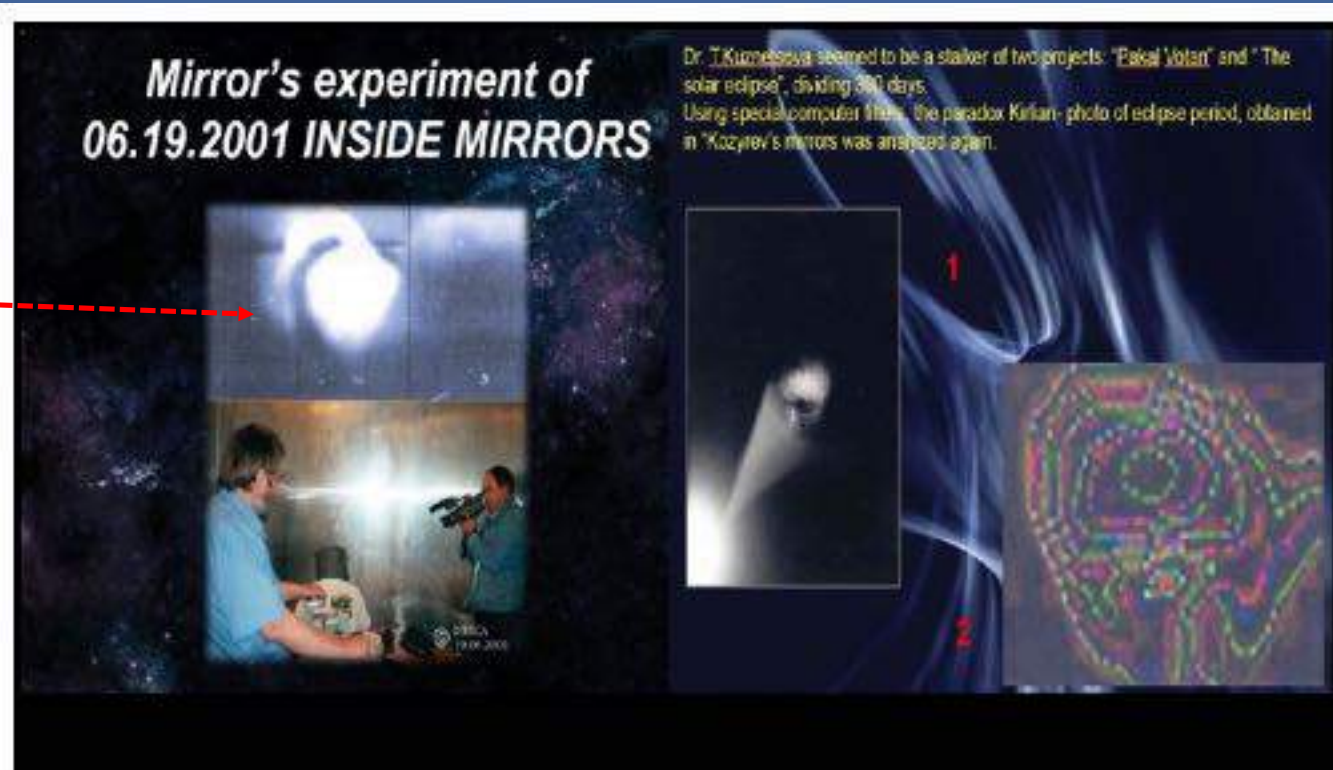
"... Wir legen großen Wert auf die kosmophysikalische Rolle des Kosmos, in der das Leben gebildet und entwickelt wurde. Es ist mit der kosmoplanetaren Autotrophie verbunden, ... von dem das Überleben der Menschheit in der Epoche der globalen Veränderungen auf der Erde abhängt.,

V.P. Kaznacheev

Innerhalb dieser
Abschirmung von
äußeren
Magnetfeldern
konnten die
Probanden
zuverlässig auf alle
Orte und Zeiten
zugreifen –
Vergangenheit,
Gegenwart und
Zukunft –
unmittelbar.

Veda
pulse

der
Phantom
DNA
Effekt



Auf diesem Bild das in völliger Dunkelheit entstand durch automatisch funktionierende Kameras bei Beginn eines Lichtblitzes kann man deutlich die bereits von Gariaev bekannten **Phantom DNA Bilder**, die sich innerhalb des Spiegels auf der Wand abzeichneten, sehen.

Diese Phantom DNA ist in der Lage, erhebliche Informationen des gesamten Kosmos an unsere homonymen DNA-Anteile zu liefern, um diese zu korrigieren!

Dies geschieht insbesondere durch die von Kozyrev bereits beschriebene Zeitverdichtung und Aktivierung des Zeitflusses,



Visualisierung und Telepathie im Inneren des Spiegels

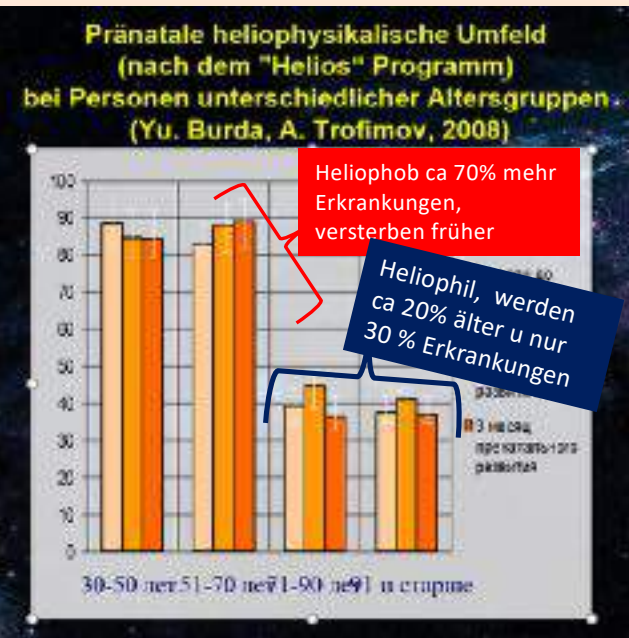
Lokale Therapie im Kosyrevspiegel/Heilung von Tumoren

2015 nahmen 12 Frauen mit Schilddrüsenkarzinomen an einer Experimentalreihe im Kosyrevspiegel teil. Sie sollten eine Zeit visualisieren lange bevor der Tumor aufgetreten war und sich ihre damalige vollkommene Gesundheit vorstellen. Die Sitzungen dauerten **20 min** und wurden ca 10 mal wiederholt. **Nach bereits 3 Sitzungen hatten 8 von 12 Frauen radiologisch nachweisbar keine Tumore mehr !**

Ferntherapie im Spiegel:

Auch dies ist möglich, so reicht bereits 1 Foto, das einen ehemals gesunden Zustand eines Menschen oder Tieres in der Vergangenheit darstellt um sowohl

- Verjüngungsergebnisse als auch
 - Gesundheit zu erzielen ,
- so Prof Trofimov vom Zentrum ISRICA , Novosibirsk, 2020



80% aller Menschen sind **heliophob**, , heißt, sie vertragen die schweren **Sonnenprotonen** nicht , **haben ca ¾ mehr Erkrankungen** , v.a. **Herz-Kreislauferkrankungen** und **sterben vor dem 80. Lebensjahr** – dies im Gegensatz zu den **20% beglückter Menschen**, die weniger abhängig von den geomagnetischen kosmischen Eigenschaften der Sonne sind (**heliophil**). Diese leben **deutlich länger mit nur ¼ der Erkrankungen des Heliophoben!**

6.1 Planetenprogramm Helios

80% der Menschen sind heliophob und sterben früher, warum?

Computer conclusion on the program "Helios"

Fullname: Valeri Gregory The birthday date: 24.10.1974, Sunday
 The counted date of the conception (CDC): 17.02.1974, Sunday

Newmoon: 24.10.1974, Thursday 30Days
 Fullmoon: 31.08.1974, Thursday 75Days
 28.10.1974, Friday 7Days

Die ausgewählten Parameter, welche uns am stärksten beeinflussen im Oberbiss:

- Die Mondphasen:** Sie geben an wie groß der Einfluss von Neu- und Vollmond im Zusammenhang mit Ihrem Geburtstermin ist. Einige Personen sind empfänglicher für die Effekte des Neumondes, andere des Vollmondes.
- Magnetfeld der Erde:** Gibt die Stärke der Magnetfeldschwankungen (auch Kp-Index genannt) an. Hier wird aufgezeigt wie sehr das Erdmagnetfeld auf den Menschen pränatal Einfluss genommen hat.
- Interplanetares Magnetfeld:** Gibt die Ausrichtung der Polarität der koronalen Massen ausströme an. Je nach Ausrichtung zum Nord und Südpol beeinflussen diese das Erdmagnetfeld.
- Sonnenstrahlung:** Der Anteil der Sonnenstrahlung, die ohne Einfluss des Menschen auf die Erdoberfläche gelangt.
- Wolf-Zahl:** Gibt die Anzahl und Größe der Sonnenflecken wieder. Ist also eine Maßzahl für die Sonnenaktivität. Eine verstärkte Sonnenaktivität ist etwa alle 11 Jahre zu beobachten.
- Quadrat der Sonnenflecken:** Objektive Bewertung der Fläche der Sonnenruptionen.
- Anzahl der Magnetstürme:** Konkrete Anzahl der magnetischen Stürme der Sonne.

Durch die Beobachtung des kosmischen Wetters, und nach Möglichkeit der Voraussage besonderer Ereignisse, wie z.B. Sonnenruptionen, können Schutzmaßnahmen ergriffen werden, um dessen Einfluss zu minimieren.

Nach dem Mathematiker Pythagoras, besteht eine Korrelation der geistlichen Deben der grössten Denker mit planetaren Frequenzen.

Heliophile oder heliophobe Eigenschaften hängen von der **Geburtszeit** und vom kosmischen Wetter ab , d.h. vom Zeitpunkt der **Zeugung, Schwangerschaft und der ersten Lebenswoche** . Dies kann z.B. mit dem Programm „**Helios**“ gemessen werden durch Eingabe der ungefähren **Geburtszeit**.

- Je **höher die Zahlenparameter desto grösser die Abhängigkeit von kosmischen Magnetfeldern** und der Sonne im Negativen Sinn. Durch **Schwächung der Magnetfelder** um **ca. 500 bis 650 – fache**, beispielsweise durch ein **Hologramm**, lässt sich dies durch Trinken des „**Hologrammwassers**“ innerhalb von **4 Wochen ändern!**



24.1 Holgrammwasser zur Korrektur der Heliphobie und Lebensverlängerung durch Optimierung physiologischer Komponenten

Extreme Übertragung kosmischer Elektronen/Photonen über das Aurora Hologramm an Wasser

Das durch Sonnenstürme freigesetzte Plasma verursacht Entropie, also Unordnung, im Körperwasser und wird durch das „Aurora“ informierte Wasser wieder in Negentropie, also in Ordnung, gebracht.

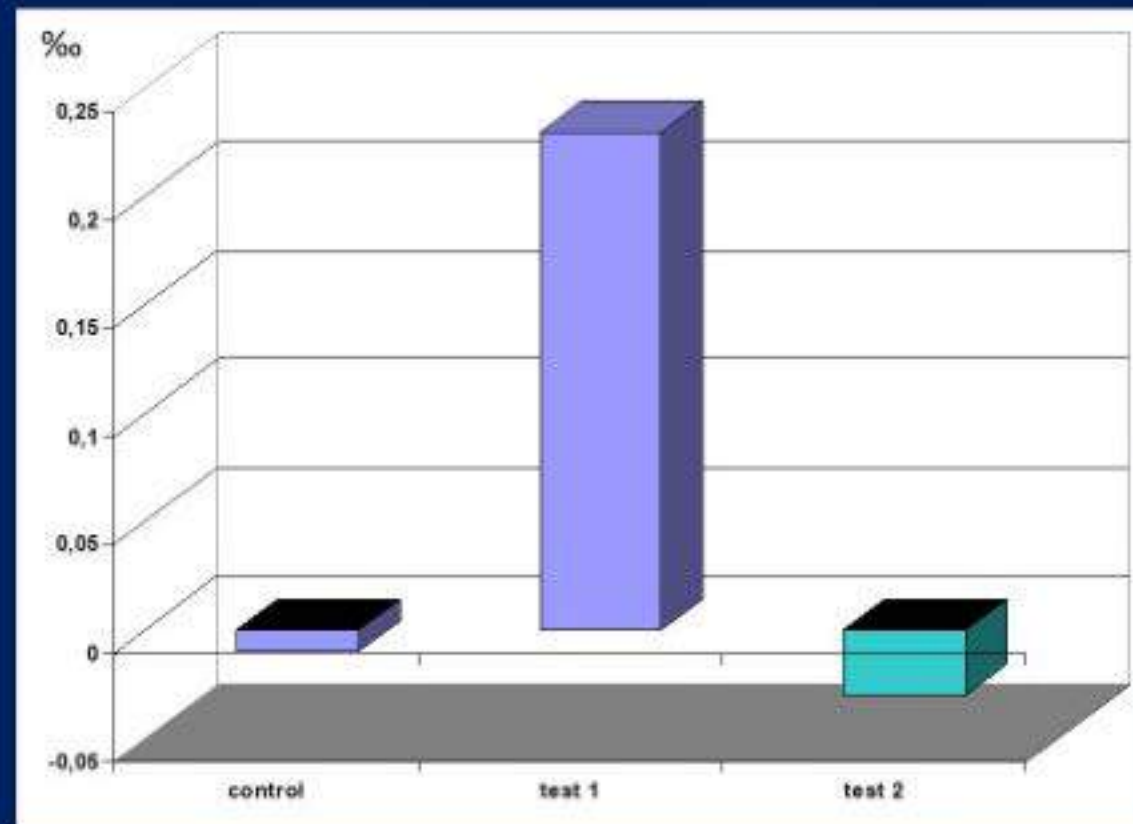
Durch Einsatz
holografischen
Packeiswassers



Oder des
hypomagnetischen
Gerätes TRUDR



Dynamics of ^{13}C relative contents in rat wool after
using light (test 1) and water (test 2) helio-gero-
protectors within a month. (massespectrometre)



Deutliche
Lebensverjüngung bei
Ratten um den Faktor
,ca 62%! in 4
Wochen, ersichtlich,
am nicht radioaktiven
 ^{13}C - Körper im
Massenspektrometer
gemessen.
Dies dürfte rein
rechnerisch auch auf
den Menschen
übertragbar sein

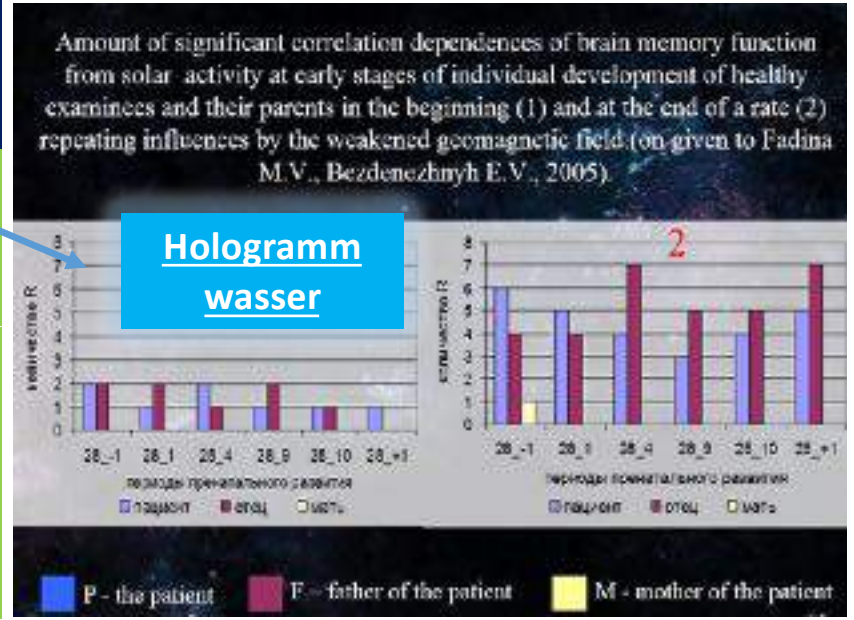
Die unglaubliche Wirkungsveränderung der menschlichen Physiologie durch die **Schwächung des Erdmagnetfeldes um das ca 600 – fache**

(Kosyrevspiegel) und durch Trinken des **Hologrammwassers**, tgl 1

1. Nach nur 4 Wochen Trinken des Hologrammwassers im Rattenversuch mit 16 Monate alten männlichen Test Ratten (Leben ca 24 Monate) **Steigerung des Testosteronspiegels um das 8 – fache**, sowie des **Nicht- radioaktiven C- 13 – Spiegel** (Altersmarker, gemessen in Massenspektrometern) um das **42- fache!** umgerechnet auf den Menschen (nach Berechnung Trofimov, Kasnacheev 2015), **Verjüngung/biologisches Alter nach 1.5 bis 3 Jahren zwischen 23 und 62 %!**

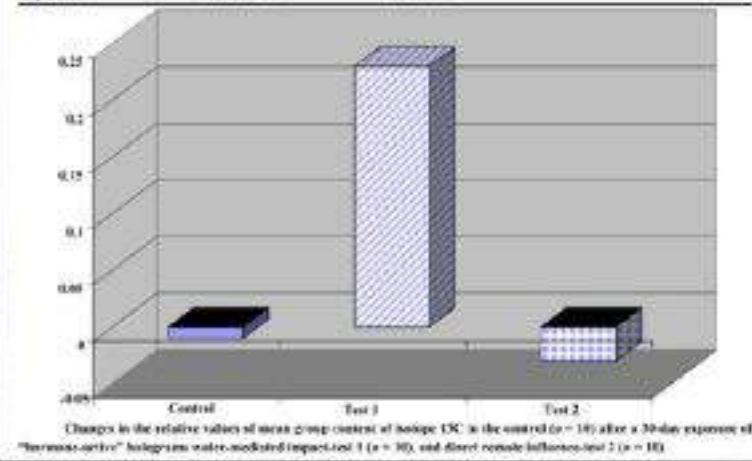
2. Erhebliche Steigerung von **Gedächtnis** u Konzentration durch Schwächung des Erdmagnetfeldes (3 – fach!)

3. Verlängerung der **Genlänge für Dopaminerezeptorbildung:** Besserung von Konzentration, Gedächtnis, Antrieb, Stimmungssteigerung, bessere Motorik u Beweglichkeit etc.



The dynamics of the relative isotope content EIC (M ± m) in the control and experimental (1 and 2) groups in measurements of 15/09/2007 and 18/09/2007.

	15/09/2007	18/09/2007	Z
Control	-23.81 ± 0.09	-23.31 ± 0.09	
Experiment 2	-23.82 ± 0.03	-22.82 ± 0.04	-0.81
Experiment 1	-22.52 ± 0.05	-23.8 ± 0.06	



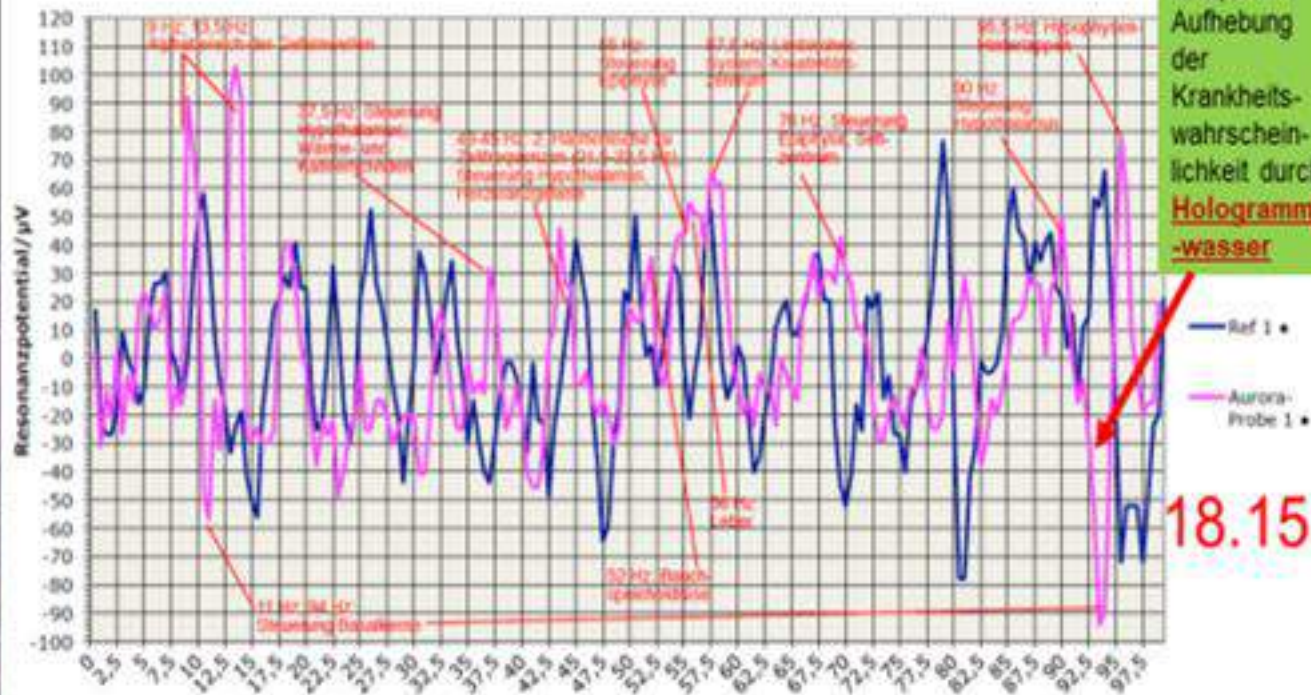
The degree of change (from 15/09/2007 to 18/09/2007) of the relative content of the isotope EIC in the control and experimental (1 and 2) groups of rats.

	Experiment 2	Experiment 1	Z
Control	-0.45 ± 0.07	-0.59 ± 0.06	
Experiment 2	-0.31 ± 0.05	-0.49 ± 0.06	P = 0.81 between experiments 1 and experiment 2



2/3 aller Erkrankungen ereignen sich kurz vor Vollmond und bei Neumond

Kohärenzspektren (geglättet, breitbandige Basiskorrektur)
Aurora-Hologramm-Probe und Referenz bei Neumond



Mittels der vom IIREC Institut entwickelten Kohärenzspektroskopie ist es möglich, solche, im Bereich biologisch wirksamer Grundfrequenzen von 0 bis 100 Hz, eingepprägten Signale durch Detektion im Mikrowellenbereich festzustellen. Die Abbildung oben zeigt die Kohärenzspektren von der Aurora-Hologrammprobe und einer Referenz bei Neumond.

Problematik der ansteigenden Sonnenprotonen , z. b. bei Neumond:

- Hypothalamus, Hypophyse, Epiphyse, einschliesslich Nebenniere und Gonaden : **Absturz der Hormonbildung um mehr als 2/3 der ursprünglichen Funktion!** Damit Leistungstief, **PMS**

- Leistungstief emotionales System, **Stimmungsschwankungen und Depressionen**
- Herabminderung der Hormonbildung des **Pankreas**
- **Bluthochdruck** und Erzeugung vegetativer /endothelialer Dysfunktionen

TECHNOLOGIE DER ENERGIEÜBERTRAGUNG VON JUNGEN OBJEKTEN ZUM MENSCH

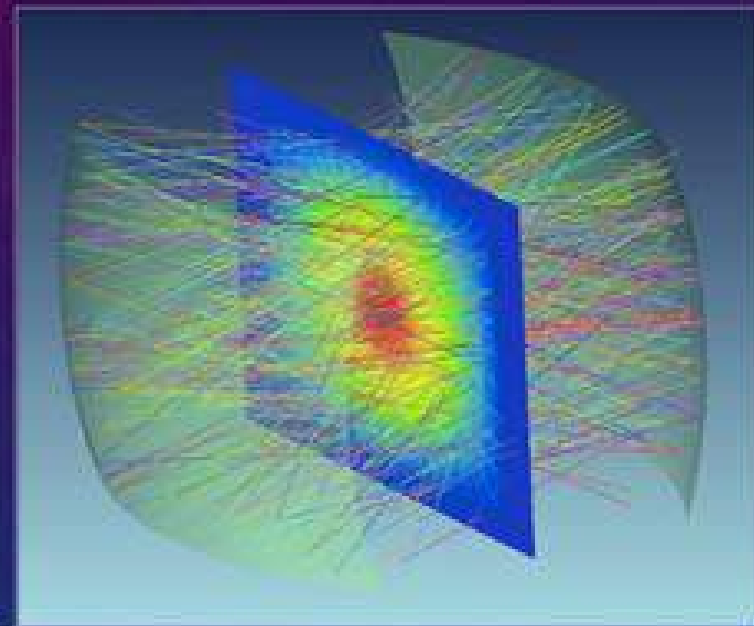
Institut der BioRegeneration des
Menschen, Moskau

V.8 Das Biotron



22.6 Korrektur vor allem durch das
Genom keimender Pflanzen, das
BIOTRON

ERGEBNISSE DER MATHEMATISCHEN
SIMULATION DES BIOTRONS



Die Simulation wurde im optischen Bereich mit Hilfe von Zemax
erstellt.

Korrektur von allem durch das Genom keimender Pflanzen, das **BIOTRON**

Das **Biotron** ist ein System, das in der Lage ist, Pflanzenkeimlinge so zu nutzen, das mittels ihrer Mitogenetischen Strahlung, die hier in der Beschreibung von **Gurvich** dargestellt ist, die vier Hauptzeitkristalle **Thyrosin, Phenylalanin, Tryptophan und Histidin**, die wiederum die **500 wichtigsten Proteinketten herstellen können**, die wir zum Leben benötigen, aktivieren. Das Biotron ist ein System das quasi in einer geometrisch exakten Kapsel Pflanzeninformationen im Sinne der Informationslieferung auf das von Gariaev beschriebene Homonym der DNA liefern kann!!!



Die BioRegeneration des Menschen

Technologie der BioEnergieübertragung von Jungen Objekten zum Menschen



Der russische Wissenschaftler **A. Gurvich** war der erste auf der Welt, der die Wirkung der Strahlung eines lebenden Organismus auf einen anderen entdeckte. Im Jahr 1923 führte er ein Experiment durch, bei dem eine kranke Zwiebel eine gesunde Zwiebel durch eine luftdichte Abtrennung infizierte. Wenn diese Trennwand aus Quarzglas bestand, konnte die erkrankte Zwiebel eine gesunde infizieren und wenn diese aus Glas oder Folie bestand, gab es keine Wirkung. Gurvich nannte diese Strahlung **mitogen**.



Und später, ab den 1950er Jahren, übernahm Chiang Kanzhen diese Technologie. Er begann seine Arbeit in China, wo er als Student ein Labor erhielt. Und dann musste er während der Kulturrevolution die Toiletten putzen. Und er floh in die UdSSR. Zuerst kam er zur Holzfällerei und dann, seit den 70er Jahren, wieder in die Wissenschaft. Jiang ist ein brillanter Mann. Er versuchte, alte oder kranke Organismen mit konzentrierter Strahlung junger Organismen zu bestrahlen und erzielte eine konstante Wirkung. Sein Gerät in Form eines großen Balls kostet laut ihm jedoch 120-150 Tausend Dollar und ist nicht sehr effektiv.

Seit mehr als 60 Jahren arbeitet **Dr. Chiang Kanzhen** aus Chabarowsk an dem Problem des Transfers von Bioenergie oder Bioinformation von einem lebenden Objekt zum anderen. Er dirigierte eine Vielzahl von Experimenten.

Dr. Chiang Kanzhen testete viele verschiedene Gerätedesigns, die er Biotron nannte. Am effektivsten war das sphärische Design, das jetzt verwendet wird. Es gilt als das Harmloseste, Erschwinglichste und ist gleichzeitiger Spender von Bioenergie. Dr. Chiang Kanzhen verwendet junge Pflanzen (Weizen, Hafer, Erbsen usw.).



Dr. Evgeny Vyacheslavovich Komrakov



wurde in Leningrad geboren. Er arbeitete in der Baltic Shipping Company, zuerst als stellvertretender Kapitän und bald als Kapitän. Seit Anfang 2003 leitet er einen der vielversprechenden Bereiche der Transas-Unternehmensgruppe - ZAO RET Kronstadt, der mit dem Ziel gegründet wurde, die High-Tech-Technologien von Transas auf dem Militärmarkt zu fördern. Als aktiver Teilnehmer an nationalen und internationalen Konferenzen zur Gewährleistung der Sicherheit der Navigation ist er Autor von mehr als 40 Artikeln und wissenschaftlichen Artikeln in russischen und ausländischen Publikationen. Im Jahr 2002 hat er vor der International Academy of Transport promoviert.

Dr. Komrakov besuchte Dr. Chiang Kanzhen Ende 2008 - Anfang 2009 und war von der Wirksamkeit seines Biotrons überzeugt.

Die Weigerung von Kanzhen zu einer Zusammenarbeit, ließ Dr. Komrakov darüber nachdenken ein effektiveres Design des Biotron zu gestalten. Ein Neues Design vom Biotron war in 9 Monaten entdeckt und patentiert.

Derzeit sind Patente oder Bestätigungen ihrer Gewährung in 50 Ländern erteilt.

Energieinformationsstruktur des Sterbenden

Konstantin Korotkov ist Leitender Direktor des Forschungsinstitutes für **Physische Kultur** in Petersburg, und Wissenschaftler
Maßgebender Entwickler des Biotrons

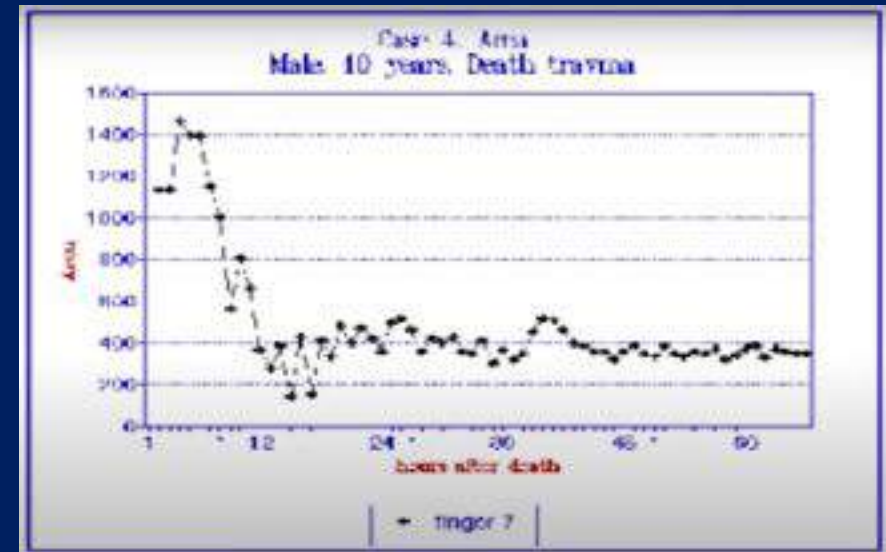
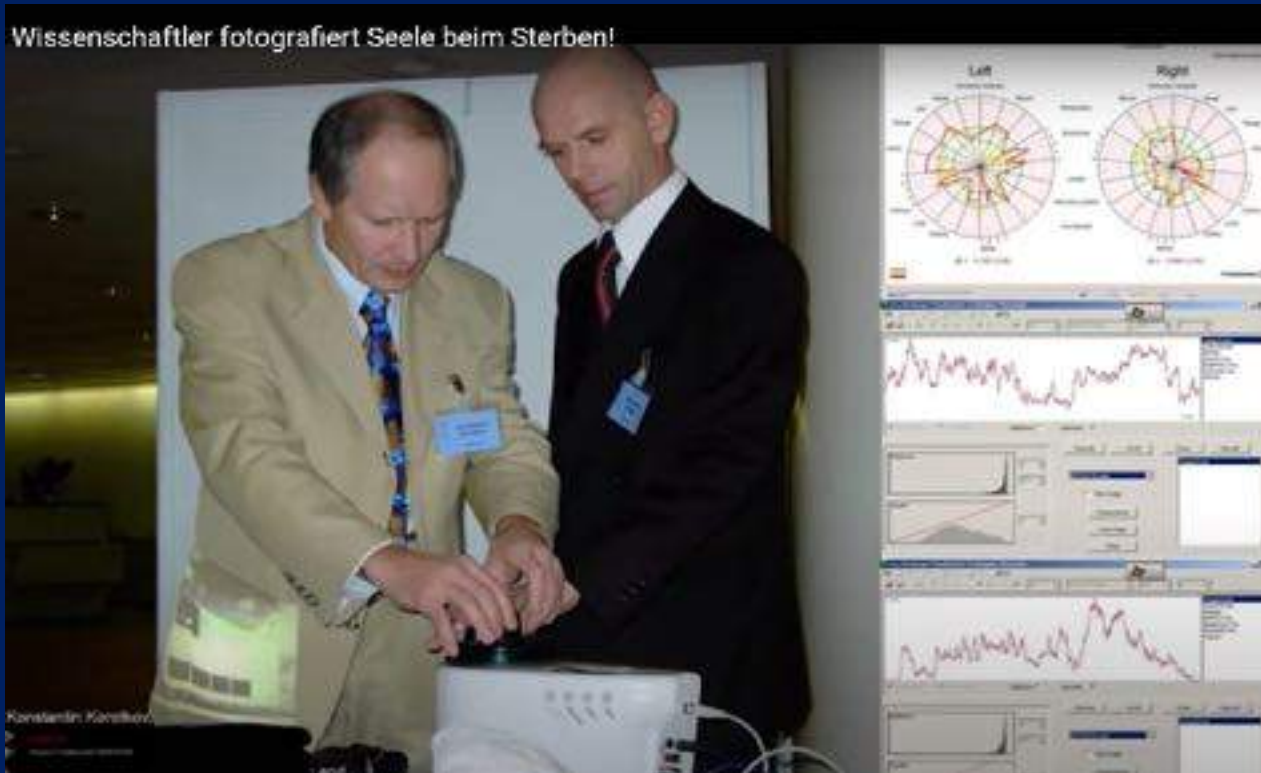
Es existiere eine Energieinformationsstruktur, die auch nach dem Tod noch archaisch erhalten bleibe, dies entspreche der **Seele**, die zu Lebzeiten mit dem Körper verbunden sei aber auch ohne ihn leben könne !

so gebe es den

- **Physischen Körper** und eine
- **Energieinformations-struktur**. Diese bleibe selbst nach dem Tod für einige Tage erhalten

GDV des Sterbenden

Wissenschaftler fotografiert Seele beim Sterben!



DR. CHIANG KANZHEN AUS CHABAROWSK

UND SEIN BIOTRON Dr. Chiang Kanzhen , <http://www.jiang.net.ru/>



- Der Patient wird in einen speziell eingerichteten Raum mit **gerundeten** Wänden gebracht. (sog. „heilige Geometrie“ der Quantenberechnungen)
- Die Wände des Biotrons sind mit einem besonderen Reflexionsstoff bedeckt und haben eine präzise gemessene Geometrie und arbeiten mit **Infrarotemissionen**.
- Auf einer Liege mit der fokalen Zone im Zentrum des „Magischen Raumes“ platziert, empfängt der Patient die **Bioenergie-Photonen, die von den Pflanzen ausgestrahlt werden** (am häufigsten werden verschiedene Getreidearten eingesetzt: Weizen, Roggen, Gerste, Erbse, Buchweizen, Amarant usw.).
- Die Pflanzen werden individuell für jeden Patienten ausgesucht).
- Die Form der Wände und der besondere Reflexionsstoff ermöglichen eine maximale Übertragung der Energie der **Keimpflanzen in die fokale Zone, d.h. zum Patienten**.
- Das System nutzt als zusätzlichen Mediator **Infrarotlicht**, das stärkste, die Mitochondrien und die DNA korrigierende Licht.

- BIOTRON „DAS EI“ AUS MOSKAU

- BioRegeneration in der Kapsel Biotron , einmalige Technologie der Heilung und Verjüngung des menschlichen Körpers durch Aktivierung der „Gene der Jugend“ .
- Aktivierung, Korrektur und Regeneration des **biologischen Leistungsvermögens** des menschlichen Organismus.
- BioRegeneration zielt auf eine BioRevitalisierung der Zellen eines Lebewesens hin, d.h. eine Verbesserung der Funktion des Grundstoffwechsels.
- Im Rahmen dieser Konzeption erfolgt die Umsetzung auf eine naturgegebenes Niveau unter Ausgleich schädlicher Umwelteinflüsse
- Ausgleich von Strahlenbelastung und giftigen Noxen durch Ernährung, Chemtrials, Fluorwasser, Elektrosmog etc.



ALTERSEXPERIMENTE MIT MÄUSEN

Beginn	Anzahl der Mäuse fokal Sahen aus wie junge Mäuse bis zum Schluss	Anzahl der Mäuse control group Kein Biotron Wie <u>alte</u> Mäuse	Anzahl der Mäuse outside focal	Alter der Mäuse bei Beginn 20 -21 Monate alt /78years to hman standard H.
23.02.17	10	5 <u>bewegten sich kaum!</u>	9	<u>20 -21 Monate alt /78years to human standard H.</u>
20.05.17		All died /		21.7 months 91 years by human
29.05.17	8		1	24 months (M.)/92 H.
10.06.17	Bewegten sich die ganze Zeit		died	24.3 m./93 H.
27.06.17	8 Also 80 % der Mäuse wurden 23% älter			25 m./96 H
28.09.17	1 38% älter!			28 m./108 H. Starb mit 110 41% älter

Die letzte Maus in der Testgruppe starb nach menschlichen Maßstäben im Alter von 110 Jahren. Wenn das mittlere Alter der Kontrollgruppe nach menschlichen Maßstäben 78 Jahre betrug, betrug das **mittlere Alter der Mäuse in der Studiengruppe 98 Jahre. 20 Jahre älter!** Gleichzeitig wurden die Mäuse aller Gruppen absolut gleich gehalten, sie wurden die ganze Zeit **nur mit billigem Trockenfutter gefüttert**, das offensichtlich nicht zur Langlebigkeit beitrug, keine Antioxidantien, keine Geroprotektoren gab, sie nicht zu zusätzlicher körperlicher Aktivität zwang usw. Dieses Ergebnis wurde **NUR durch Exposition mit konzentrierter elektromagnetischer Strahlung von jungen Pflanzen für 12 Stunden pro Monat erzielt.**

- Es wurde ein langes Experiment zur Verlängerung der Lebensdauer alter Mäuse durchgeführt. Tatsächlich wurde die im Patent RU2057808 beschriebene Erfahrung von Jiang Kanzen mit besseren Ergebnissen wiederholt. Die Mäuse wurden maximal **132 Stunden in Biotron gehalten** (5,5-mal weniger als bei Jiang), und die **maximale Lebenserwartung wurde um 23% erhöht.** Besonders auffällig waren **die Lebensqualität und das Aussehen der getesteten Mäuse. Während Mäuse in der Kontrollgruppe sich kaum bewegten, dick waren, mit Grau und Alopezie hatten**, sahen die Mäuse in der Testgruppe dem Tod fast **wie junge Mäuse aus, hatten fast keine Grau- und Alopezie, bewegten sich aktiv und starben "auf der Flucht" - sie waren nicht krank und legten sich nicht hin.**

1. Es gab ein Experiment mit sehr alten Mäusen über 2 Jahre, die mit **Mäusen im Alter von 1,5 bis 3 Monaten** bestrahlt wurden. Die **Versuchsgruppe lebte seit Beginn des Experiments im Durchschnitt doppelt so lange wie die Kontrollgruppe**.
2. Wenn man bedenkt, dass das Experiment begann, als die Mäuse über 2 Jahre alt waren, oder bedingt über 75 Jahre alt nach menschlichen Maßstäben, scheint das Ergebnis recht gut zu sein.
3. Es stellte sich heraus, dass Mäuse in der Kontrollgruppe nach bedingt menschlichen Messungen ein Durchschnittsalter von 82 Jahren hatten und die letzte Maus mit 87 Jahren starb, während in der Testgruppe das Durchschnittsalter bei **90 Jahren lag und die letzte Maus mit 103 Jahren starb**.
4. Die Ergebnisse deuten darauf hin, dass es möglich ist, ab **jedem Alter mit der Nutzung des Biotrons** zu beginnen, auch im hohen Alter.

Sinnvoll sind

2-4 Mal im Jahr 12 Sitzungen
abzuhalten.

Aktuell in Rolandseck:
8x 30 min Sitzungen für einen Zyklus der
Biotron- Behandlung

https://drive.google.com/file/d/15zH00MND7nzg4z_Pct9LSQbFCmYBJQ_5/view?usp=sharing



ENG MICE коротко 16.10.mp4 - Google Drive

drive.google.com

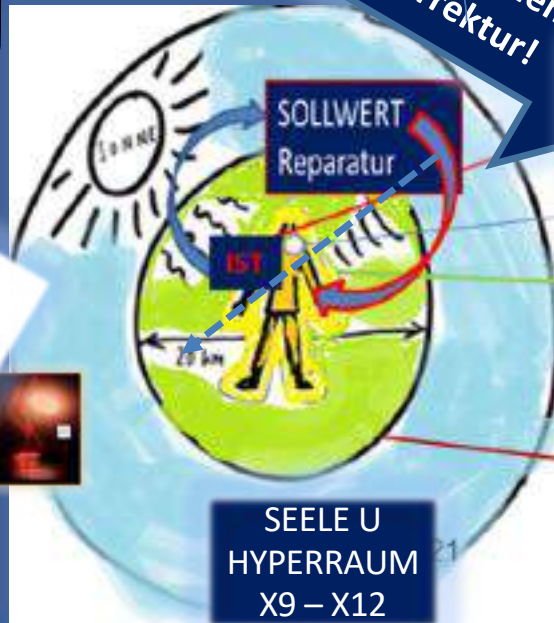
https://drive.google.com/file/d/15zH00MND7nzg4z_Pct9LSQbFCmYBJQ_5/view

22.7 Zusammenfassung, wie hole ich durch die Impfung verlorene Seelenanteile zurück?

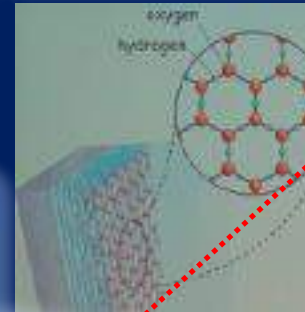


Reconnection zu kosmischem
Entrainment und Korrektur!

Beseelter Mensch

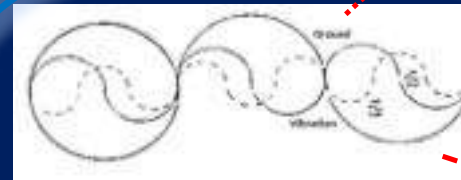


1. Steuerung über hexagonales
Wasser in Körperstrukturen
und Umgebung



Verstärkung durch:

- Quantenstein
- Wasserstrukturierer
- Wasserstrukturierungsliede
- Raumharmonisierer
- Bodyharmonizer
- Light Pen
- TIAMATTECHNIK



Fermi-Pasta-Ulam-Rekursion*

2. Steuerung über
Phantom DNA



- Kosyrevspiegel
- (Cosmo)-Biotron
- Disconder
- Mentale Techniken
- Persinger Helmet
- Hologramm Flasche
- Kolganovkugel

Verfahren und Therapien gegen Elektrosmog und 5 G

Man kann in der **Zusammenfassung** davon ausgehen dass **ionisierende und Nicht-ionisierende Strahlung** sowohl eine

- Vermehrung von **Exosomen** in ihren **virenartigen Funktionen (Covid- 19)** bedingt als auch
- **Massen von Tumorzellen mit Metastasierungen** induzieren kann.

Dies gilt insbesondere für die Strahlenbelastung **durch 5 g, die dem ca, 15 000 -fachen von 4 G entspricht und eine direkte pathologische Affinität auf unsere DNA und RNA – Komplexe zeigen kann.**

- Bei **60 GHz** kommt es fatalerweise auch noch zu einer erheblichen
- **Absorption der Strahlenbelastung durch Sauerstoffmoleküle (über 90 %)** , so dass die Übertragung von aktiviertem Sauerstoff (Singulett-sauerstoff) über die Alveolen auf Rote Blutkörperchen erheblich erschwert ist und **Erstickungssyndrome** mit Schweren Lungenauffälligkeiten (ARDS) zu tage treten können (Wuhan) .

Therapien wie bereits an anderer Stelle gezeigt:

Biochmisch:

- Vit. C
- Melatonin
- **Arginin** mit der Bildung von **NO, z.B. aus Reisprotein/Erbsenprotein**
- Methylenblau als Spray und Tropfen
- Hexagonales Wasser nach Pollack
- Hydroxychloroquin gegen Prevotella
- Zeolithe
- Mineralien

Anm.: Vit D3 mit K2 : 500 I.E. pro Kg/ Körpergewicht/tgl.
Einstellung im Blut 120 bis 140 nmol/l

Systeme, die gegen E- Smog und 5 G wirken:

- Quantensalbe nach Garjajev
- AiR- Plus Sauerstoffgerät
- Quantenstein
- Brany- Anhänger
- Aktivator- Gammaserie
- FIR- (Infrarot) Systeme
- Light- Pen
- Autoharmonisierer
- Kolganovkugeln
- Energiekarte

Große Systeme mit direkter Korrektur der DNA gegen Elektrosmog:

- **Ferntherapien** durch SCIO, Nilisa u Disconder
- Biotron und Kosyrevspiegel

23. Physikalische Schutzmaßnahmen – INAKARB- Systeme gegen Elektromog Impfn Nebenwirkungen



Inakarb-Tesla Antenne 350 m²



Neutralisator KFZ Gamma-7.N-AS (Anti-Stress)



Aktivator Gamma 7 Aufladung



Brain-Y Chip



Ligth Pen



Kolganovkugeln 240 / 120 Meter



FIR



VITAIR S.O.E.



Hologrammflasche



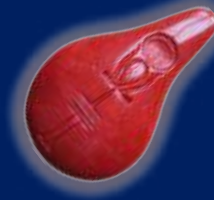
Body harmonizer



Auto/Raumharmonisierer



Wasserstrukturierer



Quantenstein 3,0 Meter

Biochemisch (Biophysikalische) Schutzmaßnahmen – INAKARB/ENKI gegen Impfn Nebenwirkungen und Spikeprotein sowie zur Lebensverlängerung u. gegen E- Smog

Bioflavonoide und Polyphenole:

Apigenin	2 - 0 - 2
Luteolin	2 - 0 - 1
Quercetin	2 - 0 - 1
Methylenblau	3 - 3 - 3 Trpf.

Mitochondrienverstärker:

Alpha H (2)	1 - 1 - 1
N-Acetyl- Cystein	2 - 0 - 2
Glutathion /Tiamat	2 - 0 - 2 mit Zink 200 mg tgl
AMPK	2 - 0 - 2 (zur Verstärkung Berberin)
Reservatrol	2 - 0 - 2
Q10 red.	400 bis 800 mg tgl. nach 4 Wo ca 400 mg tgl.

Gesamtregulation:

Arginin	6 g täglich
Lipos. Vit C	6 g täglich u Vit E (tocopherol)2-0-0
Glutaminsäure	6 g täglich
B - Komplex	2 - 0 - 1
Kalium /Magnesium	je 2 g tgl
Na -Selenit	100 microgr. tgl

Aufbau von Melanopsin

Vitamin D 3	500 i.E. pro Kg Körpergewicht
Vit A	50 000 i.E.
DHA	2 - 0 - 0

Rheologie/Durchblutung:

Cranberry /OPC	2 - 2 - 2
MCP Pulver mind.	2 g tgl.
Natokinase	3-3-3

Gehirn:

Pregnenolon	2 - 0 - 0
Ginko	4 - 0 - 4
Tamarinde	2 - 0 - 0
Zeolithe	6 g täglich

Generell

Spurenelemente, B 12, Spirulina
Folsäure etc. Polysorb

TIAMAT-PRODUKTE

- Prod 1 Melatonin ret. 3 mg noch in Herstellung
- Prod II,
Gluthathion 2-0-2
- Prod. III Trimax + Erbsenprotein+ Apigenin, Acerola etc.
1 - 0 - 1 Sachet
- Prod. IV TXT Komplex + Süßlupine, Sanddorn Acerola
1 - 0 - 1 Sachet

*Wenn Sie noch in der Lage sind, Fragen zu stellen,
dürfen Sie dies jetzt tun ...*



KONTAKT

Internationale Akademie für
Regulationsmedizin und
Bewusstseinsforschung
Bonner Straße 10 53424
Rolandseck Telefon: +49 (0)2228
91 34 50 E-Mail: info@inakarb.de

Die INAKARB
bzw
die
Privatarztpraxisklinik
Prof Edinger

Friedrichshafen am
Bodensee
Am Flughafen 76
D- 88048 Friedrichshafen
www.inakarb.de